



CNPq
Centro Nacional de Pesquisa
em Energia e Materiais

Relatório Anual 2014

Parte 3



sumário

Parte III

Anexo 1 - Indicadores de Desempenho	01
Anexo 2 - Destaques de Divulgação na Imprensa	37
Anexo 3 - Recomendações da CACG ao CNPEM	39
Anexo 4 - Referências de Artigos, Teses e Dissertações	44
Anexo 5 - Lista de Bolsistas e Pós-Doutores	170
Anexo 6 - Indicadores Específicos de Projetos	179
Anexo 7 - Informações Complementares	190
Anexo 8 - Demonstrações Financeiras	197

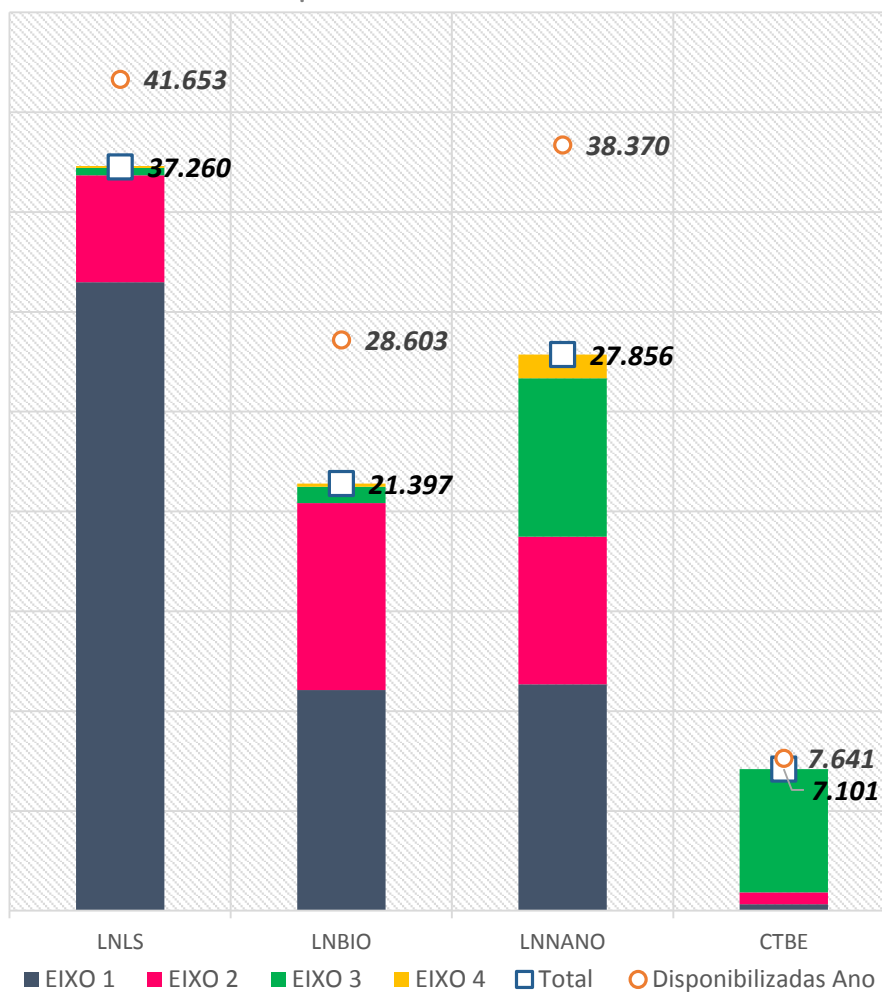
Indicador		Eixos de Atuação	Unidade	Tipo	Peso	Qualificação	Pactuado	Realizado
Nº	Descritivo							
01	Taxa geral de ocupação das instalações	Todos	%	Uso	01	Eficácia	70%	81%
02	Taxa de ocupação das instalações por usuários externos	Eixo 1	%	Uso	01	Eficácia	40%	47%
03	Artigos publicados por pesquisadores externos	Eixo 1	Razão	Uso	04	Efetividade	0,75	0,82
04	Beneficiários externos das instalações abertas	Eixo 1	Número absoluto	Uso	01	Eficácia	1800	1865
05	Índice de satisfação dos usuários externos	Eixo 1	%	D/Uso	02	Efetividade	85%	95%
06	Confiabilidade da fonte de luz síncrotron	Todos	%	D	04	Eficácia	95%	97,5%
07	Propostas realizadas por usuários externos nas instalações abertas	Eixo 1	Número absoluto	Uso	03	Eficácia	900	949
08	Artigos publicados por pesquisadores internos	Eixo 2	Razão	Uso	04	Efetividade	2,5	1,95
09	Parcerias em projetos de P&D com instituições de ensino e pesquisa	Eixo 2	Número absoluto	D	02	Eficiência	20	23
10	Memorandos técnicos	Eixo 2 e 4	Número absoluto	D	02	Efetividade	14	11
11	Taxa de supervisão de pós-doutores	Eixo 2 e 4	Razão	D	03	Eficiência	1,0	1,26
12	Tecnologias protegidas	Eixo 2 e 3	Número absoluto	D	01	Efetividade	8	9
13	Recursos adicionais ao Contrato de Gestão	Eixo 2 e 3	%	D	02	Eficiência	30%	49%
14	Parcerias em projetos de PD&I com AIS	Eixo 3	Número absoluto	D	02	Eficiência	35	39
15	Recursos associados à inovação	Eixo 3	%	D	02	Eficiência	8%	16%
16	Capacitação de pesquisadores externos	Eixo 4	Número absoluto	Uso	02	Eficácia	10.000	13.181
17	Eventos científicos	Eixo 4	Número absoluto	Uso	02	Eficácia	4	9
18	Participantes de eventos científicos	Eixo 4	Número absoluto	Uso	01	Eficácia	250	982

Indicador 1:																							
Taxa geral de ocupação das instalações																							
Macro Processo: Operar o Laboratório Nacional																							
Objetivo Estratégico: Prover e manter infraestrutura nacional de classe mundial para pesquisa, desenvolvimento e inovação nas suas áreas de atuação disponibilizada à comunidade de pesquisa acadêmica e industrial.																							
Finalidade: Medir a taxa de ocupação total das instalações dos Laboratórios Nacionais do CNPEM, no ano de referência, disponibilizada a usuários externos, P&D <i>in-house</i> , interação com empresas e atividades de treinamento, educação e difusão.																							
Descrição: Razão entre o número total de horas efetivamente utilizadas nas atividades mencionadas e o número total de horas planejadas para utilização, sendo retiradas as horas de manutenção e paradas programadas nas instalações. Consideram-se para o cálculo todos os usuários (internos e externos) em atividades relacionadas a todos os eixos de atuação.																							
Fórmula de cálculo:																							
$\text{Indicador 1} = \frac{\text{Número de horas efetivamente utilizadas no período}}{\text{Horas previstas de disponibilidade para uso das instalações no período}}$																							
Tipo: Uso	Peso: 1	Unidade: Percentual	Qualificação: Eficácia																				
Meta 2014: 70%		Realizado: 81%																					
Histórico indicador¹:	<table border="1"> <thead> <tr> <th rowspan="2">LN</th> <th colspan="2">Taxa de Ocupação</th> </tr> <tr> <th>2013</th> <th>2014</th> </tr> </thead> <tbody> <tr> <td>LNLS</td> <td>74%</td> <td>90%</td> </tr> <tr> <td>LNBIO</td> <td>71%</td> <td>75%</td> </tr> <tr> <td>LNNANO</td> <td>57%</td> <td>73%</td> </tr> <tr> <td>CTBE</td> <td>-</td> <td>93%</td> </tr> <tr> <td>CNPEM</td> <td>68%</td> <td>81%</td> </tr> </tbody> </table>			LN	Taxa de Ocupação		2013	2014	LNLS	74%	90%	LNBIO	71%	75%	LNNANO	57%	73%	CTBE	-	93%	CNPEM	68%	81%
LN	Taxa de Ocupação																						
	2013	2014																					
LNLS	74%	90%																					
LNBIO	71%	75%																					
LNNANO	57%	73%																					
CTBE	-	93%																					
CNPEM	68%	81%																					
<p>Comentário: O número de horas a serem disponibilizadas por cada um dos Laboratórios Nacionais é estimado no início do ano e considera as agendas de todas as instalações abertas no Portal de Usuários. As horas previstas de disponibilidade para uso das instalações abertas, denominador do indicador, é o produto dos dias úteis pelo número de horas dos turnos diários da instalação, menos a previsão de horas de manutenção. As horas efetivamente utilizadas são medidas pelo agendamento das propostas externas e internas, além das propostas dedicadas a projetos com a indústria, projetos internos, prestações de serviços, treinamento, entre outros eventos especiais. Em 2014, o indicador atingiu 115% da meta pactuada para o ano. A contribuição de cada Laboratório Nacional para este cálculo variou entre 73% (LNNANO) à 93% (CTBE). Para este cálculo, desconsiderou-se as horas de uso de instalações ou linhas de luz que foram disponibilizadas no ano e suas horas não pactuadas para o indicador de 2014.</p> <p>Este é um indicador passou a ser monitorado pelo CNPEM a partir de 2013 e trouxe desafios à gestão da informação do uso das instalações, incluindo treinamento dos coordenadores de instalação para melhor apontamento das horas de uso.</p>																							

A taxa de crescimento deste indicador deve-se, principalmente, as melhorias de apontamento dos eixos 2 e 3. No caso do CTBE, o alcance de 93% do indicador é explicado pelas horas alocadas na PPDP e seu atendimento ao projeto BP (24 horas, 7 dias por semana), com alta previsibilidade de realização.

LN	Horas Utilizadas	Horas Disponíveis	Taxa de Ocupação de 2014
LNLS	37.260	41.653	89%
LN BIO	21.397	28.603	75%
LNNANO	27.856	38.370	73%
CTBE	7.101	7.641	93%
CNPEM	93.614	116.267	81%

Horas utilizadas e disponibilizadas



Indicador 2:																											
Taxa de ocupação das instalações por usuários externos																											
Macro Processo: Operar o Laboratório Nacional																											
Objetivo Estratégico: Prover e manter infraestrutura nacional de classe mundial para pesquisa, desenvolvimento e inovação nas suas áreas de atuação disponibilizada à comunidade de pesquisa acadêmica e industrial.																											
Finalidade: Medir a ocupação dos Laboratórios Nacionais do CNPEM por usuários externos no período de referência																											
Descrição: Razão entre o número de horas efetivamente utilizadas por usuários externos e o número de horas totais disponibilizadas para todos os eixos de atuação																											
Fórmula de cálculo:																											
$\text{Indicador 2} = \frac{\text{Número de horas efetivamente utilizadas por usuários externos no período}}{\text{Horas previstas de disponibilidade para uso das instalações no período}}$																											
Tipo: Uso	Peso: 1	Unidade: Percentual	Qualificação: Eficácia																								
Meta 2014: 40%		Realizado: 47%																									
Histórico indicadorⁱⁱ:																											
	<table border="1"> <thead> <tr> <th rowspan="2">LN</th> <th colspan="2">Taxa de Ocupação do Eixo 1</th> </tr> <tr> <th>2013</th> <th>2014</th> </tr> </thead> <tbody> <tr> <td>LNLS</td> <td>63%</td> <td>75%</td> </tr> <tr> <td>LN BIO</td> <td>37%</td> <td>39%</td> </tr> <tr> <td>LNNANO</td> <td>31%</td> <td>30%</td> </tr> <tr> <td>CTBE</td> <td>-</td> <td>4%</td> </tr> <tr> <td>CNPEM</td> <td>48%</td> <td>47%</td> </tr> </tbody> </table>			LN	Taxa de Ocupação do Eixo 1		2013	2014	LNLS	63%	75%	LN BIO	37%	39%	LNNANO	31%	30%	CTBE	-	4%	CNPEM	48%	47%				
LN	Taxa de Ocupação do Eixo 1																										
	2013	2014																									
LNLS	63%	75%																									
LN BIO	37%	39%																									
LNNANO	31%	30%																									
CTBE	-	4%																									
CNPEM	48%	47%																									
<p>Comentário: O número de horas a serem disponibilizadas por cada um dos Laboratórios Nacionais no eixo 1 é estimado no início do ano e considera as agendas de todas as instalações abertas no Portal de Usuários. As horas previstas de disponibilidade para uso das instalações no período, denominador do indicador, é o produto dos dias úteis pelo número de horas dos turnos diários da instalação, menos a previsão de horas de manutenção. O número de horas efetivamente utilizadas pelas instalações no eixo 1 é medido através dos agendamentos realizados para propostas externas e apresenta variação entre os LNs, devido aos objetivos estratégicos de cada um. Em 2014, este indicador superou 17% da meta pactuada para o ano. Para este cálculo, desconsiderou-se as horas de uso de instalações ou linhas de luz que foram disponibilizadas no ano e suas horas não pactuadas para o indicador de 2014.</p>																											
	<table border="1"> <thead> <tr> <th>LN</th> <th>Eixo 1</th> <th>Horas Disponíveis</th> <th>Taxa de Ocupação</th> </tr> </thead> <tbody> <tr> <td>LNLS</td> <td>31.441</td> <td>41.653</td> <td>75%</td> </tr> <tr> <td>LN BIO</td> <td>11.048</td> <td>28.603</td> <td>39%</td> </tr> <tr> <td>LNNANO</td> <td>11.341</td> <td>38.370</td> <td>30%</td> </tr> <tr> <td>CTBE</td> <td>324</td> <td>7.641</td> <td>4%</td> </tr> <tr> <td>CNPEM</td> <td>54.154</td> <td>116.267</td> <td>47%</td> </tr> </tbody> </table>			LN	Eixo 1	Horas Disponíveis	Taxa de Ocupação	LNLS	31.441	41.653	75%	LN BIO	11.048	28.603	39%	LNNANO	11.341	38.370	30%	CTBE	324	7.641	4%	CNPEM	54.154	116.267	47%
LN	Eixo 1	Horas Disponíveis	Taxa de Ocupação																								
LNLS	31.441	41.653	75%																								
LN BIO	11.048	28.603	39%																								
LNNANO	11.341	38.370	30%																								
CTBE	324	7.641	4%																								
CNPEM	54.154	116.267	47%																								

Indicador 3: Artigos publicados por pesquisadores externos												
Macro Processo: Operar o Laboratório Nacional												
Objetivo Estratégico Prover e manter infraestrutura nacional de classe mundial para pesquisa, desenvolvimento e inovação nas suas áreas de atuação disponibilizada à comunidade de pesquisa acadêmica e industrial.												
Finalidade: Aferir resultados das atividades de pesquisa realizadas por pesquisadores externos, decorrentes do uso das instalações abertas do CNPEM, no ano de referência.												
Descrição: Razão entre o número de artigos de pesquisadores externos ao CNPEM que decorreu do uso das instalações no ano X, indexados na base <i>Web of Science</i> nos anos x, x+1, x+2, e o número de propostas realizadas no ano X.												
Fórmula de cálculo: $\text{Indicador 3} = \frac{\text{número de artigos de pesq. externos na base WoK nos anos } x, x + 1, x + 2}{\text{número de propostas realizadas no ano } X}$												
Tipo: Uso	Peso: 4	Unidade: Razão	Qualificação: Efetividade									
		Meta 2014: 0,75	Realizado: 0,82									
Histórico indicador:												
<p style="text-align: center;">Artigos de Pesq. Externos</p> <table border="1"> <caption>Dados do Gráfico: Artigos de Pesq. Externos</caption> <thead> <tr> <th>Ano</th> <th>Resultado</th> <th>Meta</th> </tr> </thead> <tbody> <tr> <td>2013</td> <td>0,69</td> <td>-</td> </tr> <tr> <td>2014</td> <td>0,82</td> <td>0,75</td> </tr> </tbody> </table>				Ano	Resultado	Meta	2013	0,69	-	2014	0,82	0,75
Ano	Resultado	Meta										
2013	0,69	-										
2014	0,82	0,75										
Comentário: Para o ano de 2014 este indicador mede a produtividade científica dos beneficiários das propostas externas realizadas no CNPEM em 2012. São consideradas todas as publicações realizadas por estes pesquisadores entre os anos de 2012 e 2014, que façam citação ao uso das instalações dos Laboratórios Nacionais. Diferentemente de outras instituições de pesquisa, que mede a produtividade científica exclusivamente de seus próprios funcionários, um Laboratório Nacional aberto necessita auferir os resultados de seus usuários externos, o que traz desafios a metodologia de busca. Para isso deve-se vincular as possíveis citações de mais de 1700 beneficiários com as possibilidades de citação ao CNPEM e LNs (até o momento foram identificadas 121 formas distintas de citação). A base <i>Web of Science</i> disponibiliza ferramenta de busca avançada com possibilidade de inserção de conjuntos <i>booleanos</i> .												

Booleanos: AND, OR, NOT, SAME, NEAR

Rótulos do campo:

TS= Tópico	SG= Suborganização
TI= Título	SA= Endereço da Rua
AU= Autor [Índice]	CI= Cidade
AI= Identificadores de autor	PS= Província/Estado
GP= Autor grupo [Índice]	CU= País
ED= Editor	ZP= CEP/Código postal
SO= Nome da publicação [Índice]	FO= Agência financiadora
DO= DOI	FG= Número do subsídio
PY= Ano de publicação	FT= Texto sobre financiamento
CF= Conferência	SU= Área de pesquisa
AD= Endereço	WC= Categoria Web of Science
OG= Organização - Consolidada [Índice]	IS= ISSN/ISBN
OO= Organização	UT= Número de acesso

Atualmente o CNPEM recebe diretamente de seus beneficiários a relação de artigos publicados com uso das instalações via Portal de Usuários e/ou diretamente pela biblioteca.

Além disso, há buscas trimestrais na base WOS, buscas que em 2014 passou por um refinamento, considerando artigos de colaboração ou associação entre pesquisadores internos e beneficiários externos, o que explica a melhoria entre os números de 2013 e 2014. Ainda é possível haver

subestimativa do valor medido, pois, em alguns casos, nossos beneficiários não fazem citações diretas ao CNPEM, impossibilitando sua contabilização.

O CNPEM entende este indicador como importante medida de seus resultados e têm concentrado esforços em sua constante melhoria. A associação direta da avaliação das novas propostas submetidas com a produtividade científica de sua equipe (para usuários reincidentes) têm se demonstrado medida importante para estimular o compromisso com nossas citações.

Em 2014, o CNPEM negociou com a EMBRAPA a obtenção gratuita da licença de uso de um software de Repositório Digital, chamado Ainfo, que permitirá divulgar externamente, de forma organizada, a produção técnica e científica relacionada ao CNPEM. Este software está em processo de instalação e customização. A previsão é que em março esteja disponível para os primeiros testes.

Em 2014 este indicador superou a meta pactuada em 9%.

Indicador 4: Beneficiários externos das instalações abertas

Macro Processo:
Operar o Laboratório Nacional

Objetivo Estratégico do C.G
Prover e manter infraestrutura nacional de classe mundial para pesquisa, desenvolvimento e inovação nas suas áreas de atuação disponibilizada à comunidade de pesquisa acadêmica e industrial.

Finalidade:
Medir o universo de pesquisadores externos beneficiados pelo uso das instalações abertas do CNPEM, no ano de referência.

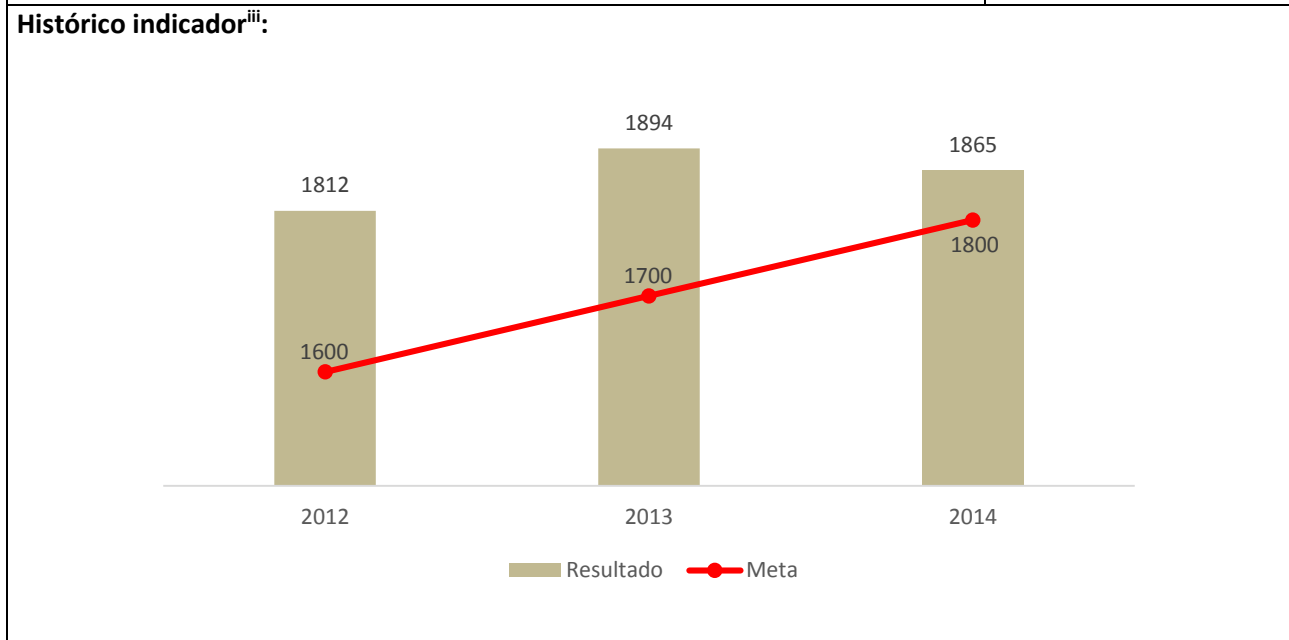
Descrição:
Número de beneficiários externos identificados nas propostas de pesquisa realizadas nas instalações abertas do CNPEM. Para esse cálculo, são considerados os pesquisadores que utilizaram diretamente as instalações e/ou integraram o grupo de pesquisa que realizou a proposta.

Fórmula de cálculo:

Indicador 4 = número total de beneficiários das instalações abertas do CNPEM no período

Tipo: Uso	Peso: 1	Unidade: Número Absoluto	Qualificação: Eficácia
---------------------	-------------------	------------------------------------	----------------------------------

Meta 2014: 1800	Realizado: 1865
---------------------------	---------------------------



Comentário: Em 2014, o indicador alcançou 104% da meta pactuada para o ano. A metodologia de cálculo deste indicador prevê a contabilização do número de pesquisadores distintos que foram beneficiados com a realização das propostas de pesquisa no CNPEM, independentemente do número de instalações utilizadas, isto é, a somatória do número de beneficiários por instalação é superior ao número total de pesquisadores beneficiados pelo CNPEM, pois há a possibilidade do uso de mais de uma instalação pelo mesmo pesquisador.

O CNPEM beneficiou no ano 1865 pesquisadores, 86% destes são brasileiros e 14% de outros países, com contribuição expressiva da Argentina. No Brasil, a concentração está na região sudeste prevalecendo a

participação do estado de São Paulo. Aproximadamente, 95 instituições brasileiras e 92 internacionais se beneficiaram das propostas de pesquisa externas executadas neste primeiro semestre.

Beneficiários Externos (sem duplicatas)	1865
Laboratório Nacional de Luz Síncrotron (sem duplicatas)	1196
MX2	102
PGM	67
SGM	35
SXS	94
TGM	46
SAXS1	177
SAXS2	178
XDS	105
XPD	136
XRD1	83
XRD2	110
XTMS	19
DXAS	71
XAFS1	127
XAFS2	124
XRF	96
IMX	24
Laboratório Nacional de Biociências (sem duplicatas)	298
MAS	158
LEC	74
ROBOLAB	56
LMA	2
RMN	45
Laboratório Nacional de Nanotecnologia (sem duplicatas)	532
LCS	86
CPM	33
LME	339
LMF	104
LMN	58
Laboratório Nacional de Ciência e Tecnologia do Bioetanol (sem duplicatas)	13
LDP	2
PPDP	11

Beneficiários Externos Brasileiros - 1606

UNIVERSIDADES ESTADUAIS	813	Espírito Santo	4
UNICAMP	351	Maranhão	4
Campinas	330	Fundação ABC	3
Piracicaba	19	Pelotas	3
Limeira	2	Mato Grosso do Sul	3
USP	259	Recôncavo da Bahia	3
São Paulo	130	Mato Grosso	2
São Carlos	104	Tecnológica Paraná	2
Ribeirão Preto	17	Integração Latino-Americana	1
Lorena	5	Campina Grande	1
Araraquara	1	Uberlândia	1
Piracicaba	1	Rural do Rio de Janeiro	1
Pirassununga	1	INSTITUTOS	131
UNESP	126	Centro Brasileiro de Pesquisas Físicas	15
Araraquara	61	Centro de Desenvolvimento Tecnologia Nuclear	3
Botucatu	22	Centro de Energia Nuclear na Agricultura	1
São José do Rio Preto	15	Centro de Pesquisa Renato Archer	1
Presidente Prudente	7	Centro de Pesquisas Odontológicas São Leopoldo Mandic	2
Assis	5	Centro de Tecnologia da Informação Renato Archer	19
Bauru	5	Centro de Tecnologias Estratégicas do Nordeste	5
Sorocaba	4	Centro Federal de Educação Tecnológica de Minas Gerais	1
Rio Claro	3	Centro Infantil Boldrini	3
Guaratinguetá	2	Centro Tecnológico do Exército	2
Registro	1	Centro Universitário da Zona Oeste	1
São José do Rio Pardo	1	Instituto Agrônomo de Campinas	2
Outras	77	Instituto Butantan	2
Brasília	31	Instituto Carlos Chagas	1
Rio de Janeiro	16	Instituto de Botânica do Estado de São Paulo	2
Ponta Grossa	9	Instituto de Pesquisas Energéticas e Nucleares	21
Oeste do Paraná	7	Instituto de Química de São Carlos	17
Maringá	5	Instituto de Tecnologia e Pesquisa	1
Londrina	4	Instituto do Coração de São Paulo	1
Goiás	2	Instituto Fed de Educação, Ciência e Tec. do Rio de Janeiro	1
Medicina de São José do Rio Preto	1	Instituto Federal de Educação Ciência e Tec. de Sergipe	1
Minas Gerais	1	Instituto Militar de Engenharia	2
Mato Grosso do Sul	1	Instituto Nacional de Metrologia, Qualidade e Tecnologia	6
Tecnologia de São Paulo	3	Instituto Nacional de Pesquisas da Amazônia	1
UNIVERSIDADES FEDERAIS	586	Instituto Nacional de Tecnologia	3
Rio de Janeiro	90	Instituto Nacional do Câncer	6
São Carlos	65	Instituto Tecnológico de Aeronáutica	11
Rio Grande do Sul	61	UNIVERSIDADES PARTICULARES	27
Viçosa	43	Universidade de Franca	13
ABC	42	PUC - Rio de Janeiro	3
Minas Gerais	29	Universidade do Extremo Sul Catarinense	2
Pernambuco	29	Universidade de Taubaté	2
São Paulo	25	Universidade Presbiteriana Mackenzie	1
Santa Catarina	24	Universidade Católica de Brasília	1
Alfenas	23	Universidade do Vale do Paraíba	1
Sergipe	20	Universidade de Caxias do Sul	1
Fluminense	20	São Leopoldo Mandic	1
Paraná	18	URI	1
Ceará	15	PUC - Campinas	1
Uberlândia	13	EMPRESAS	12
Amazonas	11	Empresa Brasileira de Pesquisas Agropecuárias	9
Rio Grande do Norte	10	Petrobrás - Cenpes	2
Lavras	9	Braskem S. A.	1
Bahia	8	FUNDAÇÕES	6
Paraíba	7	Fundação Meridional	2
Pará	7	Fundação Instituto Oswaldo Cruz	2
Goiás	6	CPqD	1
Ouro Preto	6	Fundação Erminio Ometto	1
São João del Rei	5		

Indicador 5: Índice de satisfação dos usuários externos

Macro Processo:
Operar o Laboratório Nacional

Objetivo Estratégico do C.G
Prover e manter infraestrutura nacional de classe mundial para pesquisa, desenvolvimento e inovação nas suas áreas de atuação disponibilizada à comunidade de pesquisa acadêmica e industrial.

Finalidade:
Medir a satisfação dos usuários das instalações abertas de modo sistemático e periódico.

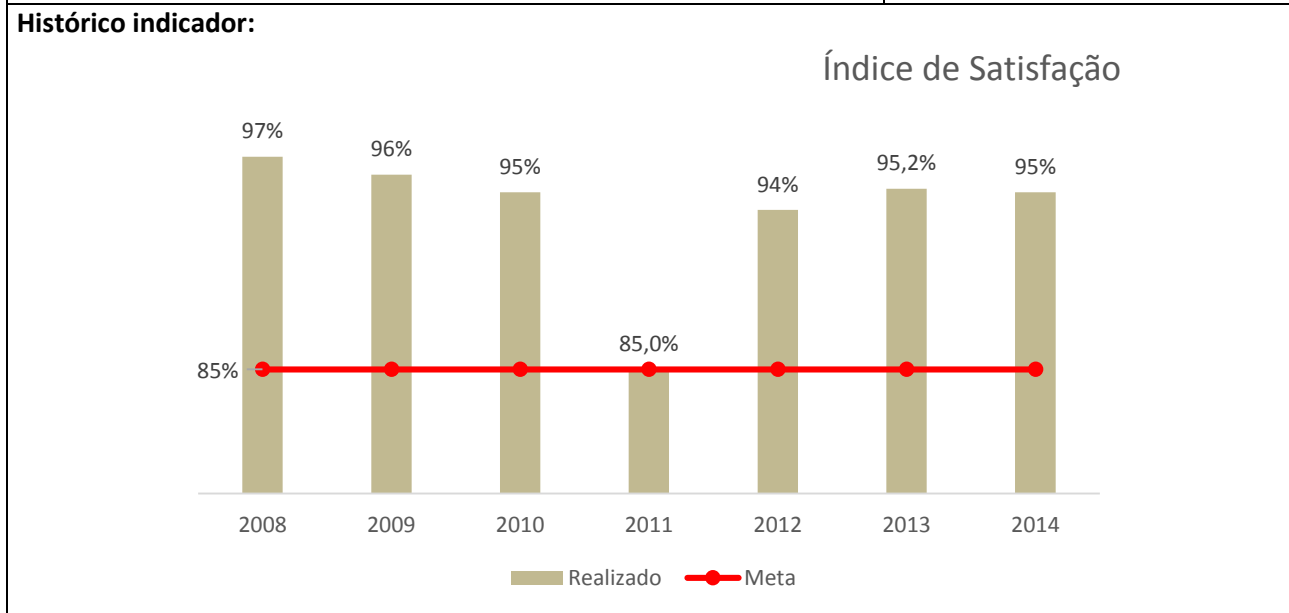
Descrição:
O indicador mede o índice de satisfação dos usuários externos com a utilização das instalações abertas do CNPEM, no ano de referência, com base em questão específica do formulário aplicado na realização da proposta de pesquisa.

Fórmula de cálculo:

$$\text{Indicador 5} = \frac{\text{Número de respostas "muito satisfeito" e "satisfeito" no período}}{\text{número total de respostas no período}}$$

Tipo: Desempenho e Uso	Peso: 2	Unidade: Percentual	Qualificação: Efetividade
----------------------------------	-------------------	-------------------------------	-------------------------------------

Meta 2014: 85%	Realizado: 95%
--------------------------	--------------------------



Comentário: Este indicador supera a meta pactuada há três anos, porém seu grande desafio continua sendo aumento no número de avaliações. Neste semestre foram 199 questionários preenchidos por pesquisadores externos sendo, 135 no LNLS, 53 no LNBio e 11 no LNNano. Deste total, 95% encontram-se satisfeitos ou muito satisfeitos com o uso das instalações.

Indicador 6: Confiabilidade de fonte de luz síncrotron

Macro Processo:
Operar o Laboratório Nacional

Objetivo Estratégico do C.G
Prover e manter infraestrutura nacional de classe mundial para pesquisa, desenvolvimento e inovação nas suas áreas de atuação disponibilizada à comunidade de pesquisa acadêmica e industrial.

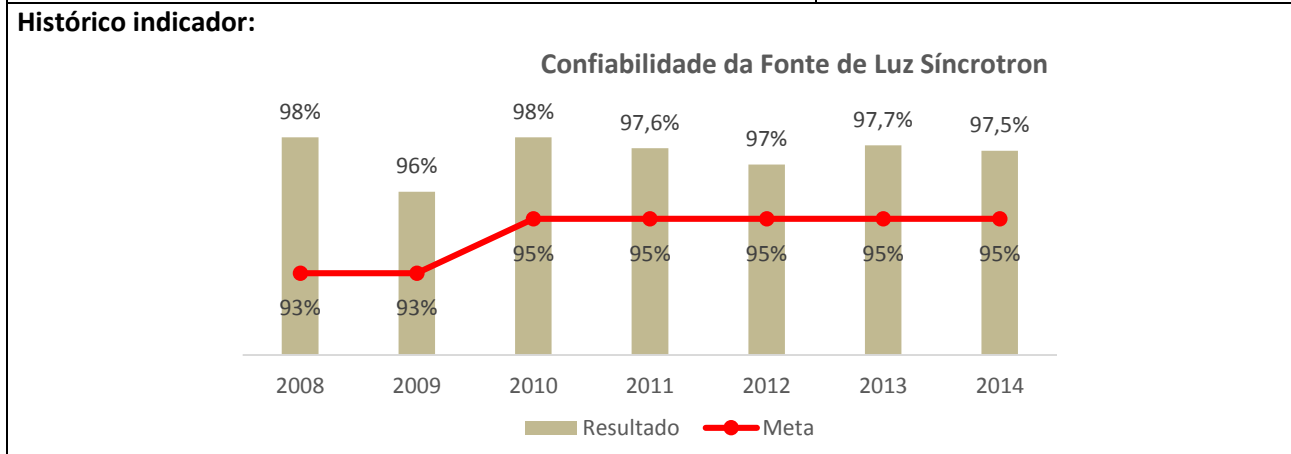
Finalidade:
Aferir a capacidade do atendimento técnico da fonte de luz síncrotron aos usuários externos, dentro dos prazos e períodos programados nos agendamentos de realização dos experimentos, estabelecendo padrão de comparação internacional.

Descrição:
Razão entre as horas de luz síncrotron entregues aos usuários no tempo programado e as horas previstas na programação de operação da fonte de luz síncrotron.

Fórmula de cálculo:
$$\text{Indicador 6} = \frac{\text{Horas entregues no período}}{\text{Horas previstas no período}}$$

Tipo: Desempenho	Peso: 4	Unidade: Percentual	Qualificação: Eficácia
----------------------------	-------------------	-------------------------------	----------------------------------

Meta 2014: 95%	Realizado: 97,5%
--------------------------	----------------------------



Comentário: Como nos anos anteriores, a Fonte de Luz Síncrotron operou para usuários 24 horas por dia, de segunda a sábado pela manhã, com injeções de elétrons programadas para serem realizadas às 8h e às 19h. O tempo previsto para o processo de injeção manteve-se em 30 minutos. Os turnos para usuários tiveram início na primeira semana de Fevereiro. Em 2014 foram fornecidas 3.869 horas de feixe para usuários da fonte de luz síncrotron, sendo 3.719 horas dentro do período de 3.816 horas programadas. A programação de feixe para usuários em 2014 sofreu uma redução com relação aos anos anteriores. A redução de cerca de 7% no tempo total de feixe programado para usuários teve como objetivo aumentar o tempo programado para estudos de máquina de forma a viabilizar testes de conceitos e de equipamentos que estão sendo considerados para utilização na nova fonte de luz síncrotron Sirius. Seguindo um padrão que já havia sido adotado em 2013, foram programadas semanas de estudos de máquina, com um dia previsto para manutenção preventiva da fonte de luz e pelo menos quatro dias seguidos de estudos. No total, foram programados oito períodos de manutenção e estudos de máquina ao longo dos dois semestres de operação da fonte para usuários. Foram realizadas cerca de 490 horas de manutenção e mais de 630 horas de estudos de máquina ao longo de todo o ano.

A confiabilidade da fonte ficou em 97.5%, mostrando uma ligeira queda com relação a 2013 (97.6%), mas cumprindo plenamente a meta de 95% pactuada para 2014. No cálculo da confiabilidade são contabilizadas as falhas que levam a quedas do feixe de elétrons durante os turnos de feixe programados para usuários e também as que levam a atrasos na entrega do feixe nos períodos de injeção. Exceto pelo mês de julho, a confiabilidade da fonte ficou acima do pactuado em todos os meses. Em julho, falhas de longa duração em dois equipamentos fizeram com que a confiabilidade no mês ficasse abaixo de 95%.

Em 2014 houve um aumento no número de eventos de queda de feixe, quando comparado com 2013. Foram 60 eventos de queda, contra 40 eventos ocorridos em 2013. Falhas no fornecimento de energia elétrica foram a principal causa de quedas do feixe, respondendo por mais de um terço do número de eventos e do tempo total de falha por queda de feixe. Entretanto, houve um número igualmente grande de falhas em fontes de corrente que alimentam ímãs da rede magnética do anel de armazenamento, que resultaram em perda do feixe de elétrons. Falhas em fontes de corrente e nos sistemas hidráulicos dos aceleradores responderam, respectivamente, por 26% e 15% do tempo total de falhas por queda de feixe. Os maiores atrasos na entrega do feixe tiveram como principais causas problemas em uma fonte de quadrupolos do anel de armazenamento e em equipamentos do sistema de injeção de elétrons, além de duas paradas emergenciais para abastecimento do criostato do wiggler supercondutor com hélio líquido. Desde 2013, o dispositivo mostra um aumento significativo do consumo de hélio líquido. Uma reforma do equipamento, a ser realizada por especialistas do Instituto Budker (Novosibirsk, Rússia), está agendada para fevereiro de 2015.

O aumento da incidência de falhas nos equipamentos é, em parte, reflexo do envelhecimento de alguns sistemas, alguns deles em operação contínua há quase 20 anos. No caso específico das fontes de corrente, estuda-se a possibilidade de substituir todas as fontes de quadrupolos e sextupolos do anel de armazenamento por modelos semelhantes aos que estão sendo desenvolvidos para o Sirius. Essa mudança permitiria substituir parte da rede de controle por uma rede com a mesma topologia planejada para a nova fonte.

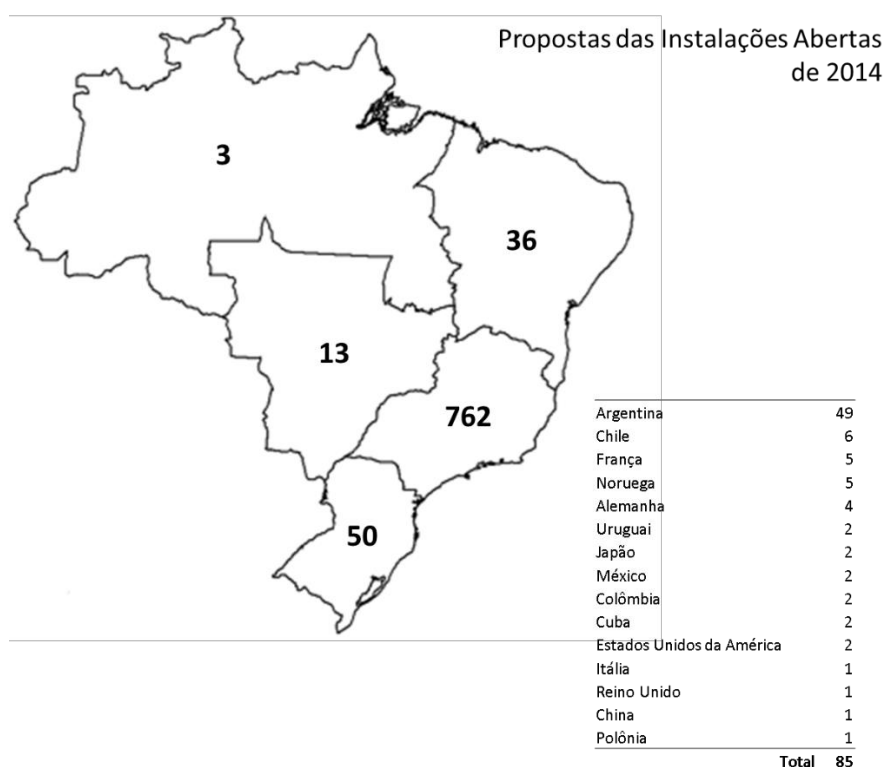
	Fev	Mar	Abr	Mai	Jun	Jul	Ago	Set	Out	Nov	Dez	2014	
Corrente Inicial Média	250	248,4	247,7	245,5	248,2	247,3	248,4	247,9	247,2	246,7	253,5	248,1	mA
Corrente Média	176	174,9	174,3	174,1	177,8	180,4	183	178,2	178,2	179,4	180,1	177,9	mA
Tempo de Vida Médio	15,5	14,8	14,9	14,9	15,5	16,4	16,3	15,9	16,2	16,8	16,9	15,8	h
Corrente Integrada	78,2	47,6	54,8	55,2	53,9	63,4	71,5	88,5	74,3	63,5	37,5	688,4	A.h
Tempo de Feixe Programado	452	253	307	322	314	345,00	376	498	414	330	205	3816	h
Tempo de Feixe no Horário Programado	437,9	247,4	300,8	314,2	300,9	326,50	367,2	489,9	410,7	321,1	202,8	3719,3	h
Tempo Total de Feixe	444,3	272,3	314,4	317	303,3	351,40	390,8	496,7	417,1	354,1	208,2	3869,5	h
Confiabilidade	96,9	97,8	98	97,6	95,8	94,6	97,7	98,4	99,2	97,3	98,9	97,5	%
Desempenho	110,5	109,2	109	108,6	110,9	112,7	113,6	111,4	111,7	112,7	114	111,3	%

Indicador 7: Propostas realizadas por usuários externos nas instalações abertas																											
Macro Processo: Operar o Laboratório Nacional																											
Objetivo Estratégico do C.G Prover e manter infraestrutura nacional de classe mundial para pesquisa, desenvolvimento e inovação nas suas áreas de atuação disponibilizada à comunidade de pesquisa acadêmica e industrial.																											
Finalidade: Medir o número de propostas realizadas nas instalações abertas do CNPEM.																											
Descrição: Propostas realizadas por usuários externos nas instalações abertas do CNPEM, no ano de referência.																											
Fórmula de cálculo: <i>Indicador 7 = número total de propostas realizadas no período</i>																											
Tipo: Uso	Peso: 3	Unidade: Número Absoluto	Qualificação: Eficácia																								
		Meta 2014: 900	Realizado: 949																								
Histórico indicador^{iv}:																											
<p style="text-align: center;">Propostas externas realizadas</p> <table border="1"> <thead> <tr> <th>Ano</th> <th>Resultado</th> <th>Meta</th> </tr> </thead> <tbody> <tr> <td>2008</td> <td>630</td> <td>660</td> </tr> <tr> <td>2009</td> <td>539</td> <td>762</td> </tr> <tr> <td>2010</td> <td>850</td> <td>903</td> </tr> <tr> <td>2011</td> <td>850</td> <td>917</td> </tr> <tr> <td>2012</td> <td>850</td> <td>906</td> </tr> <tr> <td>2013</td> <td>900</td> <td>871</td> </tr> <tr> <td>2014</td> <td>949</td> <td>900</td> </tr> </tbody> </table>				Ano	Resultado	Meta	2008	630	660	2009	539	762	2010	850	903	2011	850	917	2012	850	906	2013	900	871	2014	949	900
Ano	Resultado	Meta																									
2008	630	660																									
2009	539	762																									
2010	850	903																									
2011	850	917																									
2012	850	906																									
2013	900	871																									
2014	949	900																									
<p>Comentário: Este indicador alcançou 106% da meta pactuada para o ano de 2014, sendo 40% das propostas executadas no LNLS, 33% no LNNano, 27% no LNBio e 1% do CTBE.</p> <p>Em 2014, o CNPEM disponibilizou aos usuários externos 5 novas instalações: LDP e PPDP do CTBE, XTMS e IR do LNLS e LMN do LNNano. Os números da linha de luz IR (Espectroscopia de Infravermelho) foram desconsiderados no cálculo do indicador, pois a meta pactuada inicialmente não considerava a abertura de tal instalação.</p> <p>A seguir, uma breve descrição das novas instalações abertas:</p> <ul style="list-style-type: none"> ▪ LDP é um conjunto de sete laboratórios que realizam o processamento da biomassa lignocelulósica e seus derivados para a conversão em etanol celulósico. Esses laboratórios menores realizam os processos de: 1) análises físico-químicas, 2) análises no estado sólido, 3) espectrometria e análise elementar, 4) cromatografia gasosa e RMN, 5) cromatografia líquida, 6) pré-tratamento, 7) 																											

fracionamento e moagem, apenas o último laboratório citado está inserido atualmente no Portal de Usuários do CNPEM.

- PDP, esta é utilizada para verificar e demonstrar, em escala semi-industrial (300 litros), robustez e estabilidade de rotas tecnológicas de produção de etanol e outros compostos derivados de biomassa, em processos que obtiveram sucesso na escala de bancada. Sendo assim, é uma instalação excepcional que oferece a oportunidade ao usuário de escalonar determinado processo de interesse. No entanto, sua procura é mais expressiva pelas empresas, pois mais raramente uma instituição acadêmica deseja dar escala a um processo desenvolvido em bancada. Mesmo assim, entende-se que a instalação deve ser aberta para usuários do meio acadêmico e empresarial, o que pode fomentar a cultura empreendedora no meio científico.
- A XTMS é um Simulador Termodinâmico acoplado a XRD1, co-desenvolvido pelo LNLS e LNNANO. O simulador permite que o material de interesse para ser submetido a uma ampla gama de condições de termo-mecânica com elevada precisão e reprodutibilidade. Os detectores de raios-X lineares ou área são montados em um goniômetro de alta resolução para aquisição de dados rápida.
- O Laboratório de Materiais Nanoestruturados (LMN) visa a criação, desenvolvimento e aplicação de materiais nanoestruturados a partir de biomassa, minerais abundantes e resíduos de diversas atividades. As instalações do laboratório estão sendo equipadas com instrumentos analíticos para permitir a preparação, processamento e caracterização de diferentes materiais, compostos, misturas em micro e nanoescala.

A origem da proposta é vinculada a instituição do proponente, geralmente pesquisador principal do projeto. Neste semestre 91% são consideradas nacionais e 9% internacionais.



Propostas de Pesquisa Externas - 949	
Laboratório Nacional de Luz Síncrotron	375*
SAXS2	43
SAXS1	42
MX2	37
XAFS1	29
XDS	28
XPD	28
XRD2	28
XAFS2	26
XRF	24
SXS	20
XRD1	18
PGM	17
DXAS	14
SGM	7
TGM	7
IMX	7
XTMS	4
Laboratório Nacional de Biociências	259
ROBOLAB	103
MAS	72
LEC	63
RMN	20
LMA	1
Laboratório Nacional de Nanotecnologia	310
LME	191
LMF	43
LCS	37
LMN	23
CPM	16
Laboratório Nacional de Ciência e Tecnologia do Bioetanol	5
PPDP	4
LDP	1

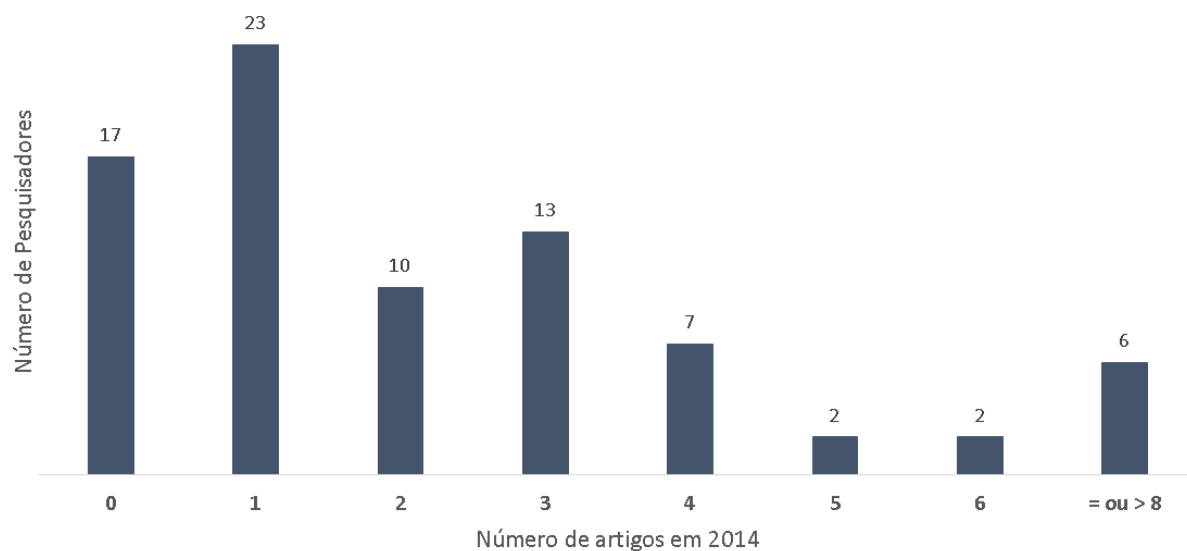
* Desconsidera-se as propostas que utilizaram mais de uma linha de luz.

Indicador 8:																		
Artigos publicados por pesquisadores internos																		
Macro Processo: Realizar e difundir pesquisa própria																		
Objetivo Estratégico do C.G Realizar e difundir pesquisa própria, desenvolvimento e inovação em nível dos melhores laboratórios similares no mundo, em áreas previstas na Política Nacional de Ciência, Tecnologia e Inovação.																		
Finalidade: Aferir resultados das atividades de pesquisa interna realizadas por pesquisadores e especialistas do CNPEM envolvidos com essas atividades.																		
Descrição: Razão entre o número de artigos publicados por pesquisadores e especialistas do CNPEM em periódicos indexados na base <i>Web of Science</i> , no ano de referência, e o número de pesquisadores e especialistas considerados.																		
Fórmula de cálculo:																		
$\text{Indicador 8} = \frac{\text{Número de artigos de pesq. e especialistas internos na base WoK no período}}{\text{Número de pesquisadores e especialistas internos no período}}$																		
Tipo: Uso	Peso: 4	Unidade: Razão	Qualificação: Efetividade															
Meta 2014: 2,5		Realizado: 1,95																
Histórico indicador:																		
<p>Artigos publicados por pesquisadores internos</p> <table border="1" style="margin: auto;"> <thead> <tr> <th>Ano</th> <th>Resultado</th> <th>Meta</th> </tr> </thead> <tbody> <tr> <td>2011</td> <td>2,1</td> <td>2,5</td> </tr> <tr> <td>2012</td> <td>2,34</td> <td>2,5</td> </tr> <tr> <td>2013</td> <td>2,1</td> <td>2,5</td> </tr> <tr> <td>2014</td> <td>1,95</td> <td>2,5</td> </tr> </tbody> </table>				Ano	Resultado	Meta	2011	2,1	2,5	2012	2,34	2,5	2013	2,1	2,5	2014	1,95	2,5
Ano	Resultado	Meta																
2011	2,1	2,5																
2012	2,34	2,5																
2013	2,1	2,5																
2014	1,95	2,5																
<p>Comentário: Atualmente o CNPEM conta com 98 pesquisadores na carreira científica, porém com o aumento do número de grandes projetos de desenvolvimento tecnológico parte desses pesquisadores passaram a se dedicar exclusivamente ao atendimento desses projetos. Desta forma, para o cálculo do indicador, o CNPEM considera um total de 80 pesquisadores, sendo 9 colaboradores em tempo parcial (8 horas semanais). Estes são considerados proporcionalmente ao número de horas dedicadas às atividades do CNPEM, resultando em um total de 72,8 pesquisadores. Esses pesquisadores foram responsáveis pela publicação de 142 artigos científicos indexados na base <i>Web of Science</i>, resultando em uma taxa de 1,95 artigos por pesquisador interno, realizando 78% da meta pactuada para o ano. Sabe-se que este total de artigos pode estar subestimado, devido ao tempo de indexação na base <i>Web Of Science</i>, pois há um intervalo de tempo entre a publicação e a indexação. Sugere-se à CACG que a</p>																		

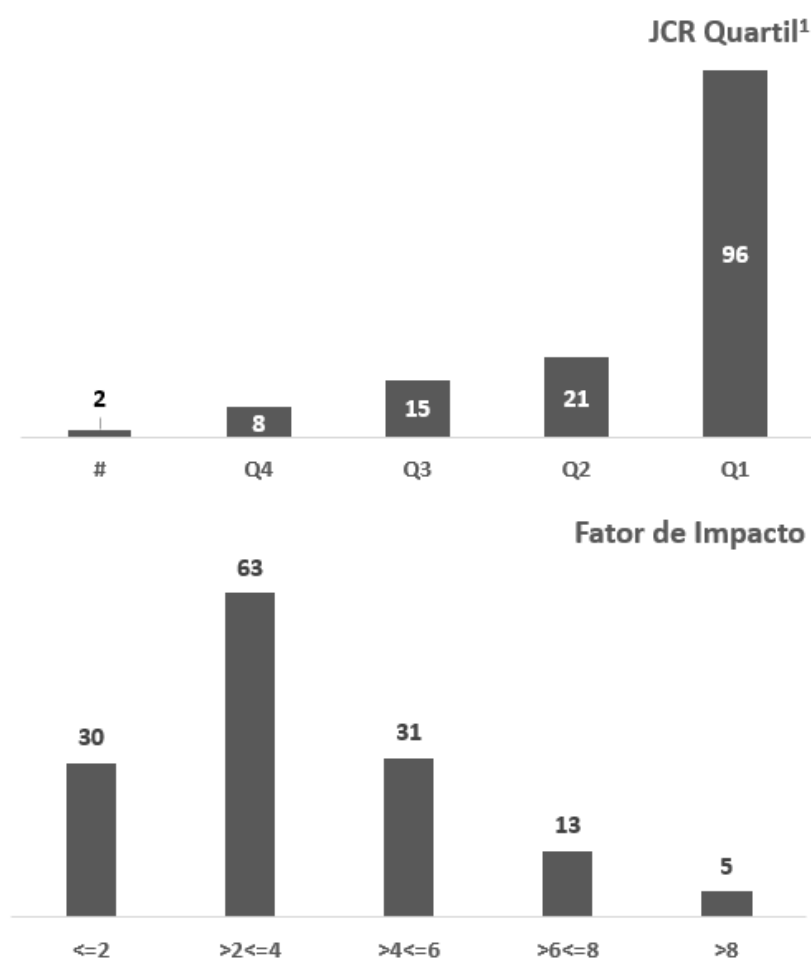
partir do ano de 2015 possamos encaminhar de maneira complementar a lista de artigos já publicados no ano vigente, independentemente de sua indexação na base.

Produtividade Científica
Dados relativos ao indicador 8

Diversos autores do CNPEM publicam em colaboração, portanto a somatória do valores abaixo superam o número total de artigos publicados no ano.



Análise qualitativa da produção científica



¹Baseado no Fator de Impacto (FI), o *Journal Citation Reports* publicado pela Thomson Reuters fornece *rankings* anuais de quartil, derivado para cada periódico em diversas áreas do conhecimento.

Q1 representa 25% dos maiores FI;

Q2 para a posição de médio-alto (entre 25% e 50%);

Q3 posição do médio-baixo (entre 75% superior ao topo 50% do ranking);

Q4 posição mais baixa (25% dos FI menores da distribuição);

não há ainda classificação de quartil;

Indicador 9: Parcerias em projetos de P&D com instituições de ensino e pesquisa															
Macro Processo: Realizar e difundir pesquisa própria															
Objetivo Estratégico do C.G.: Implantar e gerir a infraestrutura do CNPEM, visando ganhos de eficiência e eficácia mediante mecanismos de gestão, informação e difusão.															
Finalidade: Medir o esforço de cooperação dos Laboratórios Nacionais com instituições de ensino e pesquisa, voltado ao fortalecimento da capacidade mútua de solução de problemas científicos e tecnológicos.															
Descrição: Para a apuração deste indicador serão contabilizados acordos de cooperação e contratos formalizados com instituições de ensino e pesquisa, vigentes no ano de referência.															
Fórmula de cálculo: <i>Indicador 9 = número total de acordos e contratos com instituições de ensino e pesquisas vigentes no período</i>															
Tipo: Desempenho	Peso: 2	Unidade: Número Absoluto	Qualificação: Eficiência												
		Meta 2014: 20	Realizado: 23												
Histórico indicador:															
<p style="text-align: center;">Parcerias com instituições de ensino e pesquisa</p> <table border="1"> <caption>Dados do Gráfico: Parcerias com instituições de ensino e pesquisa</caption> <thead> <tr> <th>Ano</th> <th>Resultado</th> <th>Meta</th> </tr> </thead> <tbody> <tr> <td>2012</td> <td>14</td> <td>12</td> </tr> <tr> <td>2013</td> <td>16</td> <td>12</td> </tr> <tr> <td>2014</td> <td>23</td> <td>20</td> </tr> </tbody> </table>				Ano	Resultado	Meta	2012	14	12	2013	16	12	2014	23	20
Ano	Resultado	Meta													
2012	14	12													
2013	16	12													
2014	23	20													
Comentário: Este indicador alcançou 115% da meta pactuada. Durante o ano de 2014, o CNPEM contou com 23 acordos vigentes com instituições de ensino e pesquisa, no Brasil e no exterior, sendo o número composto por 10 do LNBio, 5 do LNLS, 2 do LNNano, 4 do CTBE e 2 do CNPEM.															

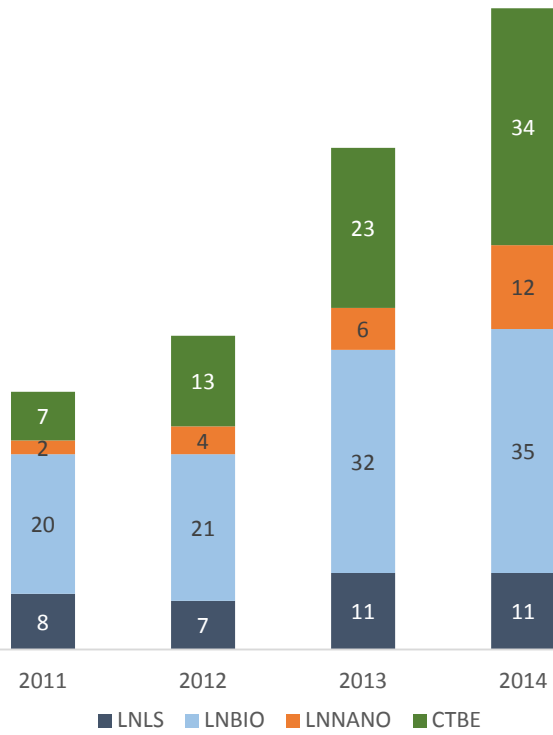
LN	Instituição Parceira	Início da Vigência	Fim da Vigência
CNPEM	Universidade Estadual de Campinas - UNICAMP	16/06/2011	15/06/2016
CNPEM	Universidade Federal do Rio de Janeiro	20/12/2013	19/12/2019
CTBE	Fundação Universidade de Caxias do Sul - FUCS	11/12/2009	10/06/2015
CTBE	Universidad de Concepción - Pontificia Universidad Católica de Valparaíso	18/11/2010	17/11/2015
CTBE	Imperial College of Science	22/01/2010	21/01/2015
CTBE	Max-Planck Institute	17/06/2014	16/06/2017
LN BIO	Fundação Centros de Referência em Tecnologias Inovadoras - CERTI	19/08/2011	18/08/2021
LN BIO	Fundação Antonio Prudente (Hospital A.C. Camargo)	04/11/2012	03/11/2017
LN BIO	Centro National de La Recherche Scientifique e Commissariat a L'Energie Atomique Et Aux energies Alternatives	12/07/2013	11/07/2017
LN BIO	Centro Infantil de Investigação Hematológicas Dr. Domingos A. Boldrini e Rheabiotech Desenvolvimento, produção e comercialização de Produtos de Biotecnologia Ltda	21/12/2011	20/12/2023
LN BIO	Instituto Agrônômico	10/09/2012	09/09/2015
LN BIO	UNIMORE - Universita Degli Studi Di Modena E Reggio Emilia	01/02/2014	31/01/2017
LN Bio	Ministério da Saúde	30/12/2013	30/12/2015
LN BIO	DNDi - Drugs for Neglected Diseases Initiative	01/01/2014	31/12/2014
LN BIO	Única Educacional	01/10/2014	30/09/2015
LN BIO	Cencoderma Instituição de Pesquisa e Desenvolvimento de Cosméticos Ltda	07/11/2014	06/11/2015
LNLS	European Organization for Nuclear Research	16/01/2013	15/01/2015
LNLS	European Organization for Nuclear Research	14/01/2013	Indeterminado
LNLS	Deutsches Elektronen-Synchrotron DESY e European XFEL GmbH	05/05/2011	04/05/2016
LNLS	Censejo Nacional de Investigaciones Científicas y Técnicas	08/10/2012	07/10/2017
LNLS	Brookhaven Science Associates	16/12/2011	15/12/2016
LNNANO	The National Center for Nanoscience and Nanotechnology (NERCN)	05/09/2012	27/09/2017
LNNano	Ministério da Ciência, Tecnologia e Inovação	12/08/2014	11/08/2016

Indicador 10: Memorando técnicos																											
Macro Processo: Realizar e difundir pesquisa própria																											
Objetivo Estratégico do C. G. Realizar e difundir pesquisa própria, desenvolvimento e inovação em nível dos melhores laboratórios similares no mundo, em áreas previstas na Política Nacional de Ciência, Tecnologia e Inovação.																											
Finalidade: Medir o desenvolvimento de instrumentação científica e de métodos de forma periódica e sistemática																											
Descrição: Contabilizar o número de memorandos técnicos produzidos e publicados no sítio do CNPEM na internet no período de referência.																											
Fórmula de cálculo: <i>Indicador 10 = Número de memorandos técnicos disponíveis na página eletrônica do CNPEM no período</i>																											
Tipo: Desempenho	Peso: 2	Unidade: Número Absoluto	Qualificação: Efetividade																								
Meta 2014: 14		Realizado: 11																									
Histórico indicador:																											
<p>Memorandos técnicos</p> <table border="1" style="margin-left: auto; margin-right: auto;"> <thead> <tr> <th>Ano</th> <th>Resultado</th> <th>Meta</th> </tr> </thead> <tbody> <tr> <td>2008</td> <td>7</td> <td>10</td> </tr> <tr> <td>2009</td> <td>7</td> <td>10</td> </tr> <tr> <td>2010</td> <td>10</td> <td>10</td> </tr> <tr> <td>2011</td> <td>10</td> <td>10</td> </tr> <tr> <td>2012</td> <td>10</td> <td>10</td> </tr> <tr> <td>2013</td> <td>14</td> <td>10</td> </tr> <tr> <td>2014</td> <td>11</td> <td>14</td> </tr> </tbody> </table> <p>— Resultado —●— Meta</p>				Ano	Resultado	Meta	2008	7	10	2009	7	10	2010	10	10	2011	10	10	2012	10	10	2013	14	10	2014	11	14
Ano	Resultado	Meta																									
2008	7	10																									
2009	7	10																									
2010	10	10																									
2011	10	10																									
2012	10	10																									
2013	14	10																									
2014	11	14																									
Comentário: 11 novos Memorandos Técnicos foram cadastrados na biblioteca e publicados no site dos Laboratórios Nacionais. Esses resultados representam 79% da meta pactuada para o ano.																											

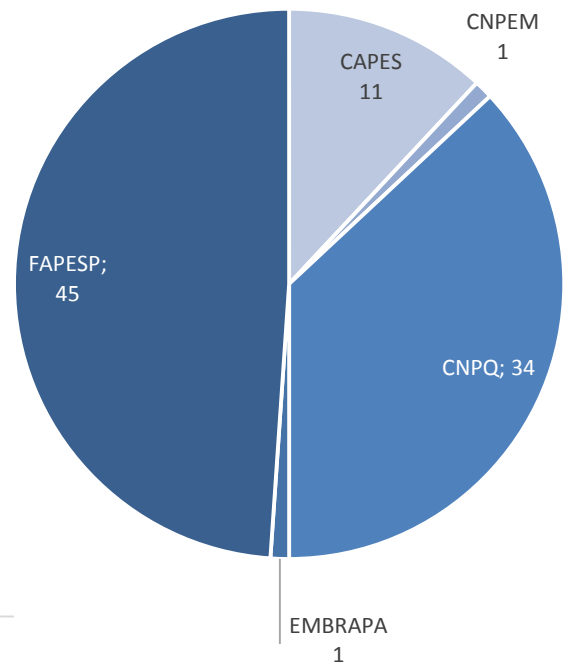
Memorando Técnico	Autores	MeT	LN
BioXAS workstation	Vicentin, F. C., Marques, J. B.	Memorando Técnico, MeT 01/2014	LNLS
Características óticas da linha MX1	Meyer, B. C., Murakami, M. T.	Memorando Técnico, MeT 02/2014	LNLS/LNBIO
Características óticas da linha SAXS1	Meyer, B. C., Cardoso, M. B.	Memorando Técnico, MeT 05/2014	LNLS
Características óticas da linha SAXS2	Meyer, B. C., Cardoso, M. B.	Memorando Técnico, MeT 06/2014	LNLS
Características óticas da linha SGM	Meyer, B. C., Fonseca, P. T.	Memorando Técnico, MeT 07/2014	LNLS
Fabrication of PDMS microfluidic devices using soft lithography and plasma-based bonding	Lima, R. S., Shiroma, L. Y., Piazzetta, M. H. O., Gobbi, A. L.	Memorando Técnico, MeT 06/2014	LNNANO
Simple fabrication of electrochemical microchips	Lima, R. S., Piazzetta, M. H. O., Gobbi, A. L.	Memorando Técnico, MeT 07/2014	LNNANO
Scanning capacitance microscopy (SCM): high resolution mapping of the electrostatic surface properties	Costa, C. A. R., Lanzoni, E. M., Motoshima Filho, Y., Galembeck, F., Deneke, C.	Memorando Técnico, MeT 08/2014	LNNANO
Bacterial identification using full or long 16S rRNA gene sequences and bioinformatics tools	Riaño-Pachón, D. M.	Memorando Técnico, MeT 09/2014	CTBE
Physical-chemical characterization of sugarcane bagasse	Rocha, G. J. M., Nascimento, V. M., Rossel, C.E.V.	Memorando Técnico, MeT 10/2014	CTBE
BD Agro - CTBE database of agricultural experiments	Pontes, A. O., Ling, L. Y., Sanches, G. M., Magalhães, P. S. G., Ferreira, J. E., Driemeier, C. E.	Memorando Técnico, MeT 11/2014	CTBE

Indicador 11:																											
Taxa de supervisão de pós-doutores																											
Macro Processo: Gerir a infraestrutura, formar recursos humanos e promover a inovação.																											
Objetivo Estratégico do C.G : Realizar e difundir pesquisa própria, desenvolvimento e inovação em nível dos melhores laboratórios similares no mundo, em áreas previstas na Política Nacional de Ciência, Tecnologia e Inovação.																											
Finalidade: Medir a capacidades de atração pelo CNPEM de jovens pesquisadores, contribuindo para sua formação acadêmica e fortalecendo a base interna de pesquisa.																											
Descrição: Pós- doutores supervisionados por pesquisadores do CNPEM																											
Fórmula de cálculo: $\text{Indicador 11} = \frac{\text{número total de pós – doutores supervisionados no período}}{\text{número de pesquisadores internos no período}}$																											
Tipo: Desempenho	Peso: 3	Unidade: Razão	Qualificação: Eficiência																								
		Meta 2014: 1,0	Realizado: 1,26																								
Histórico indicador:																											
<p style="text-align: center;">Taxa de supervisão de pós-doutores</p> <table border="1"> <thead> <tr> <th>Ano</th> <th>Resultado</th> <th>Meta</th> </tr> </thead> <tbody> <tr> <td>2008</td> <td>0,79</td> <td>1</td> </tr> <tr> <td>2009</td> <td>0,76</td> <td>1,2</td> </tr> <tr> <td>2010</td> <td>0,7</td> <td>1,1</td> </tr> <tr> <td>2011</td> <td>0,63</td> <td>1</td> </tr> <tr> <td>2012</td> <td>0,69</td> <td>1</td> </tr> <tr> <td>2013</td> <td>1,1</td> <td>1,1</td> </tr> <tr> <td>2014</td> <td>1,26</td> <td>1</td> </tr> </tbody> </table>				Ano	Resultado	Meta	2008	0,79	1	2009	0,76	1,2	2010	0,7	1,1	2011	0,63	1	2012	0,69	1	2013	1,1	1,1	2014	1,26	1
Ano	Resultado	Meta																									
2008	0,79	1																									
2009	0,76	1,2																									
2010	0,7	1,1																									
2011	0,63	1																									
2012	0,69	1																									
2013	1,1	1,1																									
2014	1,26	1																									
Comentário: Um total de 92 doutores desenvolveram projetos de pós-doutoramento supervisionados por pesquisadores internos do CNPEM ao longo do primeiro semestre de 2014. Considerando um total de 72,8 pesquisadores internos (ver Indicador 8), o resultado do indicador alcança 126% da meta pactuada.																											

Histórico do número de Pós-doutores



Agências de Fomento



Indicador 12: Tecnologias protegidas

Macro Processo:

Gerir a infraestrutura, formar recursos humanos e promover a inovação

Objetivo Estratégico do C.G.:

Realizar e difundir pesquisa própria, desenvolvimento e inovação em nível dos melhores laboratórios similares no mundo, em áreas previstas na Política Nacional de Ciência, Tecnologia e Inovação.

Finalidade:

Aferir resultados das atividades de pesquisa e desenvolvimento próprias dos Laboratórios Nacionais do CNPEM.

Descrição:

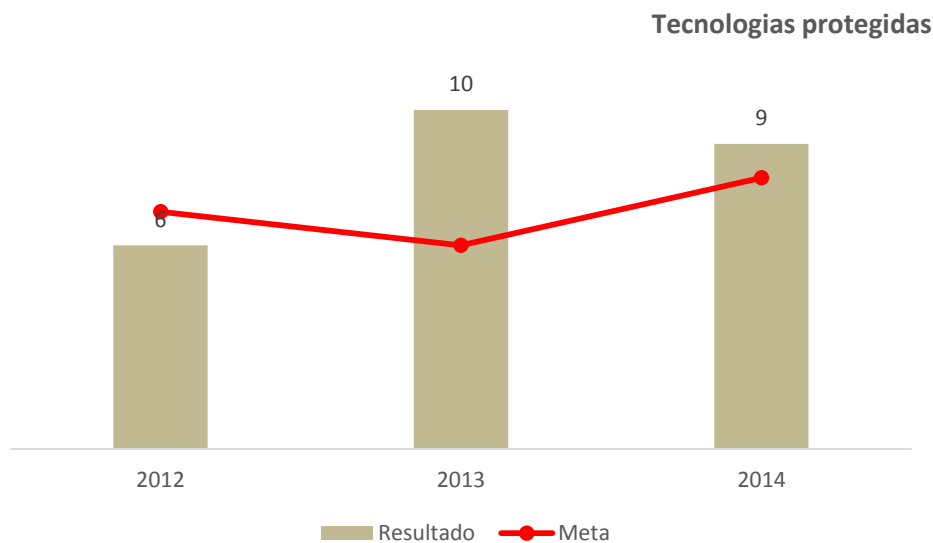
Para a apuração deste indicador serão contabilizados pedidos de patentes, registros de software e modelos de utilidade depositados no Instituto Nacional de Propriedade industrial ou em outros escritórios de patentes, no ano de referência.

Fórmula de cálculo:

Indicador 12 = número total de pedidos de propriedade intelectual depositados no período

Tipo: Desempenho	Peso: 1	Unidade: Número Absoluto	Qualificação: Efetividade
Meta 2014: 8			Realizado: 9

Histórico indicador:



Comentário: Em 2014, o CNPEM realizou nove novos registros de propriedade intelectual, sendo um registro de software desenvolvido pelo LNLS, sete patentes do LNNano e uma patente do CTBE, total acima da meta pactuada para 2014.

Modalidade	Processo	Título	Data de solicitação de registro	LN
Registro de Software	BR 51 2014 000192 0	Mythen IOC	26/02/2014	LNLS
Patente	BR 10 2014 012630-9	Método de Selagem Adesiva de Sacrifício e Microdispositivos	26/05/2014	LNNano
Patente	BR 10 2014 009745-7	Dispositivo sensor para determinação da concentração de analíticos em fase líquida, preferencialmente álcool e/ou água, e método de construção do dispositivo sensor	24/04/2014	LNNano
Patente	BR 10 2014 017025-1	Microdispositivo com eletrodos concêntricos e seu processo de produção	10/07/2014	LNNano
Patente	BR 10 2014 019471-1	Fabricação de Compósitos Carbossilícicos porosos a partir de resíduos de queima de biomassa e método	06/08/2014	LNNano
Patente	BR 10 2014 019690-0	Processo para produção de energia elétrica por oxidação direta de substâncias sólidas e líquidas redutoras, inclusive derivadas de biomassa, resíduos ou efluentes e suas células, dispositivos ou conjuntos-	08/08/2014	LNNano
Patente	BR 10 2014 023333-4	Processo para produção de dispositivos integrados semicondutores baseados na deposição de heteroestruturas III-IV semicondutoras, usando membranas transferidas como substratos virtuais em silício	19/09/2014	LNNano
Patente	BR 10 2014 032785-1	Método para Determinação Analítica Quantitativa	29/12/2014	LNNano
Patente	BR 10 2014 030175-5	Rolo Tombador - Levantador, Módulo de Colheita de Colmos e Processo de Colheita	02/12/2014	CTBE

Indicador 13: Recursos adicionais ao Contrato de Gestão			
Macro Processo: Gerir a infraestrutura, formar recursos humanos e promover a inovação			
Objetivo Estratégico do C.G: Implantar e gerir a infraestrutura do CNPEM, visando ganhos de eficiência e eficácia mediante mecanismos de gestão, informação e difusão.			
Finalidade: Medir o volume de recursos adicionais ao Contrato de Gestão, empregado no financiamento da operação do CNPEM.			
Descrição: Razão entre o volume de recursos recebidos de contratos e convênios com empresas, instituições de fomento (auxílios individuais e instituições), rendimentos financeiros e aluguéis e o volume de recursos do Contrato de Gestão efetivamente repassados, no ano de referência. Inclui Restos a Pagar dos anos anteriores e exclui recursos aportados a projetos.			
Fórmula de cálculo: $\text{Indicador 13} = \frac{\text{Recursos de outras fontes no período}}{\text{Recursos do Contrato de Gestão no período}}$			
Tipo: Desempenho	Peso: 2	Unidade: Percentual	Qualificação: Eficiência
		Meta 2014: 30%	Realizado: 49%
Histórico indicador: Em 2013, este indicador alcançou 100% da meta, ou seja, 30% de recursos adicionais ao Contrato de Gestão.			
Comentário: Este indicador mede o total de recursos alavancados pelo CNPEM em comparação com os recursos do Contrato de Gestão efetivamente repassados no período. Em 2014 foram recebidos 37,7 milhões de reais provenientes de outras fontes. Em contrapartida o CNPEM recebeu um total de aproximadamente 114 milhões de reais provenientes de fontes diversas, incluindo o Contrato de Gestão. Tais valores indicam alavancagem de 49%, superando a meta pactuada.			

Recursos de Outras Fontes	37.673
Convênios e Projetos	24.285
Devolução de Convênios e Projetos	(28)
Prestação de Serviço	735
Rendimento Financeiro	4.130
Outras Receitas	519
Auxílios Individuais (Recursos executados)	8.032
Recursos do Contrato de Gestão no período	76.313
LOA 2014 Operação	63.534
Restos a pagar - Operação	12.779

*O valor de R\$ 28 mil é composto pelas devoluções de saldo financeiro dos convênios encerrados em 2014, sendo: FINEP C2 Nano e Petrobrás Sensor BR.

Indicador 14:
Parcerias em projetos PD&I com AIS

Macro Processo:

Gerir a infraestrutura, formar recursos humanos e promover a inovação.

Objetivo Estratégico do C.G:

Implantar e gerir a infraestrutura do CNPEM, visando ganhos de eficiência e eficácia mediante mecanismos de gestão, informação e difusão.

Finalidade:

Medir o esforço de cooperação dos Laboratórios Nacionais com empresas para o fortalecimento da capacidade de inovação no País.

Descrição:

Para a apuração deste indicador serão contabilizados acordos de cooperação formalizados com empresas, vigentes no ano de referência.

Fórmula de cálculo:

Indicador 14 = quantidade total de acordo com empresas vigentes no período

Tipo:

Desempenho

Peso:

2

Unidade:

Número Absoluto

Qualificação:

Eficiência

Meta 2014:

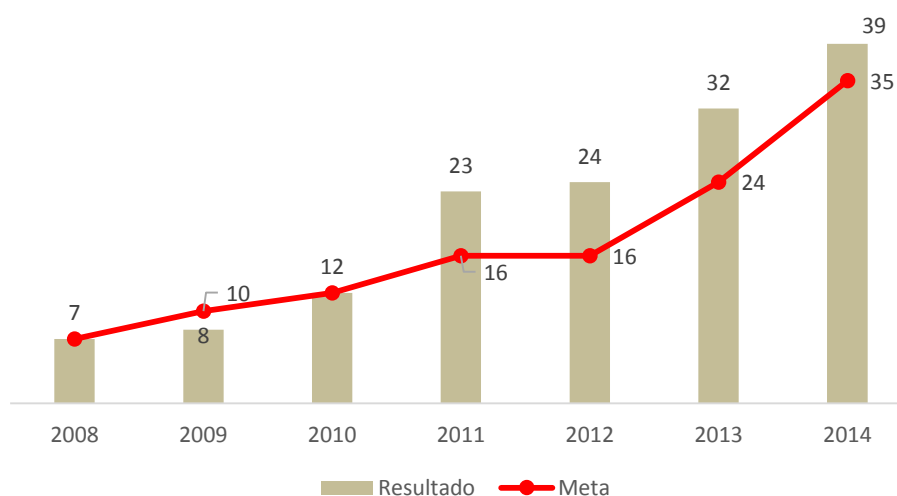
35

Realizado:

39

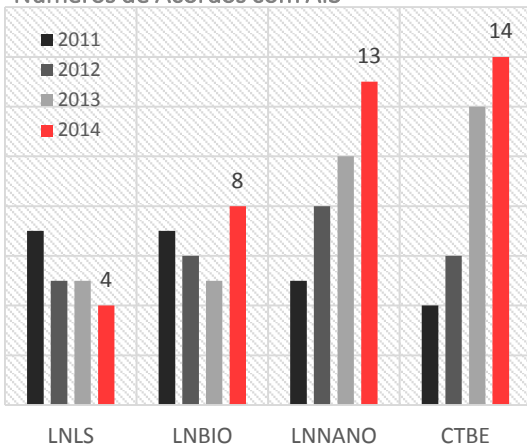
Histórico indicador:

Parcerias em projetos de PD&I com AIS

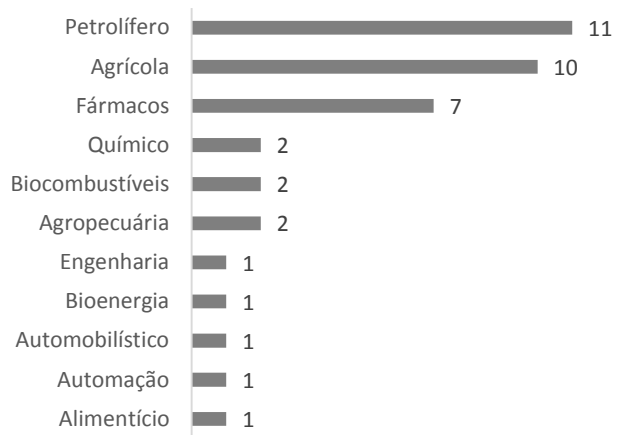


Comentário: Historicamente o CNPEM tem apresentado um crescimento no número de projetos em parcerias com empresas, incluindo empresas de grande porte dos setores agrícola/biocombustíveis, petróleo e gás e farmacêutico. O resultado apresentado em 2014 alcançou 111% da meta pactuada para o ano.

Números de Acordos com AIS



Setores Beneficiados



LN	Empresa Parceira	Setor de Aplicação	Início da Vigência	Fim da Vigência
CTBE	BP Energy do Brasil Ltda	Agrícola	22/11/2012	21/11/2014
CTBE	BP Corporation North America INC.	Agrícola	01/07/2013	31/12/2015
CTBE	DOW Brasil Sudeste Industrial Ltda e DSM South America Ltda	Biocombustíveis	16/08/2012	12/02/2014
CTBE	DOW Brasil Sudeste Industrial Ltda e DSM South America Ltda	Biocombustíveis	14/03/2014	31/12/2017
CTBE	Dedini S/A Indústria de Base	Agrícola	12/07/2011	11/07/2016
CTBE	Máquinas Agrícolas Jacto S.A	Agrícola	03/05/2011	02/05/2015
CTBE	Rhodia Poliamida e Especialidades Ltda - RHODIA	Agrícola	23/02/2012	22/02/2015
CTBE	Raízen Energia S/A	Agrícola	20/03/2013	19/03/2018
CTBE	ETH Bioenergia S.A.	Bioenergia	28/10/2011	27/10/2016
CTBE	Eli Lilly do Brasil Ltda	Agrícola	22/07/2013	21/07/2033
CTBE	Braskem S/A	Químico	12/06/2013	11/06/2015
CTBE	Empresa Brasileira de Pesquisa Agropecuária - EMBRAPA	Agropecuária	24/03/2014	23/03/2017
CTBE	DOW Brasil S.A.	Agrícola	15/10/2013	15/10/2016
CTBE	Evangelista & Cia Ltda	Agrícola	10/10/2014	09/10/2015
LNBIO	Natura Inovação e Tecnologia de Produtos Ltda	Fármacos	18/10/2010	05/04/2016
LNBIO	Recepta Biopharma	Fármacos	07/02/2013	06/02/2018
LNBIO	Recepta Biophama	Fármacos	25/02/2014	24/05/2017
LNBIO	ChromaDex Inc	Fármacos	03/04/2014	02/04/2019
LNBio	ColOff Industrial Ltda EPP	Fármacos	26/02/2014	26/02/2017
LNBIO	Brasil Kirin Indústria de Bebidas S/A	Alimentício	26/02/2014	25/02/2017
LNBIO	Phytobios Pesquisa, Desenvolvimento e Inovação Ltda	Fármacos	05/08/2014	24/01/2018
LNBIO	Cristália Produtos Químicos Farmacêuticos Ltda	Fármacos	02/10/2014	01/10/2015

LNLS	Petróleo Brasileiro S/A - PETROBRAS	Petrolífero	20/10/2011	17/04/2015
LNLS	Braskem S/A	Químico	22/11/2011	30/06/2014
LNLS	ADEST Técnicas para soldagem de Metais Ltda	Petrolífero	15/06/2007	14/06/2027
LNLS	WEG Equipamentos Elétricos S/A	Engenharia	14/02/2014	13/02/2016
LNNANO	Petróleo Brasileiro S/A PETROBRAS	Petrolífero	26/05/2008	30/06/2015
LNNANO	Petróleo Brasileiro S/A PETROBRAS	Petrolífero	03/09/2009	31/08/2014
LNNANO	Petróleo Brasileiro S/A PETROBRAS	Petrolífero	10/09/2010	30/10/2014
LNNANO	Petróleo Brasileiro S/A - PETROBRAS	Petrolífero	12/12/2012	01/12/2015
LNNANO	Confab Industrial S/A	Petrolífero	20/12/2012	31/12/2014
LNNANO	Tecnodrill Industria de Máquinas Ltda	Automação	10/07/2013	09/07/2018
LNNANO	Petróleo Brasileiro S/A PETROBRAS	Petrolífero	10/09/2013	09/09/2016
LNNANO	Empresa Brasileira de Pesquisa Agropecuária - EMBRAPA	Agropecuária	20/12/2013	19/12/2015
LNNANO	Mahle Metal Leve S/A	Automobilístico	24/04/2013	23/04/2015
LNNANO	ETH Bioenergia S.A.	Agrícola	08/03/2013	07/09/2016
LNNANO	FMC Technologies do Brasil Ltda	Petrolífero	17/07/2014	16/12/2015
LNNANO	Petróleo Brasileiro S/A PETROBRAS	Petrolífero	23/12/2014	22/12/2017
LNNANO	Petróleo Brasileiro S/A PETROBRAS	Petrolífero	09/12/2014	08/12/2016

Indicador 15:			
Recursos associados à inovação			
Macro Processo: Gerir a infraestrutura, formar recursos humanos e promover a inovação.			
Objetivo Estratégico do C.G: Implantar e gerir a infraestrutura do CNPEM, visando ganhos de eficiência e eficácia mediante mecanismos de gestão, informação e difusão.			
Finalidade: Aferir o volume de recursos associados a projetos de parceria e contratos de prestação de serviços envolvendo empresas dos setores de agricultura, indústria e serviços.			
Descrição: Razão entre o volume de recursos associados a projetos de parceria e contratos de prestação de serviços diretamente relacionados à inovação e o volume de recursos recebidos, no ano de referência.			
Fórmula de cálculo: $\text{Indicador 15} = \frac{\text{Recursos de projetos e contratos com empresas recebidos no período}}{\text{Recursos totais recebidos no período}}$			
Tipo: Desempenho	Peso: 2	Unidade: Percentual	Qualificação: Eficiência
		Meta 2014: 8%	Realizado 2014: 16%
Histórico indicador: Em 2013, este indicador alcançou 12% de recursos adicionais ao Contrato de Gestão.			
Comentário: Este indicador mede o total de recursos associados à inovação alavancados pelo CNPEM em comparação com os recursos do Contrato de Gestão efetivamente repassados no período. Em 2014 foram recebidos 10 milhões de reais provenientes de convênios e prestações de serviços associados à inovação. Em contrapartida o CNPEM recebeu um total de aproximadamente 114 milhões de reais provenientes de fontes diversas, incluindo o Contrato de Gestão. Tais valores indicam alavancagem de 16%, superando em 100% a meta pactuada.			

Recursos de Projetos e Contratos com empresas	18.029
Convênios	17.294
Prestação de Serviços	735
Recursos Totais Recebidos	113.986
Contrato de Gestão - LOA 2014	63.534
Contrato de Gestão - Restos a Pagar	12.779
Convênios e Projetos	24.285
Devolução de Convênios e Projetos	(28)
Prestação de Serviço	735
Rendimento Financeiro	4.130
Outras Receitas	519
Auxílios Individuais (Recursos executados)	8.032

*O valor de R\$ 28 mil é composto pelas devoluções de saldo financeiro dos convênios encerrados em 2014, sendo: FINEP C2 Nano e Petrobrás Sensor BR.

Indicador 16: Capacitação de pesquisadores externos

Macro Processo:

Gerir a infraestrutura, formar recursos humanos e promover a inovação.

Objetivo Estratégico do C.G.:

Implantar e gerir a infraestrutura do CNPEM, visando ganhos de eficiência e eficácia mediante mecanismos de gestão, informação e difusão.

Finalidade:

Medir o esforço dos Laboratórios Nacionais na capacitação de pesquisadores da comunidade científica e tecnológica brasileira.

Descrição:

O indicador é obtido a partir do somatório do fator CC para cada curso de capacitação (presencial) no ano de referência. Este fator CC é obtido pela multiplicação das horas de capacitação do curso pelo seu número de participantes.

Fórmula de cálculo:

Indicador 16 =

$$\sum_{x=0,n} (\text{Número de horas de capacitação do curso } x * \text{Número de participantes no curso } x)$$

Tipo:

Uso

Peso:

2

Unidade:

Número Absoluto

Qualificação:

Eficácia

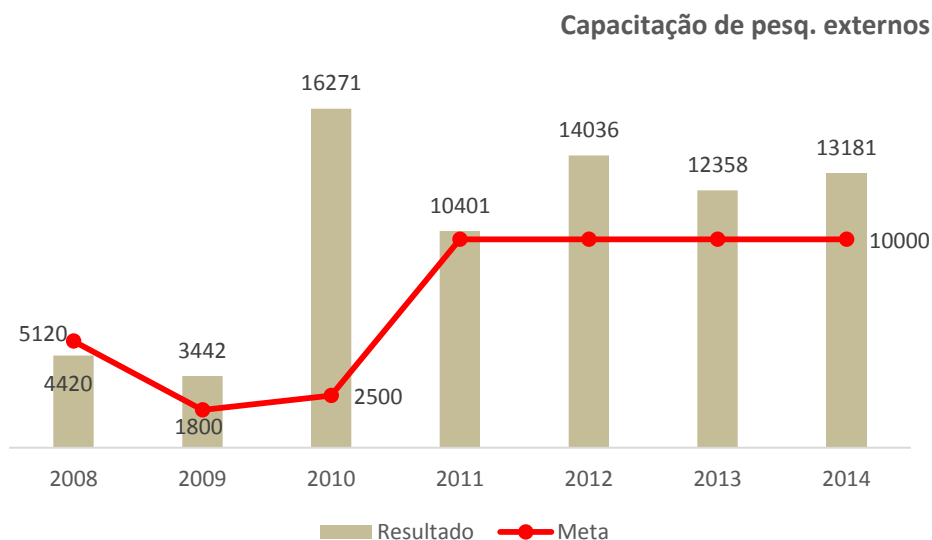
Meta 2014:

10.000

Realizado:

13.181

Histórico indicador:



Comentário: O CNPEM promoveu cinco eventos de capacitação entre eles, dois eventos do LNNano, um evento do LNLS, além de quatro eventos satélites da Reunião Anual de Usuários (RAU), dois eventos do LNBio e um evento de capacitação do CTBE. Esses eventos contaram com a participação de mais de 310 participantes e totalizaram, aproximadamente, de 400 horas de curso.

Título do Curso de Capacitação	LN	Data do evento	nº de participantes externos	nº de horas	Fator (Índice CC)
V Curso Teórico-Prático de Microscopia Eletrônica de Transmissão	LNNano	6 à 10/01/14, 13 à 17/01/14, 20 à 24/01/14	65	35	2275
			43	35	1505
			20		700
			17	35	595
School of XAS	LNLS	13 e 14/03/14	30	8	240
			22	8	176
School of SAXS	LNLS	13 e 14/03/14	19	8	152
			18	8	144
Applications of Synchrotron Radiation for Environmental and Earth Sciences	LNLS	13 e 14/03/14	32	8	256
			32	8	256
Workshop Extreme Condition Experiments for today and at Sirius	LNLS	13 e 14/03/14	18	8	144
			18	8	144
Workshop on Recent Advances and Applications in Confocal and Widefield Microscopy	LNBio	de 6 a 08/08/14	17	24	408
The 6th Brazil School for Single Particle Cryo-EM	LNNano	de 14 a 26/08/14	28	71,50	2002
Curso de capacitação em desenvolvimento pré-clínico de medicamentos biológicos	LNBio	de 08 à 12/09/2014 e de 15 à 19/09/2014	37	80	2960
4ª Semana Acadêmica de Engenharia Química da Universidade Técnica Federal do Paraná	CTBE	23 e 24/09/14	14	8	112
SAXS Workbench - 2nd training school for SAXS beginners	LNLS	26 e 27/11/14	4	24	96
Cursos "Producción de bioetanol de primera generación" e "Experiencias de producción de bioetanol de segunda generación - técnicas de pretratamientos"	CTBE	11/12/14	13	8	104
Curso de capacitação para professores do Centro Paula Souza/FATEC acerca das etapas de produção do etanol de segunda geração.	CTBE	15 a 17/09/14	38	24	912

Indicador 17: Eventos científicos

Macro Processo:

Gerir a infraestrutura, formar recursos humanos e promover a inovação

Objetivo Estratégico do C.G:

Implantar e gerir a infraestrutura do CNPEM, visando ganhos de eficiência e eficácia mediante mecanismos de gestão, informação e difusão

Finalidade:

Medir o número de eventos científicos promovidos pelo CNPEM direcionados à comunidade científica e tecnológica brasileira.

Descrição:

Para a apuração deste indicador será contabilizado o número de eventos de grande porte (acima de 50 participantes), de caráter científico, realizados pelo CNPEM no ano de referência - exceto cursos de capacitação envolvendo participantes externos.

Fórmula de cálculo:

$$\text{Indicador 17} = \text{número de eventos científicos do período}$$

Tipo:

Uso

Peso:

2

Unidade:

Número Absoluto

Qualificação:

Eficácia

Meta 2014:

4

Realizado:

9

Histórico indicador:

Em 2013 foram realizados 3 eventos científicos.

Comentário: Em 2014 o CNPEM realizou nove eventos científicos com a participação de 982 pesquisadores externos.

Título do Evento	LN	Data do evento	Nº de Participantes
24ª Reunião dos Usuários	LNLS	11 e 12/03/2014	129
1º Seminário Brasil-China de Nanotecnologia	LNNano	25 a 27/03/14	63
IV Workshop em Microfluidica	LNNano	24 e 25/07/2014	107
Workshop on Recent Advances and Applications in Confocal and Widefield Microscopy	LNBio	06 a 08/08/2014	78
Latin American Summit Meeting on Biological Crystallography and Complementary Methods	LNLS/LNBio	22 a 24/09/2014	86
V Proteomics Workshop	LNBio	5 e 6/11/14	121
V Workshop on Second Generation Bioethanol 2014	CTBE	10 e 11/11/2014	129
III Workshop on Sugarcane Physiology for Agronomic Applications	CTBE	02 e 03/12/2014	67
8º Congresso de Microscopia – MICROMAT	LNNANO	19 e 20/11/2014	202

Indicador 18: Participantes de eventos científicos			
Macro Processo: Gerir a infraestrutura, formar recursos humanos e promover a inovação			
Objetivo Estratégico do C.G.: Implantar e gerir a infraestrutura do CNPEM, visando ganhos de eficiência e eficácia mediante mecanismos de gestão, informação e difusão.			
Finalidade: Medir o número de participantes de eventos científicos promovidos pelo CNPEM.			
Descrição: Número de participantes de eventos de eventos científicos promovidos pelo CNPEM no período de referência – exceto cursos de capacitação.			
Fórmula de cálculo: <i>Indicador 18 = Número de participantes de eventos científicos no período</i>			
Tipo: Uso	Peso: 1	Unidade: Número Absoluto	Qualificação: Eficácia
		Meta 2014: 250	Realizado: 982
Histórico indicador: Em 2013, este indicador alcançou 319 participantes de eventos científicos.			
Comentário: O CNPEM reuniu em seus eventos científicos 982 participantes externos, alcançando 393% da meta pactuada para o ano de 2014.			
Título do Evento	LN	Data do evento	Nº de Participantes
24ª Reunião dos Usuários	LNLS	11 e 12/03/2014	129
1º Seminário Brasil-China de Nanotecnologia	LNNano	25 a 27/03/14	63
IV Workshop em Microfluidica	LNNano	24 e 25/07/2014	107
Workshop on Recent Advances and Applications in Confocal and Widefield Microscopy	LNBio	06 a 08/08/2014	78
Latin American Summit Meeting on Biological Crystallography and Complementary Methods	LNLS/LNBio	22 a 24/09/2014	86
V Proteomics Workshop	LNBio	5 e 6/11/14	121
V Workshop on Second Generation Bioethanol 2014	CTBE	10 e 11/11/2014	129
III Workshop on Sugarcane Physiology for Agronomic Applications	CTBE	02 e 03/12/2014	67
8º Congresso de Microscopia – MICROMAT	LNNANO	19 e 20/11/2014	202

ⁱ Durante a auditoria operacional do TCU ao CNPEM em 2014, observou-se a necessidade de atualização dos cadastros das instituições dos pesquisadores beneficiários no portal de usuários. Após a revisão das instituições indicadas nos cadastros, o número de propostas de pesquisas externas realizadas em 2013 aumentou de 871 para 937. Com esta atualização, algumas propostas de pesquisas foram reclassificadas de acordo com o vínculo do pesquisador proponente. Da mesma forma, essa alteração de status refletiu no número de beneficiários externos, que passou de 1.894 para 1.757. Estas alterações influenciaram também o número de horas de uso das instalações consideradas externas ou internas

alterando marginalmente os valores dos Indicadores 1 e 2 relatados no Relatório Anual. O Indicador 1 passou de 68% para 67% e o Indicador 2 passou de 48% para 49%. As variações identificadas não comprometeram as respectivas metas pactuadas para o ano de 2013.

A responsabilidade pela atualização do cadastro junto ao sistema cabe exclusivamente ao pesquisador. Face aos problemas identificados, o CNPEM adotou as medidas necessárias para garantir a atualização constante dos registros e, conseqüentemente, a apuração correta das horas utilizadas, propostas e beneficiários.

ⁱⁱ Mencionado na nota anterior.

ⁱⁱⁱ Mencionado na nota anterior.

^{iv} Mencionado na nota anterior.

ANEXO 2: DESTAQUES DE DIVULGAÇÃO NA IMPRENSA

CNPEM

Você SA

<http://www.cnpem.br/blog/2014/05/15/cerebros-voltam-para-ca/>

Carta Capital

<http://www.cnpem.br/blog/2014/11/19/vantagem-corrída-tecnológica/>

Valor Econômico

<http://www.cnpem.br/blog/2014/11/19/trabalho-conjunto-industria/>

Agência Fapesp

<http://www.cnpem.br/blog/2014/11/05/programa-equipamentos-multiusuarios-da-fapesp-estimula-a-pesquisa-colaborativa/>

LNLS

GloboNews

<http://www.cnpem.br/blog/2014/02/03/accelerador-de-particulas-desperta-interesse-de-varias-empresas-no-brasil/>

Valor Econômico

<http://www.cnpem.br/blog/2014/01/30/accelerador-de-particulas-atrai-setor-privado/>

O Estado de S. Paulo

<http://www.cnpem.br/blog/2014/12/22/maior-projeto-da-ciencia-brasileira-ganha-a-canetada-que-faltava-para-virar-realidade/>

Revista Fapesp

<http://www.cnpem.br/blog/2014/04/24/analises-feitas-a-distancia/>

Globo.com

<http://www.cnpem.br/blog/2014/12/22/assinado-contrato-para-construcao-de-novo-laboratorio-de-tecnologia/>

CBN

<http://www.cnpem.br/blog/2015/01/08/com-novo-sincrotron-campinas-espera-investimentos/>

Science Impact Magazine

<http://www.cnpem.br/blog/2014/11/05/new-horizons-for-materials-research/>

LNBio

Folha de S. Paulo

<http://www.cnpem.br/blog/2014/02/08/a-cientista-da-comunidade/>

UOL

<http://www.cnpem.br/blog/2014/04/09/novo-virus-transmitido-pelo-mosquito-da-dengue-pode-chegar-ao-pais-em-breve/>

Globo Cidadania

<http://www.cnpem.br/blog/2014/04/07/doencas-transmitidas-por-vetores-sao-destaque-no-dia-mundial-da-saude/>

Revista Você SA

<http://www.cnpem.br/blog/2014/04/15/historia-inspiradora-fisica-dos-sonhos/>

Revista Pesquisa Fapesp

<http://www.cnpem.br/blog/2014/06/25/rotas-alternativas/>

LNNano

Portal MCTI

<http://www.cnpem.br/blog/2014/03/20/brasil-e-china-discutem-cooperacao-em-nanotecnologia/>

Agência Fapesp

<http://www.cnpem.br/blog/2014/02/20/4%C2%BA-workshop-em-microfluidica/>

Pesquisa Fapesp

<http://www.cnpem.br/blog/2014/02/13/avancos-nos-diagnostics/>

Science Impact Magazine

<http://www.cnpem.br/blog/2014/11/13/science-unlocks-secrets-of-nature/>

CTBE

Valor Econômico

<http://www.cnpem.br/blog/2014/06/25/pesquisa-cria-colhedora-permite-ganho-productividade/>

TV Bandeirantes

<http://www.cnpem.br/blog/2014/02/21/impactos-da-estiagem-na-producao-de-cana-e-etanol/>

Globo Rural

<http://www.cnpem.br/blog/2014/12/10/usina-em-alagoas-comeca-a-produzir-o-etanol-de-segunda-geracao/>

Anexo 3 – Recomendações da Comissão de Avaliação do Contrato de Gestão ao CNPEM

<p>Recomendação: A CA recomenda fortemente que sejam criadas ações eficazes de divulgação das possibilidades de utilização da infraestrutura disponível nos laboratórios nacionais do CNPEM para usuários externos (mesmo não especialistas) em todas as regiões do país.</p> <p>Intensificar as ações voltadas para ampliar a abrangência territorial das atividades do Centro e definir uma estratégia para alcançar este objetivo.</p>	<p>Ações propostas: Elaborar Plano de Comunicação, com o envolvimento dos Laboratórios Nacionais, com foco aos usuários externos.</p> <p>Providências: Minuta do Plano de Comunicação elaborado pela Assessoria de Comunicação incluindo Newsletter de ampla divulgação.</p>
<p>Comentário na Reunião Semestral 2014: Recomendação em atendimento. A CA reconhece que houve avanço neste aspecto, no entanto ainda é necessário aprimorar o tipo e a natureza da informação, assim como a estratégia para atingir o potencial usuário.</p>	

No ano de 2014, a Assessoria de Comunicação trabalhou para ampliar a divulgação dos Laboratórios e suas *facilities* em todas as regiões do país. Para tanto, atuou fortemente junto a imprensa e iniciou ações para alcançar o público de interesse.

Uma *Newsletter* com matérias sobre as instalações dos laboratórios passou a ser enviada a cada dois meses para destinatários das comunidades acadêmica, científica, empresarial e do governo. Os diversos *stakeholders* foram mapeados nas várias regiões do país, com especial atenção àquelas com baixa participação histórica no conjunto de beneficiários e que abrigam instituições que potencialmente poderiam se beneficiar do acesso aos Laboratórios Nacionais do CNPEM.

Atualmente o mailing possui cerca de 4.500 destinatários, entre os quais incluem-se mais de 2.500 ligadas à academia, 800 ligados a órgãos governamentais, mais de 1.000 ligados à comunidade empresarial e cerca de 200 relacionados às agências de fomento. Além da divulgação nacional, a newsletter também tem alcance

internacional, incluindo destinatários nos Estados Unidos, Argentina, França, Itália e Alemanha. Abaixo um mapa que ilustra a localidade dos leitores da última *newsletter* enviada.



Além disso, há em andamento, um acordo com o CNPq para que seja fornecido para uso do CNPEM o *mailing* dos pesquisadores cadastrados nos Diretórios e Grupos de Pesquisa e na Plataforma Lattes. Desta forma, haverá uma ampliação das divulgações do Centro, além da possibilidade de fazer divulgações segmentadas para pesquisadores de determinadas áreas e/ou regiões do país. Essa negociação está em andamento e deve ser concluída nos primeiros meses de 2015.

Outra iniciativa que reflete os esforços para ampliar a abrangência territorial das atividades do Centro refere-se ao aumento do número de eventos científicos realizados no ano de 2014.

<p>Recomendação: Fazer constar nos relatórios anuais a relação de alunos de mestrado, doutorado, instituição e teses defendidas.</p>	<p>Providências:</p> <ul style="list-style-type: none">- Propor procedimento de atualização dos cadastros;- Cadastrar as dissertações e teses defendidas no repositório digital;- Incluir nos Relatórios Anuais.
<p>Comentário na Reunião Semestral 2014: Recomendação parcialmente atendida. Faltou a inclusão das instituições de vínculo na lista dos bolsistas atuais.</p>	

As instituições de vínculo foram incorporadas à lista dos bolsistas atuais e consta no Relatório Anual de 2014.

Recomendação: Fazer constar nos relatórios anuais os documentos de avaliação dos Comitês Científicos dos diferentes laboratórios, assim como feito pelo LNNano no Relatório Anual 2013.	Ações propostas: Incluir nos Relatório Anuais. Providências: Demanda monitorada.
Comentário na Reunião Semestral 2014: A ser considerado no Relatório Anual de 2014.	

A periodicidade da avaliação dos Comitês Científicos é bienal. O próximo ciclo de avaliação deverá ocorrer em 2015. A recomendação será atendida, portanto, no Relatório Anual de 2015.

Recomendação: Fazer constar nos relatórios anuais um mapa das instituições de origem das propostas submetidas aos diferentes laboratórios.	Ações propostas: Incluir nos Relatório Anuais. Providências: Lista de Instituições beneficiadas inseridas no Anexo 1 – Indicadores.
Comentário na Reunião Semestral 2014: Recomendação atendida já no Relatório Semestral.	

A lista de instituições beneficiadas consta no Anexo 1 – Indicadores do Relatório Anual de 2014. A recomendação foi atendida e incorporada aos relatórios anuais em caráter permanente.

<p>Recomendação: Fornecer à CA documentos relativos ao Planejamento estratégico e ao Plano Diretor.</p>	<p>Ações propostas: Enviar os relatórios.</p> <p>Providências: Documentos enviados.</p>
<p>Comentário na Reunião Semestral 2014: Recomendação mantida. Os membros da CA não receberam tais documentos.</p>	

Os documentos relativos ao Planejamento Estratégico e ao Plano Diretor foram encaminhados por meio eletrônico à Secretaria de Coordenação das Unidades de Pesquisa – SCUP e aos membros da Comissão de Avaliação, nas datas de 30 setembro e 7 de outubro de 2014, respectivamente.

<p>Recomendação: Explicitar os critérios de seleção dos Destaques contidos no Relatório.</p>	<p>Ações propostas: Incluir nos Relatórios Anuais.</p> <p>Providências: Demanda monitorada.</p>
<p>Recomendação realizada na Reunião Semestral 2014.</p>	

Os critérios de seleção dos Destaques foram incorporados ao texto da Parte I do Relatório Anual de 2014.

<p>Recomendação: Fazer constar no Indicador 8 o histograma da produção científica e tecnológica dos pesquisadores do Centro.</p>	<p>Ações propostas: Incluir nos Relatórios Anuais.</p> <p>Providências: Demanda Monitorada.</p>
<p>Recomendação realizada na Reunião Semestral 2014.</p>	

O histograma da produção científica e tecnológica dos pesquisadores do Centro foi incorporado ao Anexo 1 do Relatório Anual de 2014.

<p>Recomendação: Explicitar os critérios de corte orçamentário e a potencial repercussão no cumprimento das metas.</p>	<p>Ações propostas: Incluir no Relatório Anual 2014.</p> <p>Providências: Demanda Monitorada.</p>
<p>Recomendação realizada na Reunião Semestral 2014.</p>	

No contexto restritivo, o orçamento do Contrato de Gestão foi destinado exclusivamente à operação e à manutenção mínima do Centro, sem acréscimos de atividades.

ANEXO 4: REFERÊNCIAS DE ARTIGOS, TESES E DISSERTAÇÕES

Artigos Publicados por Beneficiários Externos

Ano 2014

1. ABRAHAM, J.; SÁNCHEZ, H. J.; GRENÓN, M. S.; PÉREZ, C. A. TXRF analysis of metals in oral fluids of patients with dental implants. **X-Ray Spectrometry**, v. 43, n. 4, p. 193-197, 2014.
2. ABREU, M. F.; SANTOS, D. R. DOS; GATTS, C. E. N.; GIACOMINI, R. A.; CARDOSO, S. L.; MIRANDA, P. C. M. L. Small-angle X-ray scattering structural study of the nanofiber self-assembly process in supramolecular gels based on glucopyranosides. **Journal of Applied Crystallography**, v.47, pt. 4, n. 1284-1297, 2014.
3. ACHAD, M.; LÓPEZ, M.L.; CEPPI, S.; PALANCAR, G.G.; TIRAO, G.; TOSELLI, B. M. Assessment of the fine and sub-micrometer aerosols at an urban environment of Argentina. **Atmospheric Environment**, v. 92, p. 522-532, 2014.
4. ACUÑA, L. M.; FUENTES, R. O.; FANTINI, M. C. A.; LAMAS, D. G. Relation between distortions in the oxygen sublattice and the local order of Zr in nanostructured ZrO₂-CeO₂ mixed oxides. **Journal of Physical Chemistry C**, v. 118, n. 21 p. 11445-11453, 2014.
5. ADRIANO, C.; ROSA, P. F. S.; JESUS, C. B. R.; MARDEGAN, J. R. L.; GARITEZI, T. M.; GRANT, T.; FISK, Z.; GARCIA, D. J.; REYES, A. P.; KUHNS, P. L.; URBANO, R. R.; GILES, C.; PAGLIUSO, P. G. Physical properties and magnetic structure of the intermetallic CeCuBi₂ compound. **Physical Review B**, v. 90, n. 23, p.235120, 2014.
6. AIROLDI, C.; OLIVEIRA, V. V. Hydrophobic contribution to amoxicillin release associated with organofunctionalized mesoporous SBA-16 carriers. **Materials Research Bulletin**, v. 59, p. 214-222, 2014.
7. ALCANTARA, K. F.; GOMES, A. H. A.; WOLFF, W.; SIGAUD, L.; SANTOS, A. C. F. Outer-shell double photoionization of CH₂Cl₂. **Chemical Physics**, v. 429, p. 1-4, 2014.
8. ALMEIDA JR., O. P.; TOLEDO, T. R.; ROSSI, D.; ROSSETTO, D. B.; WATANABE, T. F.; GALVÃO, F. C.; MEDEIROS, A. I.; ZANELLI, C. F.; VALENTINI, S. R. Hypusine modification of the ribosome-binding protein eIF5A, a target for new anti-inflammatory drugs: understanding the action of the inhibitor GC7 on a Murine macrophage cell line. **Current Pharmaceutical Design**, v. 20, n. 2, p. 284-292, 2014.

ANEXO 4: REFERÊNCIAS DE ARTIGOS, TESES E DISSERTAÇÕES

Artigos Publicados por Beneficiários Externos

Ano 2014

1. ABRAHAM, J.; SÁNCHEZ, H. J.; GRENÓN, M. S.; PÉREZ, C. A. TXRF analysis of metals in oral fluids of patients with dental implants. **X-Ray Spectrometry**, v. 43, n. 4, p. 193-197, 2014.
2. ABREU, M. F.; SANTOS, D. R. DOS; GATTS, C. E. N.; GIACOMINI, R. A.; CARDOSO, S. L.; MIRANDA, P. C. M. L. Small-angle X-ray scattering structural study of the nanofiber self-assembly process in supramolecular gels based on glucopyranosides. **Journal of Applied Crystallography**, v.47, pt. 4, n. 1284-1297, 2014.
3. ACHAD, M.; LÓPEZ, M.L.; CEPPI, S.; PALANCAR, G.G.; TIRAO, G.; TOSELLI, B. M. Assessment of the fine and sub-micrometer aerosols at an urban environment of Argentina. **Atmospheric Environment**, v. 92, p. 522-532, 2014.
4. ACUÑA, L. M.; FUENTES, R. O.; FANTINI, M. C. A.; LAMAS, D. G. Relation between distortions in the oxygen sublattice and the local order of Zr in nanostructured ZrO₂-CeO₂ mixed oxides. **Journal of Physical Chemistry C**, v. 118, n. 21 p. 11445-11453, 2014.
5. ADRIANO, C.; ROSA, P. F. S.; JESUS, C. B. R.; MARDEGAN, J. R. L.; GARITEZI, T. M.; GRANT, T.; FISK, Z.; GARCIA, D. J.; REYES, A. P.; KUHNS, P. L.; URBANO, R. R.; GILES, C.; PAGLIUSO, P. G. Physical properties and magnetic structure of the intermetallic CeCuBi₂ compound. **Physical Review B**, v. 90, n. 23, p.235120, 2014.
6. AIROLDI, C.; OLIVEIRA, V. V. Hydrophobic contribution to amoxicillin release associated with organofunctionalized mesoporous SBA-16 carriers. **Materials Research Bulletin**, v. 59, p. 214-222, 2014.
7. ALCANTARA, K. F.; GOMES, A. H. A.; WOLFF, W.; SIGAUD, L.; SANTOS, A. C. F. Outer-shell double photoionization of CH₂Cl₂. **Chemical Physics**, v. 429, p. 1-4, 2014.
8. ALMEIDA JR., O. P.; TOLEDO, T. R.; ROSSI, D.; ROSSETTO, D. B.; WATANABE, T. F.; GALVÃO, F. C.; MEDEIROS, A. I.; ZANELLI, C. F.; VALENTINI, S. R. Hypusine modification of the ribosome-binding protein eIF5A, a target for new anti-inflammatory drugs: understanding the action of the inhibitor GC7 on a Murine macrophage cell line. **Current Pharmaceutical Design**, v. 20, n. 2, p. 284-292, 2014.

9. ALMEIDA, A. K. A.; DIAS, J. M. M.; SILVA, A. J. C.; SANTOS, D. P.; NAVARRO, M.; TONHOLO, J.; GOURLAT, M. O. F.; RIBEIRO, A. S. Conjugated and fluorescent polymer based on dansyl-substituted pyrrole prepared by electrochemical polymerization in acetonitrile containing boron trifluoride diethyl etherate. **Electrochimica Acta**, v. 122, p. 50-56, 2014.
10. ALTEI, W. F.; PICCHI, D. G.; ABISSI, B. M.; GIESEL, G. M.; FLAUSINO JR., O.; REBOUD-RAVAUX, M.; VERLI, H.; CRUSCA JR., E.; SILVEIRA, E. R.; CILLI, E. M.; BOLZANI, V. S. Jatrophin I, a cyclic peptide from brazilian *Jatropha curcas L.*: isolation, characterization, conformational studies and biological activity. **Phytochemistry**, v. 107, p. 91-96, 2014.
11. ALVIM, H. G. O.; GOZZO, F. C.; LIMA, T. B.; OLIVEIRA, A. L.; OLIVEIRA, H. C. B.; SILVA, F. M.; SOUZA, R. Y.; SILVA, W. A.; NETO, B.A.D. Facts, presumptions, and myths on the solvent-freeed catalyst-free Biginelli reaction. What is catalysis for? **Journal of Organic Chemistry**, v. 79, n. 8, p. 3383-3397, 2014.
12. AMIRKHANYAN, Z. F.; REMÉDIOS, C. M. R.; MASCARENHAS, Y. P.; MORELHÃO, S. L. Analyzing structure factor phases in pure and doped single crystals by synchrotron X-ray renninger scanning. **Journal of Applied Crystallography**, v. 47, pt. 1, p. 160-165, 2014.
13. ANDRADE, A. B.; MELLO, A. C. S.; REZENDE, M. V. DOS S.; BALDOCHI, S. L.; VALERIO, M. E. G. Optical properties of Pr-doped BaY₂F₈. **Journal of Applied Physics**, v. 116, n. 5, p. 053521, 2014.
14. ANDRADE, C. B. V.; SALATA, C.; SILVA, C. M. ; FERREIRA-MACHADO, S. C.; BRAZ, D.; ALMEIDA, A. P.; NOGUEIRA, L. P.; BARROSO, R. C.; ALMEIDA, C. E.; MANTUANO, A.; MOTA, C. L. S.; PICKLER, A. Evaluation of radiotherapy and chemotherapy effects in bone matrix using X-ray microfluorescence. **Radiation Physics and Chemistry**, v. 95, p. 274-279, 2014.
15. ANDRADE, G. R. S.; NASCIMENTO, C. C.; MATOS, C. R. S.; SUSSUCHI, E. M.; COSTA, L. P.; NASCIMENTO, K. S.; CAVADA, B. S.; GIMENEZ, I. F. Study of the bioconjugation of ternary alloyed ZnCdTe nanocrystals to concanavalin A. **Journal of Photochemistry and Photobiology A**, v. 295, p. 46-52, 2014.
16. ANDRADE, G. R. S.; NASCIMENTO, C. C.; XAVIER, P. A.; COSTA, S. S. L.; COSTA, L. P.; GIMENEZ, I. F. Cu-doped CdS and ZnS nanocrystals grown onto thiolated silica-gel. **Optical Materials**, v. 37, p. 641-645, 2014.
17. ANDRÉS, J.; GONZALES-NAVARRETE, P.; LONGO, V. M.; AVANSI JR., W.; VOLANTI, D. P.; FERRER, M. M.; LEMOS, P. S.; LA PORTA, F. A.; HERNANDES, A. C.; LONGO, E. Structural and electronic analysis of the atomic scale nucleation of Ag on alpha-Ag₂WO₄ induced by electron irradiation. **Scientific Reports**, v. 4, n. 5391, 2014.
18. ARAÚJO, B.; TORRES, L.; STEIN, M.; CABRAL, F. R.; HERAI, R.; OKAMOTO, O.; CAVALHEIRO, E. Decreased expression of proteins involved in energy metabolism in the hippocampal granular

- layer of rats submitted to the pilocarpine epilepsy model. **Neuroscience Letters**, v. 561, p. 46-51, 2014.
19. ARAUJO, K. A. S.; PAULI, M.; FERREIRA, S. O.; MALACHIAS, A.; CURY, L. A. Interface engineering to probe exciton energy transfer mechanism in conjugated polymer bilayers. **Organic Electronics**, v. 15, n. 12, p. 3501-3505, 2014
 20. ASENCIOS, Y. J. O.; ELIAS, K. F. M.; ASSAF, E. M. Oxidative-reforming of model biogas over NiO/Al₂O₃ catalysts: the influence of the variation of support synthesis conditions. **Applied Surface Science**, v. 317, p. 350-359, 2014.
 21. AZCARATE, J. C.; ADDATO, M. A. F.; RUBERT, A. A.; CORTHEY, G.; MORENO, G. S. K.; BENITEZ, G.; ZELAYA, E.; SALVAREZZA, R. C.; FONTICELLI, M. H. Surface chemistry of thiomalic acid adsorption on planar gold and gold nanoparticles. **Langmuir**, v. 30, n. 7, p. 1820-1826, 2014.
 22. BACELLAR, I. O. L.; PAVANI, C.; SALES, E. M.; ITRI, R.; WAINWRIGHT, M.; BAPTISTA, M. S. Membrane damage efficiency of phenothiazinium photosensitizers. **Photochemistry and Photobiology**, v. 90, p. 801-813, 2014.
 23. BALLESTEROS, C. A. S.; CANCINO, J.; MARANGONI, V. S.; ZUCOLOTTO, V. Nanostructured Fe₃O₄ satellite gold nanoparticles to improve biomolecular detection. **Sensors and Actuators B**, v. 198, p. 377-383, 2014.
 24. BAQUÉ, L.; AURELIO, G.; LAMAS, D. G.; ARICÓ, S.; CRAIEVICH, A. F. Phase identification of Cu-In alloys with 45 and 41.25 at.% in compositions. **Journal of Phase Equilibria and Diffusion**, v. 35, n. 1, p. 2-10, 2014.
 25. BARBELLI, M. L.; MIZRAHI, M.; POMPEO, F.; SANTORI, G. F.; NICHIO, N. N.; RAMALLO-LÓPEZ, J. M. EXAFS characterization of PtNi bimetallic catalyst applied to glycerol liquid-phase conversion. **Journal of Physical Chemistry C**, v. 118, n. 41, p. 23645-23653, 2014.
 26. BARCELOS, I. D.; MOURA, L. G.; LACERDA, R. G.; MALACHIAS, A. Observation of strain-free rolled-up CVD graphene single layers: toward unstrained heterostructures. **Nano Letters**, v. 14, p. 3919-3924, 2014.
 27. BARIN, G. B.; GIMENEZ, I. F.; COSTA, L. P.; SOUZA FILHO, A. G.; BARRETO, L. S. Hollow carbon nanostructures obtained from hydrothermal carbonization of lignocellulosic biomass. **Journal of Materials Science**, v. 49, n. 2, p. 665-672, 2014.
 28. BARROSO-NETO, I. L.; SIMÕES, R. C.; ROCHA, B. A. M.; BEZERRA, M. J. B.; PEREIRA-JÚNIOR, F. N.; OSTERNE, V. J. S.; NASCIMENTO, K. S.; NAGANO, C. S.; DELATORRE, P.; PEREIRA, M.G.; PIRES, A. F.; SAMPAIO, A. H.; ASSREUY, A. M. S.; CAVADA, B. S. Vasorelaxant activity of *Canavalia*

- grandiflora* seed lectin: a structural analysis. **Archives of Biochemistry and Biophysics**, v. 543, p. 31-39, 2014.
29. BERNARDES, A. A.; RADTKE, C.; ALVES, M. C. M.; BAIBICH, I. M.; LUCHESE, M.; DOS SANTOS, J. H. Z. Synthesis and characterization of $\text{SiO}_2\text{-CrO}_3$, $\text{SiO}_2\text{-MoO}_3$, and $\text{SiO}_2\text{-WO}_3$ mixed oxides produced using the non-hydrolytic sol-gel process. **Journal of Sol-Gel Science and Technology**, v. 69, n. 1, p. 72-84, 2014.
 30. BERNARDO, P. L.; GHIVELDER, L.; ESLAVA, G. G.; AMORIM, H. S.; FELNER, I.; GARCIA, S. Monoclinic distortion and magnetic coupling in the double perovskite $\text{Sr}_{2-x}\text{Ca}_x\text{YRuO}_6$. **Journal of Solid State Chemistry**, v. 220, p. 270-276, 2014.
 31. BEZERRA, G. A.; VIERTIMAYR, R.; MOURA, T. R.; DELATORRE, P.; ROCHA, B. A. M.; DO NASCIMENTO, G. S.; FIGUEIREDO, J. G.; BEZERRA, I. G.; TEIXEIRA, C. S.; SIMÕES, R. C.; NAGANO, C. S.; ALENCAR, N. M. N.; GRUBER, K.; CAVADA, B. S. Structural studies of an anti-inflammatory lectin from *Canavalia boliviana* seeds in complex with dimannosides. **PLoS One**, v. 9, n. 5, p. e97015, 2014.
 32. BIANCHI, R. C.; SILVA, E. R.; DALL'ANTONIA, L. H.; FERREIRA, F. F.; ALVES, W. A. A nonenzymatic biosensor based on gold electrodes modified with peptide self-assemblies for detecting ammonia and urea oxidation. **Langmuir**, v. 30, n. 38, p. 11464-11473, 2014.
 33. BILOVOL, V.; FERRARI, S.; DEREWNICKA, D.; SACCONI, F. D. XANES and XPS study of electronic structure of Ti-enriched Nd-Fe-B ribbons. **Materials Chemistry and Physics**, v. 146, n. 3, p. 269-276, 2014.
 34. BILOVOL, V.; PAMPILLO, L. G.; SACCONI, F. D. Study on target-film structural correlation in thin cobalt ferrite films grown by pulsed laser deposition technique. **Thin Solid Films**, v. 562, p. 218-222, 2014.
 35. BILOVOL, V.; PAMPILLO, L. G.; WOLFF, U.; SACCONI, F. D. Cobalt ferrite films: nanopolishing and magnetic properties. **IEEE Transactions on Magnetics**, v. 50, n. 9, p. 6000305, 2014.
 36. BILOVOL, V.; SACCONI, F. D. Occupancy of 4d-states in T (T: Mo, Nb) from NEXAFS L (3,2) spectra of Nd-Fe-B-T alloys. **Journal of Applied Spectroscopy**, v. 81, n. 3, p. 499-502, 2014.
 37. BOITA, J.; ALVES, M. C. M.; MORAIS, J. A reaction cell for time-resolved in situ XAS studies during wet chemical synthesis: the $\text{Cu-2(OH)}_3\text{Cl}$ case. **Journal of Synchrotron Radiation**, v. 21, pt. 1, p. 254-258, 2014.
 38. BOITA, J.; BERNARDI, F.; CASTEGNARO, M. V.; NICOLAO, L.; ALVES, M. C. M. Reversible sulfidation of $\text{Pt}_{0.3}\text{Pd}_{0.7}$ nanoparticles investigated by in situ time-resolved XAS. **Journal of Physical Chemistry C**, v. 118, n. 10, p. 5538-5544, 2014.

39. BOITA, J.; NICOLAO, L.; ALVES, M. C. M.; MORAIS, J. DE. Observing Pt nanoparticle formation at the atomic level during polyol synthesis. **Physical Chemistry Chemical Physics (PCCP)**, v. 16, p. 17640-17647, 2014.
40. BORGES, T. A.; SOUZA, A. T.; SQUINA, F. M.; RIAÑO-PACHÓN, D. M.; SANTOS, R. A. C.; MACHADO, E.; DAMÁSIO, A. R. DE L.; GOLDMAN, G. H. Biochemical characterization of an endoxylanase from *Pseudozyma brasiliensis* sp nov strain GHG001 isolated from the intestinal tract of *Chrysomelidae* larvae associated to sugarcane roots. **Process Biochemistry**, v. 49, n. 1, p. 77-83, 2014.
41. BORGHETI-CARDOSO, L. N.; DEPIERI, L. V.; DINIZ, H.; CALZZANI, R. A. J.; FANTINI, M. C. A.; IYOMASA, M. M.; VICENTINI, F. T. M. C.; BENTLEY, M. V. L. B. Self-assembling gelling formulation based on a crystalline-phase liquid as a non-viral vector for siRNA delivery. **European Journal of Pharmaceutical Sciences**, v. 58, p. 72-82, 2014.
42. BRACONI, C. T.; ARDISSON-ARAUJO, D. M.; PAES LEME, A. F.; OLIVEIRA, J. V. DE C.; PAULETTI, B. A.; GARCIA-MARUNIAK, A.; RIBEIRO, B. M.; MARUNIAK, J. E. Proteomic analyses of baculovirus *Anticarsia gemmatalis* multiple nucleopolyhedrovirus budded and occluded virus. **Journal of General Virology**, v. 95, pt. 4, p. 980-989, 2014.
43. BRAGA, C. M. P., DELABONA, P. S., LIMA, D. J. S., PAIXÃO, D. A. A., PRADELLA, J. G. C., FARINAS, C. S. Addition of feruloyl esterase and xylanase produced on-site improves sugarcane bagasse hydrolysis. **Bioresource Technology**, v. 170, p. 316-324, 2014.
44. BROLLO, M. E.; LÓPEZ- RUIZ, R.; MURACA, D.; FIGUEROA, S. J. A.; PIROTA, K. R.; KNOBEL, M. Compact Ag@Fe₃O₄ core-shell nanoparticles by means of single-step thermal decomposition reaction. **Scientific Reports**, v. 4, n. 6839-1-6, 2014.
45. BUCHNER, S.; PEREIRA, A. S.; LIMA, J. C.; BALZARETTI, N. M. X-ray study of lithium disilicate glass: high pressure densification and polyamorphism. **Journal of Non-Crystalline Solids**, v. 387, p. 112-116, 2014.
46. CADOGAN, J. M.; MUÑOZ PÉREZ, S.; COBAS, R.; RYAN, D. H.; LORA-SERRANO, R.; FIGUEIRA, M. J. S.; YOKAICHIYA, F. Structural transformations in R₃Cu₄Sn₄ (R = Ho, Er, Tm) intermetallic compounds. **Intermetallics**, v. 55, p. 123-128, 2014.
47. CALASANS-MAIA, M. D.; CALASANS-MAIA, J.; SANTOS, S.; MAVRAPOULOS, E.; FARINA, M.; LIMA, I.; LOPES, T.; ROSSI, A.; GRANJEIRO, J. M. Short-term in vivo evaluation of zinc-containing calcium phosphate using a normalized procedure. **Materials Science and Engineering C**, v. 41, p. 309-319, 2014.
48. CAMPOS, B. M.; ALVAREZ, T. M.; LIBERATO, M. V.; POLIKARPOV, I.; GILBERT, H. J.; ZERI, A. C. DE M.; SQUINA, F. M. Cloning, purification, crystallization and preliminary X-ray studies of a carbohydrate-binding module (CBM_E1) derived from sugarcane soil metagenome. **Acta Crystallographica F**, v. 70, pt. 9, p. 1232-1235, 2014.

49. CAMPOS, R. P. S.; YOSHIDA, I. V. P.; SILVA, J. A. F. Surface modification of PDMS microchips with poly(ethylene glycol) derivatives for mu TAS applications. **Electrophoresis**, v. 35, n. 16, p. 2346-2352, 2014.
50. CANDEIAS, J. P.; OLIVEIRA, D. F.; ANJOS, M. J. DOS; LOPES, R. T. Scale analysis using X-ray microfluorescence and computed radiography. **Radiation Physics and Chemistry**, v. 95, p. 408-411, 2014.
51. CAPELETTI, L. B.; OLIVEIRA, L. F. DE; GONÇALVES, K. DE A.; OLIVEIRA, J. F. A.; SAITO, A.; KOBARG, J.; DOS SANTOS, J. H. Z.; CARDOSO, M. B. Tailored silica-antibiotic nanoparticles: overcoming bacterial resistance with low cytotoxicity. **Langmuir**, v. 30, p. 7456-7464, 2014.
52. CARASTAN, D. J.; AMURIN, L. G.; CRAIEVICH, A.; GONÇALVES, M. C.; DEMARQUETTE, N. R. Clay-containing block copolymer nanocomposites with aligned morphology prepared by extrusion. **Polymer International**, v. 63, n. 2, p. 184-194, 2014.
53. CARAVIERI, B. B.; OLIVEIRA, P. F. DE; FURTADO, R. A.; TAVARES, D. C.; NASSAR, E. J.; CIUFFI, K. J.; MOLINA, E. F. Solubility enhancement of ibuprofen using tri-ureasil-PPO hybrid: structural, cytotoxic, and drug release investigation. **Journal of Sol-Gel Science and Technology**, v. 72, n. 3, p. 627-636, 2014 .
54. CARDOSO, G. W. A.; LEAL, G.; SILVA SOBRINHO, A. S.; FRAGA, M. A.; MASSI, M. Evaluation of piezoresistivity properties of sputtered ZnO thin films. **Materials Research**, v. 17, n. 3, p. 588-592, 2014.
55. CARESANI, J. R.; LATTUADA, R. M.; RADTKE, C.; DOS SANTOS, J. H. Z. Attempts made to heterogenize MAO via encapsulation within silica through a non-hydrolytic sol-gel process. **Powder Technology**, v. 252, p. 56-64, 2014.
56. CARRIÃO, M. S.; NETO, K. S.; BAKUZIS, A. F. Mass magnetophoretic experiment applied to the separation of biocompatible magnetic nanoparticles with potential for magnetohyperthermia. **Journal of Physics D**, v. 47, n. 2, p. 025003, 2014.
57. CARVALHO, F. A. O.; CARVALHO, J. W. P.; BIAZIN, E.; SANTIAGO, P. S.; TABAK, M. Characterization of *Rhinodrilus alatus* hemoglobin (HbRa) and its subunits: evidence for strong interaction with cationic surfactants DTAB and CTAC. **Comparative Biochemistry and Physiology B**, v. 167, n. 23-29, 2014.
58. CARVALHO, H. W. P.; SUZANA, A. F.; SANTILLI, C. V.; PULCINELLI, S. H. Structure and thermal behavior of PMMA-polysilsesquioxane organic-inorganic hybrids. **Polymer Degradation and Stability**, v. 104, p. 112-119, 2014.

59. CARVALHO, J. W. P.; CARVALHO, F. A. O.; BATISTA, T.; SANTIAGO, P. S.; TABAK, M. Cetyltrimethylammonium chloride (CTAC) effect on the thermal stability of oxy-HbGp: Dynamic light scattering (DLS) and small angle X-ray scattering (SAXS) studies. **Colloids and Surfaces B**, v. 118, p. 14-24, 2014.
60. CASTILHO, R. B.; NUNEZ, C. V.; SANTOS, A. C. F.; COUTINHO, L. H.; LUCAS, C. A.; PILLING, S.; SILVA-MORAES, M. O.; SOUZA, C. G. B. Excitation and ionic fragmentation of the carvone molecule ($C_{10}H_{14}O$) around the O 1s edge. **Journal of Electron Spectroscopy and Related Phenomena**, v. 192, p. 61-68, 2014.
61. CASTILHO, R. B.; RAMALHO, T. C.; NUNEZ, C. V.; COUTINHO, L. H.; SANTOS, A. C. F.; PILLING, S.; LAGO, A. F.; SILVA-MORAES, M. O.; SOUZA, G. G. B. DE. Single and double ionization of the camphor molecule excited around the C 1s edge. **Rapid Communications in Mass Spectrometry**, v. 28, n. 15, p. 1769-1776, 2014.
62. CASTRO, I. A.; AVANSI JR., W., RIBEIRO, C. WO_3/TiO_2 heterostructures tailored by the oriented attachment mechanism: insights from their photocatalytic properties. **CrystEngComm**, v. 16, n. 8, p. 1514-1524, 2014.
63. CAUMO, K. S.; MONTEIRO, K. M.; OTT, T. R.; MASCHIO, V. J.; WAGNER, G.; FERREIRA, H. B.; ROTT, M. B. Proteomic profiling of the infective trophozoite stage of *Acanthamoeba polyphaga*. **Acta Tropica**, v. 140, p. 166-172, 2014.
64. CEPPI, S. A.; MESQUITA, A.; POMIRO, F.; PANNUNZIO MINER, E. V.; TIRAO, G. Study of $K\beta$ X-ray emission spectroscopy applied to $Mn_{(2-x)}V_{(1+x)}O_4$ ($x=0$ and $1/3$) oxyspinel and comparison with XANES. **Journal of Physics and Chemistry of Solids**, v. 75, n. 3, p. 366-373, 2014.
65. CEZAR, A. B.; GRAFF, I. L.; VARALDA, J.; SCHREINER, W. H.; MOSCA, D. H. Oxygen-vacancy-induced room-temperature magnetization in lamellar V_2O_5 thin films. **Journal of Applied Physics**, v. 116, n.16, p. 163904, 2014.
66. CHIAPPIM JR., W.; AWANO, C. M.; DONATTI, D. A.; VICENTE, F. S.; VOLLET, D. R. Structure of hydrophobic ambient-pressure-dried aerogels prepared by sonohydrolysis of tetraethoxysilane with additions of N,N-dimethylformamide. **Langmuir**, v. 30, n. 4, p. 1151-1159, 2014.
67. COELHO FILHO, P. R. DE C.; MARCHESIN, M. S.; MORALES, A. R.; BARTOLI, J. R. Electrical percolation, morphological and dispersion properties of MWCNT/PMMA nanocomposites. **Materials Research**, v. 17, supl. 1, p.127-132, 2014.
68. COLTRO, W. K. T.; NEVES, R. S.; MOTHEO, A. J.; SILVA, J. A. F.; CARRILHO, E. Microfluidic devices with integrated dual-capacitively coupled contactless conductivity detection to monitor binding events in real time. **Sensors and Actuators B**, v. 192, p. 239-246, 2014.

69. CONCEIÇÃO, A. L. C.; ANTONIASSI, M.; GERALDELLI, W.; POLETTI, M. E. Mapping transitions between healthy and pathological lesions in human breast tissues by diffraction enhanced imaging computed tomography (DEI-CT) and small angle X-ray scattering (SAXS). **Radiation Physics and Chemistry**, v. 95, p. 313-316, 2014.
70. CORAL, D. F.; MENDOZA ZÉLIS, P.; DE SOUSA, M. E.; MURACA, D.; LASSALLE, V.; NICOLÁS, P.; FERREIRA, M. L.; FERNÁNDEZ VAN RAAP, M. B. Quasi-static magnetic measurements to predict specific absorption rates in magnetic fluid hyperthermia experiments. **Journal of Applied Physics**, v. 115, n. 4, p. 043907, 2014.
71. CORREA, G. G.; MORAIS, E. C.; BRAMBILLA, R.; BERNARDES, A. A.; RADTKE, C.; DEZEN, D.; JÚNIOR, A. V.; FRONZA, N.; DOS SANTOS, J. H. Z. Effects of the sol-gel route on the structural characteristics and antibacterial activity of silica-encapsulated gentamicin. **Colloids and Surfaces B**, v. 116, p. 510-517, 2014.
72. CORRICELLI, M.; ALTAMURA, D.; CURRI, M. L.; SIBILANO, T.; SILIQI, D.; MAZZONE, A.; DEPALO, N.; FANIZZA, E.; ZANCHET, D.; GIANNINI, C.; STRICCOLI, M. GISAXS and GIWAXS study on self-assembling processes of nanoparticle based superlattices. **CrystEngComm**, v. 16, n. 9482-9492, 2014.
73. CORTEZ, M. L.; GONZÁLEZ, G. A.; CEOLÍN, M. R.; AZZARONI, O.; BATTAGLINI, F. Self-assembled redox polyelectrolyte-surfactant complexes: nanostructure and electron transfer characteristics of supramolecular films with built-in electroactive chemical functions. **Electrochimica Acta**, v. 118, p. 124-129, 2014.
74. CORTEZ, M. L.; DE MATTEIS, N.; CEOLÍN, M. R.; KNOLL, W.; BATTAGLINI, F.; AZZARONI, O. Hydrophobic interactions leading to a complex interplay between bioelectrocatalytic properties and multilayer meso-organization in layer-by-layer assemblies. **Physical Chemistry Chemical Physics (PCCP)**, v.16, n. 38, p. 20844-20855, 2014.
75. CORTEZ, M. L.; MARMISOLLE, W.; PALLAROLA, D.; PIETRASANTA, L. I.; MURGIDA, D. H. ; CEOLIN, M.; AZZARONI, O.; BATTAGLINI, F. Effect of gold nanoparticles on the structure and electrontransfer characteristics of glucose oxidase redox polyelectrolyte-surfactant complexes. **CHEMISTRY-A EUROPEAN JOURNAL**, v. 20, n. 41, p. 13366-13374, 2014.
76. COSTA, F. C.; SAITO, A.; GONÇALVES, K. DE A.; VIDIGAL, P. M.; MEIRELLES, G. V.; BRESSAN, G. C.; KOBARG, J. Ki-1/57 and CGI-55 ectopic expression impact cellular pathways involved in proliferation and stress response regulation. **Biochimica et Biofisica Acta Molecular Cell Research**, v. 1843, n. 12, p. 2944-2956, 2014.
77. COSTA, F. N.; BRAZ, D.; FERREIRA, F. F.; DA SILVA, T. F.; BARREIRO, E. J.; LIMA, L. M.; COLAÇO, M. V.; KUPLICH, L.; BARROSO, R. C. Synchrotron X-ray powder diffraction data of LASSBio-1515: a new N-acylhydrazone derivative compound. **Radiation Physics and Chemistry**, v. 95, p. 292-295, 2014.

78. COSTA, M. A. F.; RODRIGUES, F. T. G.; CHAGAS, B. C. A.; REZENDE, C. M. F.; GÓES, A. M. DE; NAGEM, R. A. P. Preliminary crystallographic studies of a *Schistosoma mansoni antigen* (Sm21.7) dynein light-chain (DLC) domain. **Acta Crystallographica F**, v. 70, pt. 6, p. 803-807, 2014.
79. COSTA, N. J. S.; GUERRERO, M.; COLLIERE, V.; TEIXEIRA-NETO, E.; LANDERS, R.; PHILIPPOT, K.; ROSSI, L. M. Organometallic preparation of Ni, Pd, and NiPd nanoparticles for the design of supported nanocatalysts. **ACS Catalysis**, v. 4, p. 1735-1742, 2014.
80. DA SILVA, L. F.; M'PEKO, J. C.; ANDRÉS, J.; BELTRÁN, A.; GRACIA, L.; BERNARDI, M. I. B.; MESQUITA, A. ANTONELLI, E.; MOREIRA, M. L.; MASTELARO, V. R. Insight into the effects of Fe addition on the local structure and electronic properties of SrTiO₃. **Journal of Physical Chemistry C**, v. 118, n. 9, p. 4930-4940, 2014.
81. DAL BÓ, A. G.; SOLDI, V.; GIACOMELLI, F. C.; TRAVELET, C.; BORSALI, R.; FORT, S. Synthesis, micellization and lectin binding of new glycosurfactants. **Carbohydrate Research**, v. 397, p. 31-36, 2014.
82. DE LIMA, L. H.; LANDERS, R.; SIERVO, A. DE. Patterning quasi-periodic Co 2D-clusters underneath graphene on SiC(0001). **Chemistry of Materials**, v. 26, p. 4172-4177, 2014.
83. DE PAULI, M.; SANTOS, P. L.; COSTA, B. B. A., MAGALHÃES-PANIAGO, R.; CURY, L. A.; MALACHIAS, A. Understanding molecular interactions in light-emitting polymer bilayers: the role of solvents and molecular structure on the interface quality. **Applied Physics Letters**, v. 104, n. 16, p. 163301, 2014.
84. DELLA NOCE, R.; BENEDETTI, A. V.; MAGNANI, M.; PASSAMANI, E. C.; KUMAR, H.; CORNEJO, D. R.; OSPINA, C. A. Structural, morphological and magnetic characterization of electrodeposited Co-Fe-W alloys. **Journal of Alloys and Compounds**, v. 611, p. 243-248, 2014.
85. DELUIGI, M. T.; DE GROOT, F. M. F.; LÓPEZ-DÍAZ, G.; TIRAO, G.; STUTZ, G.; DE LA VEGA, J. R. Core and valence structures in K β X-ray emission spectra of chromium materials. **Journal of Physical Chemistry C**, v.118, n. 38, p. 22202-22210, 2014.
86. DIAS, G. S.; SILVEIRA, L. G. D.; COTICA, L. F.; SANTOS, I. A.; COELHO, A. A.; GARCIA, D.; EIRAS, J. A.; SAMPAIO, J. A. Effect of the synthesis atmosphere on the magnetic and structural properties of TbMnO₃ multiferroic polycrystals. **Scripta Materialia**, v. 89, p. 65-68, 2014.
87. DINIZ, R. S.; COIMBRA, J. S. DOS R.; TEIXEIRA, A. V. N. C.; COSTA, A. R.; SANTOS, I. J. B.; BRESSAN, G. C.; RODRIGUES, A. M. DA C.; SILVA, L. H. M. Production, characterization and foamability of alpha-lactalbumin/glycomacropptide supramolecular structures. **Food Research International**, v. 64, p. 157-165, 2014.

88. DROPPA JR., R.; PINTO, H. C.; GARCIA, J.; OCHOA, E. A.; MORALES, M.; CUCATTI, S.; ALVAREZ, F. Influence of ion-beam bombardment on the physical properties of 100Cr6 steel. **Materials Chemistry and Physics**, v. 147, n. 1-2, p. 105-112, 2014.
89. EISING, R.; ELIAS, W. C.; ALBUQUERQUE, B. L.; FORT, S.; DOMINGOS, J. B. Synthesis of silver glyconanoparticles from new sugar-based amphiphiles and their catalytic application. **Langmuir**, v. 30, p. 6011-6020, 2014.
90. ELEUTERIO, F. H. S.; AMORIM, L. S.; BELICH, H.; ORLANDO, M. T. D.; PASSOS, C. A. C. Two mixed superconducting phases in (Hg, Re)-1223 ceramics. **Journal of Superconductivity and Novel Magnetism**, v. 27, n. 12, p. 2679-2684, 2014.
91. ELIAS, W. C.; EISING, R.; SILVA, T. R.; ALBUQUERQUE, B. L.; MARTENDAL, E.; MEIER, L.; DOMINGOS, J. B. Screening the formation of silver nanoparticles using a new reaction kinetics multivariate analysis and assessing their catalytic activity in the reduction of nitroaromatic compounds. **Journal of Physical Chemistry C**, v. 118, n. 24, p. 12962-12971, 2014.
92. ESCOBAR, C. C., DARTORA, M. H., RADTKE, C., BAYNE, J. M., BUTLER, I. S., LATTUADA, R. M., DOS SANTOS, J. H. Z. The role of the sol-gel route on the interaction between rhodamine B and a silica matrix. **Journal of Sol-Gel Science and Technology**, v. 72, n. 2, p. 260-272, 2014.
93. ESCOBAR, C. C.; SANTOS, J. H. Z. DOS. Effect of the sol-gel route on the textural characteristics of silica imprinted with rhodamine B. **Journal of Separation Science**, v. 37, n. 7, p. 868-875, 2014.
94. FACINCANI, A. P.; MOREIRA, L. M.; SOARES, M. R.; FREIRA, C. B.; FERREIRA, R. M.; FERRO, M. I. T.; FERRO, J. A.; GOZZO, F. C.; OLIVEIRA, J. C. F. Comparative proteomic analysis reveals that T3SS, Tfp, and xanthan gum are key factors in initial stages of *Citrus sinensis* infection by *Xanthomonas citri* subsp. *citri*. **Functional & Integrative Genomics**, v. 14, n. 1, p. 205-2017, 2014.
95. FASOLIN, L. H.; SANTANA, R. C.; CUNHA, R. L. Influence of organic acids on surfactant self-assemblies in surfactant/oil/water systems. **Colloids and Surfaces A**, v. 459, p. 290-297, 2014.
96. FAVARO, M. T. P.; TOLEDO, M. A. S.; ALVES, R. F.; SANTOS, C. A.; BELOTI, L. L.; JANISSEN, R.; DE LA TORRE, L. G.; SOUZA, A. P.; AZZONI, A. R. Development of a non-viral gene delivery vector based on the dynein light chain Rp3 and the TAT peptide. **Journal of Biotechnology**, v. 173, p. 10-18, 2014.
97. FEITOSA, N. C.; GONÇALVES, T. D.; MESQUITA, J. J.; MENEGUCCI, J.; SANTOS, M.-K. M. S.; CHAKER, J. A.; CUNHA, R. B.; MEDEIROS, A. M. M.; RUBIM, J. C.; SOUSA, M. H. Fabrication of glycine-functionalized maghemite nanoparticles for magnetic removal of copper from wastewater. **Journal of Hazardous Materials**, v. 264, p. 153-160, 2014.

98. FERREIRA NETO, E. P.; YSNAGA, O. A. E.; RODRIGUES-FILHO, U. P. Zn²⁺ doped ormosil-phosphotungstate hybrid flms with enhanced photochromic response. *Journal of Sol-Gel Science and Technology*, v. 72, n. 2, p. 290-300, 2014.
99. FORALOSSO, F. B.; FRONZA, N.; DOS SANTOS, J. H. Z.; CAPELETTI, L. B.; QUADRI, M. G. N. The use of duo-functional PVC film for conservation of minimally processed apples. **Food and Bioprocess Technology**, v. 7, n. 5, p. 1483-1495, 2014.
100. FORNARO, L.; AGUIAR, I.; BARTHABURU, M. P.; OLIVERA, A.; GALAIN, I.; MOMBRÚ, M. Crystalline nanostructures of heavy metal iodides. **Journal of Crystal Growth**, v. 401, p. 489-493, 2014.
101. FREITAS, I. C.; DAMYANOVA, S.; OLIVEIRA, D. C.; MARQUES, C. M. P.; BUENO, J. M. C. Effect of Cu content on the surface and catalytic properties of Cu/ZrO₂ catalyst for ethanol dehydrogenation. **Journal of Molecular Catalysis A**, v. 381, p. 26-37, 2014.
102. FREITAS, V. F.; PROTZEK, O. A.; MONTORO, L. A.; GONÇALVES, A. M.; GARCIA, D.; EIRAS, J. A.; GUO, R.; BHALLA, A. S.; COTICA, L. F.; SANTOS, I. A. A phenomenological model for ferroelectric domain walls and its implications for BiFeO₃-PbTiO₃ multiferroic compounds. **Journal of Materials Chemistry C**, v. 2, n. 2, p. 364-372, 2014.
103. GADIOLI, R.; MORAIS, J. A.; WALDMAN, W. R.; DE PAOLI, M.-A. The role of lignin in polypropylene composites with semi-bleached cellulose fibers: mechanical properties and its activity as antioxidant. **Polymer Degradation and Stability**, v. 108, p. 23-34, 2014.
104. GARCÍA-BASABE, Y.; MARCHIORI, C. F. N.; BORGES, B. G. A. L.; YAMAMOTO, N. A. D.; MACEDO, A. G.; KOEHLER, M.; ROMAN, L. S.; ROCCO, M. L. M. Electronic structure, molecular orientation, charge transfer dynamics and solar cells performance in donor/acceptor copolymers and fullerene: experimental and theoretical approaches. **Journal of Applied Physics**, v. 115, n. 13, p. 134901, 2014.
105. GODOI, F. C.; RABELO, R. B.; SILVA, M. A.; RODRÍGUEZ-CASTELLÓN, E. R.; GUIBAL, E.; BEPPU, M. M. Introduction of copper nanoparticles in chitosan matrix as strategy to enhance chromate adsorption. **Chemical Engineering and Processing: Process Intensification**, v. 83, p. 43-48, 2014.
106. GOLDBECK, R.; DAMÁSIO, A. R. DE L.; GONÇALVES, T. A.; MACHADO, C. B.; PAIXÃO, D. A. A.; WOLF, L. D.; MANDELLI, F.; ROCHA, G. J. M.; RULLER, R.; SQUINA, F. M. Development of hemicellulolytic enzyme mixtures for plant biomass deconstruction on target biotechnological applications. **Applied Microbiology and Biotechnology**, v. 98, p. 8513-8525, 2014.
107. GOMES, G. F. M.; BUENO, T. E. P.; PARREIRAS, D. E.; ABREU, G. J. P.; SIERVO, A. DE; CEZAR, J. C.; PFANNES, H.-D.; PANIAGO, R. M. Magnetic moment of Fe₃O₄ films with thicknesses near the unit-cell size. **Physical Review B**, v. 90, n. 13, p. 134422, 2014.

108. GOMEZ, L. E.; SOLLIER, B. M.; MIZRAHI, M. D.; RAMALLO-LÓPEZ, J. M.; MIRÓ, E. E.; BOIX, A. V. Preferential CO oxidation on Pt-Cu/Al₂O₃ catalysts with low Pt loadings. **International Journal of Hydrogen Energy**, v. 39, n. 8, p. 3719-3729, 2014.
109. GONÇALVES, K. M.; BARBOSA, L. R. S.; LIMA, L. M. T. R.; CORTINES, J. R.; KALUME, D. E.; LEAL, I. C. R.; MARIZ E MIRANDA, L. S.; DE SOUZA, R. O. M.; CORDEIRO, Y. Conformational dissection of *Thermomyces lanuginosus* lipase in solution. **Biophysical Chemistry**, v. 185, p. 88-97, 2014.
110. GONÇALVES, R. V.; MIGOWSKI, P.; WENDER, H.; FEIL, A. F.; ZAPATA, M. J. M.; KHAN, S.; BERNARDI, F.; AZEVEDO, G. DE M.; TEIXEIRA, S. R. On the crystallization of Ta₂O₅ nanotubes: structural and local atomic properties investigated by EXAFS and XRD. **CrystEngComm**, v. 16, n. 5, p. 797-804, 2014.
111. GONÇALVES, R. V.; WOJCIESZAK, R.; UBERMAN, P. M.; EBERHARDT, D.; TEIXEIRA-NETO, E.; TEIXEIRA, S. R.; ROSSI, L. M. Catalytic abatement of CO over highly stable Pt supported on Ta₂O₅ nanotubes. **Catalysis Communications**, v. 48, p. 50-54, 2014.
112. GONÇALVES, R. V.; WOJCIESZAK, R.; UBERMAN, P. M.; TEIXEIRA, S. R.; ROSSI, L. M. Insights into the active surface species formed on Ta₂O₅ nanotubes in the catalytic oxidation of CO. **Physical Chemistry Chemical Physics (PCCP)**, v. 16, p. 5755-5762, 2014.
113. GRASSI, G.; MICHELS, L.; ROZYNEK, Z.; ALTOÉ, M. A. S.; SANTOS, E. C. DOS; DA FONSECA, C. L. S.; DROPPA JR., R.; GHOLAMIPOUR-SHIRAZI, A.; FOSSUM, J. O.; SILVA, G. J. DA. Cation exchange dynamics confined in a synthetic clay mineral. **European Physical Journal Special Topics (The)**, v. 223, n. 9, p.1883-1893, 2014.
114. GRILLO, R.; PEREIRA, A. E. S.; NISHISAKA, C. S.; LIMA, R.; OEHLKE, K.; GREINER, R.; FRACETO, L. F. Chitosan/tripolyphosphate nanoparticles loaded with paraquat herbicide: an environmentally safer alternative for weed control. **Journal of Hazardous Materials**, v. 278, p. 163-171, 2014.
115. HASSAN, A.; CARRERAS, A.; TRICAVELLI, J.; TICIANELLI, E. A. Effect of heat treatment on the activity and stability of carbon supported PtMo alloy electrocatalysts for hydrogen oxidation in proton exchange membrane fuel cells. **Journal of Power Sources**, v. 247, p. 712-720, 2014.
116. HASSAN, A.; PAGANIN, M.; CARRERAS, A.; TICIANELLI, E. A. Molybdenum carbide-based electrocatalysts for CO tolerance in proton exchange membrane fuel cell anodes. **Electrochimica Acta**, v. 142, p. 307-316, 2014.
117. HECK, C. A.; GIACOMOLLI, D. A.; LIVOTTO, P. R.; DOS SANTOS, J. H. Z.; WOLF, C. R. Hybrid silica generated In situ in polyurethane-based composites. **Journal of Applied Polymer Science**, v.131, n. 23, p. 41157, 2014.

118. HEREDIA, E.; DÍAZ, B.; MALACHIAS, A.; RAPPL, P. H. O.; IIKAWA, F.; BRASIL, M. J. S. P.; MOTISUKE, M. Anomalous strain behavior on EuTe self-assembled islands. **Journal of Crystal Growth**, v. 386, p. 139-145, 2014.
119. HEREDIA, E.; BOJORGE, C. D.; CÁNEPA, H. R.; CASANOVA, J.; CRAIEVICH, A.; KELLERMANN, G. Nanostructured ZnO thin films prepared by sol- gel spin-coating. **Applied Surface Science**, v. 317, p.19-25, 2014
120. HONNICKE, M. G.; CONLEY, R.; CUSATIS, C.; KAKUNO, E. M.; ZHOU, J.; BOUET, N.; MARQUES, J. B.; VICENTIN, F. C. Exotic X-ray back-diffraction: a path toward a soft inelastic X-ray scattering spectrometer. **Journal of Applied Crystallography**, v. 47, p. 1658-1665, 2014.
121. HONORATO, S. B.; MENDONÇA, J. S.; BOECHAT, N.; OLIVEIRA, A. C.; MENDES-FILHO, J.; ELLENA, J.; AYALA, A. P. Novel polymorphs of the anti-*Trypanosoma cruzi* drug benznidazole. **Spectrochimica Acta A**, v. 118, n. 389-394, 2014.
122. HUANCAHUIRE-VEGA, S.; PONCE-SOTO, L. A.; MARANGONI, S. PhTX-II a basic myotoxic phospholipase A(2) from porthidium hyoprora snake venom, pharmacological characterization and amino acid sequence by mass spectrometry. **Toxins**, v. 6, n. 11, p. 3077-3097, 2014.
123. IGNACHEWSKI, F.; DE CASTRO, E. G.; ANAISSI, F. J.; FUJIWARA, S. T. Synthesis, characterization and study of the photocatalytic activity of the Ti/Fe mixed oxide. **Journal of Advanced Oxidation Technologies**, v. 17, n. 2, p. 230-238, 2014.
124. KESSLER, F.; MARCONATTO, L.; RODRIGUES, R. S. B.; LANDO, G. A.; SCHRANK, A.; VAINSTEIN, M. H.; WEIBEL, D. E. Biodegradation improvement of poly(3-hydroxy-butyrato) films by entomopathogenic fungi and UV-assisted surface functionalization. **Journal of Photochemistry and Photobiology B**, v. 130, p. 57-67, 2014.
125. KESSLER, F.; STEFFENS, D.; LANDO, G. A.; PRANKE, P.; WEIBEL, D. E. Wettability and cell spreading enhancement in poly(sulfone) and polyurethane surfaces by UV-assisted treatment for tissue engineering purposes. **Tissue Engineering and Regenerative Medicine**, v. 11, n. 1, p. 23-31, 2014.
126. KILIAN, A. S.; BERNARDI, F.; PANCOTTI, A.; LANDERS, R.; SIERVO, A. DE; MORAIS, J. DE. Atomic structure of Cr₂O₃/Ag(111) and Pd/Cr₂O₃/Ag(111) surfaces: a photoelectron diffraction investigation. **Journal of Physical Chemistry C**, v. 118, n. 35, p. 20452-20460, 2014.
127. KILIAN, A. S.; PANCOTTI, A.; LANDERS, R.; SIERVO, A. DE; MORAIS, J. DE. Probing the surface atomic structure of Au/Cr₂O₃/Pd(111) by photoelectron diffraction. **CrystEngComm**, v.16, n.39, p.9291-9298, 2014.

128. KYCIA, S. W.; DIAZ, B.; GOMEZ, A.; MEYER, B. C.; DUFFY, A.; HALLIN, E. Undulator beamline of the brockhouse sector at the Canadian Light Source. **Review of Scientific Instruments**, v. 85, n. 8, p. 085104, 2014.
129. LAGO, A. F.; JANUARIO, R. D.; SIMON, M.; DÁVALOS, J. Z. VUV photodissociation of thiazole molecule investigated by TOF-MS and photoelectron photoion coincidence spectroscopy. **Journal of Mass Spectrometry**, v. 49, n. 11, p. 1163-1170, 2014.
130. LATTUADA, R. M.; PERALBA, M. C. R.; DOS SANTOS, J. H. Z.; FISCH, A. G. Peat, rice husk and rice husk carbon as low-cost adsorbents for metals from acidic aqueous solutions. **Separation Science and Technology**, v. 49, n. 1, p. 101-111, 2014.
131. LEITÃO, R. G.; PALUMBO JR., A.; SOUZA, P. A. V. R.; PEREIRA, G. R.; CANELLAS, C. G. L.; ANJOS, M. J. DOS; NASCIUTTI, L. E.; LOPES, R. T. Elemental concentration analysis in prostate tissues using total reflection X-ray fluorescence. **Radiation Physics and Chemistry**, v. 95, p. 62-64, 2014.
132. LESSEUX, G. G.; IWAMOTO, W.; GARCIA-FLORES, A. F.; URBANO, R. R.; RETTORI, C. Absence of exchange interaction between localized magnetic moments and conduction-electrons in diluted Er₃₊ gold-nanoparticles. **Journal of Applied Physics**, v. 115, n. 17, p. 17E128, 2014.
133. LICEA, Y. E.; AMAYA, S. L.; ECHAVARRÍA, A.; BETTINI, J.; EON, J. G.; PALACIO, L. A.; FARO JR., A. C. Simultaneous tetralin HDA and dibenzothiophene HDS reactions on NiMo bulk sulphide catalysts obtained from mixed oxides. **Catalysis Science & Technology**, v. 4, n. 5, p.1227-1238, 2014.
134. LIMA, B. V.; VIDAL, R. R. L.; VILLETTI, M. A.; BALABAN, R. C. Solution properties of poly(acrylamide-co-3,5,5-trimethylhexane methacrylate) and its polyelectrolyte derivative. **Colloid Polymer Science**, v. 292, p. 2123-2135, 2014.
135. LIMA, D. C.; DUARTE, F. T.; MEDEIROS, V. K. S.; LIMA, D. B.; CARVALHO, P. C.; BONATTO, D.; MEDEIROS, S. R. B. The influence of iron on the proteomic profile of *Chromobacterium violaceum*. **BMC Microbiology**, v. 14, p. 267, 2014.
136. LIMA, M. A.; GOMEZ, L. D.; STEELE-KING, C. G.; SIMISTER, R.; BERNARDINELLI, O. D.; CARVALHO, M. A.; REZENDE, C. A.; LABATE, C. A.; DE AZEVEDO, E. R.; MCQUEEN- MASON, S. J.; POLIKARPOV, I. Evaluating the composition and processing potential of novel sources of brazilian biomass for sustainable biorenewables production. **Biotechnology for Biofuels**, v. 7, p. 10, 2014.
137. LIMANDRI, S.; VERA, P.; FADANELLI, R. C.; NAGAMINE, L. C. C. M.; MELLO, A.; GARCIA-MOLINA, R.; BEHAR, M.; ABRIL, I. Energy deposition of H and He ion beams in hydroxyapatite films: a study with implications for ion-beam cancer therapy. **Physical Review E**, v. 89, n. 2, p. 022703, 2014.

138. LIVI, S.; SILVA, A. A.; PEREIRA, J.; NGUYEN, T. K. L.; SOARES, B. G.; CARDOSO, M. B.; GÉRARD, J.-F.; DUCHET-RUMEAU, J. Supercritical CO₂-organosilane mixtures for modification of silica: applications to epoxy prepolymer matrix. **Chemical Engineering Journal**, v. 241, p. 103-111, 2014.
139. LONGO, E.; AVANSI JR., W.; ARENAL, R.; MENDONÇA, V. R.; RIBEIRO, C. Vanadium-doped TiO₂ anatase nanostructures: the role of V in solid solution formation and its effect on the optical properties. **CrystEngComm**, v. 16, n. 23, p. 5021-5027, 2014.
140. LONGO, E.; LONGO, V. M.; FOGGI, C. C.; FERRER, M. M.; GOUVEIA, AM. F.; ANDRÉ, R. S.; AVANSI, W.; VERGANI, C. E.; MACHADO, A. L.; CAVALCANTE, L. S.; HERNANDES, A. C.; ANDRÉS, J. Potentiated electron transference in alpha-Ag₂WO₄ microcrystals with Ag nanofilaments as microbial agent. **Journal of Physical Chemistry A**, v. 118, n. 31, p. 5769-5778, 2014.
141. LUCRÉDIO, A. F.; ASSAF, J. M.; ASSAF, E. M. Reforming of a model sulfur-free biogas on Ni catalysts supported on Mg(Al)O derived from hydrotalcite precursors: effect of La and Rh addition. **Biomass and Bioenergy**, v. 60, p. 8-17, 2014.
142. MAIA, T. A.; ASSAF, E. M. Catalytic features of Ni supported on CeO₂-ZrO₂ solid solution in the steam reforming of glycerol for syngas production. **RSC Advances**, v. 4, n. 59, p. 31142-31154, 2014.
143. MANZOLI, A.; SHIMIZU, F. M.; MERCANTE, L. A.; PARIS, E. C.; OLIVEIRA JR., O. N.; CORRÊA, D. S.; MATTOSO, L. H. C. Layer-by-layer fabrication of AgCl-PANI hybrid nanocomposite films for electronic tongues. **Physical Chemistry Chemical Physics (PCCP)**, v. 16, n. 44, p. 24275-24281, 2014.
144. MARÇAL, L.; ROSA, B. L. T.; SAFAR, G. A. M.; FREITAS, R. O.; SCHMIDT, O. G.; GUIMARÃES, P. S. S.; DENEKE, C.; MALACHIAS, A. Observation of emission enhancement caused by symmetric carrier depletion in III-V nanomembrane heterostructures. **ACS Photonics**, v. 1, n. 9, p. 863-870, 2014.
145. MARCOS, F. C. F.; LUCRÉDIO, A. F.; ASSAF, E. M. Effects of adding basic oxides of La and/or Ce to SiO₂-supported Co catalysts for ethanol steam reforming. **RSC Advances**, v. 4, n. 83, p. 43839-43849, 2014.
146. MARDEGAN, J. R. L.; ADRIANO, C.; VESCOVI, R. F. C.; FARIA, G. A.; PAGLIUSO, P. G.; GILES, C. Magnetic structure of R₂CoGa₈ (R = Gd, Tb, and Dy): structural tuning of magnetic properties in layered Ga-based intermetallic compounds. **Physical Review B**, v. 89, n. 11, p. 115103, 2014.
147. MARTINS, M. L.; FLORENTINO, A. O.; CAVALHEIRO, A. A.; SILVA, R. I. V.; SANTOS, D. I. DOS; SAEKI, M. J. Mechanisms of phase formation along the synthesis of Mn-Zn ferrites by the polymeric precursor method. **Ceramics International**, v. 40, n. 10, p. 16023-16031, 2014.

148. MARTINS, M. L.; SAEKI, M. J.; TELLING, M. T. F.; PARRA, J. P. E. L. L.; LANDSGESELL, S.; SMITH, R. I.; BORDALLO, H. N. Development and characterization of a new bio-nanocomposite (bio-NCP) for diagnosis and treatment of breast cancer. **Journal of Alloys and Compounds**, v. 584, p. 514-519, 2014.
149. MATOS, M. G.; FARIA, E. H.; ROCHA, L. A.; CALEFI, P. S.; CIUFFI, K. J.; NASSAR, E. J.; SARMENTO, V. H. V. Synthesis and photoluminescent properties of yttrium vanadate phosphor prepared by the non-hydrolytic sol-gel process. **Journal of Luminescence**, v. 147, p. 190-195, 2014.
150. MEDRANO, F. J.; SOUZA, C. S. DE; ROMERO, A.; BALAN, A. Structure determination of a sugar-binding protein from the phytopathogenic bacterium *Xanthomonas citri*. **Acta Crystallographica F**, v. 70, pt, 5, p. 564-571, 2014.
151. MELO JR., M. A.; PIRES, C. T. G. V. M. T.; AIROLDI, C. The influence of the leaving iodine atom on phyllosilicate syntheses and useful application in toxic metal removal with favorable energetic effects. **RSC Advances**, v. 4, n. 77, p. 41028-41038, 2014.
152. MENDEZ- GONZÁLES, Y.; PENTON-MADRIGAL, A.; PÉLAIZ-BARRANCO, A., FIGUEROA, S. J. A.; OLIVEIRA, L. A. S.; CONCEPCIÓN-ROSABAL, B. Local-site cation ordering of Eu ³⁺ ion in doped PbTiO₃. **Physica B**, v. 434, p. 171-176, 2014.
153. MENDONÇA, V. R.; MOURÃO, H. A. J. L.; MALAGUTTI, A. R.; RIBEIRO, C. The role of the relative dye/photocatalyst concentration in TiO₂ assisted photodegradation process. **Photochemistry and Photobiology**, v. 90, p. 66-72, 2014.
154. MESQUITA, A.; MICHALOWICZ, A.; PIZANI, P. S.; MASTELARO, V. R. Local order of Pb_{1-x}La_xZr_{0.40}Ti_{0.60}O₃ ferroelectric ceramic materials probed by X-ray absorption and Raman spectroscopies. **Journal of Alloys and Compounds**, v. 582, p. 680-687, 2014.
155. MICHELS, L.; RIBEIRO, L.; MUNDIM, M. S. P.; SOUSA, M. H.; DROPPA JR., R.; FOSSUM, J. O.; SILVA, G. J. DA; MUNDIM, K. C. EXAFS and XRD studies in synthetic Ni-fluorohectorite. **Applied Clay Science**, v. 96, p. 60-66, 2014.
156. MIRANDA, B. C.; CHIMENTÃO, R. J.; SANTOS, J. B. O.; GISPert-GUIRADO, F.; LLORCA, J.; MEDINA, F.; LÓPEZ BONILLO, F.; SUEIRAS, J. E. Conversion of glycerol over 10%Ni/gamma-Al₂O₃ catalyst. **Applied Catalysis B**, v. 147, p. 464-480, 2014.
157. MOLINA, E. F.; JESUS, C. R. N.; CHIAVACCI, L. A.; PULCINELLI, S. H.; BRIOIS, V.; SANTILLI, C. V. Ureasil-polyether hybrid blend with tuneable hydrophilic/hydrophobic features based on U-PEO1900 and U-PPO400 mixtures. **Journal of Sol-Gel Science and Technology**, v. 70 n. 2, p. 317-328, 2014.

158. MOLINA, E. F.; PARREIRA, R. L. T.; DE FARIA, E. H.; DE CARVALHO, H. W. P.; CARAMORI, G. F.; COIMBRA, D. F.; NASSAR, E. J.; CIUFFI, K. J. Ureasil-poly(ethylene oxide) hybrid matrix for selective adsorption and separation of dyes from water. **Langmuir**, v. 30, n. 13, p. 3857-3868, 2014.
159. MOLINA, E. F.; PULCINELLI, S. H.; BRIOIS, V.; SANTILLI, C. V. Fine-tuning of a nanostructure, swelling, and drug delivery profile by blending ureasil-PEO and ureasil-PPO hybrids. **Polymer Chemistry**, v. 5, p. 1897-1904, 2014.
160. MONTORO, L. A.; MATSUBARA, E. Y.; ROSOLEN, J. M. Lithium intercalation into single-walled carbon nanotubes network electrode: storage mechanisms and impurity effects. **Journal of Power Sources**, v. 257, p. 205-212, 2014.
161. MORAES, M. L.; RODRIGUES, V. C.; SOARES, J. C.; FERREIRA, M.; DE SOUZA, N. C.; OLIVEIRA JR., O. N. Immunosensor for HIV-1 diagnostics based on immobilization of the antigenic peptide p24-3 into liposomes. **Journal of Nanoscience and Nanotechnology**, v. 14, n.9, p. 6638-6645, 2014.
162. MOSCOSO-LONDOÑO, O.; MURACA, D.; TANCREDI, P.; COSIO-CASTAÑEDA, C.; PIROTA, K. R.; SOCOLOVSKY, L. M. Physicochemical studies of complex silver-magnetite nanoheterodimers with controlled morphology. **Journal of Physical Chemistry C**, v. 118, p. 13168-13176, 2014.
163. MOTA, A. A. R.; GATTO, C. C.; MACHADO, G.; OLIVEIRA, H. C. B.; FASCIOTTI, M.; BIANCHI, O.; EBERLIN, M. N.; NETO, B. A. D. Structural organization and supramolecular interactions of the task-specific ionic liquid 1-Methyl-3-carboxymethylimidazolium chloride: solid, solution, and gas phase structures. **Journal of Physical Chemistry C**, v. 118, n. 31, p. 17878-17889, 2014.
164. MOTA, L. L.; TACIOLI, A.; SENDOYA, S. F.; VIDAL, M. C. Mites inhabiting a lepidopteran egg. **Journal of the Lepidopterists Society**, v. 68, n. 2, p. 141-142, 2014.
165. MUSTAFA, D.; SILVA, I. G. N.; BAJPE, S. R.; MARTENS, J. A.; KIRSCHHOCK, C. E. A.; BREYNAERT, E.; BRITO, H. F. Eu@COK-16, a host sensitized, hybrid luminescent metal-organic framework. **Dalton Transactions**, v. 43, v. 36, p.13480-13484, 2014.
166. NASCIMENTO, A. S.; MUNIZ, J. R. C.; APARICIO, R.; GOLUBEV, A. M.; POLIKARPOV, I. Insights into the structure and function of fungal β -mannosidases from glycoside hydrolase family 2 based on multiple crystal structures of the *Trichoderma harzianum* enzyme. **FEBS Journal**, v. 281, n. 18, p. 4165-41, 2014.
167. NAVARRO, A. M. M.; TORRES, C. E. R.; BILOVOL, V.; CABRERA, A. F.; ERRICO, L. A.; WEISSMANN, M. Study of the relation between oxygen vacancies and ferromagnetism in Fe-doped TiO₂ nanopowders. **Journal of Applied Physics**, v. 115, p. 223908, 2014.

168. NUNES, E. DA S.; VIALI, W. R.; SILVA, S. W.; HUAMANÍ, J. A. C.; GARG, V. K.; OLIVEIRA, A. C.; MORAIS, P. C.; JAFELICCI JR., M. Characterization of tetraethylene glycol passivated iron nanoparticles. **Applied Surface Science**, v. 315, p. 337-345, 2014.
169. OIKO, V. T. A.; MARTINS, B. V. C.; SILVA, P. C.; RODRIGUES, V.; UGARTE, D. M. Development of a quartz tuning-fork-based force sensor for measurements in the tens of nanoNewton force range during nanomanipulation experiments. **Review of Scientific Instruments**, v. 85, n. 3, p. 035003, 2014.
170. OLIVEIRA, C. L. P.; MONTEIRO, A. M.; FIGUEIREDO NETO, A. M. Structural modifications and clustering of low-density lipoproteins in solution induced by heating. **Brazilian Journal of Physics**, v. 44, n. 6, p. 753-764, 2014.
171. OLIVEIRA, E. C.; ECHEGOYEN, Y.; NERIN, C.; CRUZ, S. A. Barrier properties to surrogates of hydrogenated carbon nano-films deposited on PET by plasma-enhanced chemical vapour deposition. **Food Additives and Contaminants A**, v. 31, n. 11, p. 1914-1927, 2014.
172. OLIVEIRA, E. M.; FREITAS, T. C.; COUTINHO, K.; VARELLA, M. T. N.; CANUTO, S.; LIMA, M. A. P.; BETTEGA, M. H. F. Communication: transient anion states of phenol center dot center dot center dot(H₂O)(n) (n=1, 2) complexes: search for microsolvation signatures. **Journal of Chemical Physics**, v. 141, n. 5, p. 051105, 2014.
173. OLIVEIRA, E. M.; VARELLA, M. T. N.; BETTEGA, M. H. F.; LIMA, M. A. P. Elastic scattering of slow electrons by n-pentanol alcohol. **European Physical Journal D**, v. 68, n. 3, p. 65, 2014.
174. OLIVEIRA, J. M.; MALACHIAS, A.; OSPINA, C. A.; FERREIRA, S. O. Nondestructive monitoring of defect evolution in epitaxial CdTe thin layers grown on Si(111). **Journal of Physical Chemistry C**, v. 118, n. 4, p. 1968-1973, 2014.
175. OSHIRO, A.; SILVA, D. C.; MELLO, J. C. DE; MORAES, V. W. R. DE; CAVALCANTI, L. P.; FRANCO, M. K. K. D.; ALKSCHBIRS, M. I.; FRACETO, L. F.; YOKAICHIYA, F.; RODRIGUES, T.; ARAUJO, D. R. Pluronic F-127/L-81 binary hydrogels as drug-delivery systems: influence of physicochemical aspects on release kinetics and cytotoxicity. **Langmuir**, v. 30, n. 45, p. 13689-13698, 2014.
176. PALMA, L. M.; ALMEIDA, T. S.; LEONELLO, P. H.; ANDRADE, A. R. Ethanol electrooxidation by plurimetallc Pt-based electrocatalysts prepared by microwave assisted heating. **Journal of the Electrochemical Society**, v. 161, n. 4, p. F473-F479, 2014.
177. PARREIRAS, D. E.; SOARES, E. A.; ABREU, G. J. P.; BUENO, T. E. P.; FERNANDES, W. P.; CARVALHO, V. E. DE; CARARA, S. S.; CHACHAM, H.; PANIAGO, R. M. Graphene/Ni(111) surface structure probed by low-energy electron diffraction, photoelectron diffraction, and first-principles calculations. **Physical Review B**, v. 90, n. 15, p. 155454, 2014.

178. PAULI, M.; MATOS, M. J. S.; SILES, P. F.; PRADO, M. C.; NEVES, B. R. A.; FERREIRA, S. O.; MAZZONI, M. S. C.; MALACHIAS, A. Chemical stabilization and improved thermal resilience of molecular arrangements: possible formation of a surface network of bonds by multiple pulse atomic layer deposition. **Journal of Physical Chemistry B**, v. 118, n. 32, p. 9792-9799, 2014.
179. PAULSEN, B.S.; CARDOSO, S. C.; STELLING, M. P.; CADILHE, D. V.; REHEN, S.K. Valproate reverts zinc and potassium imbalance in schizophrenia-derived reprogrammed cells. **Schizophrenia Research**, v. 154, n. 1-3, p. 30-35, 2014.
180. PEGOS, V. R.; MEDRANO, F. J.; BALAN, A. Crystallization and preliminary X-ray diffraction analysis of the phosphate-binding protein PhoX from *Xanthomonas citri*. **Acta Crystallographica F**, v. 70, pt. 12, p. 1604-1607, 2014.
181. PEGOS, V. R.; NASCIMENTO, J. F.; SOBREIRA, T. J. P.; PAULETTI, B. A.; PAES LEME, A. F.; BALAN, A. Phosphate regulated proteins of *Xanthomonas citri* subsp *citri*: a proteomic approach. **Journal of Proteomics**, v. 108, p. 78-88, 2014.
182. PEROTTI, G. F.; TRONTO, J.; BIZETO, M. A.; IZUMI, C. M. S.; TEMPERINI, M. L. A.; LUGÃO, A. B.; PARRA, D. F.; CONSTANTINO, V. R. L. Biopolymer-clay nanocomposites: cassava starch and synthetic clay cast films. **Journal of Brazilian Chemical Society**, v. 25, n. 2, p. 320-330, 2014.
183. PERULLINI, A. M.; FERRO, Y.; DURRIEU, C.; JOBBÁGY, M.; BILMES, S. A. Sol gel silica platforms for microalgae-based optical biosensors. **Journal of Biotechnology**, v. 179, p. 65-70, 2014.
184. PICCO, A.; KRASKA, M.; DIDZOLEIT, H.; APPEL, C.; SILBESTRI, G. F.; AZZARONI, O.; STÜHN, B.; CEOLÍN, M. R. On the supramacromolecular structure of core-shell amphiphilic macromolecules derived from hyperbranched polyethyleneimine. **Journal of Colloid and Interface Science**, v. 436, p. 243-250, 2014.
185. PIRANI, L. S. R.; ERBEN, M. F.; GERONÉS, M.; ROMANO, R. M.; CAVASSO-FILHO, R. L.; MA, C.; GE, M.; DELLA VÉDOVA, C. O. Electronic properties of FC(O)SCH₂CH₃. A combined helium(I) photoelectron spectroscopy and synchrotron radiation study. **Journal of Physical Chemistry A**, v. 118, p. 5950-5960, 2014.
186. POLIKARPOV, I.; MIOTTO, L. S.; REIS, C. V.; OLIVEIRA NETO, M. SAXS studies of the endoglucanase Cel12A from *gloeophyllum trabeum* show its monomeric structure and reveal the influence of temperature on the structural stability of the enzyme. **Materials**, v. 7, n. 7, p. 5202-5211, 2014.
187. PONTES, D. S. L.; PONTES, F. M.; DA SILVA, L. F.; CHIQUITO, A. J.; PIZANI, P. S.; LONGO, E. Influence of a co-substituted A-site on structural characteristics and ferroelectricity of (Pb, Ba, Ca)TiO₃ complex Perovskites: analysis of local-, medium- and long-range order. **Journal of Sol-Gel Science and Technology**, v. 69, n. 3, p. 605-616, 2014.

188. REÁTEGUI, J. L. P.; MACHADO, A. P. F.; BARBERO, G. F.; REZENDE, C. A.; MARTINEZ, J. Extraction of antioxidant compounds from blackberry (*Rubus* sp.) bagasse using supercritical CO₂ assisted by ultrasound. **The Journal of Supercritical Fluids**, v. 94, n. 223-233, 2014.
189. REHMAN, F.; VOLPE, P. L. O.; AIROLDI, C. The applicability of ordered mesoporous SBA-15 and its hydrophobic glutaraldehyde-bridge derivative to improve ibuprofen-loading in releasing system. **Colloids and Surfaces B**, v. 119, p. 82-89, 2014.
190. SIMÕES, G.; RODRIGUES, F. N.; BERNINI, R. B.; CASTRO, C. S. C. DE; SOUZA, C. G. B. A NEXAFS and mass spectrometry study of cysteine, cystine and insulin irradiated with intermediate energy (0.8 keV) electrons. **Journal of Electron Spectroscopy and Related Phenomena**, v. 193, p. 21-216, 2014
191. REZENDE, M. V. DOS S.; ANDRADE, A. B.; VALERIO, M. E. G.; MONTES, P. J. R. The effect of the host composition on the lifetime decay properties of barium/strontium aluminates compounds. **Journal of Applied Physics**, v. 115, n. 10, p. 103510, 2014.
192. REZENDE, M. V. DOS S.; MONTES, P. J. R.; SOARES, F. M., SANTOS, C.; VALERIO, M. E. G. Influence of co-dopant in the europium reduction in SrAl₂O₄ host. **Journal of Synchrotron Radiation**, v. 21, pt. 1, n. 143-148, 2014.
193. RIBEIRO, L. F. C.; DE LUCAS, R. C.; VITICOSQUE, G. L.; RIBEIRO, L. F.; WARD, R. J.; RUBIO, M. V.; DAMÁSIO, A. R. DE L.; SQUINA, F. M.; GREGORY, R. C.; WALTON, P. H.; JORGE, J. A.; PRADE, R. A.; BUCKERIDGE, M. S.; POLIZELI, M. DE L. T. M. A novel thermostable xylanase GH10 from *Malbranchea pulchella* expressed in *Aspergillus nidulans* with potential applications in biotechnology. **Biotechnology for Biofuels**, v. 7, p. 115, 2014.
194. RIBEIRO, R. U.; MEIRA, D. M.; RODELLA, C. B.; OLIVEIRA, D. C.; BUENO, J. M. C.; ZANCHET, D. Probing the stability of Pt nanoparticles encapsulated in sol-gel Al₂O₃ using in situ and ex situ characterization techniques. **Applied Catalysis A**, v. 485, p. 108-117, 2014.
195. RINCÓN-CARDONA, J. A.; AGUDELO-LAVERDE, L. M.; MARTINI, S.; CANDAL, R. J.; HERRERA, M. L. In situ synchrotron radiation X-ray scattering study on the effect of a stearic sucrose ester on polymorphic behavior of a new sunflower oil variety. **Food Research International**, v. 64, p. 9-17, 2014.
196. RISSI, N. C.; GUGLIELMI, D. A. S.; CORRÊA, M. A.; CHIAVACCI, L. A. Relationship between composition and organizational levels of nanostructured systems formed by Oleth 10 and PPG-5-Ceteth-20 for potential drug delivery. **Brazilian Journal of Pharmaceutical Sciences**, v. 50, n. 3, p. 653-661, 2014.
197. ROCHA, M. V. J.; CARVALHO, H. W. P.; LACERDA, L. C. T.; SIMÕES, G.; SOUZA, G. G. B. DE; RAMALHO, T. C. Ionic desorption in PMMA-gamma-Fe₂O₃ hybrid materials induced by fast electrons: an experimental and theoretical investigation. **Spectrochimica Acta A**, v. 117, p. 276-283, 2014.

198. RODRIGUES, A.; ALVES, M. C. M.; MORAIS, J. Self-assembled nanocolumnar ZnO films chemically deposited on stainless steel with controlled morphology and thickness. **Materials Letters**, v. 114, p. 122-125, 2014.
199. RODRIGUES, L. C. V.; HÖLSÄ, J.; LASTUSAARI, M.; FELINTO, M. C. F. C.; BRITO, H. F. Defect to R₃₊ energy transfer: colour tuning of persistent luminescence in CdSiO₃. **Journal of Materials Chemistry C**, v. 2, n. 9, p. 1612-1618, 2014.
200. RODRIGUES, L. C. V.; LASTUSAARI, M.; BRITO, H. F.; FELINTO, M. C. F. C.; CARVALHO, J. M.; HÖLSÄ, J.; MALTA, O. L. Persistent luminescence of cadmium silicates. **Physica Scripta**, v. 89, p. 044014, 2014.
201. RODRIGUES, T. S.; SILVA, V. H. C.; LALLI, P. M.; OLIVEIRA, H. C. B.; SILVA, W. A.; COELHO, F.; EBERLIN, M. N.; NETO, B. A. D. Morita-baylis-hillman reaction: ESI-MS(/MS) investigation with charge tags and ionic liquid effect origin revealed by DFT calculations. **Journal of Organic Chemistry**, v. 79, p. 5239-5248, 2014.
202. RODRÍGUEZ TORRES, C. E.; PASQUEVICH, G. A.; MENDOZA ZÉLIS, P.; GOLMAR, F.; HELUANI, S. P.; NAYAK, S. K.; ADEAGBO, W. A.; HERGERT, W.; HOFFMANN, M.; ERNST, A.; ESQUINAZI, P.; STEWART, S. J. Oxygen-vacancy-induced local ferromagnetism as a driving mechanism in enhancing the magnetic response of ferrites. **Physical Review B**, v. 89, n. 10, p. 104411, 2014.
203. ROSA, J. L.; ROBIN, A.; NAKAZATO, R. Z.; RIBEIRO, M. B.; PIASSA, M. P.; SILVA, M. B. DA. Formation of titania nanotube arrays by anodisation: DOE approach. **Surface Engineering**, v. 30, n. 2, p. 115-122, 2014.
204. ROSA, P. F. S.; OLIVEIRA, L. A. S.; JESUS, C. B. R.; MOURA, K. O.; ADRIANO, C.; IWAMOTO, W.; GARITEZI, T. M.; GRANADO, E.; SALETA, M. E.; PIROTA, K. R.; PAGLIUSO, P. G. Exploring the effects of dimensionality on the magnetic properties of intermetallic nanowires. **Solid State Communications**, v. 191, p. 14-18, 2014.
205. ROSSI, A. L.; CAMPOS, A. P. C.; BARROSO, M. M. S.; KLAUTAU, M.; ARCHANJO, B. S.; BOROJEVIC, R.; FARINA, M.; WERCKMANN, J. Long-range crystalline order in spicules from the calcareous sponge *Paraleucilla magna* (Porifera, Calcarea). **Acta Biomaterialia**, v. 10, n. 9, p. 3875-3884, 2014.
206. SÁ, A. D. T. DE; OIKO, V. T. A.; DOMENICANTONIO, G. DE; RODRIGUES, V. New experimental setup for metallic clusters production based on hollow cylindrical magnetron sputtering. **Journal of Vacuum Science & Technology B**, v. 32, n. 6, p. 061804, 2014.
207. SAKITA, A. M. P.; DELLA NOCE, R.; MAGNANI, M.; FUGIVARA, C. S.; BENEDETTI, A. V. Electrodeposition of Ni-B and Ni-Co-B alloys by using boric acid as boron source. **ECS Electrochemistry Letters**, v. 3, n. 5, p. D10-D12, 2014.

208. SANCHEZ, D. F.; RODRIGUES, F.; LUCE, F. P.; FABRIM, Z. E.; AZEVEDO, G. DE M.; KELLERMANN, G.; BAPTISTA, D. L.; GRANDE, P. L.; FICHTNER, P. F. P. MEIS, TEM and GISAXS investigation of buried Pb nanoislands in SiO₂/Si interface. **Applied Surface Science**, v. 321, p. 80-85, 2014.
209. SÁNCHEZ, H. J.; LEANI, J. J.; PÉREZ, C. A.; PÉREZ, R. D. Arsenic speciation by X-ray spectroscopy using resonant Raman scattering. **Journal of Applied Spectroscopy**, v. 80, n. 6, p. 912-916, 2014.
210. SANTANA, H.; ÁVILA, C. L.; CABRERA, I.; PÁEZ, R.; FÁLCON, V.; PESSOA JR., A.; VENTOSA, N.; VECIANA, J.; ITRI, R.; BARBOSA, L. R. S. How does growth hormone releasing hexapeptide self-assemble in nanotubes? **Soft Matter**, v. 10, n. 46, p. 9260-9269, 2014.
211. SANTOS, E. B.; LIMA, E. C. N. L.; OLIVEIRA, C. S.; SIGOLI, F. A.; MAZALI, I. O. Fast detection of paracetamol on a gold nanoparticle-chitosan substrate by SERS. **Analytical Methods**, v. 6, p. 3564-3568, 2014.
212. SANTOS, E. B.; SIGOLI, F. A.; MAZALI, I. O. Facile synthesis of the dendritic structure of silver nanoparticles-chitosan and its application as an effective SERS substrate. **New Journal of Chemistry**, v. 38, n. 11, p. 5369-5375, 2014.
213. SANTOS, G. O. S.; SILVA, R. S.; COSTA, L. P.; CELLET, T. S. P.; RUBIRA, A. F.; EGUILUZ, K. I. B.; SALAZAR-BANDA, G. R. Influence of synthesis conditions on the properties of electrochemically synthesized BaTiO₃ nanoparticles. **Ceramics International**, v. 40, n. 2, p. 3603-3609, 2014.
214. SANTOS, M. V.; DOMINGUEZ, C. T.; SCHIAVON, J. V.; BARUD, H. S.; MELO, L. S. A.; RIBEIRO, S. J. L.; GOMES, A. S. L.; ARAÚJO, C. B. Random laser action from flexible biocellulose-based device. **Journal of Applied Physics**, v. 115, n. 8, p. 083108, 2014.
215. SATYANARAYANA, V. S. V.; SINGH, V.; KESSLER, F.; SCHEFFER, F. R.; WEIBEL, D. E.; GHOSH, S.; GONSALVES, K. E. Radiation-sensitive novel polymeric resist materials: iterative synthesis and their EUV fragmentation studies. **ACS Applied Materials & Interfaces**, v. 6, n. 6, p. 4223-4262, 2014.
216. SEGATO, F.; BERTO, G. L.; ARAÚJO, E. A.; MUNIZ, J. R. C.; POLIKARPOV, I. Expression, purification, crystallization and preliminary X-ray diffraction analysis of *Aspergillus terreus* endo-β-1,4-glucanase from glycoside hydrolase family 12. **Acta Crystallographica F**, v. 70, pt. 2, p. 267-270, 2014.
217. SERBENA, J. P. M.; MACHADO, K. D.; SIQUEIRA, M. C.; HUMMELGENT, I. A.; MOSSANEK, R. J. O.; SOUZA, G. B.; SILVA, J. H. D. DA. SeP hole injection layer for devices based on organic materials. **Journal of Physics D**, v. 47, n. 1, p. 015304, 2014.

218. SETTI, G. O.; OLIVEIRA, M. F.; MAIA, I. A.; SILVA, J. V. L.; JOANNI, E. Functionalization of SLS parts for application as SERS substrates in chemical analysis preliminary results. **Rapid Prototyping Journal**, v. 20, n. 4, p. 280-284, 2014.
219. SETTI, G. O.; SILVA, J. V. L.; OLIVEIRA, M. F.; MAIA, I. A.; JESUS, D. P.; SAVU, R.; SANTOS, T. E. A.; SOUZA, R. C. Z.; JOANNI, E. Surface methods for monitoring the densification of parts in the selective laser sintering process. **Rapid Prototyping Journal**, v. 20, n. 2, p. 157-163, 2014.
220. SILVA, D. O.; LUZA, L.; GUAL, A.; BAPTISTA, D. L.; BERNARDI, F.; ZAPATA, M. J. M.; MORAIS, J.; DUPONT, J. Straightforward synthesis of bimetallic Co/Pt nanoparticles in ionic liquid: atomic rearrangement driven by reduction-sulfidation processes and Fischer-Tropsch catalysis. **Nanoscale**, v. 6, n. 15, n. 9085-9092, 2014.
221. SILVA, L. F.; CATTO, A. C.; AVANSI JR., W.; CAVALCANTE, L. S.; ANDRÉS, J.; AGUIR, K.; MASTELARO, V. R.; LONGO, E. A novel ozone gas sensor based on one-dimensional (1D) alpha-Ag₂WO₄ nanostructures. **Nanoscale**, v. 6, n. 8, p. 4058- 4062, 2014.
222. SILVA, L. R.; PEREIRA, L. M.; ALVES, J. F.; MARIN, N.; SILVA, F. S.; MORGANTI, L.; SILVA, I. D. C. G.; AFFONSO, R. A simple strategy for the purification of native recombinant full-length human RPL10 protein from inclusion bodies. **Protein Expression and Purification**, v. 101, p. 115-120, 2014.
223. SILVA, R. A. G.; PAGANOTTI, A.; JABASE, L.; ADORNO, A. T.; CARVALHO, T.M.; SANTOS, C. M. A. Ag-rich precipitates formation in the Cu-11%Al-10%Mn-3%Ag alloy. **Journal of Alloys and Compounds**, v.615, p. S160-S162, 2014.
224. SILVA, S. F. C.; LANZONI, E. M.; BARBOZA, V. A.; MALACHIAS, A.; KIRAVITTAYA, S.; DENEKE, C. InAs migration on released, wrinkled InGaAs membranes used as virtual substrate. **Nanotechnology**, v. 25, n. 35, p. 455603, 2014.
225. SILVA, T. A. G.; TEIXEIRA-NETO, E.; LÓPEZ, N.; ROSSI, L. M. Volcano-like behavior of Au-Pd core-shell nanoparticles in the selective oxidation of alcohols. **Scientific Reports**, v. 4, p. 5766- 5670, 2014.
226. SILVA, T. A.; ZANIN, H.; VICENTIN, F. C.; CORAT, E. J.; FATIBELLO- FILHO, O. Differential pulse adsorptive stripping voltammetric determination of nanomolar levels of atorvastatin calcium in pharmaceutical and biological samples using a vertically aligned carbon nanotube/graphene oxide electrode. **Analyst**, v. 139, n. 11, p. 2832-2841, 2014.
227. SILVA, T. F.; LUCRÉDIO, A. F.; ASSAF, E. M.; ASSAF, J. M. Hydrogen production from oxidative reforming of methane on Ni/gamma-Al₂O₃ catalysts: Effect of support promotion with La, La-Ce and La-Zr. **Fuel Processing Technology**, v. 127, p. 97-104, 2014.

228. SILVA, W. L.; LANSARIN, M. A.; STEDILE, F. C.; DOS SANTOS, J. H. Z. The potential of chemical industrial and academic wastes as a source of supported photocatalysts . **Journal of Molecular Catalysis A**, v. 393, p. 125-133, 2014.
229. SILVA, Y.P.; DALMORO, V.; RUIZ, Y. P. M.; CAPELETTI, L. B.; MENDONÇA, C. R.; SANTOS, J. H. Z.; DOS PIATNICKI, C. M. S. Biodiesel water in oil microemulsions: ferrocene as a hydrophobic probe for direct analysis by differential pulse voltammetry at a Pt ultramicroelectrode. **Analytical Methods**, v. 6, n. 23, p. 9212-9219, 2014.
230. SILVEIRA, J. V.; SAVU, R.; CANESQUI, M. A.; ALVES, O. L.; MENDES-FILHO, J.; SWART, J. W.; SOUZA FILHO, A. G.; MOSHKALEV, S. A. Improvement of electrical and thermal contacts between carbon nanotubes and metallic electrodes by laser annealing. **Journal of Nanoelectronics and Optoelectronics**, v. 9, n. 3, p. 374-380, 2014.
231. SILVEIRA, T.; AWANO, C. M.; DONATTI, D. A.; VICENTE, F. S.; VOLLET, D. R. About the thermal stability and pore elimination in the ordered hexagonal mesoporous silica SBA-15. **Microporous and Mesoporous Materials**, v. 190, n. 227-233, 2014.
232. SINGH, V.; SATYANARAYANA, V. S. V.; BATINA, N.; REYES, I. M.; SHARMA, S. K.; KESSLER, F.; WEIBEL, D. E.; GHOSH, S.; GONSALVES, K. E. Performance evaluation of nonchemically amplified negative tone photoresists for e-beam and EUV lithography. **Journal of Micro/Nanolithography, MEMS, and MOEMS**, v. 13, n. 4, p. 043002, 2014.
233. SIQUEIRA, K. P. F.; SOARES, J. C.; GRANADO, E.; BITTAR, E. M.; PAULA, A. M. DE; MOREIRA, R. L.; DIAS, A. Synchrotron X-ray diffraction and Raman spectroscopy of Ln(3)NbO(7) (Ln=La, Pr, Nd, Sm-Lu) ceramics obtained by molten-salt synthesis. **Journal of Solid State Chemistry**, v. 209, p. 63-68, 2014.
234. SOARES, J. C. A. C. R.; CANELLAS, C. G. L.; ANJOS, M. J. DOS; LOPES, R. T. Multielemental analysis of samples from patients with dermatological pathologies using synchrotron radiation. **Radiation Physics and Chemistry**, v. 95, p. 317-319, 2014.
235. SOSA, C. M.; SÁNCHEZ, H. J.; PÉREZ, C. A.; PÉREZ, R. D. Structural and elemental X-ray microanalysis with synchrotron radiation in confocal geometry. **Nuclear Instruments and Methods in Physics Research B**, v. 319, p. 171-176, 2014.
236. SOUZA JR., F. G.; PINTO, J. C.; GARCIA, F. A.; OLIVEIRA, G. E.; TAVARES, M. I. B.; SILVA, A. M.; PEREIRA, E. D. Modification of coconut fibers with polyaniline for manufacture of pressure-sensitive devices. **Polymer Engineering and Science**, v. 54, n. 12, p. 2887-2895, 2014.
237. SOUZA, C. F.; RIEGEL-VIDOTTI, I. C.; CARDOSO, M. B.; ONO, L.; LUCYSZYN, N.; LUBAMBO, A. F.; SENS, C. V.; GREIN-IANKOVSKI, A.; SIERAKOWSKI, M. R. Nanometric organisation in blends of gellan/xyloglucan hydrogels. **Carbohydrate Polymers**, v. 114, p. 48-56, 2014.

238. SOUZA, E. E.; MEIRELLES, G. V.; GODOY, B. B.; PEREZ, A. M.; SMETANA, J. H. C.; DOXSEY, S. J.; MCCOMB, M. E.; COSTELLO, C. E.; WHELAN, S. A.; KOBARG, J. Characterization of the human NEK7 interactome suggests catalytic and regulatory properties distinct from those of NEK6. **Journal of Proteome Research**, v. 13, p. 4074-4090, 2014.
239. SOUZA, J. S.; KRAMBROCK, K.; PINHEIRO, M. V. B.; ANDO, R. A.; GUHA, S.; ALVES, W. A. Visible-light photocatalytic activity of NH_4NO_3 ion-exchanged nitrogen-doped titanate and TiO_2 nanotubes. **Journal of Molecular Catalysis A**, v. 394, p. 48-56, 2014.
240. SOUZA, K. C.; ANDRADE, G. F.; VASCONCELOS, I.; VIANA, I. M. DE O.; FERNANDES, C.; SOUSA, E. M. B. Magnetic solid-phase extraction based on mesoporous silica-coated magnetic nanoparticles for analysis of oral antidiabetic drugs in human plasma. **Materials Science and Engineering C**, v. 40, p. 275-280, 2014.
241. SOUZA, M. I.; SILVA, E. R.; JAQUES, Y. M.; FERREIRA, F. F.; FILETI, E. E.; ALVES, W. A. The role of water and structure on the generation of reactive oxygen species in peptide/hypericin complexes. **Journal of Peptide Science**, v. 20, n. 7, p. 554-562, 2014.
242. SOUZA-GUERRA, C.; BARROSO, R. C.; ALMEIDA, A. P.; PEIXOTO, I. T. A.; MOREIRA, S.; SOUSA, F. B.; GERLACH, R. F. Anatomical variations in primary teeth microelements with known differences in lead content by micro-synchrotron radiation X-ray fluorescence ($\mu\text{-SRXRF}$) - A preliminary study. **Journal of Trace Elements Medicine and Biology**, v. 28, n. 2, p. 186-193, 2014.
243. STRAUSS, M.; PASTORELLO, M.; SIGOLI, F. A.; SILVA, J. M. S.; MAZALI, I. O Singular effect of crystallite size on the charge carrier generation and photocatalytic activity of nano- TiO_2 . **Applied Surface Science**, v. 319, p. 151-157, 2014.
244. SUMAN, P. H.; LONGO, E.; VARELA, J. A.; ORLANDI, M. O. Controlled synthesis of layered Sn_3O_4 nanobelts by carbothermal reduction method and their gas sensor properties. **Journal of Nanoscience and Nanotechnology**, v. 14, n. 9, p. 6662-6688, 2014.
245. TALLARICO, D. A.; GOBBI, A. L.; PAULIN-FILHO, P. I.; DA COSTA, M. E. H. M.; NASCENTE, P. A. P. Growth and surface characterization of TiNbZr thin films deposited by magnetron sputtering for biomedical applications. **Materials Science and Engineering C**, v. 43, p. 45-49, 2014.
246. TEIXEIRA, V. DE C.; MONTES, P. J. R.; VALERIO, M. E. G. Structural and optical characterizations of $\text{Ca}_2\text{Al}_2\text{SiO}_7:\text{Ce}^{3+},\text{Mn}^{2+}$ nanoparticles produced via a hybrid route. **Optical Materials**, v. 36, n. 9, p. 1580-1590, 2014.
247. THOMAZI, F.; SOUZA, M. R.; SAUL, C. K.; VIANA, G. A.; MARQUES, F. C.; SILVESTRE, R. G. M.; BREHM, M. A.; BURKARTER, E. Experimental realization of TiO_2 nanosponge/spin-coated P_3HT heterojunction solar cells. **Current Nanoscience**, v.10, n. 6, p. 877-882, 2014.

248. TOGNANA, S.; SILVA, L.; SALGUEIRO, W. Crystallization in PHB/DGEBA blends. **Journal of Polymer Science B**, v. 52, p. 882-886, 2014.
249. TSUCHIDA, J. E.; REZENDE, C. A.; OLIVEIRA-SILVA, R.; LIMA, M. A.; D'EURYDICE, M. N.; POLIKARPOV, I.; BONAGAMBA, T. J. Nuclear magnetic resonance investigation of water accessibility in cellulose of pretreated sugarcane bagasse. **Biotechnology for Biofuels**, v. 7, p. 127, 2014.
250. USHIKUBO, F. Y.; BIRRIBILLI, F. S.; OLIVEIRA, D. R. B.; CUNHA, R. L. Y- and T-junction microfluidic devices: effect of fluids and interface properties and operating conditions. **Microfluidics and Nanofluidics**, v. 17, n. 4, p. 711-720, 2014.
251. VALVERDE, J. A.; ECHAVARRÍA, A.; EON, J. G.; FARO JR., A. C.; PALACIO, L. A. V-Mg-Al catalyst from hydrotalcite for the oxidative dehydrogenation of propane. **Reaction Kinetics Mechanisms and Catalysis**, v. 111, n. 2, p. 679-696, 2014.
252. VICENTE, J.; GOULART, J. S.; PREMAZZI, C. A.; SOBRINHO, A. G. P.; SILVA NETO, A. A.; AZEREDO, M. C. S.; DOMINGOS, J. B.; MIRANDA, F. S. H-aggregation of the amphiphilic dye TDPI: photophysical, electrochemical, DFT and SAXS studies. **Journal of Molecular Structure**, v. 1063, p. 320-327, 2014.
253. VIEIRA, R. S.; MENEGHETTI, E.; BARONI, P.; GUIBAL, E.; DE LA CRUZ, V. M. G.; CABALLERO, A.; RODRÍGUEZ-CASTELLÓN, E. R.; BEPPU, M. M. Chromium removal on chitosan-based sorbents - an EXAFS/XANES investigation of mechanism. **Materials Chemistry and Physics**, v. 146, n. 3, p. 412-417, 2014.
254. WOLOSUK, A.; TOGNALLI, N. G.; MARTINEZ, E. D.; GRANADA, M.; FUERTES, M. C.; TROIANI, H. E.; BILMES, S. A.; FAINSTEIN, A.; SOLER-ILLIA, G. J. A. A silver nanoparticle-mesoporous oxide nanocomposite thin films: a platform for spatially homogeneous SERS-active substrates with enhanced stability. **ACS Applied Materials & Interfaces**, v. 6, n. 7, p. 5263-5272, 2014.
255. XAVIER, A. M.; FERREIRA, F. F.; SOUZA, F. L. Morphological and structural evolution from akaganeite to hematite of nanorods monitored by ex situ synchrotron X-ray powder diffraction. **RSC Advances**, v. 4, n. 34, p. 17753-17759, 2014.
256. ZANETTI, S. M.; ROCHA, K. O.; RODRIGUES, J. A. J.; LONGO, E. Soft-chemical synthesis, characterization and humidity sensing behavior of WO₃/TiO₂ nanopowders. **Sensors and Actuators B**, v. 190, p. 40-47, 2014.
257. ZANIN, H.; HOLLANDA, L. M.; CERAGIOLI, H. J.; FERREIRA, M. S.; MACHADO, D.; LANCELOTTI, M.; CATHARINO, R. R.; BARANAUSKAS, V.; LOBO, A. O. Carbon nanoparticles for gene transfection in eukaryotic cell lines. **Materials Science and Engineering C**, v. 39, n. 359-370, 2014.

258. ZANIN, H.; MARGRAF-FERREIRA, A.; DA SILVA, N. S.; MARCIANO, F. R.; CORAT, E. J.; LOBO, A. O. Graphene and carbon nanotube composite enabling a new prospective treatment for trichomoniasis disease. **Materials Science and Engineering C**, v. 41, p. 65-69, 2014.
259. ZANIN, H.; MAY, P. W.; LOBO, A. O.; SAITO, E.; MACHADO, J. P. B.; MARTINS, G.; TRAVA-AIROLDI, V. J.; CORAT, E. J. Effect of multi-walled carbon nanotubes incorporation on the structure, optical and electrochemical properties of diamond-like carbon thin films. **Journal of the Electrochemical Society**, v. 161, n. 5, p. H290-H295, 2014.
260. ZANIN, H.; SAITO, E.; CERAGIOLI, H. J.; BARANAUSKAS, V.; CORAT, E. J. Reduced graphene oxide and vertically aligned carbon nanotubes superhydrophilic films for supercapacitors devices. **Materials Research Bulletin**, v. 49, n. 487-493, 2014.
261. ZANPHORLIN, L. M.; ALVES, F. R.; RAMOS, C. H. I. The effect of celastrol, a triterpene with antitumorogenic activity, on conformational and functional aspects of the human 90 kDa heat shock protein Hsp90 alpha, a chaperone implicated in the stabilization of the tumor phenotype. **Biochimica et Biophysica Acta. General Subjects**, v. 1840, n. 10, p. 3145-3152, 2014
262. ZENATTI, A.; QUEIRUGA REY, J. F., LEITE, E. R.; LONGO, E.; ESCOTE, M. T. LaNiO₃ nanotubes produced using a template-assisted method. **Journal of Nanoscience and Nanotechnology**, v. 14, n. 6, p. 4431-4436, 2014.
263. ZOLA, A. S.; RIBEIRO, R. U.; BUENO, J. M. C.; ZANCHET, D.; ARROYO, P. A. Cobalt nanoparticles prepared by three different methods. **Journal of Experimental Nanoscience**, v. 9, n. 4, p. 398-405, 2014.

ANO 2013

1. ABBATE, M.; LALA, S. M.; MATSUBARA, E. Y.; ROSOLEN, J. M. Oxidation of Fe ions and doping states in chemically deintercalated LiCr_{0.03}Fe_{0.97}PO₄. **ECS Electrochemistry Letters**, v. 2, n. 1, p. A14-A16, 20136.
2. ABRANTES, V. E. F.; ROCHA, B. A. M.; DA NÓBREGA, R. B.; SILVA-FILHO, J. C.; TEIXEIRA, C. S.; CAVADA, B. S.; GADELHA, C. A. DE A.; FERREIRA, S. H.; SANTI-GADELHA, T.; DELATORRE, P. Molecular modeling of lectin-like protein from *Acacia farnesiana* reveals a possible anti-inflammatory mechanism in carrageenan-induced inflammation. **BioMed Research International**, v. 2013, p. 253483, 2013.
3. ABREU, C. M.; SILVA, R. S.; VALERIO, M. E. G.; MACEDO, Z. S. Color-control of the persistent luminescence of cadmium silicate doped with transition metals. **Journal of Solid State Chemistry**, v. 200, p. 54-59, 2013.

4. ABREU, G. J. P.; PANCOTTI, A.; DE LIMA, L. H.; LANDERS, R.; SIERVO, A. DE. Photoelectron diffraction study of Rh nanoparticles growth on Fe₃O₄/Pd(111) ultrathin film. **Journal of Nanoparticle Research**, v. 15, n. 4, p. 1510, 2013.
5. ALBORGHETTI, M. R.; FURLAN, A. S.; SILVA, J. A. C.; SFORÇA, M. L.; HONORATO, R. V.; GRANATO, D. C.; MIGUELETI, D. L. S.; NEVES, J. L.; OLIVEIRA, P. S. L.; PAES LEME, A. F.; ZERI, A. C. DE M.; TORRIANI, I.; KOBARG, J. Structural analysis of intermolecular interactions in the kinesin adaptor complex fasciculation and elongation protein zeta 1/short coiled-coil protein (FEZ1/SCOCO). **PloS One**, v. 8, n. 10, p. e76602, 2013.
6. ALMEIDA, J. M. A.; SANTOS, P. E. C.; CARDOSO, L. P.; MENESES, C. T. A simple method to obtain Fe-doped CeO₂ nanocrystals at room temperature. **Journal of Magnetism and Magnetic Materials**, v. 327, p. 185-188, 2013.
7. ALMEIDA, J. M. P., FONSECA, R. D., TRIBUZI, V., OTUKA, A. J. G., FERREIRA, P. H. D., MASTELARO, V. R., BRAJATO, P., HERNANDES, A. C., DEV, A., VOSS, T., CORRÊA, D. S., MENDONÇA, C. R. Femtosecond laser processing of glassy and polymeric matrices containing metals and semiconductor nanostructures. **Optical Materials**, v. 35, p. 2643-2648, 2013.
8. ALMEIDA, R. K. S.; MELO, J. C. P.; AIROLDI, C. A new approach for mesoporous carbon organofunctionalization with maleic anhydride. **Microporous and Mesoporous Materials**, v. 165, p. 168-176, 2013.
9. ALVES, J. P. C.; FREITAS, J. N.; ATVARS, T. D. Z.; NOGUEIRA, A. F. Photophysical and photovoltaic properties of a polymer-fullerene system containing CdSe nanoparticles. **Synthetic Metals**, v. 164, p. 69-77, 2013.
10. ARANTES, C.; BORGES, B. G. A. L.; BECK, B.; ARAÚJO, G.; ROMAN, L. S., ROCCO, M. L. M. Femtosecond electron delocalization in poly(thiophene) probed by resonant Auger spectroscopy. **Journal of Physical Chemistry C**, v. 117, n. 16, p. 8208-8213, 2013.
11. ARANTES, C.; MENDES, L. A. V.; PINHO, R. R.; FERREIRA, M.; SOUZA, G. G. B. DE; ROCHA, A. B.; ROCCO, M. L. M. Site-selective photofragmentation of chlorinated polymeric films observed around the chlorine K-edge. **Chemical Physics**, v. 415, p. 145-149, 2013.
12. ARAÚJO, E. A.; TOMAZINI JR., A.; KADOWAKI, M. A. S.; MURAKAMI, M. T.; POLIKARPOV, I. Crystallization and preliminary X-ray diffraction analysis of a new xyloglucanase from *Xanthomonas campestris* pv. *Campestris*. **Acta Crystallographica F**, v. 69, p. 676-678, 2013.
13. ARAÚJO, J. A.; CRUZ, F. T.; CRUZ, I. H.; CARDOSO, D. Encapsulation of polymers in CTA-MCM-41 via microemulsion. **Microporous and Mesoporous Materials**, v. 180, p. 14-21, 2013.

14. ARIAS, S.; EON, J. G.; SAN GIL, R. A. S.; LICEA, Y. E.; PALACIO, L. A.; FARO JR., A. C. Synthesis and characterization of terephthalate-intercalated NiAl layered double hydroxides with high Al content. **Dalton Transactions**, v. 42, n. 6, p. 2084-2093, 2013.
15. ARINS, A. W.; JURCA, H. F.; VARALDA, J.; GRAFF, I. L.; SCHREINER, W. H.; MOSCA, D. H. Structure and magnetism of MnGa ultra-thin films on GaAs(111)B. **IEEE Transactions on Magnetics**, v. 49, n. 12, p. 5595-5598, 2013.
16. ARINS, A. W.; JURCA, H. F.; ZARPELLON, J.; VARALDA, J.; GRAFF, I. L.; OLIVEIRA, A. J. A. DE; SCHREINER, W. H.; MOSCA, D. H. Tetragonal zinc-blende MnGa ultra-thin films with high magnetization directly grown on epi-ready GaAs(111) substrates. **Applied Physics Letters**, v. 102, n. 10, p. 102408, 2013.
17. ASECOS, Y. J. O.; ASSAF, E. M. Combination of dry reforming and partial oxidation of methane on NiO-MgO-ZrO₂ catalyst: effect of nickel content. **Fuel Processing Technology**, v. 106, p. 247-252, 2013.
18. ASECOS, Y. J. O.; RODELLA, C. B.; ASSAF, E. M. Oxidative reforming of model biogas over NiO-Y₂O₃-ZrO₂ catalysts. **Applied Catalysis B**, v. 132-133, p. 1-12, 2013.
19. ASPROMONTE, G. A.; MIZRAHI, M. D.; SCHNEEBERGER, F. A.; RAMALLO-LÓPEZ, J. M.; BOIX, A. V. Study of the nature and location of silver in Ag-exchanged mordenite catalysts. characterization by spectroscopic techniques. **Journal of Physical Chemistry C**, v. 117, p. 25433-25442, 2013.
20. ASSUMPÇÃO, T. A. A. DE; KASSAB, L. R. P.; CAMILO, M. E.; MYRONCHUK, G. L. Laser stimulated light reflection for TeO₂-WO₃-Bi₂O₃ thin films with incorporated Si nanoparticles. **Journal of Non-Crystalline Solids**, v. 376, p. 90-93, 2013.
21. ÁVILA-NETO, C. N.; ZANCHET, D.; HORI, C. E.; RIBEIRO, R. U.; BUENO, J. M. C. Interplay between particle size, composition, and structure of MgAl₂O₄-supported Co-Cu catalysts and their influence on carbon accumulation during steam reforming of ethanol. **Journal of Catalysis**, v. 307, p. 222-237, 2013.
22. AWANO, C. M.; DONATTI, D. A.; VICENTE, F. S.; VOLLET, D. R. Structural characteristics of P123-modified supercritical drying and hydrophobic ambient pressure drying aerogels. **Journal of Non-Crystalline Solids**, v. 375, p. 182- 188, 2013.
23. AWANO, C. M.; DONATTI, D. A.; VICENTE, F. S.; VOLLET, D. R. Structure and kinetics of formation of APTS/GPTS-derived organic/inorganic hybrids. **Journal of Physical Chemistry C**, v. 117, p. 17839-17844, 2013.

24. BALBINO, T. A.; AZZONI, A. R.; DE LA TORRE, L. G. Microfluidic devices for continuous production of pDNA/cationic liposome complexes for gene delivery and vaccine therapy. **Colloids and Surfaces B**, v. 111, p. 203-210, 2013.
25. BARBOSA, L. R. S.; MURAKAMI, M. T.; RODRIGUES, N. C.; GAVA, L. M.; HONORATO, R. V.; CANDURI, F.; OLIVA, G.; BORGES, J. C. Structural studies of the *Trypanosoma cruzi* old yellow enzyme: insights into enzyme dynamics and specificity. **Biophysical Chemistry**, v. 184, p. 44-53, 2013.
26. BARROS, S. D. T.; COELHO, A. V.; LACHTER, E. R.; SAN GIL, R. A. S.; DAHMOUCHE, K.; DA SILVA, M. I. P. Esterification of lauric acid with butanol over mesoporous materials. **Renewable Energy**, v. 50, p. 585-589, 2013.
27. BATISTA, J. N. M.; FARIA, E. H.; CALEFI, P. S.; CIUFFI, K. J.; NASSAR, E. J.; CAIUT, J.M.A.; ROCHA, L. A. pH affects sol-gel formation of core-shell mesoporous silica coatings on polyamide. **Industrial & Engineering Chemistry Research**, v. 52, n. 2, p. 779-784, 2013.
28. BATISTA, P. K.; ALVES, D. J. M.; RODRIGUES, M. O.; SÁ, G. F.; ALVES JR., S. Tuning the catalytic activity of lanthanide-organic framework for the cyanosilylation of aldehydes. **Journal of Molecular Catalysis A**, v. 379, p. 68-71, 2013.
29. BELOTI, L. L.; COSTA, B. Z.; TOLEDO, M. A. S.; SANTOS, C. A.; CRUCCELLO, A.; FAVARO, M. T. P.; SANTIAGO, A. S.; MENDES, J. S.; MARSAIOLI, A. J.; SOUZA, A. P. A novel and enantioselective epoxide hydrolase from *Aspergillus brasiliensis* CCT 1435: purification and characterization. **Protein Expression and Purification**, v. 91, n. 2, p. 175-183, 2013.
30. BÉRON, F.; OLIVEIRA, L. A. S.; KNOBEL, M.; PIROTA, K. R. A novel method for identifying the local magnetic viscosity process of heterogeneous magnetic nanostructures. **Journal of Physics D**, v. 46, p. 045003-045010, 2013.
31. BETANCOURT, A. M.; ANTOGNINI, A. F.; ERBEN, M. F.; CAVASSO-FILHO, R. L.; TONG, S.; GE, M.; VÉDOVA, C. O. D.; ROMANO, R. M. Electronic properties of fluorosulfonyl isocyanate, FSO₂NCO: a photoelectron spectroscopy and synchrotron photoionization study. **Journal of Physical Chemistry A**, v. 117, n. 38, p. 9179- 9188, 2013.
32. BEZERRA, M. J. B.; RODRIGUES, N. V. F. C.; PIRES, A. F.; BEZERRA, G. A.; NOBRE, C.B.; ALENCAR, K. L. DE L.; SOARES, P. M. G.; NASCIMENTO, K. S.; NAGANO, C. S.; MARTINS, J. L.; GRUBER, K.; SAMPAIO, A. H.; DELATORRE, P.; ROCHA, B. A. M.; ASSREUY, A. M. S.; CAVADA, B. S. Crystal structure of *Dioclea violacea lectin* and a comparative study of vasorelaxant properties with *Dioclea rostrata lectin*. **International Journal of Biochemistry & Cell Biology**, v. 45, n. 4 , p. 807-815, 2013.
33. BIANCHI, O.; BARBOSA, L. G.; MACHADO, G.; CANTO, L. B.; MAULER, R. S.; OLIVEIRA, R. V. B. Reactive melt blending of PS-POSS hybrid nanocomposites. **Journal of Applied Polymer Science**, v. 128, n. 1, p. 811- 827, 2013.

34. BORTOLETO-BUGS, R. K.; MAZON, T.; BIASOLI, M. T.; PAVANI FILHO, A.; SWART, J. W.; BUGS, M. R. Understanding the formation of the self-assembly of colloidal copper nanoparticles by surfactant: a molecular velcro. **Journal of Nanomaterials**, v. 2013, p. 802174, 2013.
35. BRAGATTO, J.; SEGATO, F.; SQUINA, F. M. Production of xylooligosaccharides (XOS) from delignified sugarcane bagasse by peroxide-HAc process using recombinant xylanase from *Bacillus subtilis*. **Industrial Crops and Products**, v. 51, p. 123-129, 2013.
36. BRANQUINHO, L. C.; CARRIÃO, M. S.; COSTA, A. C.; ZUFELATO, N.; SOUSA, M. H.; MIOTTO, R.; IVKOV, R.; BAZUKIS, A. F. Effect of magnetic dipolar interactions on nanoparticle heating efficiency: implications for cancer hyperthermia. **Scientific Reports**, v. 3, p. 2887, 2013.
37. BRIDI, E. C.; AMARAL, F. L. B.; FRANÇA, F. M. G.; TURSSI, C. P.; BASTING, R. T. Influence of dentin pretreatment with titanium tetrafluoride and self-etching adhesive systems on microtensile bond strength. **American Journal of Dentistry**, v. 26, n. 3, p. 121-126, 2013.
38. BRUNO-MORENO, F.; DE OLIVEIRA, R. S. B.; MOREIRA, R. DE A.; LOBO, M. D. P.; DE FREITAS, C. D. T.; RAMOS, M. V.; GRANGEIRO, T. B.; MONTEIRO-MOREIRA, A. C. Crystallization and X-ray diffraction analysis of an antifungal laticifer protein. **Acta Crystallographica F**, v. 69, pt. 6, p. 646-649, 2013.
39. BRUXEL, F.; VILELA, J. M. C.; ANDRADE, M. S.; MALACHIAS, A.; PÉREZ, C. A.; MAGALHÃES-PANIAGO, R.; OLIVEIRA, M. C.; TEIXEIRA, H. F. Investigation of the structural organization of cationic nanoemulsion/antisense oligonucleotide complexes. **Colloids and Surfaces B**, v. 112, p. 530-536, 2013.
40. BUFAIÇAL, L.; BUENO, V. B.; SILVA, A. M.; BARBOSA, L. R. S.; CATALANI, L. H.; TEIXEIRA-NETO, E.; CORNEJO, D. R.; PETRI, D. F. S. Hybrid composites of xanthan and magnetic nanoparticles for cellular uptake. **Chemical Communications**, v. 49, p. 9911-9913, 2013.
41. BÜRGI, J. M.; NEUENSCHWANDER, R. T.; KELLERMANN, G.; GARCÍA MOLLEJA, J.; CRAIEVICH, A. F.; FEUGEAS, J. N. Reactive sputter magnetron reactor for preparation of thin films and simultaneous in situ structural study by X-ray diffraction. **Review of Scientific Instruments**, v. 84, n. 1, p. 015102, 2013.
42. CAMPOS, B. M.; SFORÇA, M. L.; AMBROSIO, A. L. B.; DOMINGUES, M. N.; SOUZA, T.A.C.B.; PAES LEME, A. F.; PÉREZ, C. A.; BARBOSA, J. A. R. G.; WHITTAKER, S. B. M.; MURAKAMI, M. T.; ZERI, A. C. DE M.; BENEDETTI, C. E. A redox 2-Cys mechanism regulates the catalytic activity of divergent cyclophilins. **Plant Physiology**, v. 162, n. 3, p. 1311- 1323, 2013.
43. CANELLAS, C. G. L.; CARVALHO, S. M. F.; LEITÃO, R. G.; ANJOS, M. J. DOS; LOPES, R. T. Determination of low Z in human serum of patients with idiopathic *Thrombocytopenic purpura* by total reflection X-ray fluorescence. **X-Ray Spectrometry**, v. 42, n. 4, p. 312-315, 2013.

44. CANTANE, D. A.; OLIVEIRA, F. E. R.; SANTOS, S. F.; LIMA, F. H. B. Synthesis of Pt-based hollow nanoparticles using carbon-supported Co@Pt and Ni@Pt core-shell structures as templates: electrocatalytic activity for the oxygen reduction reaction. **Applied Catalysis B: Environmental**, v. 136-137, p. 351-360, 2013.
45. CANTERAS, F. B.; MOREIRA, S.; FARIA, B. F. Study of main and signature sources of particulate matter pollutants in Limeira city (Brazil) using SR-TXRF. **X-Ray Spectrometry**, v.42, p. 290-298, 2013.
46. CAPPELETTI, L. B.; MONCADA, E.; POISSON, J.; BUTLER, I. S.; SANTOS, J. H. Z. DOS. Determination of the network structure of sensor materials prepared by three different sol-gel routes using Fourier transform infrared spectroscopy (FT-IR). **Applied Spectroscopy**, v. 67, n. 4, p. 441-447, 2013.
47. CARASTAN, D. J.; AMURIN, L. G.; CRAIEVICH, A. F.; GONÇALVES, M. C.; DEMARQUETTE, N. R. Morphological evolution of oriented clay-containing block copolymer nanocomposites under elongational flow. **European Polymer Journal**, v. 49, n. 6, p. 1391-1405, 2013.
48. CARLI, L. N.; BIANCHI, O.; MACHADO, G.; CRESPO, J. S.; MAULER, R. S. Morphological and structural characterization of PHBV/organoclay nanocomposites by small angle X-ray scattering. **Materials Science and Engineering C**, v. 33, n. 2, p. 932-937, 2013.
49. CARVALHO, F. A. O.; CARVALHO, J. W. P.; ALVES, F. R.; TABAK, M. pH effect upon HbGp oligomeric stability: characterization of the dissociated species by AUC and DLS studies. **International Journal of Biological Macromolecules**, v. 59, p. 333-341, 2013.
50. CARVALHO, F. A. O.; CARVALHO, J. W. P.; SANTIAGO, P. S.; TABAK, M. Urea-induced unfolding of *Glossoscolex paulistus* hemoglobin, in oxy- and cyanomet-forms: a dissociation model. **International Journal of Biological Macromolecules**, v. 52, p. 340-348, 2013.
51. CARVALHO, H. W. P.; ROCHA, M. V. J.; HAMMER, P.; RAMALHO, T. C. TiO₂-Cu photocatalysts: a study on the long- and short-range chemical environment of the dopant. **Journal of Materials Science**, v. 48, n. 11, p. 3904-3912, 2013.
52. CARVALHO, J. W. P.; ALVES, F. R.; BATISTA, T.; CARVALHO, F. A. O.; SANTIAGO, P. S.; TABAK, M. Sodium dodecyl sulfate (SDS) effect on the thermal stability of oxy-HbGp: dynamic light scattering (DLS) and small angle X-ray scattering (SAXS) studies. **Colloids and Surfaces B**, v. 111, p. 561-570, 2013.
53. CARVALHO, J. W. P.; CARVALHO, F. A. O.; SANTIAGO, P. S.; TABAK, M. Thermal denaturation and aggregation of hemoglobin of *Glossoscolex paulistus* in acid and neutral media. **International Journal of Biological Macromolecules**, v. 54, p. 109-118, 2013.

54. CARVALHO, M. A.; ANDRADE, P. F.; CORBI, F. C. A.; GONÇALEZ, M. C.; FORMIGA, A. L. B.; MAZALI, I. O.; BONACIN, J. A.; CORBI, P. P. A simple method to synthesize fluorescent modified gold nanoparticles using tryptamine as the reducing and capping agent. **Synthetic Metals**, v. 185-186, p. 61-65, 2013.
55. CASTEGNARO, M. V.; KILIAN, A. S.; BAIBICH, I.M.; ALVES, M. C. M.; MORAIS, J. DE. On the reactivity of carbon supported Pd nanoparticles during NO reduction: unraveling a metal-support redox interaction. **Langmuir**, v. 29, n. 23, p. 7125-7133, 2013. (4746)
56. CAVALCANTE, L. S.; BATISTA, N. C.; BADAPANDA, T.; COSTA, M. G. S.; LI, M. S.; AVANSI, W.; MASTELARO, V. R.; LONGO, E.; ESPINOSA, J. W. M.; GURGEL, M. F. C. Local electronic structure, optical bandgap and photoluminescence (PL) properties of Ba(Zr_{0.75}Ti_{0.25}) O₃ powders. **Materials Science in Semiconductor Processing**, v. 16, n. 3, p. 1035-1045, 2013.
57. CIAPINA, E. G.; SANTOS, S. F.; GONZALEZ, E. R. The electro-oxidation of carbon monoxide and ethanol on supported Pt nanoparticles: the influence of the support and catalyst microstructure. **Journal of Solid State Electrochemistry**, v. 17, p. 1831-1842, 2013.
58. CLARO, P. C. DOS S.; COUSTET, M. E.; DÍAZ, C.; MAZA, E.; CORTIZO, M. S.; REQUEJO, F. G.; PIETRASANTA, L. I.; CEOLÍN, M. R.; AZZARONI, O. Self-assembly of PBzMA-b-PDMAEMA diblock copolymer films at the air-water interface and deposition on solid substrates via Langmuir-Blodgett transfer. **Soft Matter**, v. 9, p.10899-10912, 2013.
59. COELHO, P. M.; RIBEIRO, G. A. S.; MALACHIAS, A.; PIMENTEL, V. L.; SILVA, W. S.; REIS, D. D.; MAZZONI, M. S. C.; MAGALHÃES-PANIAGO, R. Temperature-induced coexistence of a conducting bilayer and the bulk-terminated surface of the topological insulator Bi₂Te₃. **Nano Letters**, v. 13, n. 9, p. 4517-4521, 2013.
60. COLAUTO, F.; VESTGARDEN, J. I.; DE ANDRADE, A. M. H.; OLIVEIRA, A. A. M.; ORTIZ, W. A.; JOHANSEN, T. H. Limiting thermomagnetic avalanches in superconducting films by stop-holes. **Applied Physics Letters**, v. 103, n. 3, p. 032604, 2013.
61. CORDEIRO, I. B.; CASTRO, D. P.; NOGUEIRA, P. P. O.; ANGELO, P. C. S.; NOGUEIRA, P. A.; GONÇALVES, J. F. C.; PEREIRA, A. M. R. F.; GARCIA, J. S.; SOUZA, G. H. M. F.; ARRUDA, M. A. Z.; EBERLIN, M. N.; ASTOLFI-FILHO, S.; ANDRADE, E. V.; LÓPEZ-LOZANO, J. L. Electrophoresis and spectrometric analyses of adaptation-related proteins in thermally stressed *Chromobacterium violaceum*. **Genetics and Molecular Research**, v. 12, n. 4, p. 5057-5071, 2013.
62. CORRADINI, P. G.; ANTOLINI, E.; PEREZ, J. Structural and electrochemical characterization of carbon supported Pt-Pr catalysts for direct ethanol fuel cells prepared using a modified formic acid method in a CO atmosphere. **Physical Chemistry Chemical Physics (PCCP)**, v. 15, n. 28, p. 11730-11739, 2013.

63. COSTA, L. P.; QUITES, F. J.; SIGOLI, F. A.; MAZALI, I. O.; PASTORE, H. O. Ag/lamellar hosts composites: a route to morphology-controllable synthesis of Ag nanoparticles. **Journal of Nanoparticle Research**, v. 15, p. 1810, 2013.
64. COSTA, S. V.; GONÇALVES, A. S.; ZAGHETE, M. A.; MAZON, T.; NOGUEIRA, A. F. ZnO nanostructures directly grown on paper and bacterial cellulose substrates without any surface modification layer. **Chemical Communications**, v. 49, n. 73, p. 8096-8098, 2013.
65. COTA, J.; OLIVEIRA, L. C.; DAMÁSIO, A. R. DE L.; CITADINI, A. P.; HOFFMAM, Z. B.; ALVAREZ, T. M.; CODIMA, C. A.; LEITE, V. B. P.; PASTORE, G. M.; OLIVEIRA NETO, M.; MURAKAMI, M. T.; RULLER, R.; SQUINA, F. M. Assembling a xylanase-lichenase chimera through all-atom molecular dynamics simulations. **Biochimica et Biophysica Acta. Proteins and Proteomics**, v. 1834, n. 8, p. 1492-1500, 2013.
66. CREMASCO, A.; LOPES, E. S. N.; CARDOSO, F. F.; CONTIERI, R. J.; FERREIRA, I.; CARAM, R. Effects of the microstructural characteristics of a metastable β Ti alloy on its corrosion fatigue properties. **International Journal of Fatigue**, v. 54, p. 32-37, 2013.
67. CUNHA, T. R.; COSTA, I. M.; LIMA, R. J. S.; DUQUE, J. G. S.; MENESES, C. T. Synthesis and magnetic properties of Mn-doped and SnO₂ nanoparticles. **Journal of Superconductivity and Novel Magnetism**, v. 26, n. 6, p. 2299-2302, 2013.
68. DA SILVA, L. F.; AVANSI JR., W.; ANDRÉS, J.; RIBEIRO, C.; MOREIRA, M. L.; MASTELARO, V. R.; LONGO, E. Long-range and short-range structures of cube-like shape SrTiO₃ powders: microwave-assisted hydrothermal synthesis and photocatalytic activity. **Physical Chemistry Chemical Physics (PCCP)**, v. 15, n. 29, p. 12386-12393, 2013.
69. DA SILVA, V. C. H.; CAGLIARI, T. C.; LIMA, T. B.; GOZZO, F. C.; RAMOS, C. H. I. Conformational and functional studies of a cytosolic 90 kDa heat shock protein Hsp90 from sugarcane. **Plant Physiology and Biochemistry**, v. 68, p. 16-22, 2013.
70. DAL'ACQUA, N.; SCHEFFER, F. R.; BONIATTI, R.; SILVA, B. V. M.; MELO, J. V.; CRESPO, J. S.; GIOVANOLA, M.; PEREIRA, M. B.; WEIBEL, D. E.; MACHADO, G. Photocatalytic nanostructured self-assembled poly(allylamine hydrochloride)/poly (acrylic acid) polyelectrolyte films containing titanium dioxide gold nanoparticles for hydrogen generation. **Journal of Physical Chemistry C**, v. 117, n. 44, p. 23235-23243, 2013.
71. DAMASCENO, J. P. V.; STRAUSS, M.; MARONEZE, C. M.; COSTA, L. P.; SIGOLI, F. A.; GUSHIKEM, Y.; MAZALI, I. O. Exploring the functionalization ratio of mesoporous silica glass with imidazolium entities on the synthesis of supported gold nanoparticles. **Journal of Nanoparticle Research**, v. 15, n. 3, p. 1441-1450, 2013.
72. DAMÁSIO, A. R. DE L.; BRAGA, C. M. P.; BRENELLI, L. B.; CITADINI, A. P.; MANDELLI, F.; COTA, J.; ALMEIDA, R. F.; SALVADOR, V. H.; PAIXÃO, D. A. A.; SEGATO, F.; MERCADANTE, A. Z.; OLIVEIRA NETO, M.; SQUINA, F. M.; SANTOS, W. D. Biomass-to-bio-products application of feruloyl

- esterase from *Aspergillus clavatus*. **Applied Microbiology and Biotechnology**, v.97, n. 15, p. 6759-6767, 2013.
73. DE LIMA, L. H.; SIERVO, A. DE; LANDERS, R.; VIANA, G. A.; GONÇALVES, A. M. B.; LACERDA, R. G.; HÄBERLE, P. Atomic surface structure of graphene and its buffer layer on SiC(0001): a chemical-specific photoelectron diffraction approach. **Physical Review B**, v. 87, n. 8, p. 081403, 2013.
74. DE MELLO, A. C. S.; ANDRADE, A. B.; NAKAMURA, G.H.G.; BALDOCHI, S. L.; VALERIO, M. E. G. Luminescence properties of Er₃₊ and Tm₃₊ doped BaY₂F₈. **Journal of Luminescence**, v. 138, p. 19-24, 2013.
75. DE MORAES, J. R.; DA SILVA, F. R.; GOMES, L.; MAZZOCCHI, V. L.; PARENTE, C. B. R.; BALDOCHI, S.L. Growth and spectroscopic characterizations: properties of Nd:LiLa(MoO₄)₂ single crystal fibers. **CrystEngComm**, v. 15, n. 12, p. 2260-2268, 2013.
76. DE MORAIS, A.; LOIOLA, L. M. D.; BENEDETTI, J. E.; GONÇALVES, A. S.; AVELLANEDA, C. A. O.; CLERICI, J. H.; COTTA, M. A.; NOGUEIRA, A. F. Enhancing in the performance of dye-sensitized solar cells by the incorporation of functionalized multi-walled carbon nanotubes into TiO₂ films: the role of MWCNT addition. **Journal of Photochemistry and Photobiology A**, v. 251, p.78-84, 2013.
77. DE MORAIS-ZANI, K.; NUNES, F. P. B.; DA SILVA, J. B.; FERREIRA, M. J.; GREGO, K. F.; LOPES-FERREIRA, M.; TANAKA, A. S.; TANAKA-AZEVEDO, A. M. The anti-inflammatory action of *Bothrops jararaca* snake antithrombin on acute inflammation induced by carrageenan in mice. **Inflammation Research**, v. 62, p. 733-742, 2013.
78. DE OLIVEIRA, G. A. P.; ROCHA, C. B.; MARQUES, M. A.; CORDEIRO, Y.; SORENSON, M. M.; FOGUEL, D.; SILVA, J. L.; SUAREZ, M. C. Insights into the intramolecular coupling between the N- and C-domains of troponin C derived from high-pressure, fluorescence, nuclear magnetic resonance, and small-Angle X-ray scattering studies. **Biochemistry**, v. 52, n. 1, p. 28-40, 2013.
79. DE OLIVEIRA, L. A. S.; PIROTA, K. R. Synthesis, structural and magnetic characterization of highly ordered single crystalline BiFeO₃ nanotubes. **Materials Research Bulletin**, v. 48, n. 4, p. 1593-1597, 2013.
80. DE PAULI, M.; MAGALHÃES-PANIAGO; R.; MALACHIAS, A. Phase-dependent premelting of self-assembled phosphonic acid multilayers. **Physical Review E**, v. 87, n. 5, p. 052402, 2013.
81. DE SOUSA, M. E.; FERNÁNDEZ VAN RAAP, M. B.; RIVAS, P. C.; ZÉLIS, P. M.; GIRARDIN, P.; PASQUEVICH, G. A.; ALESSANDRINI, J. L.; MURACA, D.; SÁNCHEZ, F. H. Stability and relaxation mechanisms of citric acid coated magnetite nanoparticles for magnetic hyperthermia. **Journal of Physical Chemistry C**, v. 117, p. 5436-5445, 2013.

82. DELABONA, P. S.; COTA, J.; HOFFMAM, Z. B.; PAIXÃO, D. A. A.; FARINAS, C. S.; CAIRO, J. P. L. F.; LIMA, D. J. S.; SQUINA, F. M.; RULLER, R.; PRADELLA, J. G. C. Understanding the cellulolytic system of *Trichoderma harzianum* P49P11 and enhancing saccharification of pretreated sugarcane bagasse by supplementation with pectinase and alpha-L-arabinofuranosidase. **Bioresource Technology**, v. 131, p. 500-507, 2013.
83. DELABONA, P. S.; FARINAS, C. S.; LIMA, D. J. S.; PRADELLA, J. G. C. Experimental mixture design as a tool to enhance glycosyl hydrolases production by a new *Trichoderma harzianum* P49P11 strain cultivated under controlled bioreactor submerged fermentation. **Bioresource Technology**, v. 132, p. 401-405, 2013.
84. DELATORRE, P.; SILVA-FILHO, J. C.; ROCHA, B. A. M.; SANTI-GADELHA, T.; DA NÓBREGA, R. B.; GADELHA, C. A. DE A.; DO NASCIMENTO, K. S.; NAGANO, C. S.; SAMPAIO, A. H.; CAVADA, B. S. Interactions between indole-3-acetic acid (IAA) with a lectin from *Canavalia maritima* seeds reveal a new function for lectins in plant physiology. **Biochimie**, v. 95, n.9, p.1697-1703, 2013.
85. DIAS, C. A. O.; GARCIA, W.; ZANELLI, C. F.; VALENTINI, S. R. eIF5A dimerizes not only in vitro but also in vivo and its molecular envelope is similar to the EF-P monomer. **Amino Acids**, v. 44, n. 2, p. 631-644, 2013.
86. DO LAGO, C. L.; GOBBI, A. L.; CARRILHO, E.; COLTRO, W. K. T. Characterization of microchip electrophoresis devices fabricated by direct-printing process with colored toner. **Electrophoresis**, v. 34, n. 5, p. 2169-2176, 2013.
87. DORES-SILVA, P. R.; MINARI, K.; RAMOS, C. H. I.; BARBOSA, L. R. S.; BORGES, J. C. Structural and stability studies of the human mtHsp70-escort protein 1: an essential mortalin co-chaperone. **International Journal of Biological Macromolecules**, v. 56, p. 140-148, 2013.
88. DOS REIS, C. V.; BERNARDES, A.; POLIKARPOV, I. Expression, purification, crystallization and preliminary X-ray diffraction analysis of bifidobacterium adolescentis xylose isomerase. **Acta Crystallographica F**, v. 69, pt. 5, p. 588-591, 2013.
89. ELIAS, K. F. M.; LUCRÉDIO, A. F.; ASSAF, E. M. Effect of CaO addition on acid properties of Ni-Ca/Al₂O₃ catalysts applied to ethanol steam reforming. **International Journal of Hydrogen Energy**, v. 38, n. 11, p. 4407-4417, 2013.
90. ERMAKOV, V. A.; ALAFERDOV, A. V.; VAZ, A. R.; BARANOV, A. V.; MOSHKALEV, S. A. Nonlocal laser annealing to improve thermal contacts between multi-layer graphene and metals. **Nanotechnology**, v. 24, n.15, p. 155301, 2013.
91. ESCOBAR, J. D.; SANTOS, T. F. A.; RAMIREZ, A. J.; VELÁSQUEZ, E. Improvement of cavitation erosion resistance of a duplex stainless steel through friction stir processing (FSP). **Wear**, v. 297, n. 1-2, p. 998-1005, 2013.

92. FARIA, G. C.; AZEVEDO, E. R.; VON SEGGERN, H. Molecular origin of charge traps in polyfluorene-based semiconductors. **Macromolecules**, v. 46, p. 7865-7873, 2013.
93. FÁVERO-RETTO, M. P.; PALMIERI, L. DE C.; SOUZA, T. A. C. B.; ALMEIDA, F. C. L.; LIMA, L. M. T. R. Structural meta-analysis of regular human insulin in pharmaceutical formulations. **European Journal of Pharmaceutics and Biopharmaceutics**, v. 85, n. 3, p. 1112-1121, 2013.
94. FAYAD, S. J.; ZANETTI-RAMOS, B. G.; BARRETO, P. L. M.; SOLDI, V.; MINATTI, E. Morphology of soy protein isolate at oil/water and oil/air interfaces. **Journal of Brazilian Chemical Society**, v. 24, n. 6, p. 1012-1017, 2013.
95. FERNANDES, C. A. H.; COMPARETTI, E. J.; BORGES, R. J.; HUANCAHUIRE-VEGA, S.; PONCE-SOTO, L. A.; MARANGONI, S.; SOARES, A. M.; FONTES, M. R. M. Structural bases for a complete myotoxic mechanism: crystal structures of two non-catalytic phospholipases A(2)-like from *Bothrops brazili venom*. **Biochimica et Biophysica Acta. Proteins and Proteomics**, v. 1834, p. 2772-2781, 2013.
96. FERNÁNDEZ, G. A.; PICCO, A.; CEOLÍN, M. R.; CHOPA, A. B.; SILBESTRI, G. F. Synthesis and structural characterization of water-soluble gold(I) N-heterocyclic carbene complexes. an X-ray absorption fine structure spectroscopy(XAFS) study. **Organometallics**, v. 32, n. 21, p. 6315-6323, 2013.
97. FERREIRA, A. P. S.; CASSAGO, A.; GONÇALVES, K. DE A.; DIAS, M. M.; ADAMOSKI, D.; ASCENÇÃO, C. F. R.; HONORATO, R. V.; OLIVEIRA, J. F.; FERREIRA, I. M.; FORNEZARI, C.; BETTINI, J.; OLIVEIRA, P. S. L.; PAES LEME, A. F.; PORTUGAL, R. V.; AMBROSIO, A. L. B.; DIAS, S. M. G. Active glutaminase C self-assembles into a supratetrameric oligomer that can be disrupted by an allosteric inhibitor. **Journal of Biological Chemistry**, v. 288, n. 39, p. 28009-28020, 2013.
98. FERREIRA, C. P.; GONÇALEZ, M. C.; CARAM, R.; BERTAZZOLI, R.; RODRIGUES, C. A. Effects of substrate microstructure on the formation of oriented oxide nanotube arrays on Ti and Ti alloys. **Applied Surface Science**, v. 285, p. 226-234, 2013.
99. FLORIDIA ADDATO, M. A.; RUBERT, A. A.; BENITEZ, G.; ZELAYA, E.; CABELLO, G.; CUESTA, A.; THOMAS, J. E.; VISINTÍN, A.; SALVAREZZA, R. C.; FONTICELLI, M. H. Electrochemical desorption of thiolates and sulfur from nanoparticle and planar platinum surfaces. **Journal of Physical Chemistry C**, v. 117, n. 15, p. 7589-7597, 2013.
100. FRAYGOLA, B. M.; MESQUITA, A.; COELHO, A. A.; GARCIA, D.; MASTELARO, V. R.; EIRAS, J. A. Fe valence fluctuations and magnetoelastic coupling in Pb-based multiferroics Perovskites. **Physica Status Solidi A**, v. 210, n. 2, p. 386-390, 2013.
101. FREITAS, J. N.; MAUBANE, M.; BEPETE, G.; VAN OTTERLO, W. A. L.; COVILLE, N. J.; NOGUEIRA, A. F. Synthesis and characterization of single wall carbon nanotube-grafted poly(3-hexylthiophene) and their nanocomposites with gold nanoparticles. **Synthetic Metals**, v. 176, p. 55-64, 2013.

102. FREITAS, R. O.; DENEKE, C.; MALACHIAS, A.; DARIN, G.; MORELHÃO, S. L. Measuring friedel pairs in nanomembranes of GaAs (001). **Journal of Nanoparticle Research**, v. 15, n. 4, p. 1527, 2013.
103. FREITAS, V. F.; BONADIO, T. G. M.; DIAS, G. S.; PROTZEK, O. A.; MEDINA, A. N.; COTICA, L. F.; SANTOS, I. A.; EIRAS, J. A. On the microscopic mechanism for the stabilization of structural and ferroic states in displacive multiferroics. **Journal of Applied Physics**, v. 113, n. 11, p. 114105, 2013.
104. GARCIA, A.; TICIANELLI, E. A. Investigation of the oxygen reduction reaction on Pt-WC/C electrocatalysts in alkaline media. **Electrochimica Acta**, v. 106, p. 453-459, 2013.
105. GARCÍA-BASABE, Y.; BORGES, B. G. A. L.; MACEDO, A. G.; MICARONI, L.; ROMAN, L. S.; ROCCO, M. L. M. The interplay of electronic structure, molecular orientation and charge transport in organic semiconductors: poly(thiophene) and poly(bithiophene). **Organic Electronics**, v. 14, n. 11, p. 2980-2986, 2013.
106. GHENO, S. M.; PIMENTEL, V. L.; MORELLI, M. R.; PAULIN-FILHO, P. I. Analysis of influence of voltage on potential barrier on BiCuVOX and BiTiVOX ceramics. **Microscopy and Microanalysis**, v. 19, p. 688-692, 2013.
107. GODOY, M. P. F.; MESQUITA, A.; AVANSI, W.; NEVES, P. P.; CHITTA, V. A.; FERRAZ, W. B.; BOSELLI, M. A.; SABIONI, A. C. S.; CARVALHO, H.B. Evidence of defect-mediated magnetic coupling on hydrogenated Co-doped ZnO. **Journal of Alloys and Compounds**, v. 555, p. 315-319, 2013.
108. GONZÁLES, M.; LEMUS-SANTANA, A. A.; RODRÍGUEZ-HERNÁNDEZ, J.; KNOBEL, M.; REGUERA, E. π - π Interactions and magnetic properties in a series of hybrid inorganic-organic crystals. **Journal of Solid State Chemistry**, v. 197, p. 317- 322, 2013.
109. GONZÁLEZ, A. R.; ASENCIOS, Y. J. O.; ASSAF, E. M.; ASSAF, J. M. Dry reforming of methane on Ni-Mg-Al nano-spheroid oxide catalysts prepared by the sol-gel method from hydrotalcite-like precursors. **Applied Surface Science**, v. 280, p. 876-887, 2013.
110. HOFFMAM, Z. B.; OLIVEIRA, L. C.; COTA, J.; ALVAREZ, T. M.; DIOGO, J. A.; OLIVEIRA NETO, M.; CITADINI, A. P.; LEITE, V. B. P.; SQUINA, F. M.; MURAKAMI, M. T.; RULLER, R. Characterization of a hexameric exo-acting GH51 alpha-L-arabinofuranosidase from the mesophilic *Bacillus subtilis*. **Molecular Biotechnology**, v. 55, p. 260-267, 2013.
111. HUANCAHUIRE-VEGA, S.; CORRÊA, D., H. DO A.; HOLLANDA, L. M.; LANCELOTTI, M.; RAMOS, C. H. I.; PONCE-SOTO, L. A.; MARANGONI, S. Chemical Modifications of PhTX-I myoto in from *Porthidium hyoprora* snake venom: effects on structural, enzymatic, and pharmacological properties. **BioMed Research International**, v. 2013, p. 103494, 2013.

112. ISAAC, S. Z.; BERGAMIN, A. C. P.; TURSSI, C. P.; AMARAL, F. L. B.; BASTING, R. T.; FRANÇA, F. M. G. Evaluation of bond strength of silorane and methacrylate based restorative systems to dentin using different cavity models. **Journal of Applied Oral Science**, v.21, n. 5, p. 452-459, 2013.
113. KESSLER, F.; KÜHN, S.; RADTKE, C.; WEIBEL, D. E. Controlling the surface wettability of poly(sulfone) films by UV-assisted treatment: benefits in relation to plasma treatment. **Polymer International**, v. 62, n. 2, p. 310-318, 2013.
114. LAGO, A. F.; DA SILVA, B. C.; ARAKAKI, P. J. Valence photodissociation of trifluoroethyl iodide investigated by photoelectron photoion coincidence spectroscopy. **Journal of Electron Spectroscopy and Related Phenomena**, v. 189S, p. 61-65, 2013.
115. LANG, R.; MENEZES, A. S.; SANTOS, A. O. DOS; REBOH, S.; MENESES, E. A.; AMARAL, L.; CARDOSO, L. P. Lattice strain distribution resolved by X-ray Bragg-surface diffraction in an Si matrix distorted by embedded FeSi₂ nanoparticles. **Journal of Applied Crystallography**, v. 46, pt. 6, n. 1796-1804, 2013.
116. LANGUER, M. P.; SCHEFFER, F. R.; FEIL, A. F.; BAPTISTA, D. L.; MIGOWSKI, P.; MACHADO, G. J.; MORAES, D. P.; DUPONT, J.; TEIXEIRA, S. R.; WEIBEL, D. E. Photo-induced reforming of alcohols with improved hydrogen apparent quantum yield on TiO₂ nanotubes loaded with ultra-small Pt nanoparticles. **International Journal of Hydrogen Energy**, v. 38, n. 34, p. 14440-14450, 2013.
117. LEANI, J. J.; SÁNCHEZ, H. J.; VALENTINUZZI, M. C.; PÉREZ, C. A.; GREÑÓN, M. C. Qualitative microanalysis of calcium local structure in tooth layers by means of micro-RRS. **Journal of Microscopy**, v. 250, pt. 2, p. 111-115, 2013. 1.
118. LEITÃO, R. G.; PEREIRA, G. R.; LIMA, I.; PALUMBO JR., A.; SOUZA, P. A. V. R.; ANJOS, M. J. DOS; NASCIUTTI, L. E.; LOPES, R. T. Elemental distribution of prostate samples by synchrotron radiation X-ray fluorescence techniques. *IEEE Transactions on Nuclear Science*, v. 60, n. 2, p. 722- 727, 2013.
119. LEMUS-SANTANA, A. A.; RODRÍGUEZ-HERNÁNDEZ, J.; AGUIRRE-VELEZ, C. I.; KNOBEL, M.; REGUERA, E. Intermolecular interactions between imidazole derivatives intercalated in layered solids. Substituent group effect. **Journal of Solid State Chemistry**, v. 204, p. 128-135, 2013.
120. LIBERATO, M. S.; KOGIKOSKI JR., S.; SILVA, E. R.; COUTINHO NETO, M. D.; SCOTT, L. P. B.; SILVA, R. H.; OLIVEIRA JR., V. X.; ANDO, R. A.; ALVES, W. A. Self-assembly of Arg-Phe nanostructures via the solid-vapor phase method. **Journal of Physical Chemistry B**, v. 117, n. 4, p. 733- 740, 2013.
121. LIMA, R. S.; LEO, P. A. G. C.; MONTEIRO, A. M.; PIAZZETTA, M. H. D.; GOBBI, A. L.; MAZO, L. H.; CARRILHO, E. Glass/SU-8 microchip for electrokinetic applications. *ELECTROPHORESIS*, v. 34, n. 20-21, p. 2996-3002, 2013

122. LIMA, J. C.; POFFO, C. M.; SOUZA, S. M.; MACHADO, K. D.; TRICHÉS, D. M.; GRANDI, T. A.; DE BIASI, R. S. Modeling the amorphous structure of mechanically alloyed $Ti_5ONi_{25}Cu_{25}$ using anomalous wide-angle x-ray scattering and reverse Monte Carlo simulation. **Physica B**, v. 424, p. 60-68, 2013.
123. LIMA, L. H. F.; SERPA, V. I.; ROSSETO, F. R.; OLIVEIRA NETO, M.; MARTINEZ, L.; POLIKARPOV, I. Small-angle X-ray scattering and structural modeling of full-length: cellobiohydrolase I from *Trichoderma harzianum*. **Cellulose**, v. 20, p. 1573-1585, 2013.
124. LIMA, M. A.; LAVORENTE, G. B.; SILVA, H. K. P.; BRAGATTO, J.; REZENDE, C. A.; BERNARDINELLI, O. D.; AZEVEDO, E. R.; GOMEZ, L. D.; MCQUEEN-MASON, S. J.; LABATE, C. A.; POLIKARPOV, I. Effects of pretreatment on morphology, chemical composition and enzymatic digestibility of eucalyptus bark: a potentially valuable source of fermentable sugars for biofuel production (Part 1). **Biotechnology for Biofuels**, v. 6, n. 1, p. 75-91, 2013.
125. LIONZO, M. I. Z.; MUNIZ, E. C.; SILVEIRA, N. P. DA. The influence of chondroitin sulfate on composite multilamellar liposomes containing chitosan. **Colloid Polymer Science**, v. 291, n. 5, p. 1057-1064, 2013.
126. LÓPEZ, E. O., MELLO, A., SENDÃO, H., COSTA, L. T., ROSSI, A. L., OSPINA, R. O., BORGHI, F. F., SILVA FILHO, J. G., ROSSI, A. M. Growth of crystalline hydroxyapatite thin films at room temperature by tuning the energy of the RF-magnetron sputtering plasma. **ACS Applied Materials & Interfaces**, v. 5, n. 19, p. 9435-9445, 2013.
127. MACHADO, K. D.; SIQUEIRA, M. C.; JASTROMBEK, D.; DUARTE, C. A.; DE SOUZA, S. M.; COTTA, E. A.; STOLF, S. F. Vibrational and structural properties of an amorphous InSe₉ alloy produced by mechanical alloying. **European Physical Journal B**, v. 86, n. 3, p. 90, 2013.
128. MAGALHÃES, N. F.; DAHMOUCHE, K.; LOPES, G. K.; ANDRADE, C. T. Using an organically-modified montmorillonite to compatibilize a biodegradable blend. **Applied Clay Science**, v. 72, p. 1-8, 2013.
129. MAIA, A. M. S.; VILLETTI, M. A.; BORSALI, R.; BALABAN, R. C. Polyelectrolyte and non-polyelectrolyte polyacrylamide copolymer solutions: the role of salt on the intra- and intermolecular interactions. **Journal of Brazilian Chemical Society**, v. 24, n. 11, p. 1871-1879, 2013.
130. MANDELLI, F.; CAIRO, J. P. L. F.; CITADINI, A. P.; BÜCHLI, F.; ALVAREZ, T. M.; OLIVEIRA, R. J.; LEITE, V. B. P.; PAES LEME, A. F.; MERCADANTE, A. Z.; SQUINA, F. M. The characterization of a thermostable and cambialistic superoxide dismutase from *Thermus filiformis*. **Letters in Applied Microbiology**, v. 57, n. 1, p. 40-46, 2013.
131. MARANGONI, V. S.; PAINO, I. M.; ZUCOLOTTI, V. Synthesis and characterization of jacalin-gold nanoparticles conjugates as specific markers for cancer cells. **Colloids and Surfaces B**, v. 112, p. 380-386, 2013.

132. MARANGONI, F. A.; PONCE-SOTO, L. A.; MARANGONI, S.; LANDUCCI, E. C. T. Unmasking snake venom of *Bothrops leucurus*: purification and pharmacological and structural characterization of new PLA(2) Bleu TX-III. **BioMed Research International**, v. 2013, p. 941467, 2013.
133. MARINS, J. A.; DAHMOUCHE, K.; SOARES, B. G. New electrorheological fluid obtained from mercaptosilsesquioxane-modified silicate suspensions. **Materials Science and Engineering C**, v. 33, p. 133-139, 2013.
134. MARQUES, F. C.; BARBIERI, P. F.; VIANA, G. A.; DA SILVA, D. A. Implantation of xenon in amorphous carbon and silicon for brachytherapy application. **Applied Surface Science**, v. 275, p. 156-159, 2013.
135. MARQUES, F. C.; VIANA, G. A.; MOTTA, E. F.; SILVA, D. S.; WISNIVESKY, D.; CORTES, A. D. S.; AGUIAR, M. R. Argon implantation in tetrahedral amorphous carbon deposited by filtered cathodic vacuum arc. **Journal of Materials Engineering and Performance**, v. 22, n. 5, p. 1396-1404, 2013.
136. MARTINI, S.; RINCÓN-CARDONA, J. A.; YE, Y.; CANDAL, R. J.; TAN, C. Y.; HERRERA, M. L. Crystallization behavior of high-oleic high-stearic sunflower oil stearins under dynamic and static conditions. **Journal of the American Oil Chemists' Society**, v. 90, n. 12, p. 1773-1786, 2013.
137. MARTINS, T. S.; SILVA, L.C.C.; MATOS, J. R.; FANTINI, M. C. A. Local atomic structure of lanthanide complexes in cubic ordered mesoporous silica. **Journal of Alloys and Compounds**, v. 560, p. 67-71, 2013.
138. MAVRAPOULOS, E.; HAUSEN, M.; COSTA, A. M.; ALVES, G.; MELLO, A.; MIR, M.; OSPINA, C. A.; GRANJEIRO, J. M.; ROSSI, A. M. The impact of the RGD peptide on osteoblast adhesion and spreading on zinc-substituted hydroxyapatite surface. **Journal of Materials Science: Materials in Medicine**, v. 24, n. 5, p. 1271- 1283, 2013.
139. MAZIERO, P.; JONG, J.; MENDES, F. M.; GONÇALVES, A. R.; EDER, M.; DRIEMEIER, C. E. Tissue-specific cell wall hydration in sugarcane stalks. **Journal of Agricultural and Food Chemistry**, v. 61, p. 5841-5847, 2013.
140. MENDES, L. S.; SASKA, S.; MARTINES, M. A. U.; MARCHETTO, R. Nanostructured materials based on mesoporous silica and mesoporous silica/apatite as osteogenic growth peptide carriers. **Materials Science and Engineering C**, v. 33, p. 4427-4434, 2013.
141. MENDOZA ZÉLIS, P.; PASQUEVICH, G. A.; STEWART, S. J.; FERNÁNDEZ VAN RAAP, M. B.; APHESTEGUY, J.; BRUVERA, I. J.; LABORDE, C.; PIANCIOLA, B.; PIANCIOLA, B. N.; SÁNCHEZ, F. H. Structural and magnetic study of zinc-doped magnetite nanoparticles and ferrofluids for hyperthermia applications. **Journal of Physics D**, v. 46, n. 12, p. 125006, 2013

142. MENDOZA, E.; ALMEIDA, G. C.; ANDRADE, D. P. P.; LUNA, H.; WOLFF, W.; ROCCO, M. L. M.; BOECHAT-ROBERTY, H. M. X-ray photodesorption and proton destruction in protoplanetary discs: pyrimidine. **Monthly Notices of the Royal Astronomical Society**, v. 433, p. 3440-3452, 2013.
143. MENEGHELLI, C.; JOAQUIM, L. S. D.; FÉLIX, G. L. Q.; SOMENSI, A.; TOMAZZOLI, M.; DA SILVA, D. A.; BERTI, F. V.; VELEIRINHO, M. B. R.; RECOUVREUX, D. O. S.; ZERI, A. C. DE M.; DIAS, P. F.; MARASCHIN, M. Southern brazilian autumnal propolis shows anti-angiogenic activity: an in vitro and in vivo study. **Microvascular Research**, v. 88, p. 1-11, 2013.
144. MENEZES, A. S.; CALLIGARIS, G. A.; SANTOS, A. O.; CARDOSO, L. P. On the effect of Au₂₊ ion irradiation in an amorphous Fe-Si thin layer synthesized by ion implantation: a high resolution X-ray diffraction study. **CrystEngComm**, v. 15, n.12, p. 2251-2259, 2013.
145. MESQUITA, A.; FRAYGOLA, B. M.; MASTELARO, V. R.; EIRAS, J. A. Fe K-edge X-ray absorption spectroscopy study of Pb(Fe_{2/3}W_{1/3})O₃-PbTiO₃ multiferroic ceramics. **Journal of Applied Physics**, v. 113, n. 11, p. 114104, 2013.
146. MESQUITA, A.; MICHALOWICZ, A.; MASTELARO, V. R. Dielectric and structural characterization of Pb_(1-x)A_(x)Zr_(0.40)Ti_(0.60)O₍₃₎ (A=Sr,Ca) ferroelectric ceramics. **Science of Advanced Materials**, v. 5, n. 9, p. 1264-1270, 2013.
147. MOLCK, M. C.; VIEIRA, T. P.; SGARDIOLI, I. C.; SIMIONI, M.; DOS SANTOS, A. P.; SOUZA, J.; GIL-DA-SILVA-LOPES, V. L. Atypical copy number abnormalities in 22q11.2 region: report of three cases. **European Journal of Medical Genetics**, v. 56, p. 515-520, 2013.
148. MOLINA, E. F.; MARÇAL, L.; DE CARVALHO, H. W. P.; NASSAR, E. J.; CIUFFI, K. J. Tri-ureasil gel as a multifunctional organic-inorganic hybrid matrix. **Polymer Chemistry**, v. 4, n. 5, p. 1575-1582, 2013.
149. MONTES, P. J. R.; VALERIO, M. E. G.; REZENDE, M. V. DOS S. Mechanisms of radioluminescence of rare earths doped SrAl₂O₄ and Ca₁₂Al₁₄O₃₃ excited by X-ray. **Journal of Electron Spectroscopy and Related Phenomena**, v. 189, p. 39-44, 2013.
150. MOREIRA, M. L.; ANDRÉS, J.; GRACIA, L.; BELTRÁN, A.; MONTORO, L. A.; VARELA, J. A.; LONGO, E. Quantum mechanical modeling of excited electronic states and their relationship to cathodoluminescence of BaZrO₃. **Journal of Applied Physics**, v. 114, p. 043714, 2013.
151. MORTAZAVI, M. H.; AHMADJO, S.; SANTOS, J. H. Z. DOS; ARABI, H.; NEKOOMANESH, M.; ZOHURI, G. H.; BRAMBILLA, R.; GALLAND, G. B. Characterization of MAO-modified silicas for ethylene polymerization. **Journal of Applied Polymer Science**, v. 130, n. 6, p. 4568- 4575, 2013.

152. MOSCOFIAN, A. S. O.; PIRES, C. T. G. V. M. T.; AIROLDI, C. Removal of reactive dyes using organofunctionalized mesoporous silicas. **Journal of Porous Materials**, v. 20, p. 1179-1188, 2013.
153. MOSCOSO-LONDOÑO, O.; CARRIÃO, M. S.; COSIO-CASTAÑEDA, C.; BILOVOL, V.; MARTÍNEZ SÁNCHEZ, R.; LEDE, E. J., SOCOLOVSKY, L.M.; MARTÍNEZ-GARCÍA, R. One-step room temperature synthesis of very small gamma-Fe₂O₃ nanoparticles. **Materials Research Bulletin**, v. 48, n. 9, p. 3474-3478, 2013.
154. MOSCOSO-LONDOÑO, O.; GONZALEZ, J. S.; MURACA, D.; HOPPE, R.; ALVAREZ, V. A.; LÓPEZ-QUINTELA, A.; SOCOLOVSKY, L.M.; PIROTA, K. R. Structural and magnetic behavior of ferrogels obtained by freezing thawing of polyvinyl alcohol/poly(acrylic acid) (PAA)-coated iron oxide nanoparticles. **European Polymer Journal**, v. 49, n. 2, p. 279-289, 2013.
155. MOURÃO, H. A. J. L.; AVANSI JR., W.; OLIVEIRA, J. E.; FIRMIANO, E. S.; RIBEIRO, C. A study of the precursors and photoactivity of nanostructures of Ti oxides synthesized by the alkaline hydrothermal method. **Science of Advanced Materials**, v.5, n. 1, p. 71- 85, 2013.
156. MUÑOZ, F. F.; BAKER, R. T.; LEYVA, A. G.; FUENTES, R. O. Reduction and catalytic behaviour of nanostructured Pd/gadolinia-doped ceria catalysts for methane combustion. **Applied Catalysis B: Environmental**, v. 136-137, p. 122-132, 2013.
157. MURACA, D.; SIERVO, A. DE; PIROTA, K. R. From quenched to unquenched orbital magnetic moment on metallic@oxide nanoparticles: dc magnetic properties and electronic correlation. **Journal of Nanoparticle Research**, v. 15, n. 1, p. 1375, 2013.
158. MUSTAFA, D.; BIGGEMANN, D.; MARTENS, J. A.; KIRSCHHOCK, C. E. A.; TESSLER, L. R.; BREYNAERT, E. Erbium enhanced formation and growth of photoluminescent Er/Si nanocrystals. **Thin Solid Films**, v. 536, p. 196-201, 2013.
159. NANDI, L. G.; GUERRA, J. P. T. A.; BELLETTINI, I. C.; MACHADO, V. G.; MINATTI, E. Properties of aqueous solutions of lentinan in the absence and presence of zwitterionic surfactants. **Carbohydrate Polymers**, v. 98, n. 1, p. 1-7, 2013.
160. NAPOLITANO, F.; SOLDATI, A.; GECK, J.; LAMAS, D. G.; SERQUIS, A. Electronic and structural properties of La_{0.4}Sr_{0.6}Ti_{1-y}Co_yO_{3 +/-δ} electrode materials for symmetric SOFC studied by hard X-ray absorption spectroscopy. **International Journal of Hydrogen Energy**, v. 38, n. 21, p. 8965-8973, 2013.
161. NASCIMENTO, G. M. DO. X-ray absorption spectroscopy of nanostructured polyanilines. **Chemical Papers**, v. 67, n. 8, p. 933-945, 2013.

162. NASCIMENTO, V. P.; MERINO, I. L. C.; PASSAMANI, E. C.; ALAYO, W.; TAFUR, M.; PELEGRINI, F.; MAGALHÃES-PANIAGO, R.; ALVARENGA, A. D.; SAITOVITCH, E. B. Clarifying roughness and atomic diffusion contributions to the interface broadening in exchange-biased NiFe/FeMn/NiFe heterostructures. **Thin Solid Films**, v. 542, p. 360-367, 2013.
163. NIKKUNI, F. R.; TICIANELLI, E. A.; DUBAU, L.; CHATENET, M. Identical-location transmission electron microscopy study of Pt/C and Pt-Co/C nanostructured electrocatalyst aging: effects of morphological and compositional changes on the oxygen reduction reaction activity. **Electrocatalysis**, v. 4, n. 2, p. 104-116, 2013.
164. NOCE, R. E.; BENEDETTI, A. V.; PASSAMANI, E. C.; KUMAR, H.; CORNEJO, D. R.; MAGNANI, M. Use of conventional electrochemical techniques to produce crystalline FeRh alloys induced by Ag seed layer. **Journal of Alloys and Compounds**, v. 573, p. 37-42, 2013.
165. OCHOA, E. A.; DROPPA, R.; BASSO, R. L. O.; MORALES, M.; CUCATTI, S. ; ZAGONEL, L. F.; CZERWIEC, T.; DOS SANTOS, M. C.; FIGUEROA, C. A.; ALVAREZ, F. The effect of noble gas bombarding on nitrogen diffusion in steel. *Materials Chemistry and Physics*, v. 143, n. 1, p. 116-123, 2013.
166. OLIVEIRA, A. M.; JÄGER, E.; JÄGER, A.; STEPANEK, P.; GIACOMELLI, F. C. Physicochemical aspects behind the size of biodegradable polymeric nanoparticles: a step forward. **Colloids and Surfaces A**, v. 436, p. 1092-1102, 2013.
167. OLIVEIRA, D. S.; TIZEI, L. H. G.; UGARTE, D. M.; COTTA, M. A. Spontaneous periodic diameter oscillations in InP nanowires: the role of interface instabilities. **Nano Letters**, v. 13, n1, p. 9-13, 2013.
168. OLIVEIRA, E. M.; COSTA, R. F.; SANCHEZ, S. D.; NATALENSE, A. P. P.; BETTEGA, M. H. F.; LIMA, M. A. P.; VARELLA, M. T. N. Low-energy electron scattering by cellulose and hemicellulose components. **Physical Chemistry Chemical Physics (PCCP)**, v. 15, n. 5, p. 1682-1689, 2013.
169. OLIVEIRA, F. J. V. E.; MELO JR., M. A.; AIROLDI, C. Inorganic-organic hybrids presenting high basic center content: SBA-15 incorporation, toxic metals sorption and energetic behavior. **Materials Research Bulletin**, v. 48, n. 3, p. 1045-1056, 2013.
170. OLIVEIRA, L. H.; PARIS, E. C.; AVANSI JR., W.; RAMÍREZ, M. A.; MASTELARO, V. R.; LONGO, E.; VARELA, J. A. Correlation between photoluminescence and structural defects in $\text{Ca}_{1+x}\text{Cu}_{3-x}\text{Ti}_4\text{O}_{12}$ systems. **Journal of the American Ceramic Society**, v. 96, n. 1, p. 209-217, 2013.
171. PAIVA, L. B.; GOLDBECK, R.; SANTOS, W. D.; SQUINA, F. M. Ferulic acid and derivatives: molecules with potential application in the pharmaceutical field. **Brazilian Journal of Pharmaceutical Sciences**, v. 49, n. 3, p. 395-411, 2013.

172. PALMIERI, L. DE C.; FÁVERO-RETTO, M. P.; LOURENÇO, D.; LIMA, L. M. T. R. A T3R3 hexamer of the human insulin variant B28Asp. **Biophysical Chemistry**, v. 173-174, p. 1-7, 2013.
173. PALMIERI, L. DE C.; MELO-FERREIRA, B.; BRAGA, C. A.; FONTES, G. N.; MATTOS, L. J.; LIMA, L. M. T. R. Stepwise oligomerization of murine amylin and assembly of amyloid fibrils. **Biophysical Chemistry**, v. 180-181, p. 135-144, 2013.
174. PASSOS, H.; TRINDADE, M. P.; VAZ, T. S. M.; COSTA, L. P.; FREIRE, M. G.; COUTINHO, J. A. P. The impact of self-aggregation on the extraction of biomolecules in ionic-liquid-based aqueous two-phase systems. **Separation and Purification Technology**, v. 108, p. 174-180, 2013.
175. PENTON-MADRIGAL, A.; OLIVEIRA, L. A. S.; SINNECKER, J. P.; SOUZA, D. M.; GROSSINGER, R.; CONCEPCIÓN- ROSABAL, B.; ESTEVEZ-RAMS, E.; DIAZ-CASTAÑON, S. Coercivity behavior in Gd(Co_{1-x}Cu_x)(5) system as function of the microstructure evolution. **Physica B**, v. 414, p. 67-71, 2013.
176. PEREIRA, H. A. B. S.; LEITE, A. L.; CHARONE, S.; LOBO, J. G. V. M.; CESTARI, T. M.; PERES-BUZALAF, C.; BUZALAF, M. A. R. Proteomic analysis of liver in rats chronically exposed to fluoride. **PLoS One**, v. 8, n. 9, p. e75343, 2013.
177. PÉREZ, C. S.; PEGOS, V. R.; HONORATO, R. V.; VERLI, H.; LINDAHL, E.; BARBOSA, J. A. R. G.; BALAN, A. A specific interdomain interaction preserves the structural and binding properties of the ModA protein from the phytopathogen *Xanthomonas citri* domain interaction and transport in ModA. **Archives of Biochemistry and Biophysics**, v. 539, n. 1, p. 20-30, 2013.
178. PERONI-OKITA, F. H. G.; CARDOSO, M. B.; AGOPIAN, R. G. D.; LOURO, R. P.; NASCIMENTO, J. R. O.; PURGATTO, E.; TAVARES, M. I. B.; LAJOLO, F. M.; CORDENUNSI, B. R. The cold storage of green bananas affects the starch degradation during ripening at higher temperature. **Carbohydrate Polymers**, v. 96, n. 1, p. 137-147, 2013.
179. PICCO, A.; ZELAYA, E.; AZZARONI, O.; CEOLÍN, M. R. Supramacromolecular organization of gold nanocrystals capped with amphiphilic hyperbranched polyethyleneimine. **Journal of Colloid and Interface Science**, v. 397, p. 206-209, 2013.
180. PINTO, E. R. P.; BARUD, H. S.; RIBEIRO, S. J. L.; MESSADDEQ, Y.; POLITO, W. L. Preparation and characterization of the bacterial cellulose/polyurethane nanocomposites. **Journal of Thermal Analysis and Calorimetry**, v. 114, n. 2, p. 549-555, 2013.
181. PIRES, F. I.; CORRADINI, P. G.; PAGANIN, V. A.; ANTOLINI, E.; PEREZ, J. Effect of the degree of alloying of PtRu/C (1:1) catalysts on ethanol oxidation. **Ionics**, v. 19, p. 1037-1045, 2013.
182. POMIRO, F.; CEPPI, S.A.; DE PAOLI, J. M.; SÁNCHEZ, R. D.; MESQUITA, A.; TIRAO, G.; PANNUNZIO MINER, E. V. Magnetocrystalline interactions and oxidation state determination of

- Mn(2-x)V(1+x)O4(X=0, 1/3 and 1) magnetoresistive spinel family. *Journal of Solid State Chemistry*, v. 205, p. 57-63, 2013.
183. PONCE, A. S.; CHAGAS, E. F.; PRADO, R. J.; FERNANDES, C. H. M.; TEREZO, A. J.; BAGGIO-SAITOVICH, E. High coercivity induced by mechanical milling in cobalt ferrite powders. **Journal of Magnetism and Magnetic Materials**, v. 344, p. 182-187, 2013.
 184. QUEL, N. G.; ARAGÃO, A. Z. B.; SALVADORI, M. R.; FARIAS, A. S.; JOAZEIRO, P. P.; SANTOS, L. M. B.; SÁ, L. R. M.; FERREIRA, A. J. P.; YANO, T. Cellulitis lesions in broiler chickens are induced by *Escherichia coli* Vacuolating Factor (ECVF). **Veterinary Microbiology**, v. 162, n. 2- 4, p. 866- 872, 2013.
 185. QUERIDO, W.; ROSSI, A. L.; CAMPOS, A. P. C.; FARINA, M. Does crystallinity of extracted bone mineral increase over storage time? **Materials Research**, v. 16, n. 5, p. 970-974, 2013.
 186. RAFTI, M.; BRUNSEN, A.; AZZARONI, O.; FUERTES, M. C.; SOLER-ILLIA, G. J. A. A. Heterogeneous catalytic activity of platinum nanoparticles hosted in mesoporous silica thin films modified with polyelectrolyte brushes. **ACS Applied Materials & Interfaces**, v. 5, n. 18, p. 8833-8840, 2013.
 187. RAJAJEYAGANTHAN, R.; WEIBEL, D. E. NEXAFS and FTIR-ATR investigation of the static and dynamic superhydrophobicity of functionalized titanium dioxide nanoparticle coatings. **Metallomics**, v. 24, n. 6, p. 1041-1048, 2013.
 188. RAMOS, L. M.; GUIDO, B. C.; NOBREGA, C. C.; CORREA JR. , J. R.; SILVA, R. G.; OLIVEIRA, H. C. B.; GOMES, A. F.; GOZZO, F. C.; NETO, B.A.D. The biginelli reaction with an imidazolium-tagged recyclable iron catalyst: kinetics, mechanism, and antitumoral activity. **Chemistry - A European Journal**, v. 19, n. 13, p. 4156-4168, 2013.
 189. REIS, D. D.; BARRETO, L.; BIANCHI, M.; RIBEIRO, G. A. S.; SOARES, E. A.; SILVA, W. S.; CARVALHO, V. E. DE; RAWLE, J.; HOESCH, M.; NICKLIN, C.; FERNANDES, W. P.; MI, J.; IVERSEN, B. B.; HOFMANN, P. Surface structure of Bi₂Se₃(111) determined by low-energy electron diffraction and surface X-ray diffraction. **Physical Review B**, v. 88, n. 4, p. 041404, 2013.
 190. REIS, L.; FONTANA, R. C.; DELABONA, P. S.; LIMA, D. J. S.; CAMASSOLA, M.; PRADELLA, J. G. C.; DILLON, A. J. P. Increased production of cellulases and xylanases by *Penicillium echinulatum* S1M29 in batch and fed-batch culture. **Bioresource Technology**, v. 146, p. 597-603, 2013.
 191. RESENDE, R. F. B.; FERNANDES, G. V. O.; SANTOS, S. R. A.; ROSSI, A. M.; LIMA, I.; GRANJEIRO, J. M., CALASANS-MAIA, M. D. Long-term biocompatibility evaluation of 0.5 % zinc containing hydroxyapatite in rabbits. **Journal of Materials Science: Materials in Medicine**, v. 24, n. 6, p. 1455-1463, 2013.

192. RIBEIRO, A. A.; BALESTRA, R. M.; ROCHA, M. N.; PERIPOLLI, S. B.; ANDRADE, M. C.; PEREIRA, L. C.; OLIVEIRA, M. V. Dense and porous titanium substrates with a biomimetic calcium phosphate coating. **Applied Surface Science**, v. 265, p. 250-256, 2013.
193. RINCÓN-CARDONA, J. A.; MARTINI, S.; CANDAL, R. J.; HERRERA, M. L. Polymorphic behavior during isothermal crystallization of high stearic high oleic sunflower oil stearins. **Food Research International**, v. 51, n. 1, p. 86-97, 2013.
194. ROMEO, H. E.; ZUCCHI, I. A.; RICO, M.; HOPPE, C. E.; WILLIAMS, R. J. J. From spherical micelles to hexagonally packed cylinders: the cure cycle determines nanostructures generated in block copolymer/epoxy blends. **Macromolecules**, v. 46, n. 12, p. 4854-4861, 2013.
195. ROSSETO, F. R.; PUHL, A. C.; ANDRADE, M. O.; POLIKARPOV, I. Crystallization and preliminary diffraction analysis of the catalytic domain of major extracellular endoglucanase from *Xanthomonas campestris* pv. *Campestris*. **Acta Crystallographica F**, v.69, pt. 2, p. 137-140, 2013.
196. ROSSI, L. M.; VONO, L. L. R.; GARCIA, M. A. S.; FARIA, T. L. T.; LOPEZ-SANCHEZ, J. A. Screening of soluble rhodium nanoparticles as precursor for highly active hydrogenation catalysts: the effect of the stabilizing agents. **Topics in Catalysis**, v.56, n. 13-14, p. 1228-1238, 2013.
197. SANCHEZ, D. F.; MARMITT, G. G.; MARIN, C.; BAPTISTA, D. L.; AZEVEDO, G. DE M.; GRANDE, P. L.; FICHTNER, P. F. P. New approach for structural characterization of planar sets of nanoparticles embedded into a solid matrix. **Scientific Reports**, v. 3, p. 3414, 2013.
198. SÁNCHEZ, H. J.; LEANI, J. J.; PÉREZ, R. D.; PÉREZ, C. A. Depth profiling nano-analysis of chemical environments using resonant Raman spectroscopy at grazing incidence conditions. **Analytical Chemistry**, v. 85, n. p. 7069-7075, 2013.
199. SÁNCHEZ, V. M.; MARTINEZ, E. D.; MARTÍNEZ RICCI, M. L.; TROIANI, H. E.; SOLER-ILLIA, G. J. A. A. Optical properties of Au nanoparticles included in mesoporous TiO₂ thin films: a dual experimental and modeling study. **Journal of Physical Chemistry C**, v. 117, n. 14, p. 7246-7259, 2013.
200. SANTA RITA, J. R.; BORGES, B. G. A. L.; BECK, B.; GARCÍA- BASABE, Y.; ROMAN, L. S.; ROCCO, M. L. M. Electron and photon stimulated ion desorption from poly(thiophene). **Journal of the Brazilian Chemical Society**, v. 24, n. 4, p. 615-620, 2013.
201. SANTANA, P. P. DE, SEGATO, T. P., CARRILHO, E., LIMA, R. S., DOSSI, N., KAMOGAWA, M. Y., GOBBI, A. L., PIAZZETTA, M. H. O., PICCIN, E. Fabrication of glass microchannels by xurography for electrophoresis applications. **Analyst**, v. 138, n. 6, p. 1660-1664, 2013.

202. SANTILLÁN, J. M. J.; VIDELA, F. A.; FERNÁNDEZ VAN RAAP, M. B.; SCHINCA, D. C.; SCAFFARDI, L. B. Analysis of the structure, configuration, and sizing of Cu and Cu oxide nanoparticles generated by fs laser ablation of solid target in liquids. **Journal of Applied Physics**, v. 113, p. 134305, 2013.
203. SANTILLÁN, J. M. J.; VIDELA, F. A.; FERNÁNDEZ VAN RAAP, M. B.; MURACA, D.; SCAFFARDI, L. B.; SCHINCA, D. C. Influence of size-corrected bound-electron contribution on nanometric silver dielectric function. Sizing through optical extinction spectroscopy. **Journal of Physics D**, v. 46, p. 435301, 2013.
204. SANTOS, C. A.; SARAIVA, A. M.; TOLEDO, M. A. S.; BELOTI, L. L.; CRUCELLO, A.; FAVARO, M. T. P.; HORTA, M. A. C.; SANTIAGO, A. DA S.; MENDES, J. S.; SOUZA, A. A.; SOUZA, A. P. Initial biochemical and functional characterization of a 5'-nucleotidase from *Xylella fastidiosa* related to the human cytosolic 5'-nucleotidase I. **Microbial Pathogenesis**, v. 59-60, p. 1-6, 2013.
205. SANTOS, E. B.; SIGOLI, F. A.; MAZALI, I. O. Metallic Cu nanoparticles dispersed into porous glass: a simple green chemistry approach to prepare SERS substrates. **Materials Letters**, v. 108, p. 172-175, 2013.
206. SANTOS, E. B.; SIGOLI, F. A.; MAZALI, I. O. Surface-enhanced Raman scattering of 4-aminobenzenethiol on silver nanoparticles substrate. **Vibrational Spectroscopy**, v. 68, p. 246-250, 2013.
207. SANTOS, S. F.; CASTRO, J. F. R.; TICIANELLI, E. A. Microstructures and electrode performances of $Mg_{50}Ni_{(50-x)}Pd_x$ alloys. **Central European Journal of Chemistry**, v. 11, n. 4, p. 485-491, 2013.
208. SATO, A. G.; VOLANTI, D. P.; MEIRA, D. M.; DAMYANOVA, S.; LONGO, E.; BUENO, J. M. C. Effect of the ZrO_2 phase on the structure and behavior of supported Cu catalysts for ethanol conversion. **Journal of Catalysis**, v. 307, p. 1-17, 2013.
209. SGARDIOLI, I. C.; SIMIONI, M.; VIGUETI-CAMPOS, N. L.; PROTA, J. R.; LOPES, V. L. G. A new case of partial 14q31.3-qter trisomy due to maternal pericentric inversion. **Gene**, v. 523, n. 2, p. 192-194, 2013.
210. SILVA, A. M.; MOCELLIN, A.; FARROKHPOUR, H.; MUNDIM, M. S. P.; NAVES DE BRITO, A. Photo induced dissociation of amino acids free from thermal degradation effects: A case study applied to DL-Valine. **Journal of Electron Spectroscopy and Related Phenomena**, v. 189, p. 56-60, 2013.
211. SILVA, F. M. C.; SANTOS, J. C.; CAMPOS, J. L. O.; MAFUD, A. C.; POLIKARPOV, I.; FIGUEIRA, A. C. M.; NASCIMENTO, A. S. Structure-based identification of novel PPAR gamma ligands. **Bioorganic & Medicinal Chemistry**, v. 23, n. 21 p. 5795-5802, 2013.

212. SILVA, G. C.; ALMEIDA, F. S.; DANTAS, M. S. S.; FERREIRA, A. M.; CIMINELLI, V. S. T. Raman and IR spectroscopic investigation of As adsorbed on Mn₃O₄ magnetic composites. **Spectrochimica Acta A**, v. 100, p. 161-165, 2013.
213. SILVA, J. M. S.; PASTORELLO, M.; KOBARG, J.; CARDOSO, M. B.; MAZALI, I. O. Selective synthesis of silver nanoparticles onto potassium hexaniobate: structural organisation with bactericidal properties. **ChemPhysChem**, v. 14, n. 18, p. 4075-4083, 2013.
214. SILVA, K. P.; SERAPHIM, T. V.; BORGES, J. C. Structural and functional studies of *Leishmania braziliensis* Hsp90. **Biochimica et Biophysica Acta. Proteins and Proteomics**, v. 1834, n. 1, p. 351-361, 2013.
215. SILVA, L. I.; TOGNANA, S.; SALGUEIRO, W. Miscibility in crystalline/amorphous blends of poly(3-hydroxybutyrate)/DGEBA. **Journal of Polymer Science B**, v. 51, n. 8, p. 680-686, 2013.
216. SILVA, M. P.; SILVA, D. M.; CONCEIÇÃO, A. L. C.; RIBEIRO-SILVA, A.; POLETTI, M. E. Role of Ca, Fe, Cu and Zn in breast cancer: study by X-ray fluorescence techniques and immunohistochemical analysis. **X-Ray Spectrometry**, v. 42, p. 303-311, 2013.
217. SILVA, R. A. G.; GAMA, S.; PAGANOTTI, A.; ADORNO, A. T.; CARVALHO, T. M.; SANTOS, C. M. A. Effect of Ag addition on phase transitions of the Cu-22.26 at.%Al-9.93 at.%Mn alloy. **Thermochimica Acta**, v. 554, p. 71-75, 2013.
218. SILVA, R. A. G.; PAGANOTTI, A.; GAMA, S.; ADORNO, A. T.; CARVALHO, T.M.; SANTOS, C. M. A. Investigation of thermal, mechanical and magnetic behaviors of the Cu-11%Al alloy with Ag and Mn additions. **Materials Characterization**, v. 75, p. 194-199, 2013.
219. SILVA, R. R.; DOMINGUEZ, C. T.; SANTOS, M. V.; BARBOSA-SILVA, R.; CAVICCHIOLI, M.; CHRISTOVAN, L. M.; MELO, L. S. A.; GOMES, A. S. L.; ARAUJO, C. B.; RIBEIRO, S. J. L. Silk fibroin biopolymer films as efficient hosts for DFB laser operation. **Journal of Materials Chemistry C**, v. 1, n. 43, p. 7181-7190, 2013.
220. SILVA, T. G.; LANDERS, R.; ROSSI, L. M. Magnetically recoverable AuPd nanoparticles prepared by a coordination capture method as a reusable catalyst for green oxidation of benzyl alcohol. **Catalysis Science & Technology**, v. 3, n. 11, p. 2993-2999, 2013.
221. SILVEIRA, L. G. D.; DIAS, G. S.; COTICA, L. F.; EIRAS, J. A.; GARCIA, D.; SAMPAIO, J. A.; YOKAICHIYA, F.; SANTOS, I. A. Charge carriers and small-polaron migration as the origin of intrinsic dielectric anomalies in multiferroic TbMnO₃ polycrystals. **Journal of Physics. Condensed Matter**, v. 25, n. 47, p. 475401-47509, 2013.
222. SIQUEIRA, K. P. F.; BORGES, R. M.; GRANADO, E.; MALARD, L. M.; PAULA, A. M. DE; MOREIRA, R. L.; BITTAR, E. M.; DIAS, A. Crystal structure of fluorite-related Ln(3)SbO(7) (Ln=La-Dy) ceramics

- studied by synchrotron X-ray diffraction and Raman scattering. **Journal of Solid State Chemistry**, v. 203, p. 326-332, 2013.
223. SOARES, B. G.; SILVA, A. A.; SOLLIMOSSY, A. P.; BRAGA, R. A.; DUCHET, J. Assessing the nanoscale structure of clay epoxy nanocomposites by tuning the physicochemical and processing conditions. **Applied Clay Science**, v. 83-84, p. 244-252, 2013.
224. SOLDATI, A.; BAQUÉ, L.; NAPOLITANO, F.; SERQUIS, A. Cobalt-iron red-ox behavior in nanostructured $\text{La}_{0.4}\text{Sr}_{0.6}\text{Co}_{0.8}\text{Fe}_{0.2}\text{O}_{3-\delta}$ cathodes. **Journal of Solid State Chemistry**, v. 198, p. 253-261, 2013.
225. SOUZA, D. H. S., DAHMOUCHE, K., ANDRADE, C.T., DIAS, M. L. Synthetic organofluoromica/poly(lactic acid) nanocomposites: structure, rheological and thermal properties. **Applied Clay Science**, v. 80-81, p. 259-266, 2013.
226. SOUZA, J. A.; ZUNIGA, A.; MIRANDA, V. N.; RAMIREZ, F. E. N.; MASUNAGA, S. H.; JARDIM, R. F. Enhanced ferromagnetism in CuO nanowires on the top of CuO nanograins. **Journal of Applied Physics**, v. 114, n. 17, p. 173907, 2013.
227. SOUZA, M. I.; JAQUES, Y. M.; ANDRADE, G. P.; RIBEIRO, A. O.; FILETI, E. E.; SILVA, E. R.; AVILLA, E. S.; PINHEIRO, M. V. B.; KRAMBROCK, K.; ALVES, W. A. Structural and photophysical properties of peptide micro/nanotubes functionalized with hypericin. **Journal of Physical Chemistry B**, v. 117, n. 9, p. 2605-2614, 2013.
228. SOUZA, T. E.; MESQUITA, A.; ZEVALLOS, A. O.; BÉRON, F.; PIROTA, K. R.; NEVES, P. P.; DORIGUETTO, A. C.; CARVALHO, H.B. Structural and magnetic properties of dilute magnetic oxide based on nanostructured Co-doped anatase $\text{TiO}_2(\text{Ti}_{1-x}\text{Co}_x\text{O}_{2-\delta})$. **Journal of Physical Chemistry C**, v. 117, n. 25, p. 13252- 13260, 2013.
229. SOUZA-CORREA, J. A.; RIDENTI, M. A.; OLIVEIRA, C.; ARAÚJO, S. R.; AMORIM, J. Decomposition of lignin from sugar cane bagasse during ozonation process monitored by optical and mass spectrometries. **Journal of Physical Chemistry B**, v. 117, n. 11, p. 3110-3119, 2013.
230. STRACHAN, J. P.; YANG, J. J.; MONTORO, L. A.; OSPINA, C. A.; RAMIREZ, A. J.; KILCOYNE, A. L. D.; MEDEIROS-RIBEIRO, G.; WILLIAMS, R. S. Characterization of electroforming-free titanium dioxide memristors. **Beilstein Journal of Nanotechnology**, v. 4, p. 467-473, 2013.
231. TAFUR, M.; SOUSA, M. A.; NASCIMENTO, V. P.; PELEGRINI, F.; BAGGIO-SAITOVICH, E. Ferromagnetic resonance study of dual exchange bias field behavior in NiFe/IrMn/Co trilayers. **Applied Physics Letters**, v. 102, n. 6, p. 062402, 2013.

232. TEDESCO, J. C. G.; PIRES, M. J. M.; CARVALHO, A. M. G.; SOUSA, V. S. R.; COELHO, A. A. Exchange-bias-like effect in $\text{Pr}_{0.75}\text{Tb}_{0.25}\text{Al}_2$ and $\text{Pr}_{0.7}\text{Tb}_{0.3}\text{Al}_2$ samples. **Journal of Magnetism and Magnetic Materials**, v. 339, p. 6-10, 2013.
233. TERRA, I. A. A.; BORRERO-GONZÁLES, L. J.; CARVALHO, J. M.; TERRAZOS, L. A.; FELINTO, M. C. F. C.; BRITO, H. F.; NUNES, L. A. O. Spectroscopic properties and quantum cutting in $\text{Tb}_{3\pm}\text{Yb}_{3\pm}\text{Co}$ -doped ZrO_2 nanocrystals. **Journal of Applied Physics**, v. 113, n. 7, p. 073105, 2013.
234. THYSSEN, V. V.; MAIA, T. A.; ASSAF, E. M. Ni supported on $\text{La}_2\text{O}_3\text{-SiO}_2$ used to catalyze glycerol steam reforming. **Fuel**, v. 105, p. 358-363, 2013.
235. TOLEDO, M. A. S.; SANTOS, C. A.; MENDES, J. S.; PELLOSO, A. C.; BELOTI, L. L.; CRUCELLO, A.; FAVARO, M. T. P.; SANTIAGO, A. DA S.; SCHNEIDER, D. R. S.; SARAIVA, A. M.; STACH-MACHADO, D. R.; SOUZA, A. A.; TRIVELLA, D. B. B.; APARICIO, R.; TASIC, L.; AZZONI, A. R.; SOUZA, A. P. Small-angle X-ray scattering and in silico modeling approaches for the accurate functional annotation of an LysR-type transcriptional regulator. **Biochimica et Biophysica Acta. Proteins and Proteomics**, v. 1834, n. 3, p. 697-707, 2013.
236. TORRES-HUACO, F. D.; WERNECK, C. C.; VICENTE, C. P.; VASSEQUI-SILVA, T.; NERY-DIEZ, A. C. C.; MENDES, C. B.; ANTUNES, E.; MARANGONI, S.; DAMICO, D. C. S. Rapid purification and procoagulant and platelet aggregating activities of rhombeobin: a thrombin-like/gyroxin-like enzyme from *Lachesis muta rhombeata* snake venom. **BioMed Research International**, v. 2013, p. 903292, 2013.
237. VARELA, A.; OLIVEIRA, G.; SOUZA JR., F. G.; RODRIGUES, C. H. M.; COSTA, M. A. S. New petroleum absorbers based on cardanol-furfuraldehyde magnetic nanocomposites. **Polymer Engineering and Science**, v. 53, n. 1, p. 44-51, 2013.
238. VIALI, W. R.; NUNES, E. DA S.; DOS SANTOS, C. C.; DA SILVA, S. W.; ARAGÓN, F. H.; COAQUIRA, J. A. H.; MORAIS, P. C.; JAFELICCI JR., M. PEGylation of SPIONs by polycondensation reactions: a new strategy to improve colloidal stability in biological media. **Journal of Nanoparticle Research**, v. 15, n. 8, p. 1824, 2013.
239. VITORAZI, L.; BERRET, J.-F.; LOH, W. Self-assembly of complex salts of cationic surfactants and anionic-neutral block copolymers. Dispersions with liquid-crystalline internal structure. **Langmuir**, v. 29, n. 46, p. 14024-14033, 2013. 5073
240. WANDERLEY, M. C. A.; MARTÍN, C.; ROCHA, G. J. M.; GOUVEIA, E. R. Increase in ethanol production from sugarcane bagasse based on combined pretreatments and fed-batch enzymatic hydrolysis **Bioresource Technology**, v. 128, p. 448-453, 2013.
241. WENDER, H.; GONÇALVES, R. V.; DIAS, C. S. B.; ZAPATA, M. J. M.; ZAGONEL, L. F.; MENDONÇA, E. C.; TEIXEIRA, S. R.; GARCIA, F. Photocatalytic hydrogen production of Co(OH)_2 nanoparticle-coated $\alpha\text{-Fe}_2\text{O}_3$ nanorings. **Nanoscale**, v. 5, n. 19, p. 9310-9316, 2013.

242. WOLFF, W.; SIGAUD, L.; MONTENEGRO, E. C.; JESUS, V. L. B.; CAVASSO-FILHO, R. L.; PILLING, S.; SANTOS, A. C. F. Ionization and fragmentation of methane induced by 40 eV to 480 eV synchrotron radiation: from valence to beyond core electron ionization. **Journal of Physical Chemistry A**, v. 117, n. 1, p. 56-66, 2013.
243. ZANIN, H.; MAY, P. W.; HAMANAKA, M. H. M. O.; CORAT, E. J. Field emission from hybrid diamond-like carbon and carbon nanotube composite structures. **ACS Applied Materials & Interfaces**, v. 5, p. 12238-12243, 2013.
244. ZANIN, H.; TEÓFILO, R. F.; PETERLEVITZ, A. C.; OLIVEIRA, U.; PAIVA, J. C.; CERAGIOLI, H. J.; REIS, E. L.; BARANAUSKAS, V. Diamond cylindrical anodes for electrochemical treatment of persistent compounds in aqueous solution. **Journal of Applied Electrochemistry**, v. 43, n. 3, p. 323-330, 2013.
245. ZELCER, A.; SOLER-ILLIA, G. J. A. A. One-step preparation of UV transparent highly ordered mesoporous zirconia thin films. **Journal of Materials Chemistry C**, v. 1, n. 1, p. 1359-1367, 2013.
246. ZÉLIS, P. M.; MURACA, D.; GONZALEZ, J. S.; PASQUEVICH, G. A.; ALVAREZ, V. A.; PIROTA, K. R.; SÁNCHEZ, F. H. Magnetic properties study of iron-oxide nanoparticles/PVA ferrogels with potential biomedical applications. **Journal of Nanoparticle Research**, v. 15, p. 1613-1624, 2013.

Ano 2012

1. ABDALA, P. M.; CRAIEVICH, A. F.; LAMAS, D. G. Size-dependent phase transitions in nanostructured zirconia-scandia solid solutions. **RSC Advances**, v. 2, n. 12, p. 5205-5213, 2012.
2. ABREU, M. F.; SALVADOR, V. T.; VITORAZI, L.; GATTS, C. E. N.; DOS SANTOS, D. R.; GIACOMINI, R. A.; CARDOSO, S. L.; MIRANDA, P. C. M. L. Tuning methyl 4,6-O-benzylidene alpha-D-glucopyranosides' gelation ability by minor group modifications. **Carbohydrate Research**, v. 353, p. 69-78, 2012.
3. ALCANTARA, K. S.; RAMALLO-LÓPEZ, J. M.; BOESENBERG, U.; SALDAN, I.; PISTIDDA, C.; REQUEJO, F. G.; JENSEN, T.; CERENIUS, Y.; SORBY, M.; AVILA, J.; VON COLBE, J. B.; TAUBE, K.; KLASSEN, T.; DORNHEIM, M. (2)+4MgB(2) + CaF₂ reactive hydride composite as a potential hydrogen storage material: hydrogenation and dehydrogenation pathway. **Journal of Physical Chemistry C**, v. 116, n. 12, p. 7207-7212, 2012.
4. ALESSIO, P.; OLIVEIRA, R. F.; AOKI, P. H. B.; PEREIRA, J. D.; BRAUNGER, M. L.; FURINI, L. N.; VIEIRA, M.; TEIXEIRA, S. R.; JOB, A. E.; SAENZ, C. A.; ALVES, N.; OLIVATI, C. A.; CONSTANTINO, C. J. L. Molecular architecture and electrical properties in evaporated films of cobalt phthalocyanine. **Journal of Nanoscience and Nanotechnology**, v. 9, n. 12, p. 7010-7020, 2012.

5. ALMEIDA, J. M. P.; DE BONI, L.; AVANSI JR., W.; RIBEIRO, C.; LONGO, E.; HERNANDES, A. C.; MENDONÇA, C. R. Generation of copper nanoparticles induced by fs-laser irradiation in borosilicate glass. **Optics Express**, v. 20, n. 14, p. 15106-15113, 2012.
6. ALMEIDA, R. K. S.; PIRES, C. T. G. V. M. T.; AIROLDI, C. The influence of secondary structure directing agents on the formation of mesoporous SBA-16 silicas. **Chemical Engineering Journal**, v. 203, p. 36-42, 2012.
7. ALMEIDA, T. S.; PALMA, L. M.; LEONELLO, P. H.; MORAIS, C.; KOKOH, K. B.; DE ANDRADE, A. R. An optimization study of PtSn/C catalysts applied to direct ethanol fuel cell: effect of the preparation method on the electrocatalytic activity of the catalysts. **Journal of Power Sources**, v. 215, p. 53-62, 2012.
8. ALVES, F. R. Vesicles prepared with the complex salts dioctadecyldimethylammonium polyacrylates. **Journal of Colloid and Interface Science**, v. 368, n. 1, p. 292-300, 2012.
9. AMARAL, H. R.; KOGIKOSKI JR., S.; SILVA, E. R.; SOUZA, J. A.; ALVES, W. A. Micro- and nano-sized peptidic assemblies prepared via solid-vapor approach: morphological and spectroscopic aspects. **Materials Chemistry and Physics**, v. 137, n. 2, p. 628-636, 2012.
10. ANDRADE, G. R. S.; NASCIMENTO, C. C.; NEVES, E. C.; BARBOSA, C. D'A. E. S.; COSTA, L. P.; BARRETO, L. S.; GIMENEZ, I. F. One-step preparation of CdS nanocrystals supported on thiolated silica-gel matrix and evaluation of photocatalytic performance. **Journal of Hazardous Materials**, v. 203-204, p. 151-157, 2012.
11. ANDRADE, J. DE M.; TOLEDO, T. T.; NOGUEIRA, S. B.; CORDENUNSI, B. R.; LAJOLO, F. M.; DO NASCIMENTO, J. R. O. 2D-DIGE analysis of mango (*Mangifera indica L.*) fruit reveals major proteomic changes associated with ripening. **Journal of Proteomics**, v. 75, n. 11, p. 3331-3341, 2012.
12. ANDRADE, R. R. DE; MALACHIAS, A.; KELLERMANN, G.; NEGREIROS, F. R.; MOREIRA, M. V. B.; OLIVEIRA, A. G. DE; GONZALEZ, J. C. Experimental evidence and modified growth model of alloying in $\text{In}_x\text{Ga}_{1-x}\text{As}$ nanowires. **Journal of the Physical Chemistry C**, v. 116, n. 46, p. 24777-24783, 2012.
13. ARAÚJO, V. D.; AVANSI, W.; CARVALHO, H. B.; MOREIRA, M. L.; LONGO, E.; BERNARDI, M. I. B. CeO_2 nanoparticles synthesized by a microwave-assisted hydrothermal method: evolution from nanospheres to nanorods. **CrystEngComm**, v. 14, n. 3, p. 1150-1154, 2012.
14. ARAYA, M.; DÍAZ-DROGUETT, D. E.; RIBEIRO, M.; ALBERTIN, K. F.; AVILA, J.; FUENZALIDA, V. M.; ESPINOZA, R.; CRIADO, D. Photoluminescence in silicon/silicon oxide films produced by the pulsed electron beam ablation technique. **Journal of Non-Crystalline Solids**, v. 358, n. 5, p. 880-884, 2012.

15. ARLINDO, E. P. S.; LUCINDO, J. A.; BASTOS, C. M. O.; EMMEL, P. D.; ORLANDI, M. O. Electrical and optical properties of conductive and transparent ITO@PMMA nanocomposites. **Journal of Physical Chemistry C**, v. 116, n. 23, p. 12946-12952, 2012.
16. ARRUDA, M. S.; MARINHO, R. R. T.; MANIERO, A. M.; MUNDIM, M. S. P.; MOCELLIN, A.; PILLING, S.; NAVES DE BRITO, A.; PRUDENTE, F. V. Theoretical-experimental study of formic acid photofragmentation in the valence region. **Journal of Physical Chemistry A**, v. 116, n. 25, p. 6693-6701, 2012.
17. ASENCIOS, Y. J. O.; NASCENTE, P. A. P.; ASSAF, E. M. Partial oxidation of methane on NiO-MgO-ZrO₂ catalysts. **Fuel**, v. 97, p. 630-637, 2012.
18. AWANO, C. M.; DE VICENTE, F. S.; DONATTI, D. A.; VOLLET, D. R. Structure and growth kinetics of 3-Glycidoxypropyltrimethoxysilane-derived organic/silica hybrids at different temperatures. **Journal of the Physical Chemistry C**, v. 116, n. 45, p. 24274-24280, 2012.
19. BALBINO, T. A.; GASPERINI, A. A. M.; OLIVEIRA, C. L. P.; AZZONI, A. R.; CAVALCANTI, L. P.; DE LA TORRE, L. G. Correlation of the physicochemical and structural properties of pDNA/cationic liposome complexes with their in vitro transfection. **Langmuir**, v. 28, n. 31, p. 11535-11545, 2012.
20. BARROS FILHO, D. A.; BENEDETTI, J. E.; PEREIRA-DA-SILVA, M. A.; SERIACOPI, V.; GOMES SILVA, W. R.; ALONSO, R. C. B.; LEWGOY, H. R.; ANIDO-ANIDO, A.; AMORE, R.; ANAUATE-NETTO, C.; AVELLANEDA, C. O.; SANTILLI, C. V.; NOGUEIRA, A. F. Morphology and topography analysis of mesoporous titania templated by micrometric latex sphere arrays. **Microporous and Mesoporous Materials**, v. 152, p. 84-95, 2012.
21. BARROS, A. C.; TAKEDA, A. A. S.; CHANG, C.-W.; KOBE, B.; FONTES, M. R. M. Structural basis of nuclear import of flap endonuclease 1 (FEN1). **Acta Crystallographica D**, v. 68, pt. 7, p. 743-750, 2012.
22. BATISTA, J. N. M.; DE FARIA, E. H.; CALEFI, P. S.; CIUFFI, K. J.; NASSAR, E. J.; CUNHA, W. R.; CAIUT, J. M. A.; ROCHA, L. A. Controlling silicate meso-structures using sucupira oil as a new swelling agent. **Applied Surface Science**, v. 258, n. 12, p. 5111-5116, 2012.
23. BELLETTINI, I. C.; NANDI, L. G.; EISING, R.; DOMINGOS, J. B.; MACHADO, V. G.; MINANI, E. Properties of aqueous solutions of hydrophobically modified polyethylene imines in the absence and presence of sodium dodecylsulfate. **Journal of Colloid and Interface Science**, v.370, n. 1, p. 94-101, 2012.
24. BENEDETTI, J. E.; CORRÊA, A. A.; CARMELLO, M.; ALMEIDA, L. C. P.; GONÇALVES, A. S.; NOGUEIRA, A. F. Cross-linked gel polymer electrolyte containing multi-wall carbon nanotubes for application in dye-sensitized solar cells. **Journal of Power Sources**, v. 208, p. 263-270, 2012.

25. BERNARDES, A.; BATISTA, F. A. H.; OLIVEIRA NETO, M.; FIGUEIRA, A. C. M.; WEBB, P.; SAIDEMBERG, D. M.; PALMA, M.S.; POLIKARPOV, I. Low-resolution molecular models reveal the oligomeric state of the PPAR and the conformational organization of its domains in solution. **PloS One**, v. 7, n. 2, e31852-1-15, 2012.
26. BERNARDINELLI, O. D.; FARIA, G. C.; NUNES, L. A. O.; FARIA, R. M.; DE AZEVEDO, E. R.; PINTO, M. F. S. Correlation between molecular conformation, packing, and dynamics in oligofluorenes: a theoretical/experimental study. **Journal of Physical Chemistry A**, v. 116, p. 4285-4295, 2012.
27. BERNARDO, P. L.; GHIVELDER, L.; ESLAVA, G. G.; AMORIM, H. S.; SINNECKER, E. H. C. P.; FELNER, I.; NEUMEIER, J. J.; GARCIA, S. Magnetic and thermal responses triggered by structural changes in the double Perovskite Sr_2YRuO_6 . **Journal of Physics. Condensed Matter**, v. 24, n. 48, p. 486001, 2012.
28. BERNINI, R. B.; DA SILVA, L. B. G.; RODRIGUES, F. N.; COUTINHO, L. H.; ROCHA, A. B.; SOUZA, G. G. B. DE. Core level (S 2p) excitation and fragmentation of the dimethyl sulfide and dimethyldisulfide molecules. **Journal of Chemical Physics**, v. 136, n. 14, p. 144307, 2012.
29. BETON, D.; GUZZO, C. R.; RIBEIRO, A. F.; FARAH, C. S.; TERRA, W. R. The 3D structure and function of digestive cathepsin L-like proteinases of *Tenebrio molitor* larval midgut. **Insect Biochemistry and Molecular Biology**, v. 42, n. 9, p. 655-664, 2012.
30. BILOVOL, V.; MUDARRA NAVARRO, A. M.; RODRÍGUEZ TORRES, C. E.; CABRERA, A. F. Effect of thermal treatment in vacuum on Fe-doped SnO_2 powders. **Physica B**, v. 407, n. 16, p. 3214-3217, 2012.
31. BONATTO, A. C.; SOUZA, E. M. DE; OLIVEIRA, M. A. S.; MONTEIRO, R. A.; CHUBATSU, L. S.; HUERGO, L. F.; PEDROSA, F. O. Uridylylation of *Herbaspirillum seropedicae* GlnB and GlnK proteins is differentially affected by ATP, ADP and 2-oxoglutarate in vitro. **Archives of Microbiology**, v. 194, n. 8, p. 643-652, 2012.
32. BRAGATTO, J.; SEGATO, F.; COTA, J.; OLIVEIRA, M. M.; MELLO, D. B.; BUCKERIDGE, M. S.; SQUINA, F. M.; DRIEMEIER, C. E. Insights on how the activity of an endoglucanase is affected by physical properties of insoluble celluloses. **Journal of Physical Chemistry B**, v. 116, n. 21, p. 6128-6136, 2012.
33. BRITO, J. B.; GOMES, D. J. C.; JUSTINA, V. D.; LIMA, A. M. F.; OLIVATI, C. A.; SILVA, J. R.; DE SOUZA, N. C. Nanostructured films from phthalocyanine and carbon nanotubes: surface morphology and electrical characterization. **Journal of Colloid and Interface Science**, v. 367, n. 1, p. 467-471, 2012.
34. BRUNSEN, A., CUI, J., CEOLÍN, M. R., DEL CAMPO, A., SOLER-ILLIA, G. J. A. A., AZZARONI, O. Light-activated gating and permselectivity in interfacial architectures combining "caged" polymer brushes and mesoporous thin films. **Chemical Communications**, v. 48, n. 10, p. 1422-1424, 2012 .

35. BRUNSEN, A.; DÍAZ, C.; PIETRASANTA, L. I.; YAMEEN, B.; CEOLÍN, M. R.; SOLER-ILLIA, G. J. A. A.; AZZARONI, O. Proton and calcium-gated ionic mesochannels: phosphate-bearing polymer brushes hosted in mesoporous thin films as biomimetic interfacial architectures. **Langmuir**, v. 28, n. 7, p. 3583-3592, 2012.
36. BUZZO, G. S.; ORLANDI, M. J. B.; TEIXEIRA-NETO, E.; HOMEM-DE-MELLO, P.; LOPES, A. C. G.; FRANCO-JUNIOR, E.; SUFFREDINI, H. B. Effects of catalyst load in Pt and Pb-based catalysts using formic acid oxidation as a model. **Journal of Power Sources**, v. 199, p. 75-84, 2012.
37. CAMPOS, I. T. N.; SOUZA, T. A. C. B.; TORQUATO, R. J. S.; DE MARCO, R.; TANAKA-AZEVEDO, A. M.; TANAKA, A. S.; BARBOSA, J. A. R. G. The Kazal-type inhibitors infestins 1 and 4 differ in specificity but are similar in three-dimensional structure. **Acta Crystallographica D**, v. 68, pt. 6, p. 695-702, 2012.
38. CANELLAS, C. G. L.; CARVALHO, S. M. F.; ANJOS, M. J. DOS; LOPES, R. T. Determination of Cu/Zn and Fe in human serum of patients with sickle cell anemia using radiation synchrotron. **Applied Radiation and Isotopes**, v. 70, n. 7, p. 1277-1280, 2012.
39. CARVALHO, F. A. O.; SANTIAGO, P. S.; TABAK, M. On the stability of the extracellular hemoglobin of *Glossoscolex paulistus*, in two iron oxidation states, in the presence of urea. **Archives of Biochemistry and Biophysics**, v. 519, n. 1, p. 46-58, 2012.
40. CARVALHO, F. C.; SILVA, H. R.; LUZ, G. M.; BARBI, M. S.; LANDGRAFF, A. C.; CHIAVACCI, L. A.; SARMENTO, V. H. V.; GREMIÃO, M. P. D. Rheological, mechanical and adhesive properties of surfactant-containing systems designed as a potential platform for topical drug delivery. **Journal of Biomedical Nanotechnology**, v. 8, n. 2, p. 280-289, 2012.
41. CARVALHO, J. W. P.; SANTIAGO, P. S.; BATISTA, T.; SALMON, C. E. G.; BARBOSA, L. R. S.; ITRI, R.; TABAK, M. On the temperature stability of extracellular hemoglobin of *Glossoscolex paulistus*, at different oxidation states: SAXS and DLS studies. **Biophysical Chemistry**, v. 163-164, p. 44-55, 2012.
42. CASSAGO, A.; FERREIRA, A. P. S.; FERREIRA, I. M.; FORNEZARI, C.; GOMES, E. R. M.; GREENE, K. S.; PEREIRA, H. M.; GARRATT, R. C.; DIAS, S. M. G.; AMBROSIO, A. L. B. Mitochondrial localization and structure-based phosphate activation mechanism of glutaminase C with implications for cancer metabolism. **Proceedings of the National Academy of Sciences USA**, v. 109, n. 4, p. 1092-1097, 2012.
43. CHINAGLIA, D. L.; GREGÓRIO JR., R.; VOLLET, D. R. Structural modifications in stretch-induced crystallization in PVDF films as measured by small-angle X-ray scattering. **Journal of Applied Polymer Science**, v. 125, p. 527-535, 2012.
44. COELHO, L. N.; DÍAZ, B.; MAGALHÃES-PANIAGO, R.; MALACHIAS, A. Resonant X-ray diffraction of self-assembled epitaxial systems: from direct to complementary chemical information. **European Physical Journal Special Topics (The)**, v. 208, n. 1, p. 217-229, 2012.

45. COELHO, L. N.; KUNETS, V. P.; SALAMO, G. J.; MAREGA JR., E. Structural, morphological, and magnetic characterization of $\text{In}_{1-x}\text{Mn}_x\text{As}$ quantum dots grown by molecular beam epitaxy. **Journal of Applied Physics**, v. 112, n. 3, p. 034317, 2012.
46. COITINHO, J. B.; COSTA, D. M. A.; GUIMARÃES, S. L.; GÓES, A. M. DE; NAGEM, R. A. P. Expression, purification and preliminary crystallographic studies of NahF, a salicylaldehyde dehydrogenase from *Pseudomonas putida* G7 involved in naphthalene degradation. *Acta Crystallographica F*, v. 68, pt. 1, p. 93-97, 2012.
47. COLAÇO, M. V.; BARROSO, R. C.; PORTO, I. M.; GERLACH, R. F.; COSTA, F. N.; BRAZ, D.; DROPPA JR., R.; DE SOUSA, F. B. Synchrotron X-ray diffraction characterization of healthy and fluorotic human dental enamel. **Radiation Physics and Chemistry**, v. 81, n. 10, p. 1578-1585, 2012.
48. COLUSSI, F.; GARCIA, W.; ROSSETO, F. R.; MELLO, B. L. S. DE; OLIVEIRA NETO, M.; POLIKARPOV, I. Effect of pH and temperature on the global compactness, structure, and activity of cellobiohydrolase Cel7A from *Trichoderma harzianum*. **European Biophysics Journal**, v. 41, n.1, p. 89-98, 2012.
49. CORTEZ, M. L.; PALLAROLA, D.; CEOLÍN, M. R.; AZZARONI, O.; BATTAGLINI, F. Ionic self-assembly of electroactive biorecognizable units: electrical contacting of redox glycoenzymes made easy. **Chemical Communications**, v. 48, n. 88, p. 10868-10870, 2012.
50. CORTHEY, G.; RUBERT, A. A.; PICONE, A. L.; CASILLAS, G.; GIOVANETTI, L. J.; RAMALLO-LÓPEZ, J. M.; ZELAYA, E.; BENITEZ, G.; REQUEJO, F. G.; JOSE-YACAMAN, M.; SALVAREZZA, R. C.; FONTICELLI, M. H. New insights into the chemistry of thiolate-protected palladium nanoparticles. **Journal of Physical Chemistry C**, v. 116, n. 17, p. 9830-9837, 2012.
51. COSTA, N. J. S.; JARDIM, R. F.; MASUNAGA, S. H.; ZANCHET, D.; LANDERS, R.; ROSSI, L. M. Direct access to oxidation-resistant nickel catalysts through an organometallic precursor. **ACS Catalysis**, v. 2, n. 6, p. 925-929, 2012.
52. CUI, J.; NGUYEN, T. H.; CEOLÍN, M. R.; BERGER, R.; AZZARONI, O.; DEL CAMPO, A. Phototunable response in caged polymer brushes. **Macromolecules**, v.45, n. 7, p. 3213-3220, 2012.
53. DA NÓBREGA, R. B.; ROCHA, B. A. M.; GADELHA, C. A. DE A.; SANTI-GADELHA, T.; PIRES, A. F.; ASSREUY, A. M. S.; NASCIMENTO, K. S.; NAGANO, C. S.; SAMPAIO, A. H.; CAVADA, B. S.; DELATORRE, P. Structure of *Dioclea virgata* lectin: relations between carbohydrate binding site and nitric oxide production. **Biochimie**, v. 94, n. 3, p. 900-906, 2012.
54. DA SILVA, L. F.; AVANSI JR., W.; MOREIRA, M. L.; ANDRÉS, J.; LONGO, E.; MASTELARO, V. R. Novel $\text{SrTi}_{1-x}\text{Fe}_x\text{O}_3$ nanocubes synthesized by microwave-assisted hydrothermal method. **CrystEngComm**, v. 14, n. 11, p. 4068-4073, 2012.

55. DA SILVA, L. F.; AVANSI, W.; MOREIRA, M. L.; MESQUITA, A.; MAIA, L. J. Q.; ANDRÉS, J.; LONGO, E.; MASTELARO, V. R. Relationship between crystal shape, photoluminescence, and local structure in SrTiO₃ synthesized by microwave-assisted hydrothermal method. **Journal of Nanomaterials**, v. 2012, p. 890397, 2012.
56. DAGUANO, J. K. M. F.; SUZUKI, P. A.; STRECKER, K.; FERNANDES, M. H. F. V.; SANTOS, C. Evaluation of the micro-hardness and fracture toughness of amorphous and partially crystallized 3CaO center dot P₂O₅-SiO₂-MgO bioglasses. **Materials Science and Engineering A**, v. 533, n. 4, p. 26-32, 2012.
57. DAL BÓ, A. G.; SOLDI, V.; GIACOMELLI, C.; TRAVELET, C.; JEAN, B.; PIGNOT- PAINTRAND, I.; BORSALI, R.; FORT, S. Self-assembly of amphiphilic glycoconjugates into lectin-adhesive nanoparticles. **Langmuir**, v. 28, n. 2, p. 1418-1426, 2012.
58. DAMICO, D. C. S.; VASSEQUI-SILVA, T.; TORRES-HUACO, F. D.; NERY-DIEZ, A. C. C.; DE SOUZA, R. C. G.; DA SILVA, S. L.; VICENTE, C. P.; MENDES, C. B.; ANTUNES, E.; WERNECK, C. C.; MARANGONI, S. LmrTX, a basic PLA(2) (D49) purified from *Lachesis muta rhombeata* snake venom with enzymatic-related antithrombotic and anticoagulant activity. **Toxicon**, v. 60, n. 5, p. 773-781, 2012.
59. DE ABREU, A. J.; LUCRÉDIO, A. F.; ASSAF, E. M. Ni catalyst on mixed support of CeO₂-ZrO₂ and Al₂O₃: effect of composition of CeO₂-ZrO₂ solid solution on the methane steam reforming reaction. **Fuel Processing Technology**, v. 102, p. 140-145, 2012.
60. DE ÁVILA NETO, C. N.; LIBERATORI, J. W. C.; DA SILVA, A. M.; ZANCHET, D.; HORI, C. E.; NORONHA, F. B.; BUENO, J. M. C. Understanding the stability of Co-supported catalysts during ethanol reforming as addressed by in situ temperature and spatial resolved XAFS analysis. **Journal of Catalysis**, v. 287, p. 124-137, 2012.
61. DE FIGUEIREDO, A. T.; LONGO, V. M.; DA SILVA, R. O.; MASTELARO, V. R.; MESQUITA, A.; FRANCO, R. W. A.; VARELA, J. A.; LONGO, E. Structural XANES characterization of Ca_{0.99}Sm_{0.01}TiO₃ Perovskite and correlation with photoluminescence emission. **Chemical Physics Letters**, v. 544, p. 43-48, 2012.
62. DE OLIVEIRA, G. A. P.; PEREIRA, E. G.; DIAS, C. V.; SOUZA, T. L. F.; FERRETTI, G. D. S.; CORDEIRO, Y.; CAMILLO, L. R.; CASCARDO, J. C. M.; ALMEIDA, F. C.; VALENTE, A. P.; SILVA, J. L. *Moniliophthora pernicios*a necrosis- and ethylene-inducing protein 2 (MpNep2) as a metastable dimer in solution: structural and functional implications. **PloS One**, v. 7, n. 9, p. e45620, 2012.
63. DE OLIVEIRA, G. A. P.; PIRES, C. T. G. V. M. T.; OLIVEIRA JR., N. G.; AIROLDI, C. Structural incorporation of titanium and/or aluminum in layered silicate magadiite through direct syntheses. **Materials Chemistry and Physics**, v. 135, n. 2-3, p. 870-879, 2012.
64. DE PAULI, M.; PÉREZ, C. A.; PRADO, M. C.; ARAÚJO, D. H. C.; NEVES, B. R. A.; MALACHIAS, A. Energy dispersive X-ray reflectivity applied to the study of thermal stability of self-assembled

- organic multilayers: results on phosphonic acids. **Synthetic Metals**, v. 161, n. 23-24, p. 2521-2525, 2012.
65. DE PAULI, M.; PRADO, M. C.; FONTES, G. N.; PÉREZ, C. A.; NEVES, B. R. A.; MALACHIAS, A. Thermal stability and ordering study of long- and short-alkyl chain phosphonic acid multilayers. **Langmuir**, v. 28, n. 43, p. 15124-15133, 2012.
 66. DE SOUSA, F. B.; LIMA, A. C.; DENADAI, A. M. L.; ANCONI, C. P. A.; DE ALMEIDA, W. B.; NOVATO, W. T. G.; DOS SANTOS, H. F.; DRUM, C. L.; LANGER, R.; SINISTERRA, R. D. Superstructure based on β -CD self-assembly induced by a small guest molecule. **Physical Chemistry Chemical Physics (PCCP)**, v. 14, n. 6, p. 1934-1944, 2012.
 67. DE SOUZA, V. P.; COSTA, D.; DOS SANTOS, D.; SATO, A. G.; BUENO, J. M. C. Pt-promoted alpha-Al₂O₃-supported Ni catalysts: effect of preparation conditions on oxi-reduction and catalytic properties for hydrogen production by steam reforming of methane. **International Journal of Hydrogen Energy**, v. 37, n. 13, p. 9985-9993, 2012.
 68. DENEKE, C.; MALACHIAS, A.; RASTELLI, A.; MERCES, L.; HUANG, M.; CAVALLO, F.; SCHMIDT, O. G. Straining nanomembranes via highly mismatched heteroepitaxial growth: in as islands on compliant Si substrates. **ACS Nano**, v. 6, n. 11, p. 10287-10295, 2012.
 69. DÍAZ, B.; MALACHIAS, A.; MONTORO, L. A.; ABRAMOF, E.; RAPPL, P. H. O. Vertically ordered magnetic EuTe quantum dots stacks on SnTe matrices. **Nanotechnology**, v. 23, n. 1, p. 015604, 2012.
 70. DORA, C. L.; SILVA, L. F. C.; PUTAUX, J.-L.; NISHIYAMA, Y.; PIGNOT-PAINTRAND, I.; BORSALI, R.; LEMOS-SENNA, E. Poly(ethylene glycol) hydroxystearate-based nanosized emulsions: effect of surfactant concentration on their formation and ability to solubilize quercetin. **Journal of Biomedical Nanotechnology**, v. 8, n. 2, p. 202-210, 2012.
 71. DORES-SILVA, P. R.; SILVA, E. R.; GOMES, F. E. R.; SILVA, K. P.; BARBOSA, L. R. S.; BORGES, J. C. Low resolution structural characterization of the Hsp70-interacting protein - Hip - from *Leishmania braziliensis* emphasizes its high asymmetry. **Archives of Biochemistry and Biophysics**, v. 520, n. 2, p. 88-98, 2012.
 72. DOS SANTOS, C. R.; PAIVA, J. H.; MEZA, A. N.; COTA, J.; ALVAREZ, T.M.; RULLER, R.; PRADE, R. A.; SQUINA, F. M.; MURAKAMI, M. T. Molecular insights into substrate specificity and thermal stability of a bacterial GH5-CBM27 endo-1,4- β -D-mannanase. **Journal of Structural Biology**, v. 177, n. 2, p. 469-476, 2012.
 73. DRISKO, G. L., ZELCER, A., CARUSO, R. A., SOLER-ILLIA, G. J. A. A. One-pot synthesis of silica monoliths with hierarchically porous structure. **Microporous and Mesoporous Materials**, v. 148, n. 38, p. 137-144, 2012.

74. DUNGER, G.; GAROFALO, C. G.; GOTTIG, N.; GARAVAGLIA, B. S.; ROSA, M. C. P.; FARAH, C. S.; ORELLANO, E. G.; OTTADO, J. Analysis of three *Xanthomonas axonopodis* pv. citri effector proteins in pathogenicity and their interactions with host plant proteins. **Molecular Plant Pathology**, v. 123, n. 8, p. 865-876, 2012.
75. ESPINOZA-QUIÑONES, F. R.; MÓDENES, A. N.; THEODORO, P. S.; PALÁCIO, S. M.; TRIGUEROS, D. E. G.; BORBA, C. E.; ABUGDERAH, M. M.; KROUMOV, A. D. Optimization of the iron electro-coagulation process of Cr, Ni, Cu, and Zn galvanization by-products by using response surface methodology. **Separation Science and Technology**, v. 47, n. 5 p. 688-699, 2012.
76. FARROKHPOUR, H.; FATHI, F.; NAVES DE BRITO, A. Theoretical and experimental study of valence photoelectron spectrum of D,L-alanine amino acid. **Journal of Physical Chemistry A**, 116, n. 26, p. 7004-7015, 2012.
77. FASOLIN, L. H.; SANTANA, R. C.; CUNHA, R. L. Microemulsions and liquid crystalline formulated with triacylglycerols: effect of ethanol and oil unsaturation. **Colloids and Surfaces A**, v. 415, p. 31-40, 2012.
78. FATTORI, N.; MARONEZE, C. M.; COSTA, L. P.; STRAUSS, M.; SIGOLI, F. A.; MAZALI, I. O.; GUSHIKEM, Y. Ion-exchange properties of imidazolium-grafted SBA-15 toward AuCl₄⁻ anions and their conversion into supported gold nanoparticles. **Langmuir**, v. 28, n. 27, p. 10281-10288, 2012.
79. FATTORI, N.; MARONEZE, C. M.; MAGOSSO, H. A.; KHOLIN, Y. V.; GUSHIKEM, Y. Highly-controlled grafting of mono and dicationic 4,4'-bipyridine derivatives on SBA-15 for potential application as adsorbent of CuCl₂ from ethanol solution. **Journal of Colloid and Interface Science**, v. 384, n.1, p. 137-142, 2012.
80. FERNANDES, C. A. H.; GARTUZO, E. C. G.; PAGOTTO, I.; HUANCAHUIRE-VEGA, S.; PONCE-SOTO, L. A.; COSTA, T. R.; MARANGONI, S.; SOARES, A. M.; FONTES, M. R. M. Crystallization and preliminary X-ray diffraction analysis of three myotoxic phospholipases A₂ from *Bothrops Brazili* venom. **Acta Crystallographica F**, v. 68, pt. 8, p. 935-938, 2012.
81. FERNANDES, V.; GRAFF, I. L.; VARALDA, J.; AMARAL, L.; FICHTNER, P.; DEMAILLE, D.; ZHENG, Y.; SCHREINER, W. H.; MOSCA, D. H. Valence evaluation of cerium in nanocrystalline CeO₂ films electrodeposited on Si substrates. **Journal of the Electrochemical Society**, v. 159, n. 1, p. K27-K33, 2012.
82. FERNÁNDEZ VAN RAAP, M. B.; MENDOZA ZÉLIS, P.; CORAL, D. F.; TORRES, T. E.; MARQUINA, C.; GOYA, G. F.; SÁNCHEZ, F. H. Self organization in oleic acid-coated CoFe₂O₄ colloids: a SAXS study. **Journal of Nanoparticle Research**, v. 14, n. 9, p. 1072, 2012.
83. FISCHEREDER, A.; MARTINEZ-RICCI, M. L.; WOLOSUIUK, A.; HAAS, H.; HOFER, F.; TRIMMEL, G.; SOLER-ILLIA, G. J. A. A. Mesoporous ZnS thin films prepared by a nanocasting route. **Chemistry of Materials**, v. 24, n. 10, p. 1837-1845, 2012.

84. FORTE, M. B. S.; ELIAS, E. C. L.; PASTORE, H. O.; MAUGERI FILHO, F.; RODRIGUES, M. I. Evaluation of clavulanic acid adsorption in MgAl-layered double hydroxides: kinetic, equilibrium and thermodynamic studies. **Adsorption Science & Technology**, v. 30, n. 1, p. 65-80, 2012.
85. FRAGA, M. A.; FURLAN, H.; PESSOA, R. S.; RASIA, L. A.; MATEUS, C. F. R. Studies on SiC, DLC and TiO₂ thin films as piezoresistive sensor materials for high temperature application. **Microsystem Technologies**, v.18, n. 7-8, p. 1027-1033, 2012.
86. FREITAS, F. S.; CLIFFORD, J. N.; PALOMARES, E.; NOGUEIRA, A. F. Tailoring the interface using thiophene small molecules in TiO₂/P₃HT hybrid solar cells. **Physical Chemistry Chemical Physics (PCCP)**, v. 14, n. 34, p. 11990-11993, 2012.
87. FREITAS, J. N.; MAMO, M. A.; MAUBANE, M.; VAN OTTERLO, W. A. L.; COVILLE, N. J.; NOGUEIRA, A. F. Nanocomposites of gold and poly(3-hexylthiophene) containing fullerene moieties: synthesis, characterization and application in solar cells. **Journal of Power Sources**, v. 215, p. 99-108, 2012.
88. GABRIEL, E. F. M.; DUARTE JR., G. F.; GARCIA, P. DE T.; DE JESUS, D. P.; COLTRO, W. K. T. Polyester-toner electrophoresis microchips with improved analytical performance and extended lifetime. **Electrophoresis**, v. 33, n. 17, p. 2660-2667, 2012.
89. GARCIA-FLORES, A. F.; MOREIRA, A. F. L.; KANEKO, U. F.; ARDITO, F. M.; TERASHITA, H.; ORLANDO, M. T. D.; GOPALAKRISHNAN, J.; RAMESHA, K.; GRANADO, E. Spin-electron-phonon excitation in Re-based half-metallic double Perovskites. **Physical Review Letters**, v. 108, n. 17, p. 177202, 2012
90. GASPERINI, A. A. M.; MALACHIAS, A.; FABBRIS, G.; KELLERMANN, G.; GOBBI, A. L.; AVENDAÑO, E., AZEVEDO; G. DE M. Investigation of indirect structural and chemical parameters of GeSi nanoparticles in a silica matrix by combined synchrotron radiation techniques. **Journal of Applied Crystallography**, v. 45, n. 1, p. 71-84, 2012
91. GASPERINI, F. M.; CALASANS-MAIA, M. D.; RESENDE, R. F. B.; GRANJEIRO, J. M.; ROSSI, A. M.; LOPES, R. T.; LIMA, I. Bone-nanohydroxyapatite spheres interface evaluation by synchrotron radiation X-ray microfluorescence. **X-Ray Spectrometry**, v. 41, n.1, p. 6-11, 2012.
92. GERONÉS, M.; ERBEN, M. F.; ROMANO, R. M.; CAVASSO-FILHO, R. L.; VÉDOVA, C. O. D. Interstellar H-3(+) and HCS+ Ions produced in the dissociative photoionization process of CH₃C(O)SCH₃ in the proximity of the sulfur 2p, carbon 1s, and oxygen 1s edge. **Journal of Physical Chemistry A**, v. 116, n. 10, p. 2571-2582, 2012.
93. GERONÉS, M.; ERBEN, M. F.; ROMANO, R. M.; CAVASSO-FILHO, R. L.; VÉDOVA, C. O. D. Dissociative photoionization of methyl thiochloroformate, ClC(O)SCH₃, following sulfur 2p, chlorine 2p, carbon 1s, and oxygen 1s excitations. **Journal of Physical Chemistry A**, v. 116, n. 28, p. 7498-7507, 2012.

94. GIOVANETTI, L. J.; RAMALLO-LÓPEZ, J. M.; FOXE, M.; JONES, L. C.; KOEBEL, M. M.; SAMORJAI, G. A.; CRAIEVICH, A. F.; SALMERON, M. B.; REQUEJO, F. G. Shape changes of Pt nanoparticles induced by deposition on mesoporous silica. **Small**, v. 8, n. 3, p. 468-473, 2012.
95. GODOI, D. R. M.; VILLULLAS, H. M. Relevance of electronic effects on the yield of Co₂ from methanol oxidation. **Langmuir**, v. 28, n. 2, p. 1064-1067, 2012.
96. GOMES, A. H. A.; WOLFF, W.; FERREIRA, N.; ALCANTARA, K. F.; LUNA, H.; SIGAUD, G. M.; SANTOS, A. C. F. Deep core ionic photofragmentation of the CF₂Cl₂ molecule. **International Journal of Mass Spectrometry**, v. 319-320, p.1-8, 2012.
97. GOMES, J. A.; AZEVEDO, G. DE M.; DEPEYROT, J.; MESTNIK-FILHO, J.; PAULA, F. L. O.; TOURINHO, F. A.; PERZYNSKI, R. Structural, chemical, and magnetic investigations of core-shell zinc ferrite nanoparticles. **Journal of Physical Chemistry C**, v. 116, n. 45, p. 24281-24291, 2012.
98. GOMES, M. T. R.; TEIXEIRA, R. D.; LOPES, M. T. P.; , R. A. P.; SALAS, C. E. X-ray crystal structure of CMS1MS2: a high proteolytic activity cysteine proteinase from *Carica candamarcensis*. **Amino Acids**, v. 43, n. 6, p. 2381-2391, 2012.
99. GONÇALVES, M. C. F.; MERTINS, O.; POHLMANN, A. R.; SILVEIRA, N. P. DA; GUTERRES, S. S. Chitosan coated liposomes as an innovative nanocarrier for drugs. **Journal of Biomedical Nanotechnology**, v. 8, n. 2, p. 240-250, 2012.
100. GONÇALVES, R. V.; MIGOWSKI, P.; WENDER, H.; EBERHARDT, D.; WEIBEL, D. E.; SONAGLIO, F. C.; ZAPATA, M. J. M.; DUPONT, J.; FEIL, A. F.; TEIXEIRA, S. R. Ta₂O₅ nanotubes obtained by anodization: effect of thermal treatment on the photocatalytic activity for hydrogen production. **Journal of Physical Chemistry C**, v. 116, n. 26, p. 14022-14030, 2012.
101. GONÇALVES, T. A.; DAMÁSIO, A. R. DE L.; SEGATO, F.; ALVAREZ, T.M.; BRAGATTO, J.; BRENELLI, L. B.; CITADINI, A. P.; MURAKAMI, M. T.; RULLER, R.; PAES LEME, A. F.; SQUINA, F. M.; PRADE, R. A. Functional characterization and synergic action of fungal xylanase and arabinofuranosidase for production of xylooligosaccharides. **Bioresource Technology**, v. 119, p. 293-299, 2012.
102. GRANCE, E. G. O.; SOUZA JR., F. G.; VARELA, A.; PEREIRA, E. D.; OLIVEIRA, G. E.; RODRIGUES, C. H. M. New petroleum absorbers based on lignin-CNSL-formol magnetic nanocomposites. **Journal of Applied Polymer Science**, v. 126, p. E304-E311, 2012.
103. HOMEM, M. G. P.; LÓPEZ-CASTILLO, A.; BARBATTI, M.; ROSA, L. F. S.; IZA, P.; CAVASSO-FILHO, R. L.; FARENZENA, L. S.; LEE, M. T.; IGA, I. Experimental and theoretical investigations on photoabsorption and photoionization of trimethylphosphate in the vacuum-ultraviolet energy range. **Journal of Chemical Physics**, v. 137, n. 18, p. 184305, 2012.

104. JOUBERT, J.-M.; COLINET, C.; RODRIGUES, G.; SUZUKI, P. A.; NUNES, C. A.; COELHO, G. C.; TEDENAC, J.-C. The T-2 phase in the Nb-Si-B system studied by ab initio calculations and synchrotron X-ray diffraction. **Journal of Solid State Chemistry**, v. 190, p. 111-117, 2012.
105. JUSTEN, G. C.; ESPINOZA-QUIÑONES, F. R.; MÓDENES, A. N.; BERGAMASCO, R. Elements concentration analysis in groundwater from the North Serra Geral aquifer in Santa Helena-Brazil using SR-TXRF spectrometer. **Water Science & Technology**, v. 66, n. 5, p. 1029-1035, 2012.
106. KADOWAKI, M. A. S.; IULEK, J.; BARBOSA, J. A. R. G.; PEDROSA, F. O.; SOUZA, E. M. DE; CHUBATSU, L. S.; MONTEIRO, R. A.; OLIVEIRA, M. A. S.; STEFFENS, M. B. R. Structural characterization of the RNA chaperone Hfq from the nitrogen-fixing bacterium *Herbaspirillum seropedicae* SmR1. **Biochimica et Biophysica Acta. Proteins and Proteomics**, v. 1824, n. 2, p. 359-365, 2012.
107. KAWAGUTI, C. A.; DAHMOUCHE, K.; GOMES, A. S. Nanostructure and properties of proton-conducting sulfonated poly(ether ether ketone) (SPEEK) and zirconia-SPEEK hybrid membranes for direct alcohol fuel cells: effect of the nature of swelling solvent and incorporation of heteropolyacid. **Polymer International**, v. 61, n. 1, p. 82-92, 2012.
108. KELLERMANN, G.; MONTORO, L. A.; GIOVANETTI, L. J.; CLARO, P. C. DOS S.; ZHANG, L.; RAMIREZ, A. J.; REQUEJO, F. G.; CRAIEVICH, A. F. Formation of an extended CoSi₂ thin nanohexagons array coherently buried in silicon single crystal. **Applied Physics Letters**, v. 100, n. 6, 063116-1-5, 2012
109. KOSTRZEPA, I. M.; SIQUEIRA, M. C.; MACHADO, K. D.; MACIEL, G. A.; SANCHEZ, D. F.; BRUNATTO, S. F. Structural investigations on an amorphous Se₉₀Te₁₀ alloy produced by mechanical alloying using EXAFS, cumulant expansion and RMC simulations. **Journal of Physics. Condensed Matter**, v. 24, n. 12, p. 125401, 2012.
110. KRYLOVA, G.; GIOVANETTI, L. J.; REQUEJO, F. G.; DIMITRIJEVIC, N. M. Study of nucleation and growth mechanism of the metallic nanodumbbells. **Journal of the American Chemical Society**, v. 134, n. 9, p. 4384-4392, 2012.
111. LAGE, C. A. S.; DALMASO, G. Z. L.; TEIXEIRA, L. C. R. S.; BENDIA, A. G.; PAULINO-LIMA, I. G.; GALANTE, D.; JANOT-PACHECO, E.; ABREVAYA, X.; AZÚA-BUSTOS, A.; PELIZZARI, V. H. Mini-review: probing the limits of extremophilic life in extraterrestrial environment-simulated experiments. **International Journal of Astrobiology**, v. 11, n. 4, p. 251-256, 2012.
112. LAGO, A. F.; CAVASSO-FILHO, R. L.; SOUZA, G. G. B. DE; SANTOS JR., M. C.; SCHLACHTER, A. S. Anionic and cationic photodissociation of the chloroform molecule excited in the vicinity of the Cl 1s edge. **Chemical Physics Letters**, v. 543, p. 34-40, 2012.

113. LAGO, A. F.; OLIVA, J. M.; DÁVALOS, J. Z. Experimental and theoretical investigation of the parabanic acid molecule following VUV excitation and photodissociation. **Chemical Physics Letters**, v. 519-520, p. 40-44, 2012.
114. LAGOS, M. J.; AUSTRETO, P. A. S.; GALVAO, D. S.; UGARTE, D. M. Correlation between quantum conductance and atomic arrangement of atomic-size silver nanowires. **Journal of Applied Physics**, v. 111, n. 12, p. 124316, 2012.
115. LEITE, G. C. P.; CHAGAS, E. F.; PEREIRA, R.; PRADO, R. J.; TEREZO, A. J.; ALZAMORA, M.; BAGGIO-SAITOVICH, E. Exchange coupling behavior in bimagnetic CoFe₂O₄/CoFe₂ nanocomposite. **Journal of Magnetism and Magnetic Materials**, v. 324, n. 18, p. 2711-2716, 2012.
116. LIBERATO, M. V.; GENEROSO, W. C.; MALAGÓ JR., W.; HENRIQUE-SILVA, F.; POLIKARPOV, I. Crystallization and preliminary X-ray diffraction analysis of endoglucanase III from *Trichoderma harzianum*. **Acta Crystallographica F**, v. 68, pt. 3, p. 306-309, 2012.
117. LIMA, M. M.; MOTTA, F. N.; BASTOS, I. M. D.; FAUDRY, E.; EBEL, C.; NEVES, D.; RAGNO, M.; BARBOSA, J. A. R. G.; FREITAS, S. M.; SANTANA, J. M. The *Trypanosoma cruzi* virulence factor oligopeptidase B (OPBTc) assembles into an active and stable dimer. **PloS One**, v. 7, n. 1, p. e30431, 2012.
118. LIMA, R. J. S.; MOURA, K. O.; PEDRA, P. P.; DUQUE, J. G. S.; MENESES, C. T. Influence of organic precursor on the structural and magnetic properties of Co₃O₄ nanoparticles. **Physica B**, v. 407, n. 16, p. 3196-3198, 2012.
119. LIMA, R. S.; PIAZZETTA, M. H. O.; GOBBI, A. L.; RODRIGUES-FILHO, U. P.; NASCENTE, P. A. P.; COLTRO, W. K. T.; CARRILHO, E. Contactless conductivity biosensor in microchip containing folic acid as bioreceptor. **Lab on a Chip**, v. 12, n. 11, p. 1963-1966, 2012.
120. LOMBARDO, M. V.; VIDELA, M.; CALVO, A.; REQUEJO, F. G.; SOLER-ILLIA, G. J. A. A. Aminopropyl-modified mesoporous silica SBA-15 as recovery agents of Cu(II)-sulfate solutions: adsorption efficiency, functional stability and reusability aspects. **Journal of Hazardous Materials**, v. 223-224, p. 53-62, 2012.
121. LOPES, L. J. S.; GUERRA, A. C. O.; COMERLATO, N. M.; TURCI, C. C.; FERREIRA, G. B. Vibrational and electronic spectroscopy of neutral antimony coordination compounds of the 1,3-Dithiole-2-thione-4,5-dithiolate (dmit). **Journal of Physical Chemistry A**, v. 116, n. 9, p. 2244-2260, 2012.
122. LUCRÉDIO, A. F.; ASSAF, J. M.; ASSAF, E. M. Reforming of a model biogas on Ni and Rh-Ni catalysts: effect of adding La. **Fuel Processing Technology**, v. 102, p. 124-131, 2012.

123. LUNAZZI, F.; PETERLEVITZ, A. C.; CERAGIOLI, H. J.; LUNAZZI, J. J.; BARANAUSKAS, V. Solar induced chemical vapor deposition of carbon from ethanol. **Vacuum**, v. 86, n.12, p. 2126-2128, 2012.
124. MACHADO, A. R. T.; CAMPOS, V. A. C.; DA SILVA, W. J. R.; CAMPOS, V. P.; ZERI, A. C. DE M., OLIVEIRA, D. F. Metabolic profiling in the roots of coffee plants exposed to the coffee root-knot nematode, *Meloidogyne exigua*. **European Journal of Plant Pathology**, v. 134, n. 2, p. 431-441, 2012
125. MAIA, T. A.; ASSAF, J. M.; ASSAF, E. M. Steam reforming of ethanol for hydrogen production on Co/CeO₂-ZrO₂ catalysts prepared by polymerization method. **Materials Chemistry and Physics**, v. 132, n. 2-3, p. 1029-1034, 2012.
126. MAJUSTE, D.; CIMINELLI, V. S. T.; OSSEO-ASARE, K.; DANTAS, M. S. S.; MAGALHÃES-PANIAGO, R. Electrochemical dissolution of chalcopyrite: detection of bornite by synchrotron small angle X-ray diffraction and its correlation with the hindered dissolution process. **Hydrometallurgy**, v. 111-112, p. 114-123, 2012.
127. MALUF, S. S.; NASCENTE, P. A. P.; AFONSO, C. R. M.; ASSAF, E. M. Study of La_{2-x}Ca_xCuO₄ Perovskites for the low temperature water gas shift reaction. **Applied Catalysis A**, v. 413-414, p. 85-93, 2012.
128. MANAIA, E. M.; KAMINSKI, R. C.; MENEAU, F.; PULCINELLI, S. H.; SANTILLI, C. V.; CHIAVACCI, L. A. Liquid crystalline formulations containing modified surface TiO₂ nanoparticles obtained by sol-gel process. **Journal of Sol-Gel Science and Technology**, v. 63, n. 2, p. 251-257, 2012.
129. MANTUANO, A.; PICKLER, A.; BARROSO, R. C.; DE ALMEIDA, A. P.; BRAZ, D.; CARDOSO, S. C.; GONZALEZ, M. S.; FIGUEIREDO, M. B. Elemental changes in hemolymph and urine of *Rhodnius prolixus* induced by in-vivo exposure to mercury: a study using synchrotron radiation total reflection X-ray fluorescence. **Spectrochimica Acta B**, v. 71-72, p. 127-130, 2012.
130. MARTÍNEZ-GARCÍA, R.; BILOVOL, V.; SOCOLOVSKY, L. M. Effect of the heat treatment conditions on the synthesis of Sr-hexaferrite. **Physica B**, v. 407, n. 16, p. 3109-3112, 2012.
131. MASSA, N. E.; GARCIA-FLORES, A. F.; MENESES, D. S.; DEL CAMPO, L.; ECHEGUT, P.; FABRIS, G. F. L.; MARTINEZ-LOPE, M. J.; ALONSO, J. A. Collective phase-like mode and the role of lattice distortions at T-N similar to T-C in RMn₂O₅ (R = Pr, Sm, Gd, Tb, Bi). **Journal of Physics. Condensed Matter**, v. 24, n. 19, p. 195901, 2012.
132. MAZIERO, P.; OLIVEIRA NETO, M.; MACHADO, D.; BATISTA, T.; CAVALHEIRO, C. C. S.; NEUMANN, M. G.; CRAIEVICH, A. F.; ROCHA, G. J. M.; POLIKARPOV, I.; GONÇALVES, A. R. Structural features of lignin obtained at different alkaline oxidation conditions from sugarcane bagasse. **Industrial Crops and Products**, v. 35, n. 1, p. 61-69, 2012

133. MENDONÇA, Y. A.; RAMOS, C. H. I. Cloning, purification and characterization of a 90 kDa heat shock protein from *Citrus sinensis* (sweet orange). **Plant Physiology and Biochemistry**, v. 50, p. 87-94, 2012.
134. MENDOZA ZÉLIS, P.; FERNÁNDEZ VAN RAAP, M. B.; SOCOLOVSKY, L. M.; LEYVA, A. G.; SÁNCHEZ, F. H. Magnetic hydrophobic nanocomposites: silica aerogel/maghemite. **Physica B**, v. 407, n.16, p. 3113-3116, 2012.
135. MESQUITA, A.; BERNARDI, M. I. B.; GODART, C.; PIZANI, P. S.; MICHALOWICZ, A.; MASTELARO, V. R. Grain size effect on the structural and dielectric properties of $\text{Pb}_{0.85}\text{La}_{0.15}\text{TiO}_3$ ferroelectric ceramic compound. **Ceramics International**, v. 38, n. 7, p. 5879-5887, 2012.
136. MESQUITA, A.; FRAYGOLA, B. M.; MASTELARO, V. R.; EIRAS, J. A. Local structure around Fe ions on multiferroic $\text{Pb}(\text{Fe}_{1/2}\text{Nb}_{1/2})\text{O}_3$ ceramics probed by X-ray absorption spectroscopy. **Applied Physics Letters**, v. 100, n. 17, p. 172907, 2012.
137. MESQUITA, A.; MICHALOWICZ, A.; MASTELARO, V. R. Influence of Ba-substitution on the structural and ferroelectric properties of $\text{Pb}_{1-x}\text{Ba}_x\text{Zr}_{0.40}\text{Ti}_{0.60}\text{O}_3$ ceramic materials. **Phase Transitions**, v. 85, n. 8, p. 659-674, 2012.
138. MIYOSHI, J., LIMA, L. P. B., DINIZ, J. A., CAVARSAN, F. A., DOI, I., GODOY FILHO, J., SILVA, A. R. TiN/titanium-aluminum oxynitride/Si as new gate structure for 3D MOS technology. **Microelectronic Engineering**, v. 92, p. 140-144, 2012.
139. MÓDENES, A. N.; ESPINOZA-QUIÑONES, F. R.; BORBA, F. H.; MANENTI, D. R. Performance evaluation of an integrated photo-Fenton - Electrocoagulation process applied to pollutant removal from tannery effluent in batch system. **Chemical Engineering Journal**, v. 197, p. 1-9, 2012.
140. MOLINA, E. F.; PULCINELLI, S. H.; SANTILLI, C. V.; BRIOIS, V. Ligand exchange inducing efficient incorporation of CisPt derivatives into ureasil-PPO hybrid and their interactions with the multifunctional hybrid network. **Journal of Physical Chemistry B**, v. 116, n. 27, p. 7931-7939, 2012.
141. MÖLLER, M.; LIMA JR., M. M.; CANTARERO, A.; CHIARAMONTE, T.; COTTA, M. A.; IIKAWA, F. Optical emission of InAs nanowires. **Nanotechnology**, v. 23, n. 37, p. 375704, 2012.
142. MONTEIRO, K. M.; CARDOSO, M. B.; FOLLMER, C.; SILVEIRA, N. P. DA; VARGAS, D. M.; KITAJIMA, E. W.; ZAHA, A., FERREIRA, H. B. *Echinococcus granulosus* antigen B structure: subunit composition and oligomeric states. **PLoS Neglected Tropical Diseases**, v. 6, n. 3, p. e1551-1-11, 2012

143. MORAES, F. C.; LIMA, R. S.; SEGATO, T. P.; CESARINO, I.; CETINO, J. L. M.; MACHADO, S. A. S.; GOMEZ, F.; CARRILHO, E. Glass/PDMS hybrid microfluidic device integrating vertically aligned SWCNTs to ultrasensitive electrochemical determinations. **Lab on a Chip**, v. 12, n. 11, p. 1959-1962, 2012.
144. MORAES, M. L.; PETRI, L.; OLIVEIRA, V.; OLIVATI, C. A.; OLIVEIRA, M. C. F.; PAULOVICH, F. V.; OLIVEIRA JR., O. N.; FERREIRA, M. Detection of glucose and triglycerides using information visualization methods to process impedance spectroscopy data. **Sensors and Actuators B**, v.166, p. 231-238, 2012.
145. MORAIS, E. C.; CORREA, G. G.; BRAMBILLA, R.; LIVOTTO, P. R.; DOS SANTOS, J. H. Z.; CARDOSO, M. B. Silica imprinted materials containing pharmaceuticals as a template: textural aspects. **Journal of Sol-Gel Science and Technology**, v. 64, n. 2, p. 324-334, 2012.
146. MOREIRA, M. L.; LONGO, L. V. G.; AVANSI JR., W.; FERRER, M. M.; ANDRÉS, J.; MASTELARO, V. R.; VARELA, J. A.; LONGO, E. Quantum mechanics insight into the microwave nucleation of SrTiO₃ nanospheres. **Journal of Physical Chemistry C**, v. 116, n. 46, p. 24792-24808, 2012.
147. MOURA, K. O.; LIMA, R. J. S.; JESUS, C. B. R.; DUQUE, J. G. S.; MENESES, C. T. Fe-doped NiO nanoparticles: synthesis, characterization, and magnetic properties. **Revista Mexicana de Física**, v. 58, n. 2, p. 167-170, 2012.
148. MOURÃO, H. A. J. L.; AVANSI JR., W.; RIBEIRO, C. Hydrothermal synthesis of Ti oxide nanostructures and TiO₂:SnO₂ heterostructures applied to the photodegradation of rhodamine B. **Materials Chemistry and Physics**, v. 135, n. 2-3, p. 524-532, 2012.
149. MUDARRA NAVARRO, A. M.; BILOVOL, V.; CABRERA, A. F.; RODRÍGUEZ TORRES, C. E. Relationship between structural and magnetic properties in (Ti,Fe)O-2 powders obtained by mechanical milling. **Physica B**, v. 407, n. 16, p. 3225-3228, 2012.
150. MURACA, D.; SHARMA, S. K.; SOCOLOVSKY, L.M.; SIERVO, A. DE; LOPES, G.; PIROTA, K. R. Influence of silver concentrations on structural and magnetic properties of Ag-Fe₃O₄ heterodimer nanoparticles. **Journal of Nanoscience and Nanotechnology**, v. 12, n. 9, p. 6961-6967, 2012.
151. NAPOLITANO, F.; LAMAS, D. G.; SOLDATI, A.; SERQUIS, A. Synthesis and structural characterization of Co-doped lanthanum strontium titanates. **International Journal of Hydrogen Energy**, v. 37, n. 23, p. 18302-18309, 2012.
152. NASCIMENTO, C. C.; ANDRADE, G. R. S.; NEVES, E. C.; BARBOSA, C. D'A. E. S.; COSTA, L. P.; BARRETO, L. S.; GIMENEZ, I. F. Nanocomposites of CdS nanocrystals with montmorillonite functionalized with thiourea derivatives and their use in photocatalysis. **Journal of Physical Chemistry C**, v. 116, n. 41, p. 21992-22000, 2012.

153. NICOLODI, S.; PEREIRA, L. G.; HARRES, A.; AZEVEDO, G. DE M.; SCHMIDT, J. E.; GARCIA-AGUILAR, I.; SOUZA NETO, N. M.; DERANLOT, C.; PETROFF, F.; GESHEV, J. Negative rotatable anisotropy in IrMn/Cr/Co thin films. **Physical Review B**, v. 85, n. 22, p. 224438, 2012.
154. NOGUEIRA, A. F.; BENEDETTI, J. E.; GONÇALVES, A. S. Transparent conducting oxide-free dye-sensitized solar cells based solely on flexible foils. **Industrial & Engineering Chemistry Research**, v. 51, n. 28, p. 9700-9703, 2012.
155. NOVAIS, S. M. V.; VALERIO, M. E. G.; MACEDO, Z. S. X-ray-excited optical luminescence and X-ray absorption fine-structures studies of CdWO₄ scintillator. **Journal of Synchrotron Radiation**, v. 19, pt. 4, p. 591-595, 2012.
156. NUNES, L. A. O.; BERNARDINELLI, O. D.; CASSEMIRO, S. M.; ATVARIS, T. D. Z.; AKCELRUD, L. C.; DE AZEVEDO, E. R. Correlations between conjugation length, macromolecular dynamics, and photophysics of Phenylene-Vinylene/Aliphatic multiblock copolymers. **Journal of Physical Chemistry B**, v. 116, n. 20, p. 5993-6002, 2012.
157. OLIVATI, C. A.; GONÇALVES, V. C.; BALOGH, D. T. Optically anisotropic and photoconducting Langmuir-Blodgett films of neat poly(3-hexylthiophene). **Thin Solid Films**, v. 520, n. 6, p. 2208-2210, 2012.
158. OLIVEIRA, E. C.; DEFLON, E.; MACHADO, K. D.; SILVA, T. G.; MANGRICH, A. S. Structural, vibrational and optical studies on an amorphous Se₉₀P₁₀ alloy produced by mechanical alloying. **Journal of Physics. Condensed Matter**, v. 24, n. 11, p. 115802, 2012.
159. OLIVEIRA, E. M.; SANCHEZ, S. D.; BETTEGA, M. H. F.; NATALENSE, A. P. P.; LIMA, M. A. P.; VARELLA, M. T. N. Shape resonance spectra of lignin subunits. **Physical Review A**, v. 86, n. 2, p. 020701, 2012.
160. OLIVEIRA, J. P.; QUERIDO, W.; CALDAS, R. J.; CAMPOS, A. P. C.; ABRAÇADO, L. G.; FARINA, M. Strontium is incorporated in different levels into bones and teeth of rats treated with strontium ranelate. **Calcified Tissue International**, v. 91, n. 3, p. 186-195, 2012.
161. OLIVEIRA, L. H.; MOURA, A. P.; MAZZO, T. M.; RAMÍREZ, M. A.; CAVALCANTE, L. S.; ANTONIO, S. G.; AVANSI, W.; MASTELARO, V. R.; LONGO, E.; VARELA, J. A. Structural refinement and photoluminescence properties of irregular cube-like (Ca_{1-x}Cu_x)TiO₃ microcrystals synthesized by the microwave-hydrothermal method. **Materials Chemistry and Physics**, v. 136, n. 1, p. 130-139, 2012.
162. OLIVEIRA, V. V.; AIROLDI, C. Assistant template and co-template agents in modeling mesoporous silicas and post-synthesizing organofunctionalizations. **Journal of Solid State Chemistry**, v. 196, p. 293-300, 2012.

163. OSPINA, C. A.; TERRA, J.; RAMIREZ, A. J.; FARINA, M.; ELLIS, D. E.; ROSSI, A. M. Experimental evidence and structural modeling of nonstoichiometric (010) surfaces coexisting in hydroxyapatite nano-crystals. **Colloids and Surfaces B**, v. 89, n.1, p. 15-22, 2012.
164. OVIEDO, M. J.; CONTRERAS, O.; RODRIGUEZ, C. E.; MACEDO, Z. S.; HIRATA, G. A.; MCKITTRICK, J. Photo- and radioluminescence characteristics of bismuth germanate nanoparticles by sol-gel and pressure-assisted combustion synthesis. **Optical Materials**, v. 34, n. 7, p. 1116-1119, 2012.
165. PASSOS, A. R.; MARTINS, L.; PULCINELLI, S. H.; SANTILLI, C. V. Design of hierarchical porous aluminas by using one-pot synthesis and different calcination temperatures. **Journal of Sol-Gel Science and Technology**, v. 63, n. 2, p. 242-250, 2012.
166. PAULA, A. J.; MONTORO, L. A.; SOUZA FILHO, A. G.; ALVES, O. L. Towards long-term colloidal stability of silica-based nanocarriers for hydrophobic molecules: beyond the Stober method. **Chemical Communications**, v. 48, n. 4, p. 591-593, 2012.
167. PEDRONI, L. G.; ARAUJO, J. R.; FELISBERTI, M. I.; NOGUEIRA, A. F. Nanocomposites based on MWCNT and styrene-butadiene-styrene block copolymers: effect of the preparation method on dispersion and polymer-filler interactions. **Composites Science and Technology**, v. 72, n. 13, p. 1487-1492, 2012.
168. PÉLISSON, C.-H.; VONO, L. L. R.; HUBERT, C.; DENICOURT-NOWICKI, A.; ROSSI, L. M.; ROUCOUX, A. Moving from surfactant-stabilized aqueous rhodium (0) colloidal suspension to heterogeneous magnetite-supported rhodium nanocatalysts: synthesis, characterization and catalytic performance in hydrogenation reactions. **Catalysis Today**, v. 183, n. 1, p. 124-129, 2012.
169. PERCEBOM, A. M.; PICULLEL, L.; LOH, W. Polyion-surfactant ion complex salts formed by a random aionic copolyacid at different molar ratios of cationic surfactant: phase behavior with water and n-alcohols. **Journal of Physical Chemistry B**, v. 116, n. 8, p. 2376-2384, 2012.
170. PEREIRA, G. R.; ROCHA, H. S.; ANJOS, M. J. DOS; LIMA, I.; LOPES, R. T. Elemental distribution images in prostate samples by X-ray fluorescence microtomography. **Applied Radiation and Isotopes**, v. 70, n. 7, p. 1379-1383, 2012.
171. PIRANI, L. S. R.; GERONÉS, M.; DELLA VÉDOVA, C. O.; ROMANO, R. M.; FANTONI, A.; CAVASSO-FILHO, R. L.; MA, C.; GE, M.; ERBEN, M. F. Electronic properties and dissociative photoionization of thiocyanates. Part II. Valence and shallow-core (sulfur and chlorine 2p) regions of chloromethyl thiocyanate, CH₂CISCN. **Journal of Physical Chemistry A**, v. 116, n. 1, p. 231-241, 2012.
172. PIRES, C. T. G. V. M. T.; AIROLDI, C. Isomorphic silicon/aluminum substitution on layered ilerite - structural study and calorimetry of copper interaction. **Microporous and Mesoporous Materials**, v. 163, p. 1-10, 2012.

173. PORTOLÉS, M. J. L.; DIEZ, R. P.; DELL'ARCIPRETE, M. L.; CAREGNATO, P.; ROMERO, J. J.; MÁRTIRE, D. O.; AZZARONI, O.; CEOLÍN, M. R.; GONZALEZ, M. C. Understanding the parameters affecting the photoluminescence of silicon nanoparticles. **Journal of Physical Chemistry C**, v.116, n. 20, p. 11315-11325, 2012.
174. QUIROGA ARGAÑARAZ, M. P.; RIBOTTA, S. B.; FOLQUER, M. E.; ZELAYA, E.; LLORENTE, C.; RAMALLO-LÓPEZ, J. M.; BENITEZ, G.; RUBERT, A. A.; GASSA, L. M.; VELA, M. E.; SALVAREZZA, R. C. The chemistry and structure of nickel-tungsten coatings obtained by pulse galvanostatic electrodeposition. **Electrochimica Acta**, v. 72, p. 87-93, 2012.
175. RAMOS, A. Y.; PIAMONTEZE, C.; TOLENTINO, H. C. N.; SOUZA NETO, N. M.; BUNAU, O.; JOLY, Y.; GRENIER, S.; ITIÉ, J.-P.; MASSA, N. E.; ALONSO, J. A.; MARTINEZ-LOPE, M. J. Stability of Ni sites across the pressure-induced insulator-to-metal transition in YNiO_3 . **Physical Review B**, v.B85, p.045102, 2012.
176. RAMOS, L. M.; TOBIO, A. P. L.; SANTOS, M. R.; OLIVEIRA, H. C. B.; GOMES, A. F.; GOZZO, F. C.; OLIVEIRA, A. L.; NETO, B. A. D. Mechanistic studies on lewis acid catalyzed biginelli reactions in ionic liquids: evidence for the reactive intermediates and the role of the reagents. **Journal of Organic Chemistry**, v. 77, n. 22, p. 10184-10193, 2012.
177. RANGEL, T. B. A.; ROCHA, B. A. M.; BEZERRA, G. A.; ASSREUY, A. M. S.; PIRES, A. F.; NASCIMENTO, A. S. F.; BEZERRA, M. J. B.; NASCIMENTO, K. S.; NAGANO, C. S.; SAMPAIO, A. H.; GRUBER, K.; DELATORRE, P.; FERNANDES, P. M. B.; CAVADA, B. S. Crystal structure of a pro-inflammatory lectin from the seeds of *Dioclea wilsonii standl.* **Biochimie**, v. 94, n. 2, p. 525-532, 2012.
178. RASTELLI, A.; DING, F.; PLUMHOF, J. D.; KUMAR, S.; TROTTA, R.; DENEKE, C.; MALACHIAS, A.; ATKINSON, P.; ZALLO, E.; ZANDER, T.; HERKLOTZ, A.; SINGH, R.; KRÁPEK, V.; SCHRÖTER, J. R.; KIRAVITTAYA, S.; HAFENBRAK, R.; JÖNS, K. D.; THURMER, D. J.; GRIMM, D.; BESTER, G.; DÖRR, K.; MICHLER, P.; SCHMIDT, O. G. Controlling quantum dot emission by integration of semiconductor nanomembranes onto piezoelectric actuators. **Physica Status Solidi B**, v. 249, n. 4, p. 687-696, 2012
179. RAUBACH, C. W.; DE SANTANA, Y. V. B.; FERRER, M. M.; LONGO, V. M.; VARELA, J. A.; AVANSI JR., W.; BUZOLIN, P. G. C.; SAMBRANO, J. R.; LONGO, E. Structural and optical approach of CDS@ZnS core-shell system. **Chemical Physics Letters**, v. 536, p. 96-99, 2012.
180. RAUBACH, C. W.; KROLOW, M.; MESKO, M. F.; CAVA, S.; MOREIRA, M. L.; LONGO, E.; CARREÑO, N. L. V. Interfacial photoluminescence emission properties of core/shell $\text{Al}_2\text{O}_3/\text{ZrO}_2$. **CrystEngComm**, v. 14, n. 2, p. 393-396, 2012.
181. REIS, M. A.; SARAIVA, A. M.; DOS SANTOS, M. L.; DE SOUZA, A. P.; APARICIO, R. Crystallization and preliminary X-ray analysis of stationary phase survival protein E (SurE) from *Xylella fastidiosa* in two crystal forms. **Acta Crystallographica F**, v. 68, pt. 4, p. 464-467, 2012.

182. RENZETTI, R. A.; SANDIM, H. R. Z.; BOLMARO, R. E.; SUZUKI, P. A.; MÖSLANG, A. X-ray evaluation of dislocation density in ODS-Eurofer steel. **Materials Science and Engineering A**, v. 534, p. 142-146, 2012.
183. REZENDE, M. V. DOS S.; MONTES, P. J. R.; VALERIO, M. E. G. X-ray excited optical luminescence of Ce-doped BaAl₂O₄. **Journal of Luminescence**, v. 132, n. 5, p. 1106-1111, 2012.
184. ROCHA, G. J. M.; MARTÍN, C.; DA SILVA, V. F. N.; GÓMEZ, E. O.; GONÇALVES, A. R. Mass balance of pilot-scale pretreatment of sugarcane bagasse by steam explosion followed by alkaline delignification. **Bioresource Technology**, v. 111, p. 447-452, 2012.
185. ROCHA, K. O.; SANTOS, J. B. O.; MEIRA, D.; PIZANI, P. S.; MARQUES, C. M. P.; ZANCHET, D.; BUENO, J. M. C. Catalytic partial oxidation and steam reforming of methane on La₂O₃-Al₂O₃ supported Pt catalysts as observed by X-ray absorption spectroscopy. **Applied Catalysis A**, v. 431-432, p. 79-87, 2012.
186. ROCHA, T. A.; LINARES, J. J.; COLMATI, F.; CIAPINA, E. G.; GONZALEZ, E. R. Electrocatalytic activity of platinum-niobium nanoparticles for ethanol oxidation. **Journal of the Electrochemical Society**, v. 159, n. 10, p. F650-F658, 2012.
187. RODRIGUES, F.; GALANTE, D.; PAULINO-LIMA, I. G.; DUARTE, R. T. D.; FRIAÇA, A. C. S.; LAGE, C.; JANOT-PACHECO, E.; TEIXEIRA, R.; HORVATH, J. E. Astrobiology in Brazil: early history and perspectives. **International Journal of Astrobiology**, v. 11, n. 4, p. 189-202, 2012.
188. RODRIGUES, F. A.; GALANTE, D.; NASCIMENTO, G. M. DO; SANTOS, P. S. Interionic interactions in imidazolic ionic liquids probed by soft X-ray absorption spectroscopy. **Journal of Physical Chemistry B**, v. 116, n.5, p. 1491-1498, 2012.
189. RODRIGUES, L. R., D'AVILLA, M. A., MONTEIRO, F. J. M., ZAVAGLIA, C. A. C. Synthesis and characterization of nanocrystalline hydroxyapatite gel and its application as scaffold aggregation. **Materials Research**, v. 15, n. 6, p. 374-980, 2012.
190. RODRIGUES, M. O.; DUTRA, J. D. L.; NUNES, L. A. O.; SÁ, G. F.; AZEVEDO, W. M.; SILVA, P.; PAZ, F. A. A.; FREIRE, R. O.; JUNIOR, S. A. Tb³⁺-> Eu³⁺ energy transfer in mixed-lanthanide-organic frameworks. **Journal of Physical Chemistry C**, v. 116, n. 37, p. 19951-19957, 2012.
191. ROSADA, R. S.; SANTANA, M. H. A.; SILVA, C. L.; NAKAIE, C. R.; DE LA TORRE, L. G. Effectiveness, against tuberculosis, of pseudo-ternary complexes: peptide-DNA-cationic liposome. **Journal of Colloid and Interface Science**, v. 373, n. 1, p. 102-109, 2012.
192. ROSSELLI-MURAI, L. K.; SFORÇA, M. L.; SASSONIA, R. C.; AZZONI, A. R.; MURAI, M. J.; DE SOUZA, A. P.; ZERI, A. C. DE M. Structural characterization of the H-NS protein from *Xylella fastidiosa*

- and its interaction with DNA. **Archives of Biochemistry and Biophysics**, v. 526, n. 1, p. 22-28, 2012.
193. ROSSI, A. L.; BARRETO, I. C.; MACIEL, W. Q.; ROSA, F. P.; ROCHA-LEÃO, M. H.; WERCKMANN, J.; ROSSI, A. M.; BOROJEVIC, R.; FARINA, M. Ultrastructure of regenerated bone mineral surrounding hydroxyapatite-alginate composite and sintered hydroxyapatite. **Bone**, v.50, n.1, p.301-310, 2012.
194. SÁ, T. G. M.; GONÇALVES, A. M. B.; MATOS, M. J. S.; COELHO, P. M.; MAGALHÃES-PANIAGO, R.; LACERDA, R. G. Correlation between (in)commensurate domains of multilayer epitaxial graphene grown on SiC(0001) and single layer electronic behavior. **Nanotechnology**, v. 23, n. 47, p. 475602, 2012.
195. SANTANA, P. P. DE; OLIVEIRA, I. M. DE; PICCIN, E. Evaluation of using xurography as a new technique for the fabrication of disposable gold electrodes with highly reproducible areas. **Electrochemistry Communications**, v. 16, n.1, p. 96-99, 2012.
196. SANTOS, A. R. DOS; POLO, C. C.; CORRÊA, J. M.; SEIXAS, F. A. V.; MURAKAMI, M. T.; SIMÃO, R. C. G. The accessory domain changes the accessibility and molecular topography of the catalytic interface in monomeric GH39 β -xylosidases. **Acta Crystallographica D**, v. 68, pt. 10, p. 1339-1345, 2012.
197. SANTOS, C. A.; BELOTI, L. L.; TOLEDO, M. A. S.; CRUCCELLO, A.; FAVARO, M. T. P.; MENDES, J. S.; AZZONI, A. R.; SOUZA, A. P. A novel protein refolding protocol for the solubilization and purification of recombinant peptidoglycan-associated lipoprotein from *Xylella fastidiosa* overexpressed in *Escherichia coli*. **Protein Expression and Purification**, v. 82, n. 2, p. 284-289, 2012.
198. SANTOS, C. A.; TOLEDO, M. A. S.; TRIVELLA, D. B. B.; BELOTI, L. L.; SCHNEIDER, D. R. S.; SARAIVA, A. M.; CRUCCELLO, A.; AZZONI, A. R. SOUZA, A. A.; APARICIO, R.; SOUZA, A. P. Functional and structural studies of the disulfide isomerase DsbC from the plant pathogen *Xylella fastidiosa* reveals a redox-dependent oligomeric modulation in vitro. **FEBS Journal**, v. 279, n. 20, p. 3828-3843, 2012.
199. SANTOS, E. B.; SIGOLI, F. A.; MAZALI, I. O. Structural evolution in crystalline MoO₃ nanoparticles with tunable size. **Journal of Solid State Chemistry**, v. 190, p. 80-84, 2012.
200. SANTOS, K. O.; ELIAS, W. C.; SIGNORI, A. M.; GIACOMELLI, F. C.; YANG, H.; DOMINGOS, J. B. Synthesis and catalytic properties of silver nanoparticle-linear polyethylene imine colloidal systems. **Journal of Physical Chemistry C**, v. 116, n. 7, p. 4594-4604, 2012.
201. SATO, A. G.; VOLANTI, D. P.; DE FREITAS, I. C.; LONGO, E.; BUENO, J. M. C. Site-selective ethanol conversion over supported copper catalysts. **Catalysis Communications**, v. 26, p. 122-126, 2012.

202. SCHMIDT, V.; BORSALI, R.; GIACOMELLI, C. Nanostructure of polystyrene-b-poly (2-hydroxyethyl methacrylate) and derivatives with phosphonic diacid groups. **Journal of Brazilian Chemical Society**, v. 23, n. 4, p. 747-752, 2012.
203. SEGATO, F.; DAMÁSIO, A. R. DE L.; GONÇALVES, T. A.; MURAKAMI, M. T.; SQUINA, F. M.; POLIZELI, M. DE L. T. M.; MORT, A. J.; PRADE, R. Two structurally discrete GH7-cellobiohydrolases compete for the same cellulosic substrate fiber. **Biotechnology for Biofuels**, v. 5, p. 21, 2012.
204. SERBENA, F. C.; ZANOTTO, E. D. Internal residual stresses in glass-ceramics: a review. **Journal of Non-Crystalline Solids**, v. 358, n. 6-7, p. 957- 984, 2012.
205. SHIROMA, L. Y.; SANTHIAGO, M.; GOBBI, A. L.; KUBOTA, L. T. Separation and electrochemical detection of paracetamol and 4-aminophenol in a paper-based microfluidic device. **Analytica Chimica Acta**, v. 725, p. 44-50, 2012.
206. SILVA, F. O.; CARVALHO, M. S.; MENDONÇA, R.; MACEDO, W. A. A.; BALZUWEIT, K.; REISS, P.; SCHIAVON, M. A. Effect of surface ligands on the optical properties of aqueous soluble CdTe quantum dots. **Nanoscale Research Letters**, v. 7, n. 1, p. 536, 2012.
207. SILVA, G. C.; ALMEIDA, F. S.; FERREIRA, A. M.; CIMINELLI, V. S. T. Preparation and application of a magnetic composite (Mn_3O_4/Fe_3O_4) for removal of As (III) from aqueous solutions. **Materials Research**, v. 15, n. 3, p. 403-408, 2012.
208. SILVA, J. M. S.; STRAUSS, M.; MARONEZE, C. M.; SIGOLI, F. A.; GUSHIKEM, Y.; MAZALI, I. O. Size controlled synthesis of highly dispersed anatase/rutile nanoparticles with photocatalytic activity toward salicylic acid degradation. **RSC Advances**, v. 2, n. 12, p. 5390-5397, 2012.
209. SILVA, W. M.; RIBEIRO, H.; SEARA, L. M.; CALADO, H. D. R.; FERLAUTO, A. S.; PANIAGO, R. M.; LEITE, C. F.; SILVA, G. G. Surface properties of oxidized and aminated multi-walled carbon nanotubes. **Journal of Brazilian Chemical Society**, v. 23, n. 6, p. 1078-1086, 2012.
210. SILVINO, A. C.; SOUZA, K. S.; DAHMOUCHE, K.; DIAS, M. L. Polylactide/clay nanocomposites: a fresh look into the in situ polymerization process. **Journal of Applied Polymer Science**, v.124, n. 2, p.1217-1224, 2012.
211. SIMÕES, R. C.; ROCHA, B. A. M.; BEZERRA, M. J. B.; BARROSO-NETO, I. L.; PEREIRA-JÚNIOR, F. N.; MOURA, R. DA M.; NASCIMENTO, K. S.; NAGANO, C. S.; DELATORRE, P.; PIRES, A. F.; ASSREUY, A. M. S.; SAMPAIO, A. H.; CAVADA, B. S. Protein crystal content analysis by mass spectrometry and preliminary X-ray diffraction of a lectin from *Canavalia grandiflora* seeds with modulatory role in inflammation. **Rapid Communications in Mass Spectrometry**, v. 26, n. 7, p. 811-818, 2012.

212. SOARES, R. M. D.; LIONZO, M. I. Z.; DA SILVEIRA, N. P.; RAYAS-DUARTE, P.; SOLDI, V. Dynamic rheological properties of native and cross-linked gliadin proteins. **International Journal of Biological Macromolecules**, v. 51, n. 4, p. 640-646, 2012.
213. SOUSA NETO, D.; TABAK, M. Interaction of the meso-tetrakis (4-N-methylpyridyl) porphyrin with gel and liquid state phospholipid vesicles. **Journal of Colloid and Interface Science**, v. 381, n. 1, p. 73-82, 2012.
214. SOUZA, A. L. R.; ANDREANI, T.; NUNES, F. M.; CASSIMIRO, D. L.; ALMEIDA, A. E.; RIBEIRO, C. A.; SARMENTO, V. H. V.; GREMIÃO, M. P. D.; SILVA, A. M.; SOUTO, E. B. Loading of praziquantel in the crystal lattice of solid lipid nanoparticles studies by DSC and SAXS. **Journal of Thermal Analysis and Calorimetry**, v. 108, n.1, p. 353-360, 2012.
215. SUESCUN, L.; WANG, J.; FACIO, R.; PEINADO, G.; TORRES, J.; KREMER, C.; BURROW, R. A. The structure of cubic MOF $[Ca(H_2O)(6)]_2[CaGd(oxdiacetate)(3)]_2 \cdot 4H_2O$. A comparison between structural models obtained from Rietveld refinement of conventional and synchrotron X-ray powder diffraction data and standard refinement of single. **Powder Diffraction**, v. 27, n. 4, p. 232-242, 2012.
216. TADA, S. F. S.; SARAIVA, A. M.; LORITE, G. S.; ROSSELLI-MURAI, L. K.; PELLOSO, A. C.; SANTOS, M. L.; TRIVELLA, D. B. B.; COTTA, M. A.; SOUZA, A. P.; APARICIO, R. Initial crystallographic studies of a small heat-shock protein from *Xylella fastidiosa*. **Acta Crystallographica F**, v. 68, pt. 5, p. 535-539, 2012.
217. TAIRUM, C. A.; DE OLIVEIRA, M. A.; HORTA, B. B.; ZARA, F. J.; NETTO, L. E. S. Disulfide biochemistry in 2-Cys peroxiredoxin: requirement of Glu50 and Arg146 for the reduction of yeast Tsa1 by thioredoxin. **Journal of Molecular Biology**, v. 424, n.1-2, p. 28-41, 2012.
218. TALLARICO, D. A.; GOBBI, A. L.; PAULIN-FILHO, P. I.; GALTAYRIES, A.; NASCENTE, P. A. P. Surface characterization of Zr/Ti/Nb tri-layered films deposited by magnetron sputtering on Si(111) and stainless steel substrates. **Journal of Vacuum Science & Technology A**, v. 30, n. 5, p. 051505-051508, 2012.
219. TERASHITA, H.; CEZAR, J. C.; ARDITO, F. M.; BUFAIÇAL, L.; GRANADO, E. Element-specific and bulk magnetism, electronic, and crystal structures of $La_{0.70}Ca_{0.30}Mn_{1-x}Cr_xO_3$. **Physical Review B**, v. 85, n.10, p. 104401, 2012.
220. TOLEDO, M. A. S.; JANISSEN, R.; FAVARO, M. T. P.; COTTA, M. A.; MONTEIRO, G. A.; PRAZERES, D. M. F.; SOUZA, A. P.; AZZONI, A. R. Development of a recombinant fusion protein based on the dynein light chain LC8 for non-viral gene delivery. **Journal of Controlled Release**, v. 159, n. 2, p. 222-231, 2012.
221. TRIBUZI, V.; CORRÊA, D. S.; AVANSI JR., W.; RIBEIRO, C.; LONGO, E.; MENDONÇA, C. R. Indirect doping of microstructures fabricated by two-photon polymerization with gold nanoparticles. **Optics Express**, v. 20, n. 19, p. 21107-21113, 2012.

222. TRIVELLA, D. B. B.; DOS REIS, C. V.; LIMA, L. M. T. R.; FOGUEL, D.; POLIKARPOV, I. Flavonoid interactions with human transthyretin: combined structural and thermodynamic analysis. **Journal of Structural Biology**, v. 180, n. 1, p. 143-153, 2012.
223. TSUKADA, J., ZANIN, H., BARBOSA, L. C., DA SILVA, G. A., CERAGIOLI, H. J., PETERLEVITZ, A. C., TEÓFILO, R. F., BARANAUSKAS, V. Electro-deposition of carbon structures at mid voltage and room temperature using ethanol/aqueous solutions. **Journal of the Electrochemical Society**, v. 159, n. 3, p. D159-D161, 2012.
224. UNFRIED, J.; WU, L.; FERREIRA, F. F.; GARZÓN, C. M.; RAMIREZ, A. J. Stacking fault energy measurements in solid solution strengthened Ni-Cr-Fe alloys using synchrotron radiation. **Materials Science and Engineering A**, v. 558, p. 70-75, 2012.
225. VALVERDE, J. A.; ECHAVARRÍA, A.; RIBEIRO, M. F.; PALACIO, L. A.; EON, J. G. Decavanadate-intercalated Ni-Al hydrotalcites as precursors of mixed oxides for the oxidative dehydrogenation of propane. **Catalysis Today**, v. 192, n. 1, p. 36-43, 2012.
226. VERDE, E. L.; LANDI, G. T.; CARRIÃO, M. S.; DRUMMOND, A. L.; GOMES, J. A.; VIEIRA, E. D.; SOUSA, M. H.; BAKUZIS, A. F. Field dependent transition to the non-linear regime in magnetic hyperthermia experiments: comparison between maghemite, copper, zinc, nickel and cobalt ferrite nanoparticles of similar sizes. **AIP Advances**, v. 2, n. 3, p. 032120, 2012.
227. VERDE, E. L.; LANDI, G. T.; GOMES, J. A.; SOUSA, M. H.; BAZUKIS, A. F. Magnetic hyperthermia investigation of cobalt ferrite nanoparticles: comparison between experiment, linear response theory, and dynamic hysteresis simulations. **Journal of Applied Physics**, v. 111, n. 12, p. 123902, 2012.
228. VICELLI, M. R.; AWANO, C. M.; DONATTI, D. A.; IBANEZ RUIZ, A.; DE VICENTE, F. S.; PERISSINOTO, A. P.; VOLLET, D. R. Structural features of silicas prepared in n-heptane/water/ethanol/sodium dodecylsulfate microemulsions. **Microporous and Mesoporous Materials**, v. 153, p. 204-209, 2012.
229. VIEIRA, K. O.; SANTOS, H. F.; GUIMARÃES, V. L.; BALZUWEIT, K.; RAPOSO, M. T.; SCHIAVON, M. A. The role of the surface ligand in the optical properties of CdS quantum dots in poly(vinyl alcohol) matrix. **Journal of Materials Science**, v. 47, n. 20, p. 7217-7224, 2012.
230. VIRGINIO, V. G.; MONTEIRO, K. M.; DRUMOND, F.; CARVALHO, M. O. DE; VARGAS, D. M.; ZAHA, A.; FERREIRA, H. B. Excretory/secretory products from in vitro-cultured *Echinococcus granulosus* protoscoleces. **Molecular & Biochemical Parasitology**, v. 183, n. 1, p.15-22, 2012.
231. VOLOBUEF, C.; MORAES, C. M.; NUNES, L. A. S.; CEREDA, C. M. S.; YOKAICHIYA, F.; FRANCO, M. K. K. D.; BRAGA, A. F. A.; DE PAULA, E.; TOFOLI, G. R.; FRACETO, L. F.; DE ARAUJO, D. R. Sufentanil-2-hydroxypropyl- β -cyclodextrin inclusion complex for pain treatment: physicochemical, cytotoxicity, and pharmacological evaluation. **Journal of Pharmaceutical Sciences**, v. 101, n. 10, p. 3698-3707, 2012.

232. WEBER, I. T.; TERRA, I. A. A.; DE MELO, A. J. G.; LUCENA, M. A. DE M.; WANDERLEY, K. A.; PAIVA-SANTOS, C. O.; ANTONIO, S. G.; NUNES, L. A. O.; NUNES, L. A. O.; PAZ, F. A. A.; DE SÁ, G. F.; JUNIOR, S. A.; RODRIGUES, M. O. Up-conversion properties of lanthanide-organic frameworks and how to track ammunitions using these materials. **RSC Advances**, v. 2, n. 7, p. 3083-3087, 2012.
233. ZANIN, H.; PETERLEVITZ, A. C.; CERAGIOLI, H. J.; BARANAUSKAS, V. Synthesis and characterization of magnetic nanocrystalline diamond films. **Ferroelectrics**, v. 436, p. 96-100, 2012.
234. ZANIN, H.; PETERLEVITZ, A. C.; CERAGIOLI, H. J.; RODRIGUES, A. A.; BELANGERO, W. D.; BARANAUSKAS, V. Magnetic and cytotoxic properties of hot-filament chemical vapour deposited diamond. **Materials Science and Engineering C**, v. 32, n. 8, p. 2340-2343, 2012.
235. ZANIN, H.; PETERLEVITZ, A. C.; CERAGIOLI, H. J.; TEÓFILO, R. F.; DEGASPERI, F. T.; BARANAUSKAS, V. Large-area cylindrical diamond electrodes. **ECS Journal of Solid State Science and Technology**, v. 1, n. 5, p. N67-N72, 2012.

2014

Artigos Publicados por Pesquisadores Internos

1. ABRAHAM, J.; SÁNCHEZ, H. J.; GRENÓN, M. S.; PÉREZ, C. A. TXRF analysis of metals in oral fluids of patients with dental implants. **X-Ray Spectrometry**, v. 43, n. 4, p. 193-197, 2014.
2. AMORIM, M.; FERNANDES, G.; OLIVEIRA, P. S. L.; MARTINS-DE-SOUZA, D.; DIAS-NETO, E.; NUNES, D. The overexpression of a single oncogene (ERBB2/HER2) alters the proteomic landscape of extracellular vesicles. **Proteomics**, v. 14, n. 12, p. 1472-1479, 2014.
3. ARAÚJO, P.; CESARINO, I.; MAYER, J. L. S.; FERRARI, I. F.; KIYOTA, E., SAWAYA, A. C. H. F.; PAES LEME, A. F.; MAZZAFERA, P. A model system to study the lignification process in *Eucalyptus globulus*. **Physiologia Plantarum**, v. 152, p. 17-31, 2014.
4. BALESTRIN, L. B. S.; DEL DUQUE, D.; SILVA, D. S.; GALEMBECK, F. Triboelectricity in insulating polymers: evidence for a mechanochemical mechanism. **Faraday Discussions**, v. 170, p. 369-383, 2014.
5. BENDO, L.; CASANOVA, M.; FIGUEIRA, A. C. M.; POLIKARPOV, I.; ZUCOLOTTI, V. Nanostructured sensors containing immobilized nuclear receptors for thyroid hormone detection. **Journal of Biomedical Nanotechnology**, v. 10, n. 5, p. 744-750, 2014.
6. BORGES, T. A.; SOUZA, A. T.; SQUINA, F. M.; RIAÑO-PACHÓN, D. M.; SANTOS, R. A. C.; MACHADO, E.; DAMÁSIO, A. R. DE L.; GOLDMAN, G. H. Biochemical characterization of an endoxylanase from *Pseudozyma brasiliensis* sp nov strain GHG001 isolated from the intestinal tract of *Chrysomelidae* larvae associated to sugarcane roots. **Process Biochemistry**, v. 49, n. 1, p. 77-83, 2014.
7. BRACONI, C. T.; ARDISSON-ARAUJO, D. M.; PAES LEME, A. F.; OLIVEIRA, J. V. DE C.; PAULETTI, B. A.; GARCIA-MARUNIAK, A.; RIBEIRO, B. M.; MARUNIAK, J. E. Proteomic analyses of baculovirus *Anticarsia gemmatalis* multiple nucleopolyhedrovirus budded and occluded virus. **Journal of General Virology**, v. 95, pt. 4, p. 980-989, 2014.
8. BRAGA, C. M. P.; DELABONA, P. S.; LIMA, D. J. S.; PAIXÃO, D. A. A.; PRADELLA, J. G. C.; FARINAS, C. S. Addition of feruloyl esterase and xylanase produced on-site improves sugarcane bagasse hydrolysis. **Bioresource Technology**, v. 170, p. 316-324, 2014.
9. BROLLO, M. E.; LÓPEZ-RUIZ, R.; MURACA, D.; FIGUEROA, S. J. A.; PIROTA, K. R.; KNOBEL, M. Compact Ag@Fe₃O₄ core-shell nanoparticles by means of single-step thermal decomposition reaction. **Scientific Reports**, v. 4, p. 6839, 2014.

10. BROWN, N. A.; DOS REIS, T. F.; GOINSKI, A. B.; SAVOLDI, M.; MENINO, J.; ALMEIDA, M. T.; GOLDMAN, G. H.; RODRIGUES, F. The *Aspergillus nidulans* signalling mucin MsbA regulates starvation responses, adhesion and affects cellulase secretion in response to environmental cues. **Molecular Microbiology**, v. 94, n. 5, p. 1103-1120, 2014.
11. BROWN, N. A.; RIES, L. N. A.; GOLDMAN, G. H. How nutritional status signalling coordinates metabolism and lignocellulolytic enzyme secretion. **Fungal Genetics and Biology**, v. 72, n. 48-63, 2014.
12. BUFON, C. C. B.; SALVAN, G.; VERVACKÉ, C.; THURMER, D. J.; FRONK, M.; LINDNER, S.; KNUPFER, M.; ZAHN, D. R. T.; SCHMIDT, O. G. Determination of the charge transport mechanisms in ultrathin copper phthalocyanine vertical heterojunctions. **Journal of Physical Chemistry C**, v. 118, n. 14, p. 7272-7279, 2014.
13. BURGO, T. A. L.; BALESTRIN, L. B. S.; GALEMBECK, F. Corona charging and potential decay on oxidized polyethylene surfaces. **Polymer Degradation and Stability**, v. 104, p. 11-17, 2014.
14. CAMPOS, B. M.; ALVAREZ, T. M.; LIBERATO, M. V.; POLIKARPOV, I.; GILBERT, H. J.; ZERI, A. C. DE M.; SQUINA, F. M. Cloning, purification, crystallization and preliminary X-ray studies of a carbohydrate-binding module (CBM_E1) derived from sugarcane soil metagenome. **Acta Crystallographica F**, v. 70, pt. 9, p. 1232-1235, 2014.
15. CAPELETTI, L. B.; OLIVEIRA, L. F. DE; GONÇALVES, K. DE A.; OLIVEIRA, J. F. A.; SAITO, A.; KOBARG, J.; DOS SANTOS, J. H. Z.; CARDOSO, M. B. Tailored silica-antibiotic nanoparticles: overcoming bacterial resistance with low cytotoxicity. **Langmuir**, v. 30, p. 7456-7464, 2014.
16. CARAZZOLLE, M. F.; CARVALHO, L. M.; SLEPICKA, H. H.; VIDAL, R. O.; PEREIRA, G. A. G.; KOBARG, J.; MEIRELLES, G. V. IIS - Integrated interactome system: a web-based platform for the annotation, analysis and visualization of protein-metabolite-gene-drug interactions by integrating a variety of data sources and tools. **PloS One**, v. 9, n. 6, p. e100385, 2014.
17. CARVALHO, J. L. N.; RAUCCI, G. S.; FRAZÃO, L. A.; CERRI, C. E. P.; BERNOUX, M.; CERRI, C. C. Crop-pasture rotation: a strategy to reduce soil greenhouse gas emissions in the brazilian cerrado. **Agriculture Ecosystems Environment**, v. 183, p. 167-175, 2014.
18. CASTRO, P. A.; ALMEIDA, R. S. C.; FREITAS, F. Z.; BERTOLINI, M. C.; MORAIS, E. R.; BROWN, N. A.; RAMALHO, L. N. Z.; HAGIWARA, D.; MITCHELL, T. K.; GOLDMAN, G. H. ChIP-seq reveals a role for CrzA in the *Aspergillus fumigatus* high-osmolarity glycerol response (HOG) signalling pathway. **Molecular Microbiology**, v. 94, n. 3, p. 655-674, 2014.
19. CASTRO, P. A.; CHIARATTO, J.; WINKELSTRÖTER, L. K.; BOM, V. L. P.; RAMALHO, L. N. Z.; GOLDMAN, M. H. S.; BROWN, N. A.; GOLDMAN, G. H. The involvement of the Mid1/Cch1/Yvc1 calcium channels in *Aspergillus fumigatus* virulence. **PloS One**, v. 9, n. 8, p. e103957, 2014.

20. CASTRO, S. G. Q.; FRANCO, H. C. J.; MUTTON, M. A. Harvest managements and cultural practices in sugarcane. **Revista Brasileira de Ciência do Solo**, v. 38, n. 1, p. 299-306, 2014.
21. CAVALCANTI, I. M. G.; RICOMINI FILHO, A. P.; LUCENA-FERREIRA, S. C.; DA SILVA, W. J.; PAES LEME, A. F.; SENNA, P. M.; DEL BEL CURY, A. A. Salivary pellicle composition and multispecies biofilm developed on titanium nitrided by cold plasma. **Archives of Oral Biology**, v. 59, n. 7, p. 695-703, 2014.
22. CENDULA, P.; MALACHIAS, A.; DENEKE, C.; KIRAVITTAYA, S.; SCHMIDT, O. G. Experimental realization of coexisting states of rolled-up and wrinkled nanomembranes by strain and etching control. **Nanoscale**, v. 6, n. 23, p. 14326-14335, 2014.
23. CHAGAS, E. F.; PONCE, A. S.; PRADO, R. J.; SILVA, G. M.; BETTINI, J. Thermal effect on magnetic parameters of high-coercivity cobalt ferrite. **Journal of Applied Physics**, v. 116, n. 3, p. 033901, 2014.
24. CHIMENEZ, T. A.; GEHLEN, M. H.; MARABEZI, K.; CURVELO, A. A. S. Characterization of sugarcane bagasse by autofluorescence microscopy. **Cellulose**, v. 21, n. 1, p. 653-664, 2014.
25. COLABARDINI, A. C.; RIES, L. N. A.; BROWN, N. A.; DOS REIS, T. F.; SAVOLDI, M.; GOLDMAN, M. H. S.; MENINO, J. F.; RODRIGUES, F.; GOLDMAN, G. H. Functional characterization of a xylose transporter in *Aspergillus nidulans*. **Biotechnology for Biofuels**, v. 7, n. 46, p. 1-19, 2014.
26. COSTA, F. C.; SAITO, A.; GONÇALVES, K. DE A.; VIDIGAL, P. M.; MEIRELLES, G. V.; BRESSAN, G. C.; KOBARG, J. Ki-1/57 and CGI-55 ectopic expression impact cellular pathways involved in proliferation and stress response regulation. **Biochimica et Biofisica Acta. Molecular Cell Research**, v. 1843, n. 12, p. 2944-2956, 2014.
27. COUGER, M. B.; PIPES, L.; SQUINA, F. M.; PRADE, R.; SIEPEL, A.; PALERMO, R.; KATZE, M. G.; MASON, C. E.; BLOOD, P. D. Enabling large-scale next-generation sequence assembly with blacklight. **Concurrency and Computation: Practice and Experience**, v. 26, p. 2157-2166, 2014.
28. COUTINHO, E. L. M.; FRANCO, H. C. J.; ORIOLI JUNIOR, V.; PASQUETTO, J. V. G.; PEREIRA, L. S. Liming and potassium fertilization for Tifton 85 grass. **Bioscience Journal**, v. 30, n. 3, p. 101-111, 2014.
29. DAMÁSIO, A. R. DE L.; RUBIO, M. V.; OLIVEIRA, L. C.; SEGATO, F.; DIAS, B. A.; CITADINI, A. P.; PAIXÃO, D. A. A.; SQUINA, F. M. Understanding the function of conserved variations in the catalytic loops of fungal glycoside hydrolase family 12. **Biotechnology and Bioengineering**, v. 111, n. 8, p. 1494-1505, 2014.
30. DEL GROSSO, S.; SMITH, P.; GALDOS, M. V.; HASTINGS, A.; PARTON, W. Sustainable energy crop production. **Current Opinion in Environmental Sustainability**, v. 9-10, p. 20-25, 2014.

31. DIAS, M. O. S.; PEREIRA, L. G.; JUNQUEIRA, T. L.; PAVANELLO, L. G.; CHAGAS, M. F.; CAVALETT, O.; MACIEL FILHO, R.; BONOMI, A. M. F. L. J. Butanol production in a sugarcane biorefinery using ethanol as feedstock. Part I: Integration to a first generation sugarcane distillery. **Chemical Engineering Research and Design**, v. 92, n. 8, p. 1441-1451, 2014.
32. DIAS, M. V. B.; TYRAKIS, P.; DOMINGUES, R. R.; PAES LEME, A. F.; BLUNDELL, T. L. Mycobacterium tuberculosis dihydrofolate reductase reveals two conformational states and a possible low affinity mechanism to antifolate drugs. **Structure**, v. 22, n. 1, p. 94-103, 2014.
33. DISCOLA, K. F.; FÖRSTER, A.; BOULAY, F.; SIMORRE, J.-P.; ATTREE, I.; DESSEN, A., JOB, V. Membrane and chaperone recognition by the major translocator protein PopB of the type III secretion system of *Pseudomonas aeruginosa*. **Journal of Biological Chemistry**, v. 289, n. 6, p. 3591-3601, 2014.
34. DRIEMEIER, C. E. Two-dimensional Rietveld analysis of celluloses from higher plants. **Cellulose**, v. 21, n. 2, p. 1065-1073, 2014.
35. DRIEMEIER, C. E.; FRANCISCO, L. H. X-ray diffraction from faulted cellulose I constructed with mixed I α -I β stacking. **Cellulose**, v. 21, n. 5, p. 3161-3169, 2014.
36. DUARTE, M. L.; PENA, D. A.; FERRAZ, F. A. N.; BERTI, D. A.; SOBREIRA, T. J. P.; COSTA JR., H. M.; BAQUI, M. M. A.; DISATNIK, M. H.; XAVIER NETO, J.; OLIVEIRA, P. S. L.; SCHECHTMAN, D. Protein folding creates structure-based, noncontiguous consensus phosphorylation motifs recognized by kinases. **Science Signaling**, v. 7, n. 350, p. ra105, 2014.
37. FRANCO, F. P.; SANTIAGO, A. C.; HENRIQUE-SILVA, F.; CASTRO, P. A.; GOLDMAN, G. H.; MOURA, D. S.; SILVA-FILHO, M. C. The sugarcane defense protein SUGARWIN2 causes cell death in *Colletotrichum falcatum* but not in non-pathogenic fungi. **PloS One**, v. 9, n. 3, p. e91159, 2014.
38. FREITAS, D. V.; DIAS, J. M. M.; PASSOS, S. G. B.; SOUZA, G. C. S.; NAVARRO, M. Electrochemical synthesis of TGA-capped CdTe and CdSe quantum dots. **Green Chemistry**, v. 16, n. 6, p. 3247-3254, 2014.
39. FREITAS, I. C.; DAMYANOVA, S.; OLIVEIRA, D. C.; MARQUES, C. M. P.; BUENO, J. M. C. Effect of Cu content on the surface and catalytic properties of Cu/ZrO₂ catalyst for ethanol dehydrogenation. **Journal of Molecular Catalysis A**, v. 381, p. 26-37, 2014.
40. GALEMBECK, F.; BURGO, T. A. L.; BALESTRIN, L. B. S.; GOUVEIA, R. F.; SILVA, C. A.; GALEMBECK, A. Friction, tribochemistry and triboelectricity: recent progress and perspectives. **RSC Advances**, v. 4, n. 109, p. 64280-64298, 2014.

41. GIORDANO, G. F.; FERREIRA, D. C. M.; CARVALHO, T. R.; VIEIRA, L. C. S.; PIAZZETTA, M. H. O.; LIMA, R. S.; GOBBI, A. L. Portable platform for rapid and indirect photometric determination of water in ethanol fuel samples. **Analytical Methods**, v. 6, n. 23, p. 9497-9502, 2014.
42. GIUSEPPE, P. O.; SOUZA, T. A. C. B.; SOUZA, F. H. M.; ZANPHORLIN, L. M.; MACHADO, C. B.; WARD, R. J.; JORGE, J. A.; FURRIEL, R. P. M.; MURAKAMI, M. T. Structural basis for glucose tolerance in GH1 β -glucosidases. **Acta Crystallographica D**, v. 70, p. 1631-1639, 2014.
43. GOLDBECK, R.; DAMÁSIO, A. R. DE L.; GONÇALVES, T. A.; MACHADO, C. B.; PAIXÃO, D. A. A.; WOLF, L. D.; MANDELLI, F.; ROCHA, G. J. M.; RULLER, R.; SQUINA, F. M. Development of hemicellulolytic enzyme mixtures for plant biomass deconstruction on target biotechnological applications. **Applied Microbiology and Biotechnology**, v. 98, p. 8513-8525, 2014.
44. GOLDMAN, G. H.; COLABARDINI, A. C.; RIES, L. N. A.; BROWN, N. A.; SAVOLDI, M.; DINAMARCO, T. M.; VON ZESKA, M. R.; GOLDMAN, M. H. S. Protein kinase C overexpression suppresses calcineurin-associated defects in *Aspergillus nidulans* and is involved in mitochondrial function. **PLoS One**, v. 9, n. 8, p. e104792, 2014.
45. GOMES, G. F. M.; BUENO, T. E. P.; PARREIRAS, D. E.; ABREU, G. J. P.; SIERVO, A. DE; CEZAR, J. C.; PFANNES, H.-D.; PANIAGO, R.M. Magnetic moment of Fe₃O₄ films with thicknesses near the unit-cell size. **Physical Review B**, v. 90, n. 13, p. 134422, 2014.
46. GONÇALVES, L. D. R.; CAMPANHON, I. B.; DOMINGUES, R. R.; PAES LEME, A. F.; SILVA, M. R. S. Comparative salivary proteome of hepatitis B- and C-infected patients. **PLoS One**, v. 9, n. 11, p. e0113683, 2014.
47. GRANATO, D. C.; ZANETTI, M. R.; KAWAHARA, R.; YOKOO, S.; DOMINGUES, R. R.; ARAGÃO, A. Z. B.; AGOSTINI, M.; CARAZZOLLE, M. F.; VIDAL, R. O.; FLORES, I. L.; KORVALA, J.; CERVIGNE, N. K.; SILVA, A. R. S.; COLETTA, R. D.; GRANER, E.; SHERMAN, N. E.; PAES LEME, A. F. Integrated proteomics identified up-regulated focal adhesion-mediated proteins in human squamous cell carcinoma in an orthotopic murine model. **PLoS One**, v. 9, n. 5, p. e98208, 2014.
48. GREMSKI, L. H.; TREVISAN-SILVA, D.; FERRER, V. P.; MATSUBARA, F. H.; MEISSNER, G. O.; WILLE, A. C.; VUITIKA, L.; DIAS-LOPES, C.; ULLAH, A.; DE MORAES, F. R.; CHÁVEZ-OLÓRTEGUI, C.; BARBARO, K. C.; MURAKAMI, M. T.; ARNI, R. K.; SENFF-RIBEIRO, A.; CHAIM O. M.; VEIGA, S. S. Recent advances in the understanding of brown spider venoms: from the biology of spiders to the molecular mechanisms of toxins. **Toxicon**, v. 83, p. 91-120, 2014.
49. GRIMM, D.; SHARMA, R.; BUFON, C. C. B.; SOMMER, R.; WOLLATZ, A.; SCHADEWALD, J.; THURMER, D. J.; SILES, P. F.; BAUER, M.; SCHMIDT, O. G. Large-area rolled-up nanomembrane capacitor arrays for electrostatic energy storage. **Advanced Energy Materials**, v. 4, n. 9, p. 1301631, 2014.

50. GURGEL, L. V. A.; PIMENTA, M. T. B.; CURVELO, A. A. S. Enhancing liquid hot water (LHW) pretreatment of sugarcane bagasse by high pressure carbon dioxide (HP-CO₂). **Industrial Crops and Products**, v. 57, p. 141-149, 2014.
51. HANSEN, H. P. ; ENGELS, H.-M.; PAES LEME, A. F.; PAULETTI, B. A.; SIMHADRI, V. L.; DÜRKOP, H.; REINERS, K. S.; BARNERT, S.; ENGERT, A.; SCHUBERT, R.; QUONDAMATTEO, F.; HALLEK, M.; VON STRANDMANN, E. P. Protrusion-guided extracellular vesicles mediate CD30 trans-signalling in the microenvironment of Hodgkin's lymphoma. **Journal of Pathology**, v. 232, n. 4, p. 405-414, 2014.
52. HERNANDES, T. A. D.; BUFON, V. B.; SEABRA, J. E. A. Water footprint of biofuels in Brazil: assessing regional differences. **Biofuels Bioproducts & Biorefining-Biofpr**, v. 8, n. 2, p. 241-252, 2014.
53. KAWAHARA, R.; LIMA, R. N.; DOMINGUES, R. R.; PAULETTI, B. A.; MEIRELLES, G. V.; ASSIS, M.; FIGUEIRA, A. C. M.; PAES LEME, A. F. Deciphering the role of the ADAM17-dependent secretome in cell signaling. **Journal of Proteome Research**, v. 13, n. 4, p. 2080-2093, 2014.
54. KROHN, N. G.; BROWN, N. A.; COLABARDINI, A. C.; REIS, T.; SAVOLDI, M.; DINAMARCO, T. M.; GOLDMAN, M. H. S.; GOLDMAN, G. H. The *Aspergillus nidulans* ATM kinase regulates mitochondrial function, glucose uptake and the carbon starvation response. **G3-Genes Genomes Genetics**, v. 4, n. 1, p. 49-62, 2014.
55. KWON, Y.-K.; HEO, J.; WONG, H. E. E.; CRUZ, D. J. M.; VELUMANI, S.; SILVA, C. T. DA; MOSIMANN, A. L. P.; SANTOS, C. N. D. DOS; FREITAS-JUNIOR, L. H., FINK, K. Kinome siRNA screen identifies novel cell-type specific dengue host target genes. **Antiviral Research**, v. 110, p. 20-30, 2014.
56. LAGUNA-MARCO, M. A.; FABBRIS, G.; SOUZA NETO, N. M.; CHIKARA, S.; SCHILLING, J. S.; CAO, G.; HASKEL, D. Different response of transport and magnetic properties of BaIrO₃ to chemical and physical pressure. **Physical Review B**, v. 90, p. 014419, 2014.
57. LEBRETON, A.; JOB, V.; RAGON, M.; LE MONNIER, A.; DESSEN, A.; COSSART, P.; BIERNE, H. Structural basis for the inhibition of the chromatin repressor BAHD1 by the bacterial nucleomodulin LntA. **mBio**, v. 5, n. 1, p. e00775, 2014.
58. LICEA, Y. E.; AMAYA, S. L.; ECHAVARRÍA, A.; BETTINI, J.; EON, J. G.; PALACIO, L. A.; FARO JR., A. C. Simultaneous tetralin HDA and dibenzothiophene HDS reactions on NiMo bulk sulphide catalysts obtained from mixed oxides. **Catalysis Science & Technology**, v. 4, n. 5, p.1227-1238, 2014.
59. LIMA, M. A.; GOMEZ, L. D.; STEELE-KING, C. G.; SIMISTER, R., BERNARDINELLI, O. D.; CARVALHO, M. A.; REZENDE, C. A.; LABATE, C. A.; DE AZEVEDO, E. R.; MCQUEEN- MASON, S. J.; POLIKARPOV, I. Evaluating the composition and processing potential of novel sources of

- brazilian biomass for sustainable biorenewables production. **Biotechnology for Biofuels**, v. 7, p. 10, 2014.
60. LIMA, R. S.; SHIROMA, L. Y.; TEIXEIRA, A. V. N. C.; TOLEDO, J. R.; COUTO, B. C.; CARVALHO, R. M.; CARRILHO, E.; KUBOTA, L.T.; GOBBI, A. L. Microemulsification: an approach for analytical determinations. **Analytical Chemistry**, v. 86, n. 18, p. 9082-9090, 2014.
 61. LIVI, S.; SILVA, A. A.; PEREIRA, J.; NGUYEN, T. K. L.; SOARES, B. G.; CARDOSO, M. B.; GÉRARD, J.-F.; DUCHET-RUMEAU, J. Supercritical CO₂-organosilane mixtures for modification of silica: applications to epoxy prepolymer matrix. **Chemical Engineering Journal**, v. 241, p. 103-111, 2014.
 62. MAGNANI, M.; TERADA, M.; LINO, A. O.; TALLO, V. P.; FONSECA, E. B.; SANTOS, T. F. A.; RAMIREZ, A. J. Microstructural and electrochemical characterization of friction stir welded duplex stainless steels. **International Journal of Electrochemical Science**, v. 9, n. 6, p. 2966-2977, 2014.
 63. MALDONADO, R. F.; RIBEIRO, L. F.; FURTADO, G. P.; ARRUDA, L. M.; MELEIRO, L. P.; ALPONTI, J. S.; BOTELHO- MACHADO, C.; VIEIRA, D. S.; BONNEIL, E.; FURRIEL, R. P. M.; THIBAUT, P.; WARD, R. J. Synergistic action of co-expressed xylanase/laccase mixtures against milled sugar cane bagasse. **Process Biochemistry**, v. 49, n. 7, p. 1152-1161, 2014.
 64. MANDELLI, F.; BRENELLI, L. B.; ALMEIDA, R. F.; GOLDBECK, R.; WOLF, L. D.; HOFFMAM, Z. B.; RULLER, R.; ROCHA, G. J. M.; MERCADANTE, A. Z.; SQUINA, F. M. Simultaneous production of xylooligosaccharides and antioxidant compounds from sugarcane bagasse via enzymatic hydrolysis. **Industrial Crops and Products**, v. 52, p. 770-775, 2014.
 65. MARÇAL, L.; ROSA, B. L. T.; SAFAR, G. A. M.; FREITAS, R. O.; SCHMIDT, O. G.; GUIMARÃES, P. S. S.; DENEKE, C.; MALACHIAS, A. Observation of emission enhancement caused by symmetric carrier depletion in III-V nanomembrane heterostructures. **ACS Photonics**, v. 1, n. 9, p. 863-870, 2014.
 66. MARINHO, F.; PAULUCCI, L.; GALANTE, D. Propagation and energy deposition of cosmic rays' muons on terrestrial environments. **International Journal of Astrobiology**, v.13, n. 4, p. 319-323, 2014.
 67. MARTINEZ, D. S. T.; FARIA, A. F.; BERNI, E.; SOUZA FILHO, A. G.; ALMEIDA, G.; CALOTO-OLIVEIRA, A.; GROSSMAN, M. J.; DURRANT, L. R.; UMBUZEIRO, G. A.; ALVES, O. L. Exploring the use of biosurfactants from *Bacillus subtilis* in bionanotechnology: a potential dispersing agent for carbon nanotube ecotoxicological studies. **Process Biochemistry**, v. 49, n. 7, p. 1162-1168, 2014.
 68. MEDRANO, F. J.; SOUZA, C. S. DE; ROMERO, A.; BALAN, A. Structure determination of a sugar-binding protein from the phytopathogenic bacterium *Xanthomonas citri*. **Acta Crystallographica F**, v. 70, pt. 5, p. 564-571, 2014.

69. MELLO, F. F. C.; CERRI, C. E. P.; DAVIES, C. A.; HOLBROOK, N. M.; PAUSTIAN, K.; MAIA, S. M. F.; GALDOS, M. V.; BERNOUX, M.; CERRI, C. C. Payback time for soil carbon and sugar-cane ethanol. **Nature Climate Change**, v. 4, n. 7, p. 605-609, 2014.
70. MENDEZ-GONZÁLES, Y.; PENTON-MADRIGAL, A.; PÉLAIZ-BARRANCO, A.; FIGUEROA, S. J. A.; OLIVEIRA, L. A. S.; CONCEPCIÓN-ROSABAL, B. Local-site cation ordering of Eu³⁺ ion in doped PbTiO₃. **Physica B**, v. 434, p. 171-176, 2014.
71. MERCALDI, G. F.; RANZANI, A. T.; CORDEIRO, A. T. Discovery of new uncompetitive inhibitors of glucose-6-phosphate dehydrogenase. **Journal of Biomolecular Screening**, v. 19, n. 10, p. 1362-1371, 2014.
72. MIQUELES, E. X.; COIMBRA, T. A.; AMARO, B. D.; FIGUEIREDO, J. J. S. Analytical ray tracing system: introducing art, a C-library designed for seismic applications. **Computer Physics Communications**, v. 185, n. 1, p. 274-293, 2014.
73. MIQUELES, E. X.; RINKEL, J.; O'DOWD, F.; BERMÚDEZ, J. S. Generalized Titarenko's algorithm for ring artefacts reduction. **Journal of Synchrotron Radiation**, v. 21, n. 6, p. 1333-1346, 2014.
74. MORAES, B. S.; JUNQUEIRA, T. L.; PAVANELLO, L. G.; CAVALETT, O., MANTELATTO, P. E.; BONOMI, A. M. F. L. J.; ZAIAT, M. Anaerobic digestion of vinasse from sugarcane biorefineries in Brazil from energy, environmental, and economic perspectives: profit or expense? **Applied Energy**, v. 113, p. 825-835, 2014.
75. MORAES, C. B.; GIARDINI, M. A.; KIM, H.; FRANCO, C. H.; ARAUJO JR., A. M.; SCHENKMAN, S.; CHATELAIN, E.; FREITAS-JUNIOR, L. H. Nitroheterocyclic compounds are more efficacious than CYP51 inhibitors against *Trypanosoma cruzi*: implications for Chagas disease drug discovery and development. **Scientific Reports**, v. 4, n. 4703, p. 1-11, 2014.
76. MORAIS, A. T. S.; MEZA, A. N.; ARAUJO, G. C.; VIDOTTO, A.; SOUZA, F. P, FOSSEY, M. A.; MURAKAMI, M. T.; NOGUEIRA, M. L. Biophysical and structural characterization of the recombinant human eIF3L. **Protein and Peptide Letters**, v. 21, n. 1, p. 56-62, 2014.
77. MOREIRA-VILAR, F. C.; SIQUEIRA-SOARES, R. DE C.; FINGER-TEIXEIRA, A.; OLIVEIRA, D. M. DE; FERRO, A. P.; ROCHA, G. J. M.; FERRARESE, M. DE L. L.; SANTOS, W. D.; FERRARESE-FILHO, O. The acetyl bromide method is faster, simpler and presents best recovery of lignin in different herbaceous tissues than klason and thioglycolic acid methods. **PloS One**, v. 9, n. 10, p. e110000, 2014.
78. NIKOLAIDIS, I.; FAVINI-STABILE, S.; DESSEN, A. Resistance to antibiotics targeted to the bacterial cell wall. **Protein Science**, v. 23, n. 3, p. 243-259, 2014.

79. OKAMOTO, D. N.; KONDO, M. Y.; OLIVEIRA, L. C. G.; HONORATO, R. V., ZANPHORLIN, L. M.; CORONADO, M. A.; ARAÚJO, M. S.; MOTTA, G.; VERONEZ, C. L.; ANDRADE, S. S.; OLIVEIRA, P. S. L.; ARNI, R. K.; CINTRA, A. C. O.; SAMPAIO, S. V.; JULIANO, M. A.; JULIANO, L.; MURAKAMI, M. T.; GOUVEA, I. E. P-I class metalloproteinase from *Bothrops moojeni* venom is a post-proline cleaving peptinase with kininogenase activity: insights into substrate selectivity and kinetic behavior. **Biochimica et Biophysica Acta. Proteins and Proteomics**, v. 1844, n. 3, p. 545-552, 2014.
80. OLIVEIRA, J. F. A.; CARDOSO, M. B. Partial aggregation of silver nanoparticles induced by capping and reducing agents competition. **Langmuir**, v. 30, n. 17, p. 4879-4886, 2014.
81. OLIVEIRA, J. V. DE C.; BORGES, T. A.; SANTOS, R. A. C.; FREITAS, L. F. D.; ROSA, C. A.; GOLDMAN, G. H.; RIAÑO-PACHÓN, D. M. *Pseudozyma brasiliensis* sp nov., a xyloxytic, ustilaginomycetous yeast species isolated from an insect pest of sugarcane roots. **International Journal of Systematic and Evolutionary Microbiology**, v. 64, pt. 6, p. 2159-2168, 2014.
82. OLIVEIRA, L. C. G.; OKAMOTO, D. N.; OLIVEIRA, J. R.; KONDO, M. Y.; GOUVEA, I. E.; BITEAU, N.; BALTZ, T.; MURAKAMI, M. T.; JULIANO, L.; JULIANO, M. A. Analysis of peptidase activities of a cathepsin B-like (TcoCBc1) from *Trypanosoma congolense*. **Biochimica et Biophysica Acta. Proteins and Proteomics**, v. 1844, n. 7, p. 1260-1267, 2014.
83. OLIVEIRA, L. R. M.; NASCIMENTO, V. M.; GONÇALVES, A. R.; ROCHA, G. J. M. Combined process system for the production of bioethanol from sugarcane straw. **Industrial Crops and Products**, v. 58, p. 1-7, 2014.
84. OLIVEIRA, S. H. P. O.; FERRAZ, F. A. N.; HONORATO, R. V.; XAVIER NETO, J.; SOBREIRA, T. J. P.; OLIVEIRA, P. S. L. KVFinder: steered identification of protein cavities as a PyMOL plugin. **BMC Bioinformatics**, v. 15, p. 197, 2014.
85. OMIDBAKHSHFARD, M. A.; WINCK, F. V.; ARVIDSSON, S.; RIAÑO-PACHÓN, D. M.; MUELLER-ROEBER, B. A step-by-step protocol for formaldehyde-assisted isolation of regulatory elements from *Arabidopsis thaliana*. **Journal of Integrative Plant Biology**, v. 56, n. 6, p. 527-538, 2014
86. OSHIRO, A.; SILVA, D. C.; MELLO, J. C. DE; MORAES, V. W. R. DE CAVALCANTI. L. P.; FRANCO, M. K. K. D.; ALKSCHBIRS, M. I.; FRACETO, L. F.; YOKAICHIYA, F.; RODRIGUES, T.; ARAUJO, D. R. Pluronic F-127/L-81 binary hydrogels as drug-delivery systems: influence of physicochemical aspects on release kinetics and cytotoxicity. **Langmuir**, v. 30, n. 45, p. 13689-13698, 2014.
87. PASQUALOTO, K. F.; BALAN, A.; BARRETO, S. A.; SIMONS, S. M.; CHUDZINSKI-TAVASSI, A. M. Structural findings and molecular modeling approach of a TFPI-Like inhibitor. **Protein and Peptide Letters**, v. 21, n. 5, p. 452-457, 2014.
88. PAULA, A. J.; SILVEIRA, C. P.; MARTINEZ, D. S. T.; SOUZA FILHO, A. G., ROMERO, F. V.; FONSECA, L. C.; TASIC, L.; ALVES, O. L.; DURAN, N. Topography-driven bionano-interactions on colloidal silica nanoparticles. **ACS Applied Materials & Interfaces**, v. 6, n. 5, p. 3437-3447, 2014.

89. PEGOS, V. R.; MEDRANO, F. J.; BALAN, A. Crystallization and preliminary X-ray diffraction analysis of the phosphate-binding protein PhoX from *Xanthomonas citri*. **Acta Crystallographica F**, v. 70, pt. 12, p. 1604-1607, 2014.
90. PEGOS, V. R.; NASCIMENTO, J. F.; SOBREIRA, T. J. P.; PAULETTI, B. A.; PAES LEME, A. F.; BALAN, A. Phosphate regulated proteins of *Xanthomonas citri* subsp *citri*: a proteomic approach. **Journal of Proteomics**, v. 108, p. 78-88, 2014.
91. PEREIRA, A. L. A.; CARAZZOLLE, M. F.; ABE, V. Y.; OLIVEIRA, M. L. P.; DOMINGUES, M. N.; SILVA, J. A. C.; CERNADAS, R. A.; BENEDETTI, C. E. Identification of putative TAL effector targets of the citrus canker pathogens shows functional convergence underlying disease development and defense response. **BMC Genomics**, v. 15, p. 157, 2014.
92. PEREIRA, L. G.; DIAS, M. O. S.; JUNQUEIRA, T. L.; PAVANELLO, L. G.; CHAGAS, M. F.; CAVALETTI, O.; MACIEL FILHO, R.; BONOMI, A. M. F. L. J. Butanol production in a sugarcane biorefinery using ethanol as feedstock. Part II: Integration to a second generation sugarcane distillery. **Chemical Engineering Research and Design**, v. 92, n. 8, p. 1452-1462, 2014.
93. PEREIRA, M. B. M.; SANTOS, A. M.; GONÇALVES, D. C.; CARDOSO, A. C.; CONSONNI, S. R.; GOZZO, F. C.; OLIVEIRA, P. S.; PEREIRA, A. H. M.; FIGUEIREDO, A. R.; TIROLI-CEPEDA, A. O.; RAMOS, C. H. I.; THOMAZ, A. A.; CESAR, C. L.; FRANCHINI, K. G. α B-crystallin interacts with and prevents stress-activated proteolysis of focal adhesion kinase by calpain in cardiomyocytes. **Nature Communications**, v. 5, p. 5159, 2014.
94. RIBEIRO, L. F. C.; DE LUCAS, R. C.; VITICOSQUE, G. L.; RIBEIRO, L. F.; WARD, R. J.; RUBIO, M. V.; DAMÁSIO, A. R. DE L.; SQUINA, F. M.; GREGORY, R. C.; WALTON, P. H.; JORGE, J. A.; PRADE, R. A.; BUCKERIDGE, M. S.; POLIZELI, M. DE L. T. M. A novel thermostable xylanase GH10 from *Malbranchea pulchella* expressed in *Aspergillus nidulans* with potential applications in biotechnology. **Biotechnology for Biofuels**, v. 7, p. 115, 2014.
95. RIBEIRO, R. U.; MEIRA, D. M.; RODELLA, C. B.; OLIVEIRA, D. C.; BUENO, J. M. C.; ZANCHET, D. Probing the stability of Pt nanoparticles encapsulated in sol-gel Al₂O₃ using in situ and ex situ characterization techniques. **Applied Catalysis A**, v. 485, p. 108-117, 2014.
96. RIZZO, L. Y.; LONGATO, G. B.; RUIZ, A. L. T. G.; TINTI, S. V.; POSSENTI, A.; VENDRAMINI-COSTA, D. B.; SARTORATTO, A.; FIGUEIRA, G. M.; SILVA, F. L. N.; EBERLIN, M. N.; SOUZA, T. A. C. B.; MURAKAMI, M. T.; RIZZO, E.; FOGLIO, M. A.; KIESSLING, F.; LAMMERS, T.; CARVALHO, J. E. In vitro, In vivo and in silico analysis of the anticancer and estrogen-like activity of guava leaf extracts. **Current Medicinal Chemistry**, v. 21, p. 2322-2330, 2014.
97. ROCHA, G. J. M.; NASCIMENTO, V. M.; SILVA, V. F. N.; CORSO, D. L. S.; GONÇALVES, A. D. Contributing to the environmental sustainability of the second generation ethanol production: delignification of sugarcane bagasse with sodium hydroxide recycling. **Industrial Crops and Products**, v. 59, p. 63-68, 2014.

98. RODRIGUEZ, J.; RAMIREZ, A. J. Friction stir welding of mild steel to alloy 625-development of welding parameters. **Science and Technology of Welding and Joining**, v. 19, n. 4, p. 343-349, 2014.
99. RUBIO, M.; GERMANIER, A.; MERA, M. F.; FAUDONE, S. N.; SBARATO, R. D.; CAMPOS, J. M.; ZAMPAR, V.; BONZI, E.; PÉREZ, C. A. Study of lead levels in soils by weathering of metallic Pb bullets used in dove hunting in Cordoba, Argentina. **X-Ray Spectrometry**, v. 43, n. 3, p. 186-192, 2014.
100. RULLER, R.; ALPONTI, J. S.; DELIBERTO, L. A.; ZANPHORLIN, L. M.; MACHADO, C. B.; WARD, R. J. Concomitant adaptation of a GH11 xylanase by directed evolution to create an alkali-tolerant/thermophilic enzyme. **Protein Engineering Design & Selection**, v. 27, n. 8, p. 255-262, 2014.
101. SÁNCHEZ, H. J.; LEANI, J. J.; PÉREZ, C. A.; PÉREZ, R. D. Arsenic speciation by X-ray spectroscopy using resonant Raman scattering. **Journal of Applied Spectroscopy**, v. 80, n. 6, p. 912-916, 2014.
102. SANTOS, C. R.; HOFFMAM, Z. B.; ZANPHORLIN, L. M.; ASSIS, L. H. P.; HONORATO, R. V.; OLIVEIRA, P. S. L.; RULLER, R.; MURAKAMI, M. T. Molecular mechanisms associated with xylan degradation by *Xanthomonas* plant pathogens. **Journal of Biological Chemistry**, v. 289, n. 46, p. 32186-32200, 2014.
103. SANTOS, C. R.; POLO, C. C.; COSTA, M. C. M. F.; NASCIMENTO, A. F. Z.; MEZA, A. N.; COTA, J.; HOFFMAM, Z. B.; HONORATO, R. V.; OLIVEIRA, P. S. L.; GOLDMAN, G. H.; GILBERT, H. J.; PRADE, R. A.; RULLER, R.; SQUINA, F. M.; WONG, D. S. W.; MURAKAMI, M. T. Mechanistic strategies for catalysis adopted by evolutionary distinct family 43 arabinanases. **Journal of Biological Chemistry**, v. 289, n. 11, p. 7362-7373, 2014.
104. SANTOS, T. F. A.; IDAGAWA, H. S.; RAMIREZ, A. J. Thermal history in UNS S32205 duplex stainless steel friction stir welds. **Science and Technology of Welding and Joining**, v. 19, n. 2, p. 150-156, 2014.
105. SANTOS, T. F. A.; TORRES LÓPEZ, E. A.; HERMENEGILDO, T. F.; RAMIREZ, A. J. Development of ceramic backing for friction stir welding and processing. **Soldagem & Inspeção**, v. 19, n. 2, p. 104-113, 2014.
106. SEGATO, F.; DAMÁSIO, A. R. DE L.; DE LUCAS, R. C.; SQUINA, F. M.; PRADE, R. A. Genomics review of holocellulose deconstruction by *Aspergilli*. **Microbiology and Molecular Biology Reviews**, v. 78, n. 4, p. 588-613, 2014.
107. SENSIAE, L. A.; SOBREIRA, D. R.; VEIGA, F. C.; PETERLINI, D. J.; PEDROSA, A. V.; RIRSCH, T.; JOAZEIRO, P. P.; SCHUBERT, F. R.; COLLARES- BUZATO, C. B.; XAVIER NETO, J., DIETRICH, S.; ALVARES, L. E. Dact gene expression profiles suggest a role for this gene family in integrating

- Wnt and TGF- β signaling pathways during chicken limb development. **Developmental Dynamics**, v. 243, n. 3, p. 428-439, 2014
108. SHAIK, M. M.; MACCAGNI, A.; TOUCIER, G.; DI GUILMI, A. M.; DESSEN, A. Structural basis of pilus anchoring by the ancillary pilin RrgC of *Streptococcus pneumoniae*. **Journal of Biological Chemistry**, v. 289, n. 24, p. 16988-16997, 2014.
 109. SILES, P. F.; BUFON, C. C. B.; GRIMM, D.; JALIL, A. R.; MENDE, C.; LUNGWITZ, F.; SALVAN, G.; ZAHN, D. R. T.; LANG, C.; SCHMIDT, O. G. Morphology and local transport characteristics of metalloporphyrin thin films. **Organic Electronics**, v. 15, n. 7, p. 1432-1439, 2014.
 110. SILVA, C. R. U. DA; FRANCO, H. C. J.; JUNQUEIRA, T. L.; VAN OERS, L.; VAN DER VOET, E.; SEABRA, J. E. A. Long-term prospects for the environmental profile of advanced sugar cane ethanol. **Environmental Science & Technology**, v. 48, n. 20, p. 12394-12402, 2014.
 111. SILVA, R. R.; JOURDAN, F.; SALVANHA, D. M.; LETISSE, F.; JAMIM, E. L.; GUIDETTI-GONZALEZ, S.; LABATE, C. A.; VENCIO, R. Z. N. ProbMetab: an R package for bayesian probabilistic annotation of LC-MS-based metabolomics. **Bioinformatics**, v. 30, n. 9, p. 1336-1337, 2014.
 112. SILVA, S. F. C.; LANZONI, E. M.; BARBOZA, V. A.; MALACHIAS, A.; KIRAVITTAYA, S.; DENEKE, C. InAs migration on released, wrinkled InGaAs membranes used as virtual substrate. **Nanotechnology**, v. 25, n. 35, p. 455603, 2014.
 113. SILVA, V. M.; COLUSSI, F.; OLIVEIRA NETO, M.; BRAZ, A. S. K.; SQUINA, F. M.; OLIVEIRA, C. L. P.; GARCIA, W. Modular hyperthermostable bacterial endo- β -1, 4-mannanase: molecular shape, flexibility and temperature-dependent conformational changes. **PloS One**, v. 9, n. 3, p. e92996, 2014
 114. SIMABUCO, F. M.; KAWAHARA, R.; YOKOO, S.; GRANATO, D. C.; AGOSTINI, M.; MIGUEL, L.; ARAGÃO, A. Z. B.; DOMINGUES, R. R.; FLORES, I. L.; MACEDO, C. C. S.; COLETTA, R. D.; GRANER, E.; PAES LEME, A. F. ADAM17 mediates OSCC development in an orthotopic murine model. **Molecular Cancer**, v. 13, p. 24, 2014.
 115. SOSA, C. M.; SÁNCHEZ, H. J.; PÉREZ, C. A.; PÉREZ, R. D. Structural and elemental X-ray microanalysis with synchrotron radiation in confocal geometry. **Nuclear Instruments and Methods in Physics Research B**, v. 319, p. 171-176, 2014.
 116. SOUZA, C. F.; RIEGEL-VIDOTTI, I. C.; CARDOSO, M. B.; ONO, L.; LUCYSZYN, N.; LUBAMBO, A. F.; SENS, C. V.; GREIN-IANKOVSKI, A.; SIERAKOWSKI, M. R. Nanometric organisation in blends of gellan/xyloglucan hydrogels. **Carbohydrate Polymers**, v. 114, p. 48-56, 2014.
 117. SOUZA, E. E.; MEIRELLES, G. V.; GODOY, B. B.; PEREZ, A. M.; SMETANA, J. H. C.; DOXSEY, S. J.; MCCOMB, M. E.; COSTELLO, C. E.; WHELAN, S. A.; KOBARG, J. Characterization of the human

NEK7 interactome suggests catalytic and regulatory properties distinct from those of NEK6. **Journal of Proteome Research**, v. 13, p. 4074-4090, 2014.

118. SOUZA, F. H. M.; MELEIRO, L. P.; MACHADO, C. B.; ZIMBARDI, A. L. R. L.; MALDONADO, R. F.; SOUZA, T. A. C. B.; MASUI, D. C.; MURAKAMI, M. T.; JORGE, J. A.; WARD, R. J.; FURRIEL, R. P. M. Gene cloning, expression and biochemical characterization of a glucose- and xylose-stimulated β -glucosidase from *Humicola insolens* RP86. **Journal of Molecular Catalysis B**, v. 106, p. 1-10, 2014.
119. SOUZA, M. M. DE; MANZINE, L. R.; SILVA, M. V. G.; BETTINI, J.; PORTUGAL, R. V.; CRUZ, A. K.; ARRUDA, E.; THIEMANN, O. H. An improved purification procedure for *Leishmania* RNA virus (LRV). **Brazilian Journal of Microbiology**, v. 45, n. 2, p. 695-698, 2014.
120. SOUZA, P. C. T.; PUHL, A. C.; MARTINEZ, L.; APARICIO, M.; NASCIMENTO, A. S.; FIGUEIRA, A. C. M.; NGUYEN, P.; WEBB, P.; SKAF, M. S.; POLIKARPOV, I. Identification of a new hormone-binding site on the surface of thyroid hormone receptor. **Molecular Endocrinology**, v. 28, n. 4, p. 534-543, 2014.
121. SOUZA-CORREA, J. A.; OLIVEIRA, C.; NASCIMENTO, V. M.; WOLF, L. D.; GÓMEZ, E. O.; ROCHA, G. J. M.; AMORIM, J. Atmospheric pressure plasma pretreatment of sugarcane bagasse: the influence of biomass particle size in the ozonation process. **Applied Biochemistry and Biotechnology**, v. 172, n. 3, p. 1663-1672, 2014.
122. STROPPA, D. B.; MONTORO, L. A.; CAMPELLO, A.; GRACIA, L.; BELTRÁN, A.; ANDRÉS, J.; LEITE, E. R.; RAMIREZ, A. J. Prediction of dopant atom distribution on nanocrystals using thermodynamic arguments. **Physical Chemistry Chemical Physics (PCCP)**, v. 16, n. 3, p. 1089-1094, 2014.
123. STROPPA, D. G.; DALMASCHIO, C. J.; HOUBEN, L.; BARTHEL, J.; MONTORO, L. A.; LEITE, E. R.; RAMIREZ, A. J. Analysis of dopant atom distribution and quantification of oxygen vacancies on individual Gd-doped CeO₂ nanocrystals. **Ch3emistry - A European Journal**, v. 20, n. 21, p. 6288-6293, 2014
124. TALLARICO, D. A.; GOBBI, A. L.; PAULIN-FILHO, P. I.; DA COSTA, M. E. H. M.; NASCENTE, P. A. P. Growth and surface characterization of TiNbZr thin films deposited by magnetron sputtering for biomedical applications. **Materials Science and Engineering C: Materials for Biology**, v. 43, p. 45-49, 2014.
125. TAVARES, R.; SCHERER, N. D.; PAULETTI, B. A.; ARAUJO, E.; FOLADOR, E. L.; ESPINDOLA, G.; FERREIRA, C. G.; PAES LEME, A. F.; OLIVEIRA, P. S. L.; PASSETTI, F. SpliceProt: a protein sequence repository of predicted human splice variants. **Proteomics**, v. 14, n. 2-3, p. 181-185, 2014.
126. TORRES LÓPEZ, E. A.; MONTORO, F. E.; RIGHETTO, R. D.; RAMIREZ, A. J. Development of high-temperature strain instrumentation for in situ SEM evaluation of ductility dip cracking. **Journal of Microscopy**, v. 254, n. 3, p. 157-165, 2014.

127. TORRES, A.; LIMA, M. P.; FAZZIO, A.; SILVA, A. J. R. DA Spin caloritronics in graphene with Mn. **Applied Physics Letters**, v. 104, n. 7, p. 072412, 2014.
128. TOSI, T.; ESTROZI, L.; JOB, V.; GUILVOUT, I.; PUGSLEY, A.; SCHOEHN, G.; DESSEN, A. Structural similarity of secretins from type II and type III secretion systems. **Structure**, v. 22, n. 9, p. 1348-1355, 2014.
129. TRIBST, A. A. L.; COTA, J., MURAKAMI, M. T.; CRISTIANINI, M. Effects of high pressure homogenization on the activity, stability, kinetics and three-dimensional conformation of a glucose oxidase produced by *Aspergillus niger*. **PLoS One**, v. 9, n. 7, p. e103410, 2014.
130. TRIVELLA, D. B. B.; PEREIRA, A. R.; STEIN, M. L.; KASAI, Y.; BYRUM, T.; VALERIOTE, F. A.; TANTILLO, D. J.; GROLL, M.; GERWICK, W. H.; MOORE, B. S. Enzyme inhibition by hydroamination: design and mechanism of a hybrid *Carmaphycin-Syringolin Enone* proteasome inhibitor. **Chemistry & Biology**, v. 21, n. 6, p. 782-791, 2014
131. ULLAH, A.; MAGALHÃES, G. S.; MASOOD, R.; MARIUTTI, R. B.; CORONADO, M. A.; MURAKAMI, M. T.; BARBARO, K. C.; ARNI, R. K. Crystallization and preliminary X-ray diffraction analysis of a novel sphingomyelinase D from *Loxosceles gaucho* venom. **Acta Crystallographica Section F**, v. F70, n. 10, p. 1418-1420, 2014.
132. ULLAH, A.; MASOOD, R.; SPENCER, P. J.; MURAKAMI, M. T.; ARNI, R. K. Crystallization and preliminary X-ray diffraction studies of an L-amino-acid oxidase from *Lachesis muta* venom. **Acta Crystallographica Section F**, v. 70, pt. 11, p.1556-1559, 2014.
133. UNFRIED-SILGADO, J.; RAMIREZ, A. J. Modeling and characterization of as-welded microstructure of solid solution strengthened Ni-Cr-Fe alloys resistant to ductility-dip cracking part I: Numerical modeling. **Metals and Materials International**, v. 20, n. 2, p. 297-305, 2014.
134. UNFRIED-SILGADO, J.; RAMIREZ, A. J. Modeling and characterization of as-welded microstructure of solid solution strengthened Ni-Cr-Fe alloys resistant to ductility-dip cracking Part II: Microstructure characterization. **Metals and Materials International**, v. 20, n. 2, p. 307-315, 2014
135. VERVACKE, C.; BUFON, C. C. B.; THURMER, D. J.; SCHMIDT, O. G. Three-dimensional chemical sensors based on rolled-up hybrid nanomembranes. **RSC Advances**, v. 4, n. 14, p. 9723-9729, 2014.
136. VICENTINI, R.; HORTA, M. A. C.; LABORDA, P.; CRUCCELLO, A.; FREITAS, S.; KUROSHU, R. M.; POLIKARPOV, I.; PRADELLA, J. G. C.; SOUZA, A. P. Transcriptome profile of *Trichoderma harzianum* IOC-3844 induced by sugarcane bagasse. **PLoS One**, v. 9, n. 2, p. e88689, 2014.

137. VIEIRA, J. P. F.; IENCZAK, J. L.; ROSSEL, C.E.V.; PRADELLA, J. G. C.; FRANCO, T. T. Microbial lipid production: screening with yeasts grown on Brazilian molasses. **Biotechnology Letters**, v. 36, n. 12, p. 2433-2442, 2014.
138. VIOL, L. C. S.; RAPHAEL, E.; BETTINI, J.; FERRARI, J. L.; SCHIAVON, M. A. A simple strategy to prepare colloidal Cu-doped ZnSe(S) green emitter nanocrystals in aqueous media. **Particle & Particle System Characterization**, v. 31, n. 10, p. 1084-1090, 2014.
139. WALTER, A.; GALDOS, M. V.; SCARPARE, F. V.; LEAL, M. R. L. V.; SEABRA, J.E. A.; CUNHA, M.P.; PICOLI, M. C. A.; OLIVEIRA, C. O. F. Brazilian sugarcane ethanol: developments so far and challenges for the future. **Wiley Interdisciplinary Reviews-Energy and Environment**, v. 3, n. 1, p. 70-92, 2014.
140. WINCK, F. V.; BELLONI, M.; PAULETTI, B. A.; ZANELLA, J. L.; DOMINGUES, R. R.; SHERMAN, N. E.; PAES LEME, A. F. Phosphoproteome analysis reveals differences in phosphosite profiles between tumorigenic and non-tumorigenic epithelial cells. **Journal of Proteomics**, v. 96, p. 67-81, 2014.
141. WONG, S. G.; DESSEN, A. Structure of a bacterial alpha(2)-macroglobulin reveals mimicry of eukaryotic innate immunity. **Nature Communications**, v. 5, p. 4917, 2014.
142. YAMASHIRO, E. T.; OLIVEIRA, A. K.; KITANO, E. S.; MENEZES, M. C.; JUNQUEIRA-DE-AZEVEDO, I. L. M.; PAES LEME, A. F.; SERRANO, S. M. T. Proteoforms of the platelet-aggregating enzyme PA-BJ, a serine proteinase from *Bothrops jararaca* venom. **Biochimica et Biophysica Acta. Proteins and Proteomics**, v. 1844, n.12, p. 2068-2076, 2014.

Teses e Dissertações

1. ALMEIDA, G. C. **Impacto de fótons e elétrons em moléculas orgânicas oxigenadas: relevância para os modelos astroquímicos**. 2014. 212 f. Tese (Doutorado em Ciências- Química) – Departamento de Engenharia Química, Universidade Federal do Rio de Janeiro, Rio de Janeiro.
2. ALVES, W. **Síntese e funcionalização de nanotubos de titanato com nanopartículas de ouro para o desenvolvimento de dispositivos bioeletrônicos**. 2014. 112 f. Tese (Doutorado em Ciência e Materiais Avançados) – Pós Graduação em Nanociências e Materiais Avançados, Universidade Federal do ABC, Santo André.
3. ARAGÃO, A. Z. B. **A tioredoxina-1 é uma nova parceira de interação do domínio citoplasmático da ADAM17 e participa da sua modulação**. 2014. 80 f. Tese (Doutorado em Biologia Molecular e Funcional) - Instituto de Biologia, Universidade Estadual de Campinas, Campinas.
4. ARAUJO, P. P. **Encapsulamento de nanopartículas magnéticas à base de maghemita em vermiculita expandida**. 2014. 173 f. Tese (Doutorado em Física) - Instituto de Física, Universidade de Brasília, Brasília.
5. ASCENÇÃO, C. F. R. **Estudo das vias de sinalização celular que impactam na atividade da enzima glutaminase**. 2014, 123 f. Dissertação (Mestrado em Genética e Biologia Molecular) - Instituto de Biologia, Universidade Estadual de Campinas, Campinas.
6. BACANI, R. **Síntese e caracterização de nanocatalisadores de ZrO₂-CeO₂/ Ni para aplicação em ânodos de células a combustível de óxido sólido**. 2014. 193 f. Tese (Doutorado em Ciências) – Instituto de Física, Universidade de São Paulo, São Paulo.
7. BARBOSA, E. A. A. **Estudos estruturais em solução da cinase reguladora de splicing SRPK2 (Serine/Arginine-rich Protein-specific Kinase 2)**. 2014. 63 f. Dissertação (Mestrado em Bioquímica Agrícola) - Departamento de Bioquímica e Biologia Molecular, Universidade Federal de Viçosa, Viçosa.
8. BASEI, F. L. **Caracterização do perfil de interação da proteína humana Nek4 e sua contextualização funcional**. 2014, 251 f. Tese (Doutorado em Biologia Molecular e Funcional) - Instituto de Biologia, Universidade Estadual de Campinas, Campinas.
9. BETANCOURT, A. M. **Estudios fotoquímicos y electrónicos de especies con interés atmosférico**. 2014. 248 f. Tesis (Doctorado em Ciencias Exactas) - Facultad de Ciencias Exactas, Universidad Nacional de La Plata, Buenos Aires.
10. BÜCHLI, F. **Análise metaproteogenômica de comunidades bacterianas enriquecidas visando a bioprospecção de enzimas de interesse biotecnológico**. 2014. 103 f. Tese (Doutorado em

Biologia Molecular e Funcional) – Instituto de Biologia, Universidade Estadual de Campinas, Campinas.

11. CAMARGO, R. L. **Suplementação de taurina em animais desnutridos obesos: análise dos mecanismos moleculares da ação hipotalâmica da insulina e leptina e repercussões no metabolismo energético.** 2014. 137 f. Tese (Doutorado em Biologia Funcional e Molecular) - Instituto de Biologia Molecular, Universidade Estadual de Campinas, Campinas.
12. CARACCILO, N. **Empleo de dispersiones poliméricas en reactores para tratamiento e efluentes industriales.** 2014. 212 f. Tesis (Doctorado en Química) - Facultad de Ingeniería, Universidad de Buenos Aires, Buenos Aires.
13. CARAZZOLLE, M. F **Estudo de filmes ultrafinos de óxidos high k crescidos sobre semicondutores.** 2014. 103 f. Tese (Doutorado em Ciências) – Instituto de Física Gleb Wataghin, Universidade Estadual de Campinas, Campinas.
14. CARDOSO, T. F. **Avaliação socioeconômica e ambiental de sistemas de recolhimento e uso da palha de cana-de-açúcar.** 2014. 177 f. Tese (Doutorado em Engenharia Agrícola) – Faculdade de Engenharia Agrícola, Universidade Estadual de Campinas, Campinas.
15. CORBI, S. C. T. **Avaliação da expressão gênica e de lesões no DNA de indivíduos portadores de diabetes mellitus tipo 2, dislipidemia e periodontite.** 2014. 182 f. Tese (Doutorado em Odontologia) – Faculdade de Odontologia, Universidade Estadual Paulista, Araraquara.
16. CORDEIRO, I. B. **Estudos proteômicos revelam um novo papel da proteína FAK na regulação do splicing do mRNA.** 2014. 229 f. Tese (Doutorado em Biologia Molecular e Funcional) – Instituto de Biologia, Universidade Estadual de Campinas, Campinas.
17. COSTA, D. DA S. **Projeto e construção de uma câmara para estudos por GISAXS a altas temperaturas e estudo in situ por GISAXS da cinética de crescimento de nanopartículas em filme fino de SiO₂-Co depositado sobre Si.** 2014. 92 f. Dissertação (Mestrado em Ciência e Tecnologia de Filmes Finos, Superfícies e Interfaces) - Engenharia e Ciência dos Materiais, Universidade Federal do Paraná, Curitiba.
18. CRUZ, F. T. **Avaliação do catalisador CTAMCM-41, modificados por acrilatos na transesterificação de monoésteres.** 2014, 160 f. Tese (Doutorado em Engenharia Química) – Engenharia Química, Universidade de São Paulo, São Carlos.
19. DA SILVA, A. M. **Espectroscopia eletrônica de vácuo em soluções aquosas .** 2014. 125 f. Tese (Doutorado em Física) – Instituto de Física, Universidade de Brasília, Brasília.

20. DA SILVA, L. S. **Síntese e caracterização de nanopartículas de cobalto impregnadas em SBA-15 visando à síntese de Fischer-Tropsch**. 2014. 113 f. Dissertação (Mestrado em Engenharia Química) – Departamento de Engenharia Química, Universidade Estadual de Maringá, Maringá.
21. FARIAS, M. A. **Uso de copolímeros em bloco na modificação de superfície de nanopartículas de prata e de sílica para preparação de nanocompósitos poliméricos**. 2014. 172 f. Tese (Doutorado em Ciências) – Instituto de Química, Universidade Estadual de Campinas, Campinas.
22. FERREIRA NETO, E. P. **Filmes híbridos fotocrômicos de Ormosil-fosfotungstato dopados com os cátions divalentes Zn²⁺, Mg²⁺, Ca²⁺, Sr²⁺ e Ba²⁺**. 2014. 85 f. Dissertação (Mestrado em Ciências) – Escola de Engenharia de São Carlos, Universidade de São Paulo, São Carlos.
23. FRANCO, M. W. **Avaliação da qualidade ambiental no entorno de áreas de mineração e análise da exposição da cianobactéria *Synechococcus nidulans* a oxianions de arsênio**. 2014. 111 f. Tese (Doutorado em Ciências) – Programa de Pós-Graduação em Ecologia, Conservação e Manejo da Vida Silvestre, Universidade Federal de Minas Gerais, Belo Horizonte.
24. GÓMEZ ESLAVA, G. R. **Separação de fases em manganitas: correlação com as propriedades estruturais**. 2014. 168 f. Tese (Doutorado em Ciências- Física) – Instituto de Física, Universidade Federal do Rio de Janeiro, Rio de Janeiro.
25. GRILLO, R. **Nanopartículas de quitosana/tripolifosfato como sistema de liberação para o herbicida Paraquat: preparo, caracterização, interação com substâncias húmicas e avaliação da atividade biológica**. 2014. 156 f. Tese (Doutorado em Biologia Molecular e Funcional) – Instituto de Biologia, Universidade Estadual de Campinas, Campinas.
26. JACOB, J. M. **Efeito da adição de cério em catalisadores Pt/C e PtSn/C para eletro-oxidação de etanol**. 2014. 80 f. Dissertação (Mestrado em Ciências) – Instituto de Química de São Carlos, Universidade de São Paulo, São Carlos.
27. KOKUMAI, T. M. **Impacto da funcionalização de nanobastões de céria na reação de deslocamento gás-água**. 2014. 63 f. Dissertação (Mestrado em Química) – Instituto de Química, Universidade Estadual de Campinas, Campinas.
28. LEAL, G. F. **Conversão catalítica de celulose utilizando catalisadores de carbeto de tungstênio suportado em carvão ativo e promovido por paládio**. 2014. Dissertação (Mestrado em Química) – Instituto de Química, Universidade de São Paulo, São Carlos.
29. LIRA, N. P. V. **Expressão, purificação e ensaio de atividade dos domínios DUF442 E ETHE1 da proteína Blh DE *Xylella fastidiosa* E *Agrobacterium tumefaciens***. 2014. 84 f. Dissertação (Mestrado em Genética e Biologia Molecular) - Instituto de Biologia, Universidade Estadual de Campinas, Campinas.

30. LIRA, R. C. **Obtenção de formulações de biofertilizantes de liberação controlada usando ligninas de bagaço e palha de cana-de-açúcar como matriz.** 2014. 68 f. Dissertação (Mestrado em Biotecnologia Industrial) – Biotecnologia Industrial, Universidade Federal de Pernambuco, Recife.
31. LOPES, S. C. A. **Lipossomas contendo ácido ursólico: desenvolvimento, caracterização química e físico-química e avaliação da citotoxicidade.** 2014. 150 f. Tese (Doutor em Ciências Farmacêuticas) – Faculdade de Farmácia, Universidade Federal de Minas Gerais, Belo Horizonte.
32. MALAGRINO, P. A. **Alterações no perfil metabólico em resposta a isquemia/reperfusão renal em modelo suíno de lesão renal aguda.** 2014. 145 f. Dissertação (Mestrado e Ciências) – Faculdade de Medicina, Universidade de São Paulo, São Paulo.
33. MANTILLA, T. F. **Efeitos do gel de TiF4 no controle da progressão da lesão de erosão em dentina humana: estudo in situ.** 2014. 82 f. Dissertação (Mestrado em Odontologia) – Faculdade de Odontologia, Universidade de São Paulo, São Paulo.
34. MARABEZI, K. **Deslignificação de bagaço de cana-de-açúcar: reações, isolamento e utilização de ligninas.** 2014. 240 f. Tese (Doutorado em Ciências Físico- Químicas) – Instituto de Química de São Carlos, Universidade de São Paulo, São Carlos.
35. MARINI, J. **Influência da geometria da nanocarga na estruturação, orientação e propriedades de filmes tubulares de nanocompósitos de PA6.** 2014. 281 f. Tese (Doutor em Ciência e Engenharia de Materiais) – Ciência e Engenharia de Materiais, Universidade Federal de São Carlos, São Carlos.
36. MUÑOZ, F. F. **Correlación entre las propiedades morfológicas, estructurales y catalíticas de soluciones sólidas nanoestructuradas de $Gd_xCe_{1-x}O_{2-x/2}$.** 2014. 174 f. Tesis (Doctorado en Química Inorgánica, Química Analítica y Química Física) – Facultad de Ciencias Exactas y Naturales, Universidad de Buenos Aires, Buenos Aires.
37. NASCIMENTO, A. F. Z. **Aspectos estruturais dos eventos moleculares associados à regulação e seletividade do transporte de cargas celulares pelas miosinas de classe V humanas.** 2014. 185 f. Tese (Doutorado em Biologia Molecular e Funcional) – Instituto de Biologia, Universidade Estadual de Campinas, Campinas.
38. NOVAIS, S. M. V. **Caracterização estrutural e óptica do composto NaYP2O7 dopado com terras-raras.** 2014. 113 f. Tese (Doutorado em Física) – Departamento de Física, Universidade Federal de Sergipe, São Cristóvão.
39. OLIVEIRA, A. D. **Desenvolvimento e caracterização de nanocompósitos de blendas de PA6/AES compatibilizados com copolímero acrílico.** 2014. Tese (Doutorado em Engenharia de Materiais) – Departamento do Engenharia de Materiais, Universidade Federal de São Carlos, São Carlos.

40. OLIVEIRA, D. X. **Estudo da formação de micelas e microemulsões contendo Nifedipina: influência das fases na estrutura dos sistemas.** 2014. 92 f. Dissertação (Mestrado em Química) – Instituto de Química, Universidade Federal de Sergipe, São Cristóvão.
41. OLIVEIRA, V. M. C. A. **Estudo dos fenômenos da fluência, corrosão e oxidação isotérmica na liga Ti-6Al-4V submetida aos revestimentos de TiN e TiAlN depositados pela técnica de PVD assistida por plasma.** 2014. 150 f. Tese (Doutorado em Ciências) – Escola de Engenharia de Lorena, Universidade de São Paulo, Lorena.
42. PIAZZA, R. D. **Modificação de superfície de óxidos de ferro por dextrana derivatizada para aplicações em liberação de fármaco.** 2014. 101 f. Dissertação (Mestre em Ciências) – Instituto de Química, Universidade Estadual Paulista, Araraquara.
43. RIGHETTO, R. D. **Validação de heterogeneidade estrutural em dados de crio-me por comitês de agrupadores.** 2014. 225 f. Dissertação (Mestrado em Engenharia Elétrica) – Faculdade de Engenharia Elétrica e Computação, Universidade Estadual de Campinas, Campinas.
44. RIZZO PITON, M. **Síntese e caracterização do composto SrTi_{1-x}MnxO₃ nanoestruturado.** 2014. 75 f. Dissertação (Mestrado em Ciências e Engenharia de Materiais) – Escola de Engenharia de São Carlos, Universidade de São Paulo, São Carlos.
45. SEPULVEDA LANZIANO, C. A. **Avaliação de catalisadores mistos de titânia - zircônia na reação de isomerização da glicose à frutose e ajuste de parâmetros da cinética de reação.** 2014. Dissertação (Mestrado em Engenharia e Arquitetura) – Departamento de Engenharia e Arquitetura, Universidade Estadual de Campinas, Campinas.
46. SERRA, E. C. **Estudo do comportamento de oxidação em altas temperaturas do aço inoxidável ferrítico aisi 409, em atmosferas de argônio e ar sintético.** 2014. 53 f. Dissertação (Mestrado em Engenharia de Materiais) – Engenharia de Materiais, Instituto Federal de Educação, Ciência e Tecnologia, Teresina.
47. SILVA, B. C. **Estudo físico-químico das propriedades emulsificantes dos polissacarídeos de goma de acácia-negra oriunda de plantações brasileiras.** 2014. 64 f. Dissertação (Mestrado em Química) – Instituto de Química, Universidade Federal do Paraná, Curitiba.
48. SILVA, L. L. **Síntese da sílica MCM-41 usando um surfactante catiônico polimerizável e avaliação na transesterificação catalítica.** 2014. 146 f. Dissertação (Mestrado em Reatores Químicos Heterogêneos e Catálise) – Centro de Ciências Exatas e Tecnologia, São Carlos.
49. SILVA, M. S. **Estresse oxidativo em *Leishmania amazonensis*: do encurtamento dos telômeros ao deslocamento de LaRPA-1 do complexo telomérico.** 2014. 120 f. Tese (Doutorado em Genética e Biologia Molecular) – Instituto de Biologia Molecular, Universidade Estadual de Campinas, Campinas.

50. SILVA, V. F. N. **Avaliação de parâmetros experimentais do fracionamento do bagaço de cana-de-açúcar na obtenção de etanol celulósico e lignina**. 2014. Tese (Doutorado em Biotecnologia Industrial) – Departamento de Biotecnologia Industrial, Universidade de São Paulo, Lorena.
51. TEIXEIRA, V. DE C. **Síntese e caracterização de cintiladores de aluminossilicatos nanoestruturados, dopados com Ce³⁺, Eu³⁺ e Mn²⁺**. 2014. 208 f. Tese (Doutorado em Ciência e Engenharia de Materiais) – Ciência e Engenharia de Materiais, Universidade Federal de Sergipe, São Cristóvão.
52. TICIANELLI, J. S. **Uso de microarray para determinação da expressão gênica diferencial em oócitos *Bos Taurus Indicus* e *Bos Taurus Taurus* submetidos ao estresse térmico**. 2014. 136 f. Tese (Doutorado em Ciências Biológicas) – Instituto de Biociências, Universidade Estadual Paulista, Botucatu.
53. VIANA, A. J.C. **O fator de transcrição bZIP AtbZIP63 interage com o relógio circadiano e afeta a degradação do amido, impactando o crescimento e desenvolvimento de *Arabidopsis thaliana***. 2014. 153 f. Tese (Doutorado em Genética e Biologia Celular) – Instituto de Biologia, Universidade Estadual de Campinas, Campinas.
54. YONEDA, J. S. **Estudos biofísicos da interação entre a Na, K-ATPase e a subunidade gama, ATP, Na⁺, K⁺, DPPC, DPPE e colesterol**. 2014. 103 f. Tese (Doutorado em Ciências) – Faculdade de Filosofia Ciências e Letras, Universidade de São Paulo, Ribeirão Preto.

Ano 2013

1. AGUIAR, I. **Nano ingeniería del compuesto laminar Bil3 de aplicación tecnológica**. 2013. Tesis (Doctorado en Química) – Facultad de Química, Universidad de La Republica, Montevideo.
2. ALMEIDA, T. P. DE. **Estudo da aplicação de filmes automontados de PAH/PEDOT: PSSEM membranas de nafion®**. 2013. Dissertação (Mestrado em Física) – Instituto de Física Gleb Wataghin, Universidade Estadual de Campinas, Campinas.
3. ALVAREZ, T. M. **Desenvolvimento de uma biblioteca de enzimas a partir de metagenoma do solo**. 2013. Tese (Doutorado em Biologia Celular) – Instituto de Biologia, Universidade Estadual de Campinas, Campinas.
4. ANTUNES, J. E. **Novas quinazolininas 2, 4, 8-dissubstituídas com potencial atividade de inibição da quinase de adesão focal (FAK)**. 2013. 186 f. Tese (Doutorado em Farmacologia) – Faculdade de Ciências Médicas, Universidade Estadual de Campinas, Campinas.
5. ARAÚJO, J. A. de. **Propriedades da sílica CTA-MCM-41 contendo metacrilatos e seu emprego na transesterificação de monoéster**. 2013. Tese (Doutorado em Engenharia Química) – Centro de Ciências Exatas e Tecnologia, Universidade Federal de São Carlos, São Carlos.

6. ARINS, A. W. **Filmes finos de ligas binárias Mn-Ga crescidos pela técnica de epitaxia por feixe molecular sobre GaAs (111)B**. 2013. 117 f. Tese (Doutorado em Engenharia e Ciência dos Materiais) – Setor de Tecnologia, Universidade Federal do Paraná, Curitiba.
7. ATEHORTUA, J. D. E. **Transformações de fase associadas ao processamento termomecânico do aço inoxidável supermartensítico 12Cr/6Ni/2Mo/0,1Ti**. 2013. 141 f. Dissertação (Mestrado em Engenharia dos Materiais) – Faculdade de Engenharia dos Materiais, Universidade Estadual de Campinas, Campinas.
8. BARSOTTINI, M. R. O. **Estudos funcionais de proteínas cerato-plataninas e necrosis- and ethylene-inducing proteins do fungo causador da vassoura-de-bruxa do cacaeiro, *Monilophthora perniciosa***. 2013. Dissertação - (Mestrado em Genética e Biologia Molecular) – Instituto de Biologia, Universidade Estadual de Campinas, Campinas.
9. BATALHA, J. A. F. L. **Desenvolvimento de membranas de poliarileno contendo líquido iônico prótico para aplicação em células a combustível anídras**. 2013. Dissertação (Mestrado em Engenharia Química) - Instituto de Macromoléculas Professora Eloisa Mano, Universidade Federal do Rio de Janeiro, Rio de Janeiro.
10. BAZONI, R. F. **Caracterização de camadas de TiO₂:Al₂O₃ por refletividade de raios-X**. 2013. 67 f. Dissertação (Mestrado em Ciência) – Centro de Ciências Exatas e Tecnológicas, Universidade Federal de Viçosa. Viçosa.
11. BERNARDO, P. L. **Propriedade estrutural, magnética e térmica de Perovskitas duplas com Ru**. 2013. Tese (Doutorado em Física Aplicada) – Departamento de Física, Universidade do Estado do Rio de Janeiro, Rio de Janeiro.
12. BOITA, J. **Estudos por espectroscopia de absorção de raios X in situ da formação e reatividade de nanopartículas mono- e bi- metálicas: Pt, Cu, e Pt- Cu**. 2013. 152 f. Tese (Doutorado em Física) – Instituto de Física, Universidade Federal do Rio Grande do Sul, Porto Alegre.
13. BORGES, A. L. B. **Caracterização da superexpressão do fator sigma ECF sigma X em *Pseudomonas aeruginosa* PA14**. 2013. 106 f. Tese (Doutorado em Ciências – Bioquímica) – Instituto de Química, Universidade de São Paulo, São Paulo.
14. BRAGA, L. E. DE P. **Fabricação de microssistemas eletroforéticos integrados com detecção condutométrica sem contato capacitivamente acoplada**. 2013. 127 f. Dissertação (Mestrado em Química) – Instituto de Química, Universidade Federal de Goiás, Goiânia.
15. BRAGA, M. A. **Preparo, caracterização e avaliação farmacológica de complexos de clonidina em hidroxipropil-β-ciclodextrina para uso associado com bupivacaína**. 2013. 74 f. Dissertação (Mestrado em Biociências e Tecnologia de Produtos Bioativos) – Instituto de Biologia, Universidade Estadual de Campinas, Campinas.

16. BRENELLI, L. B. **Desenvolvimento de estratégias para produção biotecnológica de ácido ferúlico e xilooligossacarídeos a partir do bagaço de cana-de-açúcar.** 2013. 134 f. Dissertação (Mestrado em Biologia Celular) – Instituto de Biologia, Universidade Estadual de Campinas, Campinas.
17. CALDAS, P. C. P. **Estudo das propriedades estruturais dos catalisadores de Cu e Cu-Ce suportados em alumina aplicados à reação de deslocamento gás-água.** 2013. 72 f. Dissertação (Mestrado em Engenharia Química) – Departamento de Engenharia Química, Universidade Federal de São Carlos, São Carlos.
18. CAMPISANO, I. S. P. **Influência do suporte na conversão de etanol em produtos de interesse para a indústria química empregando catalisadores à base de cobre.** 2013. 146 f. Tese (Doutorado em Engenharia Química) – Engenharia Química, COPPE, Universidade Federal do Rio de Janeiro, Rio de Janeiro.
19. CAMPOS, M. **Investigação das fases formadas na superfície do aço inoxidável AISI 316L nitretado a plasma.** 2013. Tese (Doutorado em Física) – Centro de Ciências Exatas e de Tecnologia, Universidade Federal de São Carlos, São Carlos.
20. CARNIELLI, C. M. **Análise proteômica diferencial de proteínas superficiais da membrana de *Xanthomonas spp.* em interação com hospedeiro cítrico.** 2013. 73 f. Dissertação (Mestrado em Genética Evolutiva e Biologia Molecular) – Centro de Ciências Biológicas e da Saúde, Universidade Federal de São Carlos, São Carlos.
21. CARVALHO, F. A. O. **Estudo da estabilidade oligomérica da hemoglobina extracelular gigante de *Glossoscolex paulistus* (HbGp) na presença de agentes caotrópicos e caracterização das subunidades.** 2013. 131 f. Tese (Doutorado em Físico-Química) – Instituto de Química de São Carlos, Universidade de São Paulo, São Carlos.
22. CARVALHO, J. W. P. **Estudo da estabilidade térmica da hemoglobina extracelular gigante de *Glossoscolex paulistus* (HbGp): efeitos do estado de oxidação do ferro do grupo heme, pH e presença de surfactante.** 2013. 106 f. Tese (Doutorado em Físico-Química) – Instituto de Química de São Carlos, Universidade de São Paulo, São Carlos.
23. CASTEGNARO, M. V. **Desenvolvimento e caracterização de nanopartículas de PdxCu1-x (x=0,5 e 1) para uso decomposição catalítica do NO.** 2013. 88 f. Dissertação (Mestrado em Física) – Instituto de Física, Universidade Federal do Rio Grande do Sul, Porto Alegre.
24. CHAGAS, L. H. **Produção, caracterização e determinação de propriedades físico-químicas de catalisadores e suportes utilizados em processos de hidrotreamento.** 2013. 201 f. Tese (Doutorado em Química) – Instituto de Química, Universidade de Juiz de Fora, Juiz de Fora.
25. CHARONE, S. **Análise proteômica da matriz do esmalte nos estágios de secreção e maturação em camundongos susceptíveis ou resistentes à fluorose dentária, expostos cronicamente ao**

- fluoreto através da água de beber**. 2013. 241 f. Tese (Doutorado em Ciências) – Faculdade de Odontologia de Bauru, Universidade de São Paulo, Bauru.
26. COSTA, F. N. **Determinação estrutural de derivados N-acilidrazônicos, candidatos a protótipos de fármacos, com o uso da difração de raios-X por policristais**. 2013. 153 f. Tese (Doutorado em Ciências) – COPPE, Engenharia Nuclear, Universidade Federal do Rio de Janeiro, Rio de Janeiro
27. DAIKUZONO, C. M. **Fabricação de filmes ultrafinos no interior de microcanais**. 2013, 78 f. Dissertação (Mestrado em Ciência dos Materiais) – Departamento do Engenharia de Materiais, Universidade Federal de São Carlos, São Carlos.
28. DANTAS, C. A. R. **Fabricação de dispositivos para aplicação de conceitos de microfluídica a uma “língua eletrônica”**. 2013. 97 f. Tese (Doutorado em Ciência e Tecnologia de Materiais) – Faculdade de Ciências e Tecnologia, Universidade Estadual Paulista, Sorocaba.
29. DE PAULA, R. G. **Schistosoma mansoni: caracterização do perfil de resposta aos estresses oxidativo, térmico e químico**. 2013. Dissertação (Mestrado em Medicina) – Faculdade de Medicina de Ribeirão Preto, Universidade de São Paulo, Ribeirão Preto.
30. DIAS, B. A. **Caracterização funcional e estrutural de uma β -glucanase GH12 de *Aspergillus terreus***. 2013. 90 f. Tese (Doutorado em Microbiologia) – Universidade Estadual Paulista “Júlio de Mesquita Filho”, São José do Rio Preto.
31. DIAS, G. S. **Estudo e determinação de relações estrutura-propriedades do composto TbMnO₃**. 2013. 159 f. Tese (Doutorado em Física) – Instituto de Física, Universidade Estadual de Maringá, Maringá.
32. DUTRA FILHO, J. C. **Membranas de poli (álcool vinílico) para aplicações em células a combustível via etanol direto a temperatura ambiente**. 2013. 141 f. Tese (Doutorado em Ciências e Tecnologia de Polímeros) – Instituto de Macromoléculas Professora Eloisa Mano, Universidade Federal do Rio de Janeiro, Rio de Janeiro.
33. EISING, R. **Preparation of silver nanoparticles stabilized by dextran and oligosaccharides-based amphiphiles for application in catalysis and sensors**. 2013. 137 f. Tese (Doutorado em Química) – Departamento de Química, Universidade Federal de Santa Catarina, Florianópolis.
34. FALA, A. M. **Expressão e purificação heteróloga do fator de transcrição induzido por hipóxia HIF-1 humano visando estudos estruturais e bioquímicos e estudos estruturais das proil-hidroxilases (PHDs) humanas, isoformas 1 e 3, em complexo com inibidores**. 2013. 142 f. Dissertação (Mestrado em Clínica Médica) – Faculdade de Ciências Médicas, Universidade Estadual de Campinas, Campinas.

35. FÁVERO-RETTO, M. P. **Comparabilidade estrutural de produtos biológicos: insulina como modelo**. 2013. 156 f. Tese (Doutorado em Ciências Farmacêuticas) – Faculdade de Farmácia, Universidade Federal do Rio de Janeiro, Rio de Janeiro.
36. FERREIRA, A. P. S. **Entendo as diferenças cinéticas entre as isoformas kidney-type glutaminase e glutaminase C**. 2013. Dissertação (Mestrado em Biociências e Tecnologia de Produtos Bioativos) – Instituto de Biologia, Universidade Estadual de Campinas, Campinas.
37. FERREIRA, W. H. **Materiais híbridos nanoestruturados de amido termoplástico / poli(ácido láctico) / argila organofílica**. 2013. 98 f. Dissertação (Mestrado em Ciência e Tecnologia de Polímeros) – Instituto de Macromoléculas Professora Eloisa Mano, Universidade Federal do Rio de Janeiro, Rio de Janeiro.
38. FLORES, I. L. **Potenciais biomarcadores para o carcinoma espinocelular oral identificados por microdissecação a laser associada à proteômica baseada em espectrometria de massas**. 2013. 153 f. Dissertação (Mestrado em Estomatopatologia) – Faculdade de Odontologia de Piracicaba, Universidade Estadual de Campinas, Piracicaba.
39. FONSECA, E. B. **Simulação física do processo de soldagem por atrito com pino não consumível do aço inoxidável duplex UNS S32205**. 2013. 96 f. Dissertação (Mestrado em Engenharia dos Materiais) – Faculdade de Engenharia dos Materiais, Universidade Estadual de Campinas, Campinas.
40. FURLAN, A. S. **Estudos funcionais e estruturais de proteínas envolvidas no desenvolvimento e sinalização nervosa: FEZ1, SCOC e RARA**. 2013. Dissertação (Mestrado em Biologia Celular) – Instituto de Biologia, Universidade Estadual de Campinas, Campinas.
41. GALLO, I. B. C. **Preparação e teste de nanocatalisadores PtFeNi/C e PtFeCo/C para redução de oxigênio**. 2013. 103 f. Dissertação (Mestrado em Química) – Instituto de Química, Universidade Estadual Paulista “Júlio de Mesquita Filho”, Araraquara.
42. GOMES, E. R. M. **Caracterização bioquímica e celular da glutaminase isoforma kidney-type com seus parceiros de interação**. 2013. 107 f. Dissertação - (Mestrado em Clínica Médica) – Faculdade de Ciências Médicas, Universidade Estadual de Campinas, Campinas.
43. GONÇALVES, K. M. **Relação estrutura-atividade de lipases comerciais livres e em micelas reversas**. 2013. 125 f. Tese (Doutorado em Ciências Farmacêuticas) – Faculdade de Farmácia, Universidade Federal do Rio de Janeiro, Rio de Janeiro.
44. GORGESKI, A. **Cinéticas de formação e crescimento de nanopartículas de Pb no vidro 52PbO - 45B2O3 - 3SnO2**. 2013. 90 f. Dissertação (Mestrado em Ciências) – Departamento de Física, Universidade Federal do Paraná, Curitiba.

45. GUEDES, E. B. **Espectroscopia e estrutura eletrônica do composto SrRuO₃**. 2013. 79 f. Dissertação (Mestrado em Física) - Setor de Ciências Exatas, Universidade Federal do Paraná, Curitiba.
46. GUGLIELMI, D. A. S. **Desenvolvimento de sistemas líquido cristalinos contendo Ac-WAHx-KTTKS para o tratamento do envelhecimento cutâneo**. 2013. 114 f. Dissertação (Mestrado em Ciências Farmacêuticas) – Faculdade de Ciências Farmacêuticas, Universidade Estadual Paulista "Julio De Mesquita Filho", Araraquara.
47. GUTIERREZ, V. S. **Catalizadores de cobre, prata y oro soportados sobre óxidos mesoporosos y óxidos reducibles. Aplicación en reacciones de hidrogenación y de oxidación de interés en química fina**. 2013. Tesis (Doctorado en Química) – Departamento de Química, Universidad Nacional del Sur, Buenos Aires.
48. HOFFMAM, Z. B. **Estudos funcionais e estruturais de hemicelulases para potencial aplicação biotecnológica**. 2013. 66 f. Dissertação (Mestrado em Biologia Celular) – Instituto de Biologia, Universidade Estadual de Campinas, Campinas.
49. HUACO, F. D. T. **Caracterização dos efeitos locais e sistêmicos da metaloprotease BtaHF purificada a partir do veneno total de *Bothriopsis taeniata***. 2013. 124 f. Tese (Doutorado em Biologia Molecular e Funcional) – Instituto de Biologia, Universidade Estadual de Campinas, Campinas.
50. LAGE, M. H. M. B. **Crescimento e caracterização de pontos quânticos de CdMnTe**. 2013. 45 f. Dissertação (Mestrado em Ciência) – Centro de Ciências Exatas e Tecnológicas, Universidade Federal de Viçosa, Viçosa.
51. LIMA, R. J. S. **Efeito de agentes quelantes no processo de crescimento de nanopartículas de α -Fe₂O₃**. 2013. 121 f. Tese (Doutorado em Física) – Centro de Ciências Exatas e Tecnologia, Universidade Federal de Sergipe, São Cristóvão.
52. LUCON, D. R. **Perfil de microRNAs diferencialmente expressos em meduloblastoma e anencefalia**. 2013. 88 f. Tese (Doutorado Ciências Médicas) – Faculdade de Ciências Médicas, Universidade Estadual de Campinas, Campinas.
53. MAHL, C. R. A. **Atuação da quitosana como adsorvente de íons cobre em presença do peptídeo β -amilóide ou histidina**. 2013. 94 f. Dissertação (Mestrado em Engenharia Química) – Faculdade de Engenharia Química, Universidade Estadual de Campinas, Campinas.
54. MARIANO NETO, F. **Potencial de aplicação de sílica mesoporosa ordenada em transporte**. 2013. 137 f. Tese (Doutorado em Ciências) – Instituto de Física, Universidade de São Paulo, São Paulo.

55. MATOS, I. O. **Intercalação de metaloproteínas de cobre em nanotubos de peptídeo no desenvolvimento de sensores biomiméticos**. 2013. 111 f. Tese (Doutorado em Ciências e Tecnologia) – Centro de Ciências Naturais e Humanas, Universidade Federal do ABC, Santo André.
56. MAZIERO, P. **Estudos topoquímicos durante obtenção de etanol a partir de celulose de bagaço e palha de cana-de-açúcar**. 2013. 170 f. Tese (Doutorado em Ciências) – Escola de Engenharia de Lorena, Universidade de São Paulo, Lorena.
57. MELO, E. B. **Influência das transformações de fase a 475°C e a 650°C no comportamento eletroquímico do aço UNS S31803**. 2013. 183 f. Tese (Doutorado em Materiais e Processos de Fabricação) – Instituto Tecnológico de Aeronáutica, São José dos Campos.
58. MENA, R. L. **Influência da deposição de filmes finos organossilicones na fotodegradação do polipropileno**. 2013. 93 f. Dissertação (Mestrado em Ciência dos Materiais) – Centro de Ciências e Tecnologias para Sustentabilidade, Universidade Federal de São Carlos, Sorocaba.
59. MILANI, R. **Redes de coordenação contendo íons lantanídeos: elucidação das propriedades morfológicas, estruturais e fotofísicas em função da temperatura**. 2013. Tese (Doutorado em Ciência dos Materiais) – Centro de Ciências Exatas e da Natureza, Universidade Federal de Pernambuco, Recife.
60. MIYAMOTO, K. N. **Análise proteômica comparativa de *Listera monocytogenes* exposta a concentrações subletais de nisina**. 2013. 73 f. Dissertação (Mestrado em Biologia Molecular e Celular) – Centro de Biotecnologia, Universidade Federal do Rio Grande do Sul, Porto Alegre.
61. MOFATTO, L. S. **Análise estrutural e funcional de sequências de DNA com potencial de formação de G-quadruplex**. 2013. 94 f. Tese (Doutorado em Biologia Buco-Dental) – Faculdade de Odontologia de Piracicaba, Universidade Estadual de Campinas, Piracicaba.
62. NAKAGOMI, F. **Efeitos da distribuição de cátions nas propriedades estruturais de nanopartículas quaternárias de $Zn_xMg_{1-x}Fe_{204}$ e $Zn_xCo_{1-x}Fe_{204}$** . 2013. 92 f. Tese (Doutorado em Física) – Instituto de Física, Universidade de Brasília, Brasília.
63. NASCIMENTO, N. DE M. **Avaliação da tenacidade à fratura de juntas soldadas por atrito com pino não consumível em aço inoxidável supermartensítico**. 2013. Dissertação (Mestrado em Engenharia Mecânica) – Faculdade de Engenharia Mecânica, Universidade Estadual de Campinas, Campinas.
64. NIKKUNI, F. R. **Estudo de eletrocatalisadores nanoestruturados de Pt/C e Pt-Co/C depositados em carbono de alta área superficial: efeitos morfológicos e composicionais frente à reação de redução de oxigênio**. 2013. 133 f. Tese (Doutorado em Ciências Físico-Química) – Instituto de Química de São Carlos, Universidade de São Paulo, São Carlos.

65. NOGUEIRA, N. A. S. **Síntese, caracterização e aplicação de nanopartículas de NiFe₂O₄ produzidas via método sol-gel protéico**. 2013. 111 f. Tese (Doutorado em Engenharia e Ciência dos Materiais) – Departamento de Engenharia Metalúrgica e de Materiais, Universidade Federal do Ceará, Fortaleza.
66. OLIVEIRA, K. A. **Ensaio bioanalítico em dispositivos fabricados em poliéster-toner**. 2013. 77 f. Dissertação (Mestrado em Química) – Instituto de Química, Universidade Federal de Goiás, Goiânia.
67. OSELIERO FILHO, P. L. **Estudo estrutural e termodinâmico de sistemas auto-organizados: micelas em solução**. 2013. 112 f. Dissertação (Mestrado em Ciências) – Instituto de Física, Universidade de São Paulo, São Paulo.
68. PAIVA, J. H. **Estrutura, função e estabilidade de hidrolases glicosídicas pertencentes à família GH5 com potencial aplicação na conversão de biomassa lignocelulósica em açúcares fermentáveis**. 2013. 149 f. Tese (Doutorado em Biologia Celular) – Instituto de Biologia, Universidade Estadual de Campinas, Campinas.
69. PEREIRA, C. T. **Estudos funcionais e estruturais para a caracterização da via de captação e assimilação de sulfato em *Xanthomonas axonopodis* pv. citri**. 2013. 105 f. Dissertação (Mestrado em Biotecnologia) – Instituto de Ciências Biomédicas, Universidade de São Paulo, São Paulo.
70. RAMOS, B. M. C. **Análise estrutural e funcional das proteínas CsCyp (ciclofilina) e CsTdx (tioredoxina) e caracterização da interação entre a proteína PthA de *Xanthomonas axonopodis* pv. citri e uma cisteína protease de *Citrus Cinensis***. 2013. 161 f. Tese (Doutorado em Genética e Evolução) – Instituto de Biologia, Universidade Estadual de Campinas, Campinas.
71. RANZANI, A. T. **Estudos estruturais e funcionais da enzima glicose-6-fosfato desidrogenase**. 2013. 62 f. Dissertação (Mestrado em Biociências e Tecnologia de Produtos Bioativos) – Instituto de Biologia, Universidade Estadual de Campinas, Campinas.
72. RICCHI JR., R. A. **Micropilares de PVDF, microrreatores de PDMS e aceleração de reações sonoquímicas com o transdutor ultrassônico do polímero fluoreto de polivinilideno**. 2013. 141 f. Tese (Doutorado em Engenharia Química) – Faculdade de Engenharia Química, Universidade Estadual de Campinas, Campinas.
73. RIGHETTO, G. L. **SF2/ASF e SRPK2: relação entre a maquinária de splicing alternativo e o desenvolvimento da leucemia**. 2013. 61 f. Dissertação (Mestrado em Biologia Celular) – Instituto de Biologia, Universidade Estadual de Campinas, Campinas.
74. RODRIGUEZ FERNANDEZ, J. **Caracterização microestrutural de juntas de aço ASTM A516-liga de Ni 625 soldadas por atrito com pino não consumível**. 2013. 171 f. Tese (Doutorado em Engenharia Mecânica) – Faculdade de Engenharia Mecânica, Universidade Estadual de Campinas, Campinas.

75. ROSA, J. L. **Otimização dos parâmetros para obtenção de nanotubos em Ti-CP por anodização eletroquímica e aplicação na liga experimental Ti-35Nb-7Zr**. 2013. 100 f. Tese (Doutorado em Engenharia Mecânica) – Faculdade de Engenharia, Universidade Estadual Paulista, Guaratinguetá.
76. SANCHEZ, D. F. **Caracterização do arranjo estrutural de sistemas enterrados de nanopartículas pela técnica de MEIS**. 2013. 80 f. Tese (Doutorado em Física) – Instituto de Física, Universidade Federal do Rio Grande do Sul, Porto Alegre.
77. SANTOS, C. A. **Estudos estruturais e funcionais de proteínas relacionadas à patogenicidade de *Xylella fastidiosa***. 2013. 107 f. Tese (Doutorado em Genética e Biologia Molecular) – Instituto de Biologia, Universidade Estadual de Campinas, Campinas.
78. SANTOS, N. A. **Novas estratégias no estudo de eletro-oxidação de etanol: nanocatalisadores multimetálicos e análises dos produtos de reação**. 2013. Dissertação (Mestrado em Química) – Instituto de Química, Universidade Estadual Paulista, Araraquara.
79. SILVA, L. F. **Síntese e caracterização do composto SrTiO₃ e SrTi_{1-x}FexO₃ através do método hidrotermal assistido por microondas**. 2013. 181 f. Tese (Doutorado em Ciência e Engenharia de Materiais) – Escola de Engenharia de São Carlos, Universidade de São Paulo, São Carlos.
80. SILVA, L. I. **Un estudio de mezclas PHB/DGEBA, Epoxi/PHB y absorción de agua en una poliamida comercial**. 2013. Tesis (Doctorado en Física) – Instituto de Física dos Materiales, Universidad Nacional del Centro da Provincia Buenos Aires, Buenos Aires.
81. SILVA, M. E. C. **Avaliação do potencial quelante de ferro de hidrolisados protéicos de soro de leite obtidos com diferentes enzimas**. 2013. 80 f. Dissertação (Mestrado em Engenharia de Alimentos) – Faculdade de Engenharia de Alimentos, Universidade Estadual de Campinas, Campinas.
82. SILVA, R. F. DA. **Micro-/nanoestruturas de L-difenilalanina para transporte intracelular de agentes bioativos: caracterização, cinética de liberação e citotoxicidade**. 2013. Tese (Doutorado em Nanociências e Materiais Avançados) – Laboratório de Eletroquímica e Materiais Nanoestruturados, Universidade Federal do ABC, Santo André.
83. SILVA, V. H. C. **Caracterização estrutural e funcional das chaperonas Hsp100 e Hsp90 de *Saccharum spp. (cana de açúcar)***. 2013. 163 f. Tese (Doutorado em Biologia Funcional e Molecular) – Instituto de Biologia, Universidade Estadual de Campinas, Campinas.
84. SIMÕES, G. **Modificação estrutural de biomoléculas sulfuradas utilizando feixes de elétrons e caracterização espectroscópica na região de raios X**. 2013. 130 f. Tese (Doutorado em Ciências) – Instituto de Química, Universidade Federal do Rio de Janeiro, Rio de Janeiro.

85. SIQUEIRA JR., J. M. **Síntese e estudos estruturais de materiais inorgânicos para aplicação em dispositivos eletroquímicos**. 2013. 189 f. Tese (Doutorado em Ciências) – Instituto de Química, Universidade Federal do Rio de Janeiro, Rio de Janeiro.
86. SOUSA, M. A. **Estudo do fenômeno de exchange bias em bicamadas NiFe/IrMn e tricamadas NiFe/IrMn/Co**. 2013. 110 f. Tese (Doutorado em Física) – Instituto de Física, Universidade Federal de Goiás, Goiânia.
87. SOUZA, A. R. **Caracterização estrutural e biofísica de duas proteínas relacionadas: β -1,3-1,4-glicanase de *Bacillus subtilis* 168 e α -L-arabinofuranosidase termoestável de *Thermotoga petrophila* RKU-1**. 2013. 96 f. Dissertação (Mestrado em Física e Biofísica) – Universidade Estadual Paulista, Botucatu.
88. SOUZA, L. C. F. **Avaliação de metais em esgoto e lodo gerado em estações de tratamento, nos municípios de Jaguariúna e Campinas, empregando a fluorescência de raios X por reflexão total com radiação síncrotron (SR-TXRF)**. 2013. 356 f. Tese (Doutorado em Engenharia Civil) – Faculdade de Engenharia Civil, Arquitetura e Urbanismo, Universidade Estadual de Campinas, Campinas.
89. SOUZA, T. E. **Desenvolvimento e caracterização estrutural de óxidos magnéticos diluídos a partir da matriz de TiO₂**. 2013. Dissertação (Mestrado em Química) – Departamento de Química, Universidade Federal de Alfenas, Alfenas.
90. SUDANO, M. J. **Criotolerância de embriões *Bos Taurus Indicus* e *Bos Taurus Taurus* produzidos in vitro e in vivo**. 2013. 118 f. Tese (Doutorado em Medicina Veterinária) – Faculdade de Medicina Veterinária e Zootecnia, Universidade Estadual Paulista, Botucatu.
91. SUELA, J. **Crescimento e caracterização de filmes finos de fluoretos II-A sobre substrato de silício [111]**. 2013. 140 f. Tese (Doutorado em Ciências Espaciais) – Instituto Nacional de Pesquisas Espaciais, São José dos Campos.
92. THEODORO, M. C. **Soldagem por atrito com pino não-consumível em juntas dissimilares de aços inoxidáveis austenítico UNS S31603 e superduplex UNS S32750**. 2013. 97 f. Dissertação (Mestrado em Engenharia Mecânica) – Faculdade de Engenharia Mecânica, Universidade Estadual de Campinas, Campinas.
93. TOLEDO, M. A. S. **Tráfego intracelular de vetores não-virais: desenvolvimento de proteínas de fusão para transporte de DNA plasmidial através da interação com proteínas motoras**. 2013. 85 f. Tese (Doutorado em Genética e Biologia Molecular) – Instituto de Biologia, Universidade Estadual de Campinas, Campinas.
94. VARGAS, D. M. **Caracterização das proteínas 14-3zeta expressas na fase larval de *Echinococcus granulosus***. 2013. 84 f. Dissertação (Mestrado em Biologia Molecular e Celular) – Centro de Biotecnologia, Universidade Federal do Rio Grande do Sul, Porto Alegre.

95. VIALI, W. R. **Síntese e caracterização de nanopartículas magnéticas do tipo caroço@casca de co@Pd com propriedades para aplicações tecnológicas**. 2013. 117 f. Tese (Doutorado em Química) – Instituto de Química, Universidade Estadual Paulista, Araraquara.
96. VITORAZI, L. **Estruturas de associação de sais complexos de copolímeros em bloco e surfatantes, polieletrólitos e nanopartículas**. 2013. 140 f. Tese (Doutorado em Química) – Instituto de Química, Universidade Estadual de Campinas, Campinas.

Ano 2012

1. ACUÑA, L. M. **Conductores mixtos nanoestructurados para electrodos de celdas de combustible de óxido sólido de temperatura intermedia**. 2012. 205 f. Tesis (Doctorado en Ciencias Físicas) – Facultad de Ciencias Exactas y Naturales, Universidad de Buenos Aires Buenos Aires.
2. ALEGRIA, T. G. P. **Caracterização cinética e busca de inibidores de Ohr (Organic Hydroperoxide Resistance Protein) de *Xylella fastidiosa***. 2012. 117 f. Dissertação (Mestrado em Ciências - Biologia Genética) – Instituto de Biociências, Universidade de São Paulo.
3. ANTUNES, M. B. M. P. **Interação com alphaB-cristalina protege a FAK da degradação e promove a sobrevivência de miócitos cardíacos durante estresse mecânico**. 2012. 181 f. Tese (Doutorado em Ciências) – Faculdade de Ciências Médicas, Universidade Estadual de Campinas, Campinas.
4. AVANSINI, S. H. **O papel dos microRNAs nas displasias corticais focais**. 2012. 87 f. Dissertação (Mestrado em Fisiopatologia Médica) – Faculdade de Ciências Médicas, Universidade Estadual de Campinas, Campinas.
5. ÁVILA-NETO, C. N. **Sobre a estabilidade de catalisadores de cobalto suportados durante a reforma do etanol**. 2012. 169 f. Tese (Doutorado em Engenharia Química) – Centro de Ciências Exatas e de Tecnologia, Universidade Federal de São Carlos, São Carlos.
6. BALBINO, T. A. **Desenvolvimento de processo microfluídico para incorporação de DNA em lipossomas catiônicos destinados a terapia e vacinação gênica**. 2012. 141 f. Dissertação (Mestrado em Engenharia Química) – Departamento de Engenharia de Materiais e Bioprocessos, Universidade Estadual de Campinas, Campinas.
7. BELLETTINI, I. C. **Síntese de polietilenoiminas ramificadas decoradas com grupos hidrofóbicos e nucleosídeos e estudos de sua interação com dodecilsulfato de sódio e DNA**. 2012. 175 f. Tese (Doutorado em Química) – Centro de Ciências Físicas e Matemáticas, Universidade Federal de Santa Catarina, Florianópolis.

8. BERNINI, R. B. **Fotoabsorção e fragmentação iônica na borda 2p do enxofre das moléculas dimetilssulfeto (dms) e dimetildissulfeto (dmds)**. 2012. 154 f. Tese (Doutorado em Química) – Instituto de Química, Universidade Federal do Rio de Janeiro, Rio de Janeiro.
9. BORGES, R. J. **Estudos estruturais com fosfolipases A2 homólogas de veneno botrópico em presença de íons com importância funcional**. 2012. 112 f. Dissertação (Mestrado em Ciências Biológicas – Genética) – Departamento de Física e Biofísica, Universidade Estadual Paulista, Botucatu.
10. BRAGA, A. H. **Catalisadores bimetálicos de Co e Ni aplicados à reforma à vapor do etanol: propriedades de oxidação na resistência à deposição de carbono**. 2012. 117 f. Dissertação (Mestrado em Engenharia Química) – Departamento de Engenharia Química, Universidade Federal de São Carlos, São Carlos.
11. BRUXEL, F. **Nanoemulsões como sistemas de liberação de oligonucleotídeos anti-topoisomerase II de *Plasmodium falciparum***. 2012. 187 f. Tese (Doutorado em Ciências Farmacêuticas) – Faculdade de Farmácia, Universidade Federal do Rio Grande do Sul, Porto Alegre.
12. CAIRO, J. P. L. F. **Análise do digestoma do cupim inferior *Coptotermes gestroi* visando aplicação na produção de bioprodutos lignocelulósicos**. 2012. 171 f. Dissertação (Mestrado em Genética e Biologia Molecular) – Instituto de Biologia, Universidade Estadual de Campinas, Campinas.
13. CANEVARI, N. T. **Especiação redox de cromo em amostras de solos contaminados**. 2012. 59 f. Dissertação (Mestrado em Química) – Centro de Ciências Exatas e de Tecnologia, Universidade Federal de São Carlos, São Carlos.
14. CANEVAROLO, R. R. **Metabolômica da resistência ao metotrexato na leucemia linfóide aguda**. 2012. 124 f. Dissertação (Mestrado em Ciências Médicas) – Faculdade de Ciências Médicas, Universidade Estadual de Campinas, Campinas.
15. CARDOSO, A. C. **Regulação do fator de transcrição MEF2C pela quinase de adesão focal: implicações na homeostase dos cardiomiócitos cardiomyocytes**. 2012. 224 f. Tese (Doutorado em Fisiopatologia Médica) – Faculdade de Ciências Médicas, Universidade Estadual de Campinas, Campinas.
16. CARDOSO, L. N. B. **Sistemas de liberação de geleificação in situ para veiculação de siRNA: desenvolvimento, caracterização e estudos in vitro e in vivo em modelo animal**. 2012. 86 f. Dissertação (Mestrado em Ciências) – Faculdade de Ciências Médicas, Universidade de São Paulo, Ribeirão Preto.
17. CARVALHO, B. M. **A influência da flora intestinal e da esplenectomia na resistência à insulina induzida por obesidade**. 2012. 145 f. Tese (Doutorado em Ciências Médicas) – Faculdade de Ciências Médicas, Universidade Estadual de Campinas, Campinas.

18. CARVALHO, N. C. **Construção de uma nova geração de transdutores paramétricos para o detector de ondas gravitacionais Mario Schenberg**. 2012. 110 f. Dissertação (Mestrado em Astrofísica) – Instituto Nacional de Pesquisas Espaciais, São José dos Campos.
19. CASTAÑEDA-BUENO, M. **América Latina e o etanol de cana-de-açúcar: diagnóstico do ambiente sistêmico e dos fatores críticos competitivos**. 2012. 174 f. Tese (Doutorado em Genética e Biologia Molecular) – Instituto de Biologia, Universidade Estadual de Campinas, Campinas.
20. CELIS TORRES, L. J. DEL P. **Análise de indicadores socioeconômicos em municípios canavieiros: estudos de caso em São Paulo e Alagoas**. 2012. 112 f. Dissertação (Mestrado em Planejamento de Sistemas Energéticos) – Faculdade de Engenharia Mecânica, Universidade Estadual de Campinas, Campinas.
21. CEPPI, S.A. **Espectroscopía de emisión K β de rayos de alta resolución. Instrumentación y aplicaciones**. 2012. 102 f. Tesis (Doctorado en Física) - Facultad de Matemática, Astronomía y Física, Universidad Nacional de Córdoba, Córdoba.
22. COMPANHONI, M. V. P. **Produção e caracterização de zircônio nanocristalino e suas ligas processados por técnicas de deformação plástica severa e aplicação como biomaterial**. 2012. 207 f. Tese (Doutorado em Ciências dos Materiais) – Instituto Militar de Engenharia, Rio de Janeiro.
23. CORRADINI, P. G. **Efeito da adição de praseodímio em catalisadores de Pt e PtSn/C para eletro-oxidação de etanol**. 2012. 117 f. Dissertação (Mestrado em Química) – Instituto de Química, Universidade Federal de São Carlos, São Carlos.
24. CORTHEY, G. **Estudio de interfases metal-tiol en superficies planas y nanopartículas**. 2012. 203 f. Tesis (Doctorado en Ciencias Exactas) – Faculdade de Ciencias Exactas, Universidad Nacional de La Plata, Buenos Aires.
25. ELIAS, W. C. **Estudos metodológicos de nanopartículas catalíticas de Ag-PVP a partir da análise multivariada, aplicadas à catálise de redução de compostos nitroaromáticos**. 2012. 137 f. Dissertação (Mestrado em Química) – Departamento de Química, Universidade Federal de Santa Catarina, Florianópolis.
26. ESCOBAR RINCÓN, D. **Microestructura, esfuerzos residuales y dureza en películas delgadas de nitruro de titanio-circonio**. 2012. 96 f. Tesis (Maestría en Ciencia Física) – Laboratório de Física del Plasma, Universidad Nacional de Colombia, Manizales.
27. FARIA, B. F. **A influência das áreas de disposição de resíduos sólidos da cidade de Campinas, SP na qualidade das águas: determinação de metais empregando a fluorescência de raios X por reflexão total com radiação síncrotron**. 2012. 225 f. Tese (Doutorado em Engenharia Civil) – Faculdade de Engenharia Civil, Arquitetura e Urbanismo, Universidade Estadual de Campinas, Campinas.

28. FERNANDES, A. **Síntese e caracterização do composto SrTi_{1-x}Nb_xO₃ nanoestruturado**. 2012. 86 f. Dissertação (Mestrado em Ciências e Engenharia de Materiais) – Escola de Engenharia de São Carlos, Universidade de São Paulo, São Paulo.
29. FLORES-NASCIMENTO, M. C. **Identificação de proteínas diferencialmente expressas em pacientes com trombose venosa profunda**. 2012. 158 f. Tese (Doutorado em Fisiopatologia Médica) – Faculdade de Ciências Médicas, Universidade Estadual de Campinas, Campinas.
30. GONÇALVES, D. C. **Estudos iniciais de interações da HSP90 através da caracterização funcional de um transgênico e biofísica de uma co-chaperona**. 2012. 148 f. Dissertação (Mestrado em Biologia Funcional e Molecular) – Instituto de Biologia, Universidade Estadual de Campinas, Campinas.
31. GREIN, A. **Estudo de propriedades em solução e de superfície de sistemas polissacarídicos a partir de goma de acácia e goma de acácia/celulose bacteriana**. 2012. 90 f. Dissertação (Mestrado em Química) – Departamento de Química, Universidade Federal do Paraná, Curitiba.
32. HERMENEGILDO, T. F. **Soldagem por atrito com pino não consumível do aço de alta resistência ISO 3183 X80M**. 2012. 150 f. Tese (Doutorado em Engenharia Mecânica) – Faculdade de Engenharia Mecânica, Universidade Estadual de Campinas, Campinas.
33. JORGE, J. **Interação de complexos luminescentes com sílica mesoporosa**. 2012. 95 f. Dissertação (Mestrado em Química) – Departamento de Química, Universidade Federal de Mato Grosso do Sul, Campo Grande.
34. LEVY, I. K. **Estudios mecanísticos y cinéticos en el tratamiento de arsénico en solución acuosa por procesos fotoquímicos**. 2012. 218 f. Tesis (Doctorado en Química) – Facultad de Ciencias Exactas y Naturales, Universidad de Buenos Aires, Buenos Aires.
35. LIBERATO, M. S. **Síntese e caracterização de nanoestruturas peptídicas: estudos espectroscópicos e aplicações**. 2012. 135 f. Dissertação (Mestrado em Nanociências e Materiais Avançados) – Universidade Federal do ABC, Santo André.
36. LOPES, S. A. **Estudos de propriedades de não tecidos de polipropileno tratados por descarga corona e plasma de rádio frequência**. 2012. 155 f. Dissertação (Mestrado em Engenharia Química) – Faculdade de Engenharia Química, Universidade Estadual de Campinas, Campinas.
37. MARANGONI, V. S. **Estudo e desenvolvimento de nanocompósitos contendo nanopartículas de ouro conjugadas com biomoléculas: síntese e aplicações em nanome**. 2012. 116 f. Dissertação (Mestrado em Ciências) – Instituto de Física de São Carlos, Universidade de São Paulo, São Carlos.

38. MARCONDES, R. J. F. **Métodos para otimização de abertura dinâmica da nova fonte de luz síncrotron brasileira – Sirius**. 2012. 124 f. Dissertação (Mestrado em Física) – Instituto de Física Gleb Wataghin, Universidade Estadual de Campinas, Campinas.
39. MASSON, N. **Efeito da aplicação de flúor fosfato acidulado na composição proteica da película salivar formada sobre esmalte**. 2012. 32 f. Dissertação (Mestrado em Odontologia) – Faculdade de Odontologia de Piracicaba, Universidade Estadual de Campinas, Campinas.
40. MATOS, B. R. **Relação morfologia-propriedades elétricas de eletrólitos compósitos de nafion para célula a combustível de alta temperatura**. 2012. 147 f. Tese (Doutorado em Tecnologia Nuclear- Materiais) – Instituto de Pesquisas Energéticas e Nucleares, Universidade de São Paulo, São Paulo.
41. MELO, C. P. S. **Padronização da RMN para determinação precoce da resistência à quimioterapia na leucemia linfóide aguda infantil**. 2012. 95 f. Tese (Doutorado em Genética e Biologia Molecular) - Instituto de Biologia, Universidade Estadual de Campinas, Campinas.
42. MENDES, L. S. **Síntese de nanopartículas de sílica mesoporosa e aplicações como biomaterial**. 2012. 107 f. Dissertação (Mestre em Biotecnologia) – Instituto de Química, Universidade Estadual Paulista, Araraquara.
43. MIGUELETI, D. L. S. **A proteína FEZ1 e a formação dos núcleos multilobulados**. 2012. 86 f. Dissertação (Mestrado em Genética e Biologia Molecular) – Instituto de Biologia, Universidade Estadual de Campinas, Campinas.
44. MORAES, E. C. **Seleção de compostos como candidatos para a inibição da atividade de proteínas cinases humanas da família das Neks**. 2012. 66 f. Dissertação (Mestrado em Biologia Molecular e Funcional) – Instituto de Biologia, Universidade Estadual de Campinas, Campinas.
45. MORAIS, A. T. S. **Caracterização da interação entre a proteína NS5 do vírus da febre amarela e EIF3L**. 2012. 146 f. Tese (Doutorado em Microbiologia) – Instituto de Biociências, Letras e Ciências Exatas, Universidade Estadual Paulista, São José do Rio Preto.
46. MOTA, C. L. S. **Avaliação de soro sanguíneo de ovelhas tratadas com compostos bioativos usando espectrometria de raios-X**. 2012. 67 f. Tese (Doutorado em Energia Nuclear) – Programa de Energia Nuclear, COPPE, Universidade Federal do Rio de Janeiro, Rio de Janeiro.
47. NAKAMATSU, E. H. **Caracterização funcional e estrutural do sistema tiorredoxina mitocondrial de *Saccharomyces cerevisiae***. 2012. 51 f. Tese (Doutorado em Biologia) – Instituto de Biociências, Universidade de São Paulo, São Paulo.
48. NOREÑA, C. H. **Difusión y atrapamiento de hidrógeno en aceros martensítico- ferrítico con alto contenido de cromo**. 2012. 213 f. Tesis (Doctorado en Ciencia y Tecnología, Mención

- Materiales) – Instituto de Tecnología, Universidad Nacional de General San Martín, Buenos Aires.
49. OLIVEIRA, D. S. **Nanofios semicondutores: síntese e processos de formação.** 2012. 66 f. Dissertação (Mestrado em Física) – Instituto de Física Gleb Wataghin, Universidade Estadual de Campinas, Campinas.
 50. OLIVEIRA, J. **Mapas do espaço recíproco de camadas finas de CdTe/Si - o efeito da temperatura de crescimento e espessura.** 2012. 209 f. Tese (Doutorado em Física) – Instituto de Física, Universidade Federal de Viçosa, Viçosa.
 51. PAULI, M. de. **Estudos de multicamadas auto-organizadas de ácidos fosfônicos por difração dispersiva em energia.** 2012. 86 f. Dissertação (Mestrado em Física) – Instituto de Física Gleb Wataghin, Universidade Estadual de Campinas, Campinas.
 52. PINTO, A. S. **Investigações estruturais dos domínios funcionais das miosinas classes VIII e XI presentes em plantas.** 2012. 62 f. Dissertação (Mestrado em Biologia Funcional e Molecular) – Instituto de Biologia, Universidade Estadual de Campinas, Campinas.
 53. POLO, C. C. **Caracterização molecular de domínios funcionais de miosinas de *Drosophila melanogaster*.** 2012. 97 f. Dissertação (Mestrado em Biologia Funcional e Molecular) – Instituto de Biologia, Universidade Estadual de Campinas, Campinas.
 54. RAMIREZ, M. F. G. **Influência da microestrutura nas propriedades mecânicas e na fragilização por hidrogênio em um aço microligado.** 2012. 160 f. Tese (Doutorado em Engenharia) – Escola Politécnica de Engenharia Metalúrgica e de Materiais, Universidade de São Paulo, São Paulo.
 55. REIS, R. G. C. S. **Fotoluminescência de Eu/Tb e de complexos Eu/Tb com ligantes tta ou acac incorporados em sílica mesoporosa.** 2012. 61 f. Dissertação (Mestrado em Química) – Departamento de Química, Universidade Federal de Mato Grosso do Sul, Campo Grande.
 56. RIBEIRO, L. E. B. **Sensor químico baseado em microponete de impedância.** 2012. 100 f. Dissertação (Mestrado em Engenharia Elétrica) – Faculdade de Engenharia Elétrica e Computação, Universidade Estadual de Campinas, Campinas.
 57. RODRIGUES, L. C. V. **Preparação e desenvolvimento do mecanismo da luminescência persistente de materiais dopados com íons terras raras.** 2012. 207 f. Tese (Doutorado em Química) – Instituto de Química, Universidade de São Paulo, São Paulo.
 58. RODRIGUES, M. S. **Avaliação de cinzas de palha de cana-de-açúcar e sua utilização como adição mineral em matrizes cimentícias.** 2012. Tese (Doutorado em Engenharia Agrícola) – Faculdade de Engenharia Agrícola, Universidade Estadual de Campinas, Campinas.

59. ROSSI, A. L. **Biomíneralização: pesquisa fundamental e aplicações em engenharia de tecido ósseo**. 2012. 147 f. Tese (Doutorado em Ciências Morfológicas) – Instituto de Ciências Biomédicas, Universidade Federal do Rio de Janeiro, Rio de Janeiro.
60. SALES, E. M. **Estudos estruturais do processo de agregação entre proteínas amilóides em solução**. 2012. 98 f. Dissertação (Mestrado em Física) – Instituto de Física, Universidade de São Paulo, São Paulo.
61. SANTOS, K. O. **Nanopartículas de prata e prata-paládio estabilizadas pela polietilenoimina linear funcionalizada: formação, caracterização e aplicações catalíticas**. 2012. 153 f. Tese (Doutorado em Química) – Departamento de Química, Universidade Federal de Santa Catarina, Florianópolis.
62. SATO, A. G. **Propriedades eletrônicas e estruturais do Cu/ZrO₂ aplicadas à reação do etanol**. 2012. 209 f. Tese (Doutorado em Engenharia Química) – Centro de Ciências Exatas e de Tecnologia. Universidade Federal de São Carlos. São Carlos.
63. SILVA, D. A. T. **Produção e caracterização de filmes finos recobertos com albumina e fibronectina**. 2012. 116 f. Tese (Doutorado em Ciência e Engenharia de Materiais) – Centro de Ciências Exatas e de Tecnologia, Universidade Federal de São Carlos, São Carlos.
64. SILVA, G. C. **Development of nano-sized Mn₃O₄ magnetic composites: application in wastewater treatment**. 2012. 102 f. Tese (Doutorado em Engenharia Metalúrgica, Materiais e de Minas) – Departamento de Engenharia Metalúrgica e de Materiais, Universidade Federal de Minas Gerais, Belo Horizonte.
65. SILVA, I. R. **Estudos biofísicos da selenofosfato sintetase de *Escherichia coli* e investigação de seu papel na via de biossíntese de selenocisteínas**. 2012. 144 f. Dissertação (Mestrado em Ciências) – Instituto de Física de São Carlos, Universidade de São Paulo, São Carlos.
66. SILVA, K. P. **Estudos estruturais e funcionais da Hsp90 de *Leishmania braziliensis* e suas co-chaperonas p23**. 2012. 93 f. Tese (Doutorado em Ciências) – Instituto de Química de São Carlos, Universidade de São Paulo, São Carlos.
67. SIMIONI, M. **Investigação de fatores genéticos na etiologia de fendas orofaciais típicas**. 2012. 187 f. Tese (Doutorado em Ciências Médicas) – Faculdade de Ciências Médicas, Universidade Estadual de Campinas, Campinas.
68. SOPRANO, A. S. **Caracterização estrutural e funcional da proteína CsMAF1 de *Citrus sinensis*, parceira de interação do principal efetor tipo TAL de *Xanthomonas citri***. 2012. 145 f. Tese (Doutorado em Genética e Biologia Molecular) – Instituto de Biologia, Universidade Estadual de Campinas, Campinas.

69. SOUZA, B. S. **Preparação e atividade catalítica de agregados nanoestruturados de metais nobres estabilizados por surfactantes dipolares iônicos baseados no anel imidazol.** 2012. 138 f. Tese (Doutorado em Química) – Centro de Ciências Físicas e Matemáticas, Universidade Federal de Santa Catarina, Florianópolis.
70. TANAKA, H. K. **Fotoionização de moléculas de interesse biológico na região do ultravioleta de vácuo.** 2012. 78 f. Dissertação (Mestrado em Física) – Instituto de Física, Universidade Federal da Bahia, Salvador.
71. TORRES LÓPEZ, E. A. **Soldagem por atrito com pino não consumível de chapas finas do aço 1020 e da liga de alumínio 6063-T5.** 2012. 155 f. Tese (Doutorado em Engenharia Mecânica) – Faculdade de Engenharia Mecânica, Universidade Estadual de Campinas, Campinas.
72. VIEIRA, A. L. N. **Complexo de inclusão do anestésico local ropivacaína em ciclodextrina, encapsulado em lipossomas.** 2012. 98 f. Dissertação (Mestrado em Biologia Funcional e Molecular) – Instituto de Biologia, Universidade Estadual de Campinas, Campinas.
73. VIEIRA, K. O. **Preparação e caracterização de nanocompósitos coloidais de nanotubos de carbono e pontos quânticos de CdTe.** 2012. 64 f. Dissertação (Mestrado em Física e Química de Materiais) – Departamento de Ciências Naturais, Universidade Federal de São João Del-Rey. São João Del-Rey.
74. VILLAS BÔAS, M. B. **Efeito da polimerização por transglutaminase e da proteólise na estrutura e antigenicidade da β -lactoglobulina.** 2012. 159 f. Tese (Doutorado em Alimentos e Nutrição) – Faculdade de Engenharia de Alimentos, Universidade Estadual de Campinas, Campinas.
75. ZANDONADI, F. S. **Análise proteômica diferencial da fração periplasmática das estirpes A, B e C de *Xanthomonas spp.* que diferem na patogenicidade e espectro de citros hospedeiros.** 2012. 119 f. Dissertação (Mestrado em Biotecnologia) – Departamento de Genética e Evolução, Universidade Federal de São Carlos, São Carlos.
76. ZENATTI, P. P. **Estudo do IL-7R na leucemia linfóide aguda pediátrica de linhagem T.** 2012. 85 f. Tese (Doutorado em Genética e Biologia Molecular) – Instituto de Biologia, Universidade Estadual de Campinas, Campinas.

Ano 2011

1. AKAO, P. K. **Caracterização biofísica e estrutural da metaloproteinase não-hemorrágica do veneno de *Bothrops moojeni* e da endo- β -glicanase do *Bacillus subtilis*.** 2011. 113 f. Dissertação (Mestrado em Biofísica Molecular) – Instituto de Biociências Letras e Ciências Exatas, Universidade Estadual Paulista, São José do Rio Preto.
2. ALBORGHETTI, M. R. **Proteínas da família FEZ (Fasciculation and Elongation protein Zeta) como adaptadoras bivalentes do transporte: aspectos funcionais, estruturais e evolutivos.**

2011. 108 f. Tese (Doutorado em Biologia Funcional e Molecular) – Instituto de Biologia, Universidade Estadual de Campinas, Campinas.
3. BACKES, S. **Análise proteômica de variedades convencionais e geneticamente modificadas de soja (*Glycine max*) visando proteínas bioativas.** 2011. 124 f. Dissertação (Mestrado em Ciências) – Faculdade de Ciências Farmacêuticas, Universidade de São Paulo, São Paulo.
 4. BADSHAH, S. **Híbridos inorgânico-orgânicos nanoestruturados de sílica mesoporosa e filossilicatos - energética da remoção de cátions na interface sólido/líquido.** 2011. 217 f. Tese (Doutorado em Química) - Instituto de Química. Universidade Estadual de Campinas, Campinas.
 5. BAQUÉ, L. **Preparación y caracterización de cátodos de alto rendimento para celdas de combustible de óxido sólido de temperatura intermedia.** 2011. 146 f. Tesis (Doctorado en Ciencias de la Ingeniería) – Instituto Balseiro, Universidad Nacional de Cuyo, Bariloche.
 6. BARDELLA, P. S. **Análise das propriedades de pastas de gesso de construção reciclado.** 2011. Tese (Doutorado em Engenharia Civil) – Faculdade de Engenharia Civil Arquitetura e Urbanismo, Universidade Estadual de Campinas, Campinas.
 7. CUNHA, B. R. **Investigação do perfil de expressão gênica e protéica de componentes do microambiente tumoral.** 2011. 113 f. Dissertação (Mestrado em Ciências) – Instituto de Biociências, Universidade de São Paulo, São Paulo.
 8. DIAS, M. O. S. **Desenvolvimento e otimização de processos de produção de etanol de primeira e segunda geração e eletricidade a partir da cana-de-açúcar.** 2011. 253 f. Tese (Doutorado em Engenharia Química) – Faculdade de Engenharia Química. Universidade Estadual de Campinas, Campinas.
 9. DOMINGUES, M. N. **Caracterização de proteínas de *Citrus sinensis* que interagem com a proteína efetora PthA, indutora do cancro cítrico.** 2011. 130 f. Tese (Doutorado em Biologia Funcional Molecular) – Instituto de Biologia, Universidade Estadual de Campinas, Campinas.
 10. FATTORI, J. **Resolução estrutural de proteínas hipotéticas, chaperonas de secreção, da bactéria *Xanthomonas axonopodis* pv. Citri.** 2011. 213f. Tese (Doutorado em Química) – Instituto de Química, Universidade Estadual de Campinas, Campinas.
 11. FERRERIA, M. S. **Caracterização estrutural de sistemas formados por compostos siliconados: mesofases, microemulsões e nano emulsões.** 2011. 125 f. Tese (Doutorado em Química) – Instituto de Química, Universidade Estadual de Campinas, Campinas.
 12. FONSECA, N. F. **Contribuição ao estudo da complexação do glifosato com cátions divalentes de metais da primeira série de transição.** 2011. 83 f. Dissertação (Mestrado em Química) – Universidade Federal Rural do Rio de Janeiro, Rio de Janeiro.

13. FREITAS, R. O. **Difração Bragg-superfície no estudo de sistemas epitaxiais baseados em pontos quânticos de InAs/GaAs.** 2011. 133 f. Tese (Doutorado em Física) – Instituto de Física, Universidade de São Paulo, São Paulo.
14. GARCIA, A. C. **Eletrocatalise das reações catódica e anódica em célula a combustível alcalina de borohidreto direto.** 2011. 89 f. Tese (Doutorado em Físico-Química) – Instituto de Química, Universidade de São Paulo, São Carlos.
15. GASPERINI, A. A. M. **Estudo do processo de formação de nanopartículas de GeSi em matriz de sílica por técnicas de luz Síncrotron.** 2011. 208 f. Tese (Doutorado em Física) – Instituto de Física Gleb Wataghin, Universidade Estadual de Campinas, Campinas.
16. GAVA, L. M. **Caracterização e interação do domínio C-terminal da chaperona Hsp90 humana e das co-chaperonas Tom 70 e Hop.** 2011. 83 f. Tese (Doutorado em Biologia Funcional e Molecular) - Instituto de Biologia, Universidade Estadual de Campinas, Campinas.
17. GENTIL, R. **Síntese e caracterização de nanocatalisadores PtV/C e PtCr/C para cátodos de células a combustível de baixa temperatura.** 2011. 121 f. Dissertação (Mestrado em Química) – Instituto de Química, Universidade Estadual Paulista, Araraquara.
18. GERALDO, S. M. **Anéis de crescimento de árvores *Tipuana tipu* como biomonitorios da poluição ambiental: quantificação pela técnica de fluorescência de raios X por reflexão total com radiação Síncrotron.** 2011. 204 f. Dissertação (Mestrado em Engenharia Civil) – Faculdade de Engenharia Civil, Arquitetura e Urbanismo, Universidade Estadual de Campinas, Campinas.
19. GOMES, F. E. R. **Clonagem, expressão e estudo de três co-chaperonas de *Leishmania braziliensis*.** 2011. 68 f. Dissertação (Mestrado em Ciências) – Instituto de Química, Universidade de São Paulo, São Carlos.
20. GONÇALVES, K. DE A. **Estudos funcionais da proteína reguladora humana Ki-1/57 e seus parceiros de interação.** 2011. 82 f. Tese (Doutorado em Biologia Funcional e Molecular) – Instituto de Biologia, Universidade Estadual de Campinas, Campinas.
21. IWAMOTO, W. **Ressonância de SPIN eletrônico (ESR) em materiais de baixa dimensionalidade.** 2011. 126 f. Tese (Doutorado em Física) - Instituto de Física Gleb Wataghin, Universidade Estadual de Campinas, Campinas.
22. LICEA, Y. E. **Sulfetos mássicos para hidrotreamento obtidos a partir de óxidos mistos bimetálicos e trimetálicos.** 2011. 195 f. Tese (Doutorado em Química) - Instituto de Química, Universidade Federal do Rio de Janeiro, Rio de Janeiro.

23. LIONZO, M. I. Z. **Influência de polieletrólitos sobre estruturas fosfolipídicas e suas aplicações.** 2011. Tese (Doutorado em Ciência dos Materiais) – Departamento de Ciência dos Materiais, Universidade Federal do Rio Grande do Sul, Porto Alegre.
24. LOURENÇO, G. J. **Identificação de genes de susceptibilidade para o carcinoma de células escamosas de base de língua por genotipagem em larga escala.** 2011. 201 f. Tese (Doutorado em Fisiopatologia Médica) – Instituto de Biologia, Universidade Estadual de Campinas, Campinas.
25. MACÊDO NETO, J. C. **Produção e caracterização de nanocompósitos poliméricos obtidos por polimerização em emulsão utilizando caulinita amazônica.** 2011. 269 f. Tese (Doutorado em Engenharia Química) – Faculdade de Engenharia Química, Universidade Estadual de Campinas, Campinas.
26. MAJUSTE, D. **Oxidação de calcopirita: investigação do mecanismo eletroquímico via difração de raios-X ex situ e in situ usando radiação síncrotron e quantificação do efeito galvânico da associação com pirita.** 2011. 185 f. Tese (Doutorado em Engenharia Metalúrgica) – Departamento de Engenharia Metalúrgica e Materiais, Universidade Federal de Minas Gerais, Belo Horizonte.
27. MARTINS, B. V. C. **Desenho e construção de um UHV-STM (5257).** 2011. 154 f. Tese (Doutorado em Física) – Instituto de Física Gleb Wataghin, Universidade Estadual de Campinas, Campinas.
28. MATEUS, D. F. A. **Modelamiento de los esfuerzos residuales en películas delgadas en multicapas.** 2011. 132 f. Tesis (Doctorado en Ingeniería Ciencia y Tecnología de Materiales) - Universidad Nacional de Colombia, Medellín.
29. MEIRELLES, G. V. **Estudos estruturais e funcionais das proteínas cinases humanas NEK1 e NEK6.** 2011. 97 f. Tese (Doutorado em Biologia Molecular e Funcional) - Instituto de Biologia, Universidade Estadual de Campinas, Campinas.
30. MELO, F. C.B. C. **Otimização da produtividade da levana de *Bacillus subtilis natto* e sua aplicação como agente anticarcinogênico e hipoglicemiante.** 2011. 132 f. Dissertação (Mestrado em Biotecnologia) – Departamento de Bioquímica e Biotecnologia, Universidade Estadual de Londrina, Londrina.
31. MENDONÇA, Y. A. **Clonagem e caracterização de uma Hsp90 de *Citrus sinensis* potencialmente envolvida no processo infeccioso do fitopatógeno *Xanthomonas citri*.** 2011. 119 f. Tese (Doutorado em Biologia Funcional e Molecular) – Instituto de Biologia, Universidade Estadual de Campinas, Campinas.
32. MESQUITA, A. **Síntese e caracterização estrutural e dielétrica de compostos ferroelétricos $Pb_{1-x}R_xZr_{0,40}Ti_{0,60}O_3$ (R = La, Ba).** 2011. 185 f. Tese (Doutorado em Engenharia de Materiais) – Escola de Engenharia de São Carlos, Universidade de São Paulo, São Carlos.

33. NOGUEIRA, M. L. C. **Expressão e caracterização de proteínas envolvidas na via da quinase mTOR e na divisão celular bacteriana.** 2011. 99 f. Dissertação (Mestrado em Biologia Funcional e Molecular) – Instituto de Biologia, Universidade Estadual de Campinas, Campinas.
34. PEGOS, V. R. **Estudos estruturais e funcionais das enzimas SsuD e SsuE do sistema de transporte do tipo ABC de alceno sulfonatos e da proteína ligadora periplasmática Pbp da bactéria *Xanthomonas axonopodis* pv.citri.** 2011. 129 f. Dissertação (Mestrado em Genética e Biologia Molecular) – Instituto de Biologia, Universidade Estadual de Campinas, Campinas.
35. PELLOSO, A. C. **Caracterização de três fatores de transcrição pertencentes à família LysR de *Xylella fastidiosa*.** 2011. 111 f. Dissertação (Mestrado em Genética e Biologia Molecular) – Instituto de Biologia, Universidade Estadual de Campinas, Campinas.
36. PEREIRA, A. L. A. **Identificação de genes de *Citrus sinensis* com expressão dependente da proteína PthA de *Xanthomonas citri* e isolamento de elementos cis regulatórios ligantes.** 2011. 135 f. Tese (Doutorado em Biologia Molecular e Funcional) - Instituto de Biologia, Universidade Estadual de Campinas, Campinas.
37. PEREIRA, H. A. B. S. **Análise proteômica em fígado de ratos submetidos à exposição crônica ao flúor.** 2011. 195 f. Dissertação (Mestrado em Ciências Odontologia Aplicada) – Faculdade de Odontologia de Bauru, Bauru.
38. PIRES, F. I. **Desenvolvimento e teste de nanocatalisadores a base de Pd para redução de oxigênio.** 2011. 86 f. Dissertação (Mestrado em Química) – Instituto de Química, Universidade Estadual Paulista, Araraquara.
39. RENZETTI, R. A. **Estudo comparativo da recristalização de dois aços de atividade reduzida endurecidos por dispersão de óxidos (9%Cr e 13%Cr).** 2011. 129 f. Tese (Doutorado em Engenharia de Materiais Metálicos, Cerâmicos e Poliméricos) – Escola de Engenharia de Lorena, Lorena.
40. RIBEIRO, A. F. **Caracterização molecular e comportamental de um modelo animal de consumo de etanol.** 2011. 116 f. Tese (Doutorado em Genética) – Departamento de Biologia Geral Universidade Federal de Minas Gerais, Belo Horizonte.
41. ROCHA, L. C. **Proteínas associadas à infectividade em *Leishmania (Leishmania) amazonensis* Lainson e Shaw, 1972 (Kinetoplastida: Trypanosomatidae).** 2011. Tese (Doutorado em Biotecnologia) - Universidade Federal do Amazonas, Manaus.
42. SANTOS, A. M. **Avaliação funcional e estrutural da interação entre a quinase de adesão focal e a miosina sarcomérica.** 2011. 165 f. Tese (Doutorado em Ciências Médicas) – Faculdade de Clínica Médica, Universidade Estadual de Campinas, Campinas.

43. SANTOS, E. B. **Sistemas químicos nanoestruturados: nanopartículas caroço-casca em suporte poroso funcional e filmes finos alternados de óxidos semicondutores (TiO₂, MoO₃, WO₃).** 2011. 157 f. Tese (Doutorado em Química) – Instituto de Química, Universidade Estadual de Campinas, Campinas.
44. SANTOS, H. W. L. **Síntese de nanopartículas metálicas por deposição física de vapor em líquidos iônicos e óleos vegetais.** 2011. 123 f. Tese (Doutorado em Física) - Instituto de Física, Universidade Federal do Rio Grande do Sul, Porto Alegre.
45. SANTOS, M. C. DOS. **Efeito magnetoforético aplicado à separação de nanopartículas magnéticas biocompatíveis.** 2011. 84 f. Dissertação (Mestrado em Física) – Instituto de Física, Universidade Federal de Goiás, Goiânia.
46. SANTOS, M. T. **O interactoma de stanniocalcina-1 humana sugere novas funções e vias de atuação celular.** 2011. 114 f. Tese (Doutorado em Genética e Biologia Molecular) – Instituto de Biologia, Universidade Estadual de Campinas, Campinas.
47. SANTOS, R. S. **TiO₂ e TiO₂ dopado com ferro: efeitos da inserção do dopante e da segregação de hematita nas propriedades e na atividade fotocatalítica para conversão de energia solar.** 2011. 132 f. Tese (Doutorado em Química) – Instituto de Química, Universidade Estadual de Campinas, Campinas.
48. SERAPHIM, T. V. **Estudos bioquímicos e biofísicos de proteínas de choque-térmico da família Hsp40 de cana-de-açúcar e de levedura.** 2011. 112 f. Dissertação (Mestrado em Biologia Molecular e Funcional) – Instituto de Biologia, Universidade Estadual de Campinas, Campinas.
49. SGARDIOLI, I. C. **Investigação laboratorial da síndrome velocardiofacial e possíveis fenocópias.** 2011. 146 f. Dissertação (Mestrado em Ciências Médicas) – Faculdade de Ciências Médicas, Universidade Estadual de Campinas, Campinas.
50. SILVA, A. A. **Modificação da resina epoxídica com híbridos orgânico-inorgânicos e acrilatos.** 2011. 193 f. Tese (Doutorado em Ciência e Tecnologia de Polímeros) – Instituto de Macromoléculas Professora Eloisa Mano, Universidade Federal do Rio de Janeiro, Rio de Janeiro.
51. SILVA, A. C. DA. **Avaliação da rugosidade média da tinta epóxi utilizada em liga de Co-Cr antes e pós ciclagem térmica.** 2011. 95 f. Dissertação (Mestrado em Odontologia) – Faculdade de Odontologia, Centro de Pesquisas Odontológicas São Leopoldo Mandic, Campinas.
52. SILVA, S. M. L. **Lipossomas pH-sensíveis contendo complexo de ciclodextrina catiônica/DNA plasmidial: otimização do método de preparo, caracterização físico-química e estudo de transfecção.** 2011. 147 f. Tese (Doutorado em Ciências Farmacêuticas) – Faculdade de Farmácia, Universidade Federal de Minas Gerais, Belo Horizonte.

53. SILVA, S. M. O. **Clonagem, expressão heteróloga e caracterização da proteína de escolha da Hsp70 de *Leishmania braziliensis***. 2011. 50 f. Dissertação (Mestrado em Ciências) – Instituto de Química, Universidade de São Paulo, São Carlos.
54. SILVEIRA, G. F. **Efeito da resposta inflamatória associada à apoptose em células dendríticas derivadas de monócitos humanos induzida pela infecção de vírus dengue sorotipo 3**. 2011. 103 f. Dissertação (Mestrado em Biologia Celular e Molecular) – Instituto Carlos Chagas, Universidade Federal do Paraná, Curitiba.
55. SILVEIRA, T. R. **Estudo da interação de fótons na região do ultravioleta de vácuo com moléculas de interesse biológico em fase condensada**. 2011. Dissertação (Mestrado em Física) – Instituto de Física, Universidade Federal da Bahia, Salvador.
56. SOUZA, N. E. **Catalisadores Pt e PtSn modificados com Sno2 para a oxidação eletroquímica de etanol**. 2011. 69 f. Dissertação (Mestrado em Química) – Instituto de Química, Universidade Estadual Paulista, Araraquara.
57. SOUZA, T. D. **Aplicações da radiografia por contraste de fase na visualização de articulações e cartilagens**. 2011. 81 f. Dissertação (Mestrado em Física) – Instituto de Física Gleb Wataghin, Universidade Estadual de Campinas, Campinas.
58. TIZEI, L. H. G. **Homogeneidade química, interfaces e defeitos estruturais em nanofios de semicondutores III-V**. 2011. 170 f. Tese (Doutorado em Física) – Instituto de Física Gleb Wataghin, Universidade Estadual de Campinas, Campinas.
59. VERMELHO, P. M. **Avaliação do substrato dentinário irradiado com laser de Er:YAG: resistência de união, padrão de fratura e análise ultramorfológica**. 2011. 91 f. Dissertação (Mestrado em Clínica Odontológica) – Faculdade de Odontologia de Piracicaba, Universidade Estadual de Campinas, Campinas.
60. WOLF, L. D. **Pré-tratamento organossolve do bagaço de cana-de-açúcar para a produção de etanol e obtenção de xilooligômeros**. 2011. 147 f. Dissertação (Mestrado em Engenharia Química) – Departamento de Química, Universidade Federal de São Carlos, São Carlos.
61. ZIMICZ, M. G. **Síntesis y caracterización de óxidos mixtos apropiados para su uso como ánodos de celdas de combustible de óxido sólido**. 2011. 355 f. Tesis (Doctorado en Ingeniería) – Facultad de Ingeniería - Universidad de Buenos Aires, Buenos Aires.

Ano 2010

1. ABREU, C. M. de. **Mecanismos de emissão fosforescente do composto CdSiO₃**. 2010. Dissertação (Mestrado em Física) – Departamento de Física, Universidade Federal de Sergipe, São Cristóvão.
2. ALMEIDA, G. C. **Síntese e caracterização espectroscópica de complexos de Sb(III), In(III) e Bi(III) com o ligante 1,2-dicianoeteno-1,2-ditolato**. 2010. Dissertação (Mestrado em Química) – Instituto de Química, Universidade Federal do Rio de Janeiro, Rio de Janeiro.
3. ANTONIO, S. G. **Aplicação da difração de raios-X por policristais e do método Rietveld de refinamento de estruturas cristalinas no estudo de polimorfos cristalinos de fármacos**. 2010. 161 f. Tese (Doutorado em Química) – Departamento de Química, Universidade Estadual Paulista, Araraquara.
4. BERNARDI, F. **Estudo das propriedades eletrônicas e estruturais de catalisadores avançados**. 2010. 195 f. Tese (Doutorado em Física) – Instituto de Física, Universidade Federal do Rio Grande do Sul, Porto Alegre.
5. BOITA, J. **Estudos in situ da formação de compostos de cobre nanoparticulados**. 2010. 89 f. Dissertação (Mestrado em Física) – Instituto de Física, Universidade Federal do Rio Grande do Sul, Porto Alegre.
6. BORBA, F. H. **Aplicação dos processos foto-fenton e eletrofloculação no tratamento de efluente de curtume**. 2010. 138 f. Tese (Doutorado em Engenharia Química) – Centro de Engenharias e Ciências Exatas, Universidade Estadual do Oeste do Paraná, Toledo.
7. BRITO, L. T. **Estruturas magnéticas do EUSE por difração magnética de raios-X**. 2010. 51 f. Dissertação. (Mestrado em Física) – Instituto de Física Gleb Wataghin, Universidade Estadual de Campinas, Campinas.
8. BRITO, W. R. **Estudos de degradação mediante técnicas espectroscópicas de filmes moleculares utilizados na elaboração de diodos orgânicos emissores de luz**. 2010. Tese (Doutorado em Química) – Instituto de Química, Universidade Federal do Rio de Janeiro, Rio de Janeiro.
9. CAMPELLO, J. C. **Propriedades magneto-ópticas de colóides magnéticos á base de nanopartículas de magnetita recobertas com prata**. 93 f. Dissertação (Mestrado em Física) – Universidade Federal de Goiás, Goiânia, 2010.
10. CANTERAS, F. B. **Avaliação da qualidade do ar na cidade de Limeira (SP) empregando a fluorescência de raios X por reflexão total com radiação Síncrotron**. 2010. 186 f. Dissertação (Mestrado em Engenharia Civil) – Faculdade de Engenharia Civil, Arquitetura e Urbanismo, Universidade Estadual de Campinas, Campinas.

11. CAPELETTI, L. B. **Efeitos da rota sol-gel no encapsulamento de indicadores colorimétricos e fluorimétricos e em suas performances como sensores de PH e gás amônia.** 2010. 127 f. Dissertação (Mestrado em Química) – Instituto de Química, Universidade Federal do Rio Grande do Sul, Porto Alegre.
12. CARDOSO, T. F. **Cenários tecnológicos e demanda da capacitação da mão-de-obra do setor agrícola sucroalcooleiro paulista.** 2010. 123 f. Dissertação (Mestrado Engenharia Agrícola) – Faculdade de Engenharia Agrícola, Universidade Estadual de Campinas, Campinas.
13. CASSAGO, A. **Determinação estrutural da selenocisteína sintase (SELA) de *Escherichia coli*.** 2010. 110 f. Tese (Doutorado em Física Aplicada) – Instituto de Física, Universidade de São Paulo, São Carlos.
14. CIAPINA, E. G. **Oxidação eletroquímica de monóxido de carbono sobre nanopartículas de platina não suportadas e influência do suporte na atividade eletrocatalítica de electrocatalisadores suportados.** 2010. 113 f. Tese (Doutorado em Ciências) – Instituto de Química de São Carlos, Universidade de São Paulo, São Carlos.
15. COSTA JR., M. P. **Avaliação da durabilidade em vigas de concreto sob diferentes condições de cura e carregamento.** 2010. 228 f. Tese (Doutorado em Engenharia Civil) – Faculdade de Engenharia Civil, Arquitetura e Urbanismo Universidade Estadual de Campinas, Campinas.
16. COTTA, A. A. C. **Estudo da estrutura da superfície (001) de um nanocristal de Cu₉₀Au₁₀ via difração de elétrons de baixa energia e difração de fotoelétrons.** 2010. 73 f. Dissertação (Mestrado em Física) – Instituto de Física, Universidade Federal de Minas Gerais, Belo Horizonte.
17. DOMINGUEZ, B. C. **Optimización de reactores TUB con polisacáridos para purificación de aguas contaminadas.** 2010. Tesis (Doctorado em Química) – Departamento de Química, Universidad de Buenos Aires, Buenos Aires.
18. DUARTE, G. **Fixação da espécie trivalente de arsênio em oxi-hidróxidos de ferro e alumínio: avaliação de mecanismos moleculares e suas implicações na mobilidade do arsênio no meio ambiente.** 2010. 48 f. Tese (Doutorado em Metalurgia e Materiais) – Departamento de Engenharia Metalúrgica e Materiais, Universidade Federal de Minas Gerais, Belo Horizonte.
19. FAGUNDES, F. H. R. **Estudos de estrutura e função de uma PLA2 Lys49 de *Bothrops jararacussu* e avaliação do efeito de cumarinas sintéticas sobre sua estrutura e atividade biológica.** 2010. 165 f. Tese (Doutorado em Biologia Molecular Funcional) – Instituto de Biologia, Universidade Estadual de Campinas, Campinas.
20. FERNANDEZ SILES, P. R. **Propriedades eletrônicas e processos de transporte em materiais semicondutores nano-estruturados.** 2010. 154 f. Tese (Doutorado em Física) – Instituto de Física Gleb Wataghin, Universidade Estadual de Campinas, Campinas.

21. FONSECA, J. P. **Vias de sinalização de estresses em plantas: análise da região promotora do gene NIMIN-1 de *Arabidopsis thaliana* e da proteína ScCBL1 de cana-de-açúcar (*Saccharum spp.*)** 2010. 124 f. Tese (Doutorado em Genética e Biologia Molecular) – Instituto de Biologia, Universidade Estadual de Campinas, Campinas.
22. GIUSEPPE, P. O. **Estudos estruturais de proteínas de *Leptospira interrogans* sorovar Copenhageni potencialmente localizadas no envelope celular.** 2010. 123 f. Tese (Doutorado em Genética e Biologia Celular) – Instituto de Biologia, Universidade Estadual de Campinas, Campinas.
23. GOMES, M. DE A. **Propriedades ópticas e estruturais dos nanocristais de Y2O3 puros e dopados com EU3+ e Nd3+.** 2010. Dissertação (Mestrado em Física) – Departamento de Física, Universidade Federal de Sergipe, São Cristóvão.
24. GONÇALVES, M. V. C. **Aplicação da técnica de difração de raios X usando luz síncrotron para caracterização de esmalte dentário humano fluorótico e de controle.** 2010. 97 f. Dissertação (Mestrado em Física) – Centro de Tecnologia e Ciências, Universidade do Estado do Rio de Janeiro, Rio de Janeiro.
25. GRIZOLLI, W. C. **Projeto ótico de linha de luz de raios-X duros para cristalografia de proteínas.** 2010. 156 f. Dissertação (Mestrado em Física) – Instituto de Física Gleb Wataghin, Universidade Estadual de Campinas, Campinas.
26. GUERRA, C. S. **Utilização de dentes decíduos de regiões com diferentes históricos de contaminação ambiental para detecção de grupos de crianças expostas ao chumbo no Brasil.** 2010. 175 f. Tese (Doutorado em Odontologia) – Faculdade de Odontologia de Piracicaba, Universidade Estadual de Campinas, Piracicaba.
27. GUZZO, C. R. **Estudo estrutural e funcional das proteínas PilZe Yaeq do fitopatógeno *Xanthomonas axonopodis* PV citri.** 2010. Tese (Doutorado em Ciências Bioquímicas) – Instituto de Química, Universidade de São Paulo, São Paulo.
28. HENRIQUE, T. **Identificação e avaliação da expressão de marcadores moleculares envolvidos na tumorigênese de pulmão.** 2010. Dissertação (Mestrado em Ciências da Saúde) – Faculdade de Medicina, Universidade Estadual Paulista, São José do Rio Preto.
29. JEZLER, P. C. O. C. de. **Avaliação do papel dos elementos majoritários e traço na formação da catarata por envelhecimento na espécie canina.** 2010. 112 f. Dissertação. (Mestrado em Medicina Veterinária) – Faculdade de Medicina Veterinária e Zootecnia, Universidade de São Paulo, São Paulo.
30. KILIAN, A. S. **Preparação e caracterização do catalisador modelo Pd/Cr2O3/Ag(111).** 2010. 86 f. Dissertação (Mestrado em Física) – Instituto de Física, Universidade Federal do Rio Grande do Sul, Porto Alegre.

31. LA CONCEPCIÓN, L. **Medición de eficiencia de retención de especies iónicas en reactores TAD.** 2010. Tesis (Doctorado em Engenharia Industrial) – Departamento de Química, Universidad de Antioquia, Medellín.
32. LAGOS PAREDES, M. J. **Efeitos estruturais na condutância quântica e na deformação mecânica de nanofios metálicos.** 2010. 170 f. Tese (Doutorado em Física) – Instituto de Física Gleb Wataghin, Universidade Estadual de Campinas, Campinas.
33. LATTUADA, R. M. **Estudo da ecotoxicidade de efluentes da mineração de carvão e a aplicação de adsorventes alternativos em associação com fotocatalise heterogênea na remoção de metais e HPAs.** 2010. 160 f. Tese (Doutorado em Química) – Instituto de Química. Universidade Federal do Rio Grande do Sul, Porto Alegre.
34. LIMA, R. S. **Biossensor condutométrico sem contato em microchip contendo ácido fólico como biorreceptor.** 2010. 138 f. Dissertação (Mestrado em Química) – Instituto de Química, Universidade de São Paulo, São Carlos.
35. MENEZES, A. S. **Estudo estrutural de nanossistemas semicondutores e semicondutores implantados por difração de raios-X de n-feixes.** 2010. 169 f. Tese (Doutorado em Física) – Instituto de Física Gleb Wataghin, Universidade Estadual de Campinas, Campinas.
36. MERCALDI, G. F. **Fosfoglicerato mutase de *Trypanosoma brucei*: estrutura e mecanismo de reação.** 2010. 74 f. Dissertação (Mestrado em Física Aplicada) – Instituto de Física, Universidade de São Paulo, São Carlos.
37. MOI, G. P. **Análise do perfil proteômico do biofilme dental formado in situ na presença de glicose + frutose e sacarose.** 2010. 42 f. Tese (Doutorado em Odontologia) – Faculdade de Odontologia de Piracicaba, Universidade Estadual de Campinas, Piracicaba.
38. NAKAHIRA, M. **Caracterização funcional e estrutural das septinas 1, 6 e 8 humanas.** 2010. 123 f. Tese (Doutorado em Biologia Funcional e Molecular) – Instituto de Biologia, Universidade Estadual de Campinas, Campinas.
39. NOVAIS, S. M. V. **Caracterização estrutural e termoluminescente do tungstato de cádmio.** 2010. Dissertação (Mestrado em Física) – Departamento de Física, Universidade Federal de Sergipe, São Cristóvão.
40. OIKO, V. T. A. **Quantificação de forças na manipulação de nano-objetos individuais em experimentos in situ de microscopia eletrônica.** 2010. 69 f. Dissertação (Mestrado em Física) – Instituto de Física Gleb Wataghin, Universidade Estadual de Campinas, Campinas.
41. PEIXOTO, S. M. B. **Caracterização termo-ótica e estrutural de vidros óticos especiais dopados com neodímio usando as espectroscopia de lente térmica e absorção de raios-X (EXAFS).**

2010. 85 f. Dissertação (Mestrado em Física) – Departamento de Física, Universidade Estadual Norte Fluminense, Campo dos Goytacazes.
42. PEREIRA, A. A. **Análise do desgaste da ferramenta à base de β -Si₃N₄ na usinagem do ferro fundido cinzento FC 250 utilizando técnicas avançadas e de alta resolução.** 2010. 228 f. Tese (Doutorado em Engenharia Mecânica) – Departamento de Engenharia Mecânica, Universidade Federal de Santa Catarina, Florianópolis.
43. PEREIRA, A. R. P. **Formação e transformação químico-mineralógica da hematita em um geodomínio do Quadrilátero Ferrífero.** 2010. 84 f. Tese (Doutorado em Química) – Instituto de Ciências Exatas, Universidade Federal de Minas Gerais, Belo Horizonte.
44. PÉREZ, C. S. **Estudos estruturais e funcionais da proteína ligadora de molibdato (ModA) e demais componentes do sistema de transporte de molibdato tipo ABC de *Xanthomonas axonopodis* pv.citri.** 2010. 145 f. Tese (Doutorado em Ciências Biomédicas) – Instituto de Ciências Biomédicas, Universidade de São Paulo, São Paulo.
45. PESSOA, R. S. **Estudos de plasmas fluorados aplicados em corrosão de silício usando simulação de modelo global e diagnósticos experimentais.** 2010. 229 f. Tese (Doutorado em Física) – Física de Plasma, Instituto Tecnológico de Aeronáutica, São José dos Campos.
46. PIANCIOLA, B. N. **Estudio de nanoparticulas y ferrofluidos de Zn_xFe_{3-x}O₄ con aplicaciones potenciales a la terapia por hipertermia selectiva y localizada.** 2010. Tesis (Maestría en Física) – Departamento de Física, Universidad Nacional de La Plata. La Plata.
47. PINTO, C. F. **Análise da união e dos tecidos dentais (esmalte/dentina) adjacentes às restaurações com sistemas adesivos contendo fluoreto após desafios cariogênicos in situ e in vitro.** 2010. 83 f. Tese (Doutorado em Odontologia) – Faculdade de Odontologia de Piracicaba, Universidade Estadual de Campinas, Piracicaba.
48. PIRES, G. P. **Implicações da utilização de organoalcoxisilanos sobre a síntese de sílicas híbridas pelo processo sol-gel.** 2010. 152 f. Dissertação (Mestrado em Química) – Instituto de Química, Universidade Federal do Rio Grande do Sul, Porto Alegre.
49. POLACHINI, G. M. **Proteômica do carcinoma epidermóide de cabeça e pescoço: identificação e validação de biomarcadores potenciais.** 2010. Tese (Doutorado em Ciências da Saúde) – Faculdade de Medicina, Universidade Estadual Paulista, São José do Rio Preto.
50. SANTOS, M. L. dos. **Estudos estruturais de fosfolipases de venenos de serpentes e aldose redutases de milho por cristalografia e SAXS.** 2010. 182 f. Tese (Doutorado em Físico- Química) – Instituto de Química, Universidade Estadual de Campinas, Campinas.

51. SILVA, C. A. DA. **Estudo de estrutura eletrônica, fragmentação e desorção iônica de filmes moleculares orgânicos e polímeros conjugados**. 2010. Tese (Doutorado em Química) – Instituto de Química, Universidade Federal do Rio de Janeiro, Rio de Janeiro.
52. SILVA, J. C. **Estudos de macromoléculas biológicas parcialmente desestruturadas usando espalhamento de raios-X**. 2010. 137 f. Tese (Doutorado em Física) - Instituto de Física Gleb Wataghin, Universidade Estadual de Campinas, Campinas.
53. SOUZA, T. A. C. B. **Estudos estruturais e funcionais das septinas humanas 6, 8 e 10**. 2010. 115 f. Tese (Doutorado em Genética e Biologia Molecular) – Instituto de Biologia, Universidade Estadual de Campinas, Campinas.
54. SOUZA, T. A. DE. **Caracterização molecular da interação entre proteínas de citros envolvidas no controle da expressão gênica e a proteína efetora bacteriana PthA, indutora do cancro cítrico**. 2010. 74 f. Dissertação (Mestrado em Genética e Biologia Celular) – Instituto de Biologia, Universidade Estadual de Campinas, Campinas.
55. TEIXEIRA, A. P. DE C. **Síntese de nanotubos de carbono por CVD utilizando catalisadores à base de ferro e molibdênio suportados em matrizes cerâmicas**. 2010. 140 f. Dissertação (Mestrado em Ciência e Tecnologia das Radiações, Minerais e Materiais) – Centro de Desenvolvimento da Tecnologia Nuclear, Belo Horizonte.
56. THOMPSON, A. **Estudo morfológico de uma blenda de I-PP e EDPM com argila**. 2010. 68 f. Dissertação (Mestrado em Engenharia e Ciência dos Materiais) – Ciência e Engenharia de Materiais, Universidade de Caxias do Sul, Caxias do Sul.
57. TRIVELLA, D. B. B. **Bases moleculares e estruturais do reconhecimento de ligantes pela proteína transtirretina humana**. 2010. 221 f. Tese (Doutorado em Física) – Instituto de Física de São Carlos, Universidade de São Paulo, São Carlos.
58. UNFRIED, J. **Mecanismo de fratura por queda de ductilidade em ligas Ni-Cr-Fe**. 2010. 213 f. Tese (Doutorado em Engenharia Mecânica) – Departamento de Engenharia Mecânica, Universidade Estadual de Campinas, Campinas.
59. WILL, S. E. L. de. **Avaliação da concentração de elementos traço e respectivos mapas de distribuição em placenta bovina**. 2010. 153 f. Dissertação (Mestrado em Medicina Veterinária) – Faculdade de Medicina Veterinária e Zootecnia, Universidade de São Paulo, São Paulo.

ANEXO 5: LISTA DE BOLSISTAS E PÓS-DOCTORES

Nome	Modalidade	LN	Instituição de vínculo
ANA PAULA GUIMARAES SANTOS	BOLSISTA DOUTORADO	CTBE	UNICAMP
BEATRIZ STANGHERLIN SANTUCCI	BOLSISTA DOUTORADO	CTBE	USP
CAROLINA CASSANO MONTE BELLO	BOLSISTA DOUTORADO	CTBE	UNICAMP
CLEITON MARCIO PINTO BRAGA	BOLSISTA DOUTORADO	CTBE	UFSCAR
DENIS BASSI	BOLSISTA DOUTORADO	CTBE	UNICAMP
DIEGO ANDRES RUEDA ORDONEZ	BOLSISTA DOUTORADO	CTBE	UNICAMP
DIOGO ROBL	BOLSISTA DOUTORADO	CTBE	UNICAMP
EDUARDO CRUZ MORAES	BOLSISTA DOUTORADO	CTBE	UNICAMP
FABIANO JARES CONTESINI	BOLSISTA DOUTORADO	CTBE	UNICAMP
FABRICIA FARIAS DE MENEZES	BOLSISTA DOUTORADO	CTBE	UEA
FATIMA VARGAS GONZALES	BOLSISTA DOUTORADO	CTBE	CORDOBA
FERNANDA MACHADO MENDES CARVALHO	BOLSISTA DOUTORADO	CTBE	UNICAMP
FERNANDA MANDELLI	BOLSISTA DOUTORADO	CTBE	UNICAMP
GUILHERME ADALBERTO FERREIRA CASTIONI	BOLSISTA DOUTORADO	CTBE	UNICAMP
HEITOR VICENTE ROSA	BOLSISTA DOUTORADO	CTBE	UNICAMP
JOAO MOREIRA NETO	BOLSISTA DOUTORADO	CTBE	UNICAMP
JOAO PAULO FERNANDES VIEIRA	BOLSISTA DOUTORADO	CTBE	UNICAMP
JOHN HERVIN BERMUDEZ JAIMES	BOLSISTA DOUTORADO	CTBE	UNICAMP
JULIO PEREIRA MAIA	BOLSISTA DOUTORADO	CTBE	UNICAMP
LIVIA BEATRIZ BRENELLI DE PAIVA	BOLSISTA DOUTORADO	CTBE	UNICAMP
LOURIVAL CARMO MONACO NETO	BOLSISTA DOUTORADO	CTBE	ESALQ
MARCELO MIRANDA DE OLIVEIRA	BOLSISTA DOUTORADO	CTBE	UNICAMP
MARCELO VENTURA RUBIO	BOLSISTA DOUTORADO	CTBE	UNICAMP
MARCO ANTONIO RIDENTI	BOLSISTA DOUTORADO	CTBE	UNICAMP
MARIA LETICIA BONATELLI	BOLSISTA DOUTORADO	CTBE	USP
MARJORIE MENDES GUARENCHI	BOLSISTA DOUTORADO	CTBE	UNICAMP
MARTHA AMARO DA SILVA	BOLSISTA DOUTORADO	CTBE	UNICAMP
MAURICIO WOLF WILWERTH	BOLSISTA DOUTORADO	CTBE	UNICAMP
MONICA LUCIA CAVIDAD DIEZ	BOLSISTA DOUTORADO	CTBE	UNICAMP
PEDRO GERBER MACHADO	BOLSISTA DOUTORADO	CTBE	UNICAMP
REGIANE ALVES DE OLIVEIRA	BOLSISTA DOUTORADO	CTBE	UNICAMP
RENATA PINTO DA SILVA MATOS	BOLSISTA DOUTORADO	CTBE	UNICAMP
RENATO CRUZ NEVES	BOLSISTA DOUTORADO	CTBE	UNICAMP
RICARDO RODRIGUES DE MELO	BOLSISTA DOUTORADO	CTBE	UNICAMP
RODRIGO SANTOS MOREIRA	BOLSISTA DOUTORADO	CTBE	UNIFAL
SERGIO QUASSI DE CASTRO	BOLSISTA DOUTORADO	CTBE	UNICAMP
SIMONE COELHO NAKANISHI	BOLSISTA DOUTORADO	CTBE	UNICAMP
SIMONE PEREIRA DE SOUZA	BOLSISTA DOUTORADO	CTBE	UNICAMP

THIAGO AUGUSTO GONCALVES	BOLSISTA DOUTORADO	CTBE	UNICAMP
VICTOR COELHO GERALDO	BOLSISTA DOUTORADO	CTBE	UNICAMP
VINICIUS FERNANDES NUNES DA SILVA	BOLSISTA DOUTORADO	CTBE	UNICAMP
WILLIAM EDUARDO HERRERA	BOLSISTA DOUTORADO	CTBE	UNICAMP
ALINE SAMPAIO PINTO	BOLSISTA DOUTORADO	LNBIO	UNICAMP
AMERICO TAVARES RANZANI	BOLSISTA DOUTORADO	LNBIO	UNICAMP
ANDREA JOHANNA MANRIQUE RINCON	BOLSISTA DOUTORADO	LNBIO	UNICAMP
ANDREY FABRICIO ZIEM NASCIMENTO	BOLSISTA DOUTORADO	LNBIO	UNICAMP
ANGELA MARIA FALA	BOLSISTA DOUTORADO	LNBIO	UNICAMP
ANGELA SAITO	BOLSISTA DOUTORADO	LNBIO	UNICAMP
BARBARA SMILGYS	BOLSISTA DOUTORADO	LNBIO	UNICAMP
BRUNO AQUINO	BOLSISTA DOUTORADO	LNBIO	UNICAMP
CAIO CESAR DE LIMA SILVA	BOLSISTA DOUTORADO	LNBIO	UNICAMP
CAIO HADDAD FRANCO	BOLSISTA DOUTORADO	LNBIO	UNIFESP
CARLOS ROBERTO KOSCKY PAIER	BOLSISTA DOUTORADO	LNBIO	UNICAMP
CAROLINA APARECIDA DE GUZZI CASSAGO	BOLSISTA DOUTORADO	LNBIO	UNICAMP
CAROLINA MORETTO CARNIELLI	BOLSISTA DOUTORADO	LNBIO	UNICAMP
CAROLINA WILSON	BOLSISTA DOUTORADO	LNBIO	UNESP
CAROLINE FERNANDA RODRIGUES ASCENCAO	BOLSISTA DOUTORADO	LNBIO	UNICAMP
CIDNEI MARSCHALK	BOLSISTA DOUTORADO	LNBIO	UNICAMP
CRISTIANE TAMBASCIA PEREIRA	BOLSISTA DOUTORADO	LNBIO	UNICAMP
DANIELI CRISTINA GONCALVES	BOLSISTA DOUTORADO	LNBIO	UNICAMP
DANIELLE FURTADO DOS SANTOS DIAS	BOLSISTA DOUTORADO	LNBIO	UNICAMP
DENISE REGINA BAIROS DE PILGER	BOLSISTA DOUTORADO	LNBIO	UNIFESP
EDMARCIA ELISA DE SOUZA	BOLSISTA DOUTORADO	LNBIO	UNICAMP
FABIO NEVES DO AMARAL	BOLSISTA DOUTORADO	LNBIO	UNICAMP
FERNANDA LUISA BASEI	BOLSISTA DOUTORADO	LNBIO	UNICAMP
FLAVIA DA SILVA ZANDONADI	BOLSISTA DOUTORADO	LNBIO	UNICAMP
GERMANNA LIMA RIGHETTO	BOLSISTA DOUTORADO	LNBIO	UNICAMP
GIOVANA APARECIDA DE SOUZA CIN	BOLSISTA DOUTORADO	LNBIO	UNIFESP
GUILHERME ZWEIG ROCHA	BOLSISTA DOUTORADO	LNBIO	UNICAMP
GUSTAVO FERNANDO MERCALDI	BOLSISTA DOUTORADO	LNBIO	UNICAMP
ISABELLE BEZERRA CORDEIRO	BOLSISTA DOUTORADO	LNBIO	UNICAMP
JESSICA CHRISTINA LOIS DE OLIVEIRA CAMPOS	BOLSISTA DOUTORADO	LNBIO	UNICAMP
JOAO AUGUSTO RIBEIRO	BOLSISTA DOUTORADO	LNBIO	UNESP
JOSE GERALDO DE CARVALHO PEREIRA	BOLSISTA DOUTORADO	LNBIO	CNPEM
JULIO CESAR NUNES	BOLSISTA DOUTORADO	LNBIO	USP
KRISHINA RATNA SOUSA DE OLIVEI	BOLSISTA DOUTORADO	LNBIO	UNICAMP
LAURA MARIA ALCANTARA	BOLSISTA DOUTORADO	LNBIO	UNICAMP
LEANDRO HENRIQUE DE PAULA ASSIS	BOLSISTA DOUTORADO	LNBIO	UNICAMP
LUCAS MAYRINK ASSIS	BOLSISTA DOUTORADO	LNBIO	UNICAMP

LUCIANO GRACIANI DOLCE	BOLSISTA DOUTORADO	LNBIO	UNICAMP
MARIA LUIZA CALDAS NOGUEIRA	BOLSISTA DOUTORADO	LNBIO	UNICAMP
MARIANA ABRAHAO BUENO DE MORAIS	BOLSISTA DOUTORADO	LNBIO	UNICAMP
MARIANA BERTINI TEIXEIRA	BOLSISTA DOUTORADO	LNBIO	UNICAMP
MARIANA RANGEL PEREIRA	BOLSISTA DOUTORADO	LNBIO	USP
MARIO RAMOS DE OLIVEIRA BARSOTTINI	BOLSISTA DOUTORADO	LNBIO	UNICAMP
MAYARA MAYELE MIYACHIRO	BOLSISTA DOUTORADO	LNBIO	UNICAMP
MELISSA QUINTERO ESCOBAR	BOLSISTA DOUTORADO	LNBIO	UNICAMP
NADIA RASHEED	BOLSISTA DOUTORADO	LNBIO	UNICAMP
NATALIA BERNARDI VIDEIRA	BOLSISTA DOUTORADO	LNBIO	UNICAMP
NAYARA PATRICIA VIEIRA DE LIRA	BOLSISTA DOUTORADO	LNBIO	UNICAMP
PRISCILA FERREIRA PAPA	BOLSISTA DOUTORADO	LNBIO	UNICAMP
RAFAEL RENATINO CANEVAROLO	BOLSISTA DOUTORADO	LNBIO	UNICAMP
RAFAELA MILAN BONOTTO	BOLSISTA DOUTORADO	LNBIO	UNICAMP
REBECA KAWAHARA	BOLSISTA DOUTORADO	LNBIO	UNICAMP
RENATA MORO BARONI	BOLSISTA DOUTORADO	LNBIO	UNICAMP
SABRINA GONDIM RIBEIRO MOTA	BOLSISTA DOUTORADO	LNBIO	UEFS
SOLEDAD PALAMETA	BOLSISTA DOUTORADO	LNBIO	UNICAMP
TALITA DINIZ MELO	BOLSISTA DOUTORADO	LNBIO	UNICAMP
VALERIA SCORSATO	BOLSISTA DOUTORADO	LNBIO	UNICAMP
VALERIA YUKARI ABE	BOLSISTA DOUTORADO	LNBIO	UNICAMP
VANESSA BOMFIM CARDOSO	BOLSISTA DOUTORADO	LNBIO	UNICAMP
ADRIANO HENRIQUE BRAGA	BOLSISTA DOUTORADO	LNLS	UFSCAR
CAROLINE LYDIE MOULS	BOLSISTA DOUTORADO	LNLS	UNICAMP
LARISSA SAYURI ISHIBE VEIGA	BOLSISTA DOUTORADO	LNLS	UNICAMP
NATHALY LOPES ARCHILHA	BOLSISTA DOUTORADO	LNLS	USP
RAFAEL FERREIRA DA COSTA VESCOVI	BOLSISTA DOUTORADO	LNLS	UNICAMP
RICARDO DONIZETH DOS REIS	BOLSISTA DOUTORADO	LNLS	UNICAMP
VANESSA ISABEL TARDILLO SUAREZ	BOLSISTA DOUTORADO	LNLS	UFV
WILLIAN TAKEMITSU SHIGEYOSI	BOLSISTA DOUTORADO	LNLS	UFSCAR
ARIEL ALBERTO BURGOS	BOLSISTA DOUTORADO	LNNANO	ARGENTINA
DANIELLE BRANTA LOPES	BOLSISTA DOUTORADO	LNNANO	UNICAMP
GUILHERME ABREU FARIA	BOLSISTA DOUTORADO	LNNANO	UNICAMP
INGRID DAVID BARCELOS	BOLSISTA DOUTORADO	LNNANO	UFMG
JOHN JAIRO HOYOS QUINTERO	BOLSISTA DOUTORADO	LNNANO	ARGENTINA
JULIAN ARNALDO AVILA DIAZ	BOLSISTA DOUTORADO	LNNANO	UNICAMP
JULIAN DAVID ESCOBAR ATEHORTUA	BOLSISTA DOUTORADO	LNNANO	CNPEM
LEANDRO DAS MERCES SILVA	BOLSISTA DOUTORADO	LNNANO	UNICAMP
RAMIRO JOSE CHAMORRO CONEO	BOLSISTA DOUTORADO	LNNANO	UNICAMP
SAIMON FILIPE COVRE DA SILVA	BOLSISTA DOUTORADO	LNNANO	UFV
SANTIAGO MAYA JOHNSON	BOLSISTA DOUTORADO	LNNANO	UNICAMP

VITOR HUGO BALASCO SERRAO	BOLSISTA DOUTORADO	LNNANO	USP
ANTONIELLE VIEIRA MONCLARO	BOLSISTA MESTRADO	CTBE	UNB
ANTONIO ADALBERTO KAUPERT NETO	BOLSISTA MESTRADO	CTBE	UFSCAR
ANTONIO ADALBERTO KAUPERT NETO	BOLSISTA MESTRADO	CTBE	UNICAMP
BIANCA CONSORTI BUSSAMRA	BOLSISTA MESTRADO	CTBE	UNICAMP
CAMILA CRISTINA SANCHEZ	BOLSISTA MESTRADO	CTBE	UNICAMP
CAMILA UTSUNOMIA	BOLSISTA MESTRADO	CTBE	UNICAMP
CAMILA VIANA VIEIRA	BOLSISTA MESTRADO	CTBE	UNICAMP
CARLOS ALBERTO SEPULVEDA LANZIANO	BOLSISTA MESTRADO	CTBE	UNICAMP
EVANDRO ANTONIO DE LIMA	BOLSISTA MESTRADO	CTBE	UNICAMP
FERNANDA BUCHLI	BOLSISTA MESTRADO	CTBE	UNICAMP
GLAUCO FERRO LEAL	BOLSISTA MESTRADO	CTBE	USP
GUSTAVO PAGOTTO BORIN	BOLSISTA MESTRADO	CTBE	UNICAMP
JOAO PAULO LOURENCO FRANCO CAIRO	BOLSISTA MESTRADO	CTBE	UNICAMP
JOAO ROSSI NETO	BOLSISTA MESTRADO	CTBE	UNICAMP
JOSE ALBERTO DIOGO	BOLSISTA MESTRADO	CTBE	UNICAMP
KARLA YUKARI KATAYAMA	BOLSISTA MESTRADO	CTBE	USP
LARISSA MARQUES VIGLIO	BOLSISTA MESTRADO	CTBE	UFSCAR
LAUREN MAINE SANTOS MENANDRO	BOLSISTA MESTRADO	CTBE	USP
LEANDRO CARNEIRO BARBOSA	BOLSISTA MESTRADO	CTBE	UNESP
LIEGE ABDALLAH KAWAI LUQUI	BOLSISTA MESTRADO	CTBE	USP
LUCAS GELAIN	BOLSISTA MESTRADO	CTBE	UNICAMP
LUCIANE FENDER COERINI	BOLSISTA MESTRADO	CTBE	USP
PATRICIA DOS SANTOS COSTA	BOLSISTA MESTRADO	CTBE	UNICAMP
PEDRO YORITOMO SOUZA NAKASU	BOLSISTA MESTRADO	CTBE	UNICAMP
RICARDO JUSTINO DA SILVA	BOLSISTA MESTRADO	CTBE	UNICAMP
ROBSON TRAMONTINA	BOLSISTA MESTRADO	CTBE	UNICAMP
TASSIA PENHA PEREIRA	BOLSISTA MESTRADO	CTBE	UNICAMP
THUANNY ANDRADE BORGES	BOLSISTA MESTRADO	CTBE	UNICAMP
ALINE MONTICELLI CARDOSO	BOLSISTA MESTRADO	LNBIO	UNICAMP
ALINE VILLANOVA BRIDI	BOLSISTA MESTRADO	LNBIO	UNICAMP
ARTHUR ZANETTI NUNES FERNANDES	BOLSISTA MESTRADO	LNBIO	UNICAMP
BARBARA SANTOS PIRES DA SILVA	BOLSISTA MESTRADO	LNBIO	USP
CAMILA CRISTINA PASCOAL	BOLSISTA MESTRADO	LNBIO	UNICAMP
CARLA CRISTINA POLO	BOLSISTA MESTRADO	LNBIO	UNICAMP
CAROLINA CARNEIRO SOARES MACEDO	BOLSISTA MESTRADO	LNBIO	UNICAMP
CESAR ANDRES RIVERA MARTINEZ	BOLSISTA MESTRADO	LNBIO	UNICAMP
DOUGLAS ADAMOSKI MEIRA	BOLSISTA MESTRADO	LNBIO	UNICAMP
ESTELA DE OLIVEIRA LIMA	BOLSISTA MESTRADO	LNBIO	UNICAMP
FELIPE ALONSO MARTINS	BOLSISTA MESTRADO	LNBIO	UNICAMP
FREDERICO PADOVAN BORGES	BOLSISTA MESTRADO	LNBIO	UNICAMP

GISEL VILLARINHO	BOLSISTA MESTRADO	LNBIO	UNICAMP
IGOR MONTEZE FERREIRA	BOLSISTA MESTRADO	LNBIO	UNICAMP
IRENE LAYANE DE SOUSA	BOLSISTA MESTRADO	LNBIO	UNICAMP
LARA MALDANIS CERQUEIRA PERES	BOLSISTA MESTRADO	LNBIO	UNICAMP
LARISSA MENEZES DOS REIS	BOLSISTA MESTRADO	LNBIO	UNICAMP
LUCIANA DE SOUSA PARADELA	BOLSISTA MESTRADO	LNBIO	UNICAMP
MARIA EDUARDA CORDEIRO	BOLSISTA MESTRADO	LNBIO	PUCC
NATHALIA DE CARVALHO INDOLFO	BOLSISTA MESTRADO	LNBIO	UNICAMP
PAULO VINICIUS DA MATA MADEIRA	BOLSISTA MESTRADO	LNBIO	UNICAMP
PLINIO SALMAZO VIEIRA	BOLSISTA MESTRADO	LNBIO	UNICAMP
TABATA PERES CARDOSO	BOLSISTA MESTRADO	LNBIO	UNESP
TABATA RENEE DORATIOTO	BOLSISTA MESTRADO	LNBIO	UNICAMP
VANESSA RODRIGUES PEGOS	BOLSISTA MESTRADO	LNBIO	UNICAMP
VITOR HUGO DE OLIVEIRA AMANCIO	BOLSISTA MESTRADO	LNBIO	UNICAMP
CARLOS EDUARDO PINHEIRO VIEIRA	BOLSISTA MESTRADO	LNLS	UNIFESP
JESSICA FERNANDA AFFONSO DE OLIVEIRA	BOLSISTA MESTRADO	LNLS	UNICAMP
JOHANN EDUARDO BAADER	BOLSISTA MESTRADO	LNLS	UNICAMP
TAMIRES MICHELLE GALLO	BOLSISTA MESTRADO	LNLS	UNICAMP
ELISA SILVA FERREIRA	BOLSISTA MESTRADO	LNNANO	UNICAMP
GUILHERME ABREU FARIA	BOLSISTA MESTRADO	LNNANO	UNICAMP
LAIS LUZ RODRIGUES NETO	BOLSISTA MESTRADO	LNNANO	UNICAMP
LEANDRO YOSHIO SHIROMA	BOLSISTA MESTRADO	LNNANO	UNICAMP
LIA BERALDO DA SILVEIRA BALESTRIN	BOLSISTA MESTRADO	LNNANO	UNICAMP
RICARDO DIOGO RIGHETTO	BOLSISTA MESTRADO	LNNANO	UNICAMP
WILLIAM SANTOS MAGALHAES	BOLSISTA MESTRADO	LNNANO	UNICAMP
AGNES CRISTINA PIMENTEL	BOLSISTA INICIACAO CIENTIFICA	CTBE	UNICAMP
ALINE ELOISA ASSAD SILVA	BOLSISTA INICIACAO CIENTIFICA	CTBE	UNICAMP
ALINE ELOISA ASSAD SILVA	BOLSISTA INICIACAO CIENTIFICA	CTBE	UNICAMP
AMANDA SILVA DE SOUSA	BOLSISTA INICIACAO CIENTIFICA	CTBE	PUCC
BRENDA OLIVEIRA RAMIRES	BOLSISTA INICIACAO CIENTIFICA	CTBE	UNICAMP
BRUNO BUENO CAVICHIA	BOLSISTA INICIACAO CIENTIFICA	CTBE	UFSCAR
DEBORA VENANCIO SOUSA	BOLSISTA INICIACAO CIENTIFICA	CTBE	UNICAMP
DEBORAH REGINA MENDES	BOLSISTA INICIACAO CIENTIFICA	CTBE	UNICAMP
ELIANE SILVA DE SANTANA	BOLSISTA INICIACAO CIENTIFICA	CTBE	UNICAMP
FELIPE CALZADO	BOLSISTA INICIACAO CIENTIFICA	CTBE	UNICAMP
FERNANDA LOPES DE FIGUEIREDO	BOLSISTA INICIACAO CIENTIFICA	CTBE	PUCC
GABRIEL DEL ALAMO CARDOSO DE MORAES	BOLSISTA INICIACAO CIENTIFICA	CTBE	UNICAMP
GIOVANNA LOPES REY PEINADO	BOLSISTA INICIACAO CIENTIFICA	CTBE	UNICAMP
GUILHERME KEPPE ZANINI	BOLSISTA INICIACAO CIENTIFICA	CTBE	UFSCAR
GUSTAVO FRIZARIN PEREIRA FERRAZ	BOLSISTA INICIACAO CIENTIFICA	CTBE	UNICAMP
HENRIQUE DERCOLI	BOLSISTA INICIACAO CIENTIFICA	CTBE	UNICAMP

IURAN DE SOUZA GONCALVES	BOLSISTA INICIACAO CIENTIFICA	CTBE	UNICAMP
KEILA SUEMI KAWAKAMI	BOLSISTA INICIACAO CIENTIFICA	CTBE	UFSCAR
LUANA OLIVEIRA DOS SANTOS	BOLSISTA INICIACAO CIENTIFICA	CTBE	UNICAMP
LUIS GUILHERME FURLAN ABREU	BOLSISTA INICIACAO CIENTIFICA	CTBE	UFSCAR
MARCIO DOS SANTOS JUNIOR	BOLSISTA INICIACAO CIENTIFICA	CTBE	UNICAMP
MARIANA TROVO MARCHISIN	BOLSISTA INICIACAO CIENTIFICA	CTBE	UFSCAR
NAIANE RIBEIRO RIOS	BOLSISTA INICIACAO CIENTIFICA	CTBE	PUCC
PAULA QUINTANILLA CUESTA	BOLSISTA INICIACAO CIENTIFICA	CTBE	UPM
RAYSA GEVARTOSKY	BOLSISTA INICIACAO CIENTIFICA	CTBE	USP
RENATO AUGUSTO CORREA DOS SANTOS	BOLSISTA INICIACAO CIENTIFICA	CTBE	UNICAMP
RODRIGO AKIRA FRE	BOLSISTA INICIACAO CIENTIFICA	CTBE	UNICAMP
ALINE APARECIDA MELO	BOLSISTA INICIACAO CIENTIFICA	LNBIO	UNICAMP
BEATRIZ DAVID PADILHA	BOLSISTA INICIACAO CIENTIFICA	LNBIO	UNICAMP
BIANCA GOMES	BOLSISTA INICIACAO CIENTIFICA	LNBIO	PUCC
BRUNA DOMINGUES VIEIRA	BOLSISTA INICIACAO CIENTIFICA	LNBIO	UNICAMP
ERICO LUIZ MORETO LINZ	BOLSISTA INICIACAO CIENTIFICA	LNBIO	METROCAMP
IGOR FREDERICO DE SOUZA CUSTOD	BOLSISTA INICIACAO CIENTIFICA	LNBIO	UNICAMP
IZABEL CRISTINA R.L.C.N.SILVA	BOLSISTA INICIACAO CIENTIFICA	LNBIO	UNICAMP
JORGE TAKAO YUZAWA	BOLSISTA INICIACAO CIENTIFICA	LNBIO	UNICAMP
KELVEN ULISSES SEVERIANO	BOLSISTA INICIACAO CIENTIFICA	LNBIO	UNICEP
LUISA SANTOS NAVES	BOLSISTA INICIACAO CIENTIFICA	LNBIO	UNICAMP
MATEUS AUGUSTO BELLOMO AGRELLO	BOLSISTA INICIACAO CIENTIFICA	LNBIO	UNICAMP
PRISCILA DOS SANTOS BURY	BOLSISTA INICIACAO CIENTIFICA	LNBIO	UNICAMP
THAWNEE DE OLIVEIRA BARROSO	BOLSISTA INICIACAO CIENTIFICA	LNBIO	FAC
VANESA PEIXOTO DE MATOS MARTINS	BOLSISTA INICIACAO CIENTIFICA	LNBIO	UNICAMP
ALEXANDRE DIAS BARBOSA	BOLSISTA INICIACAO CIENTIFICA	LNLS	UNICAMP
ANDRE SEIKE KAMEYAMA	BOLSISTA INICIACAO CIENTIFICA	LNLS	UNICAMP
ARIADNE TUCKMANTEL BIDO	BOLSISTA INICIACAO CIENTIFICA	LNLS	UNICAMP
ARTHUR EDUARDO PASTORE DE LIMA	BOLSISTA INICIACAO CIENTIFICA	LNLS	UNICAMP
CARLA FERNANDA BATISTA	BOLSISTA INICIACAO CIENTIFICA	LNLS	UFSCAR
FELIPE FERRAZ MORGADO DE OLIVEIRA	BOLSISTA INICIACAO CIENTIFICA	LNLS	UNICAMP
FELIPE LUIZ ALVARES VITAL	BOLSISTA INICIACAO CIENTIFICA	LNLS	UNICAMP
GABRIEL BUENO DE MORAES FIOR	BOLSISTA INICIACAO CIENTIFICA	LNLS	UNICAMP
GABRIEL MATHEWS VIANA	BOLSISTA INICIACAO CIENTIFICA	LNLS	UNICAMP
GABRIELA EGERLAND BUENO	BOLSISTA INICIACAO CIENTIFICA	LNLS	UNICAMP
GUILHERME PESSOA NOGUEIRA	BOLSISTA INICIACAO CIENTIFICA	LNLS	UNICAMP
JACQUELINE CRISTINA OLIVEIRA	BOLSISTA INICIACAO CIENTIFICA	LNLS	UNICAMP
JOAO CARLOS CERQUEIRA	BOLSISTA INICIACAO CIENTIFICA	LNLS	UNICAMP
KAUAN MUCHIUTTE RODRIGUES	BOLSISTA INICIACAO CIENTIFICA	LNLS	UNICAMP
LEONARDO SANTANA PINTO	BOLSISTA INICIACAO CIENTIFICA	LNLS	USF
MAIARA EMER	BOLSISTA INICIACAO CIENTIFICA	LNLS	UNICAMP

JESSYCA NOBRE PEREIRA	BOLSISTA INICIACAO CIENTIFICA	LNNANO	UNICAMP
LUANA NUNES SANTOS	BOLSISTA INICIACAO CIENTIFICA	LNNANO	UNICAMP
MURILO HENRIQUE MARTINEZ MOREIRA	BOLSISTA INICIACAO CIENTIFICA	LNNANO	UNICAMP
RODRIGO LENZI ROCHA	BOLSISTA INICIACAO CIENTIFICA	LNNANO	UNICAMP
TIAGO DE OLIVEIRA CARVALHO	BOLSISTA INICIACAO CIENTIFICA	LNNANO	UNICAMP
VINICIUS MATTOS DOS SANTOS	BOLSISTA INICIACAO CIENTIFICA	LNNANO	UNICAMP
GISELE NUNES RODRIGUES	BOLSISTA TREINAMENTO TECNICO	CTBE	UFSCAR
JAQUELINE DE ALCANTARA RIBEIRO	BOLSISTA TREINAMENTO TECNICO	LNBIO	UNICAMP
JOSE EDWIN NECIOSUP QUESNAY	BOLSISTA TREINAMENTO TECNICO	LNBIO	PERU
LUCIANA DE SOUSA PARADELA	BOLSISTA TREINAMENTO TECNICO	LNBIO	UFPA
SOLEDAD PALAMETA	BOLSISTA TREINAMENTO TECNICO	LNBIO	UNICAMP
ANA CLAUDIA FINGOLO	BOLSISTA TREINAMENTO TECNICO	LNNANO	Etec
SARAH REGINA BUENO	BOLSISTA TREINAMENTO TECNICO	LNNANO	UNICAMP

Nome	Modalidade	LN
ALBERTO GIAROLI DE OLIVEIRA PEREIRA BARRETO	BOLSISTA POS DOUTORADO	CTBE
ALEXANDRE MONTEIRO SOUZA	BOLSISTA POS DOUTORADO	CTBE
ANDRE RICARDO DE LIMA DAMASIO	BOLSISTA POS DOUTORADO	CTBE
ANTONIO DJALMA NUNES FERRAZ JUNIOR	BOLSISTA POS DOUTORADO	CTBE
BRUNA DE SOUZA MORAES	BOLSISTA POS DOUTORADO	CTBE
CARLA ANDREIA FREIXO PORTELA	BOLSISTA POS DOUTORADO	CTBE
CARLA BOTELHO MACHADO	BOLSISTA POS DOUTORADO	CTBE
CRISTIANE AKEMI UCHIMA	BOLSISTA POS DOUTORADO	CTBE
EDUARDO CAPELARI RENZANO	BOLSISTA POS DOUTORADO	CTBE
ELAINE CRISPIM	BOLSISTA POS DOUTORADO	CTBE
FABIANA BOMBONATO MINGOSSI	BOLSISTA POS DOUTORADO	CTBE
FERNANDA RAQUEL CAMILO DOS SANTOS	BOLSISTA POS DOUTORADO	CTBE
FRANCIELI OLIVEIRA MAMBRINI	BOLSISTA POS DOUTORADO	CTBE
IGOR RICARDO DE SOUZA VICTORINO	BOLSISTA POS DOUTORADO	CTBE
JOSE FERNANDO CUADROS BOHORQUE	BOLSISTA POS DOUTORADO	CTBE
JULIANA MARTIN DO PRADO	BOLSISTA POS DOUTORADO	CTBE
LEONARDO NAZARIO DA SILVA DOS SANTOS	BOLSISTA POS DOUTORADO	CTBE
LUCAS GONÇALVES PEREIRA	BOLSISTA POS DOUTORADO	CTBE
LUISA FERNANDA RIOS PINTO	BOLSISTA POS DOUTORADO	CTBE
LUZ ADRIANA ALVAREZ TORO	BOLSISTA POS DOUTORADO	CTBE
MARCELO VIZONA LIBERATO	BOLSISTA POS DOUTORADO	CTBE
MARCOS DJUN BARBOSA WATANABE	BOLSISTA POS DOUTORADO	CTBE
MOHAMED NACEUR BELGACEM	BOLSISTA POS DOUTORADO	CTBE
NIKOLAOS SPYROU	BOLSISTA POS DOUTORADO	CTBE
PRISCILA VAZ DE ARRUDA	BOLSISTA POS DOUTORADO	CTBE

RAFAELLA COSTA BONUGLI SANTOS	BOLSISTA POS DOUTORADO	CTBE
ROSANA GOLDBECK	BOLSISTA POS DOUTORADO	CTBE
ROSILAINE ARALDI	BOLSISTA POS DOUTORADO	CTBE
SAMANTHA CHRISTINE SANTOS	BOLSISTA POS DOUTORADO	CTBE
SIMONE TONI RUIZ CORREA	BOLSISTA POS DOUTORADO	CTBE
VALERIA MAFRA	BOLSISTA POS DOUTORADO	CTBE
VINICIUS FERNANDES NUNES DA SI	BOLSISTA POS DOUTORADO	CTBE
VITOR PAULO VARGAS	BOLSISTA POS DOUTORADO	CTBE
VIVIANE CRISTINA HEINZEN DA SIIVA	BOLSISTA POS DOUTORADO	CTBE
ADRIANA SANTOS SOPRANO	BOLSISTA POS DOUTORADO	LN BIO
ANA LETICIA GORI LUSA	BOLSISTA POS DOUTORADO	LN BIO
ARINA MARINA PEREZ	BOLSISTA POS DOUTORADO	LN BIO
BRUNA MEDEIA DE CAMPOS	BOLSISTA POS DOUTORADO	LN BIO
BRUNO DOS SANTOS PASCOALINO	BOLSISTA POS DOUTORADO	LN BIO
CARLA CRISTINA JUDICE MARIA	BOLSISTA POS DOUTORADO	LN BIO
CARLO DONATO SIMOES CAIAFA FE	BOLSISTA POS DOUTORADO	LN BIO
CARLOS ROBERTO KOSCKY PAIER	BOLSISTA POS DOUTORADO	LN BIO
DANIEL FERREIRA DE LIMA NETO	BOLSISTA POS DOUTORADO	LN BIO
DANIELA CAMPOS GRANATO	BOLSISTA POS DOUTORADO	LN BIO
DIEGO MARIO RUIZ	BOLSISTA POS DOUTORADO	LN BIO
EDMARCIA ELISA DE SOUZA	BOLSISTA POS DOUTORADO	LN BIO
FABIANO JARES CONTESINI	BOLSISTA POS DOUTORADO	LN BIO
FERNANDA CRISTINA COSTA	BOLSISTA POS DOUTORADO	LN BIO
FLAVIO HENRIQUE MOREIRA DE SOUZA	BOLSISTA POS DOUTORADO	LN BIO
HUGO MASSAYOSHI SHIMO	BOLSISTA POS DOUTORADO	LN BIO
JOHANNA KATARINNA KOVALA	BOLSISTA POS DOUTORADO	LN BIO
JOICE HELENA PAIVA	BOLSISTA POS DOUTORADO	LN BIO
LUCIANE ALESSANDRA CHIMETTO TONON	BOLSISTA POS DOUTORADO	LN BIO
MARCIO VINICIUS BERTACINE DIAS	BOLSISTA POS DOUTORADO	LN BIO
MARCOS RODRIGO ALBORGHETTI	BOLSISTA POS DOUTORADO	LN BIO
MARIANA MASCHIETTO	BOLSISTA POS DOUTORADO	LN BIO
MARIANE NORONHA DOMINGUES	BOLSISTA POS DOUTORADO	LN BIO
MARILIA MEIRA DIAS	BOLSISTA POS DOUTORADO	LN BIO
MELISSA REGINA FESSEL	BOLSISTA POS DOUTORADO	LN BIO
MURILO DE CARVALHO	BOLSISTA POS DOUTORADO	LN BIO
NAGAMPALLI RAGHAYEHDRA SASHI K	BOLSISTA POS DOUTORADO	LN BIO
PATRICIA CASTELLEN	BOLSISTA POS DOUTORADO	LN BIO
PAULA RODRIGUES OBLESSUC	BOLSISTA POS DOUTORADO	LN BIO
PRISCILA PINI ZENATTI	BOLSISTA POS DOUTORADO	LN BIO
REBECA LEITE DE ALMEIDA	BOLSISTA POS DOUTORADO	LN BIO
RUTE ALVES PEREIRA E COSTA	BOLSISTA POS DOUTORADO	LN BIO
SAMIRA ZOUHIR	BOLSISTA POS DOUTORADO	LN BIO
VALBER FLORENCIO FERREIRA	BOLSISTA POS DOUTORADO	LN BIO
VALERIA ROSANA TUROWSKI	BOLSISTA POS DOUTORADO	LN BIO
ANTONIO AUGUSTO MALFATTI GASPERINI	BOLSISTA POS DOUTORADO	LNLS

CRISTIANE ZANUTELO	BOLSISTA POS DOUTORADO	LNLS
DANIEL AUGUSTO CANTANE	BOLSISTA POS DOUTORADO	LNLS
DEBORA MOTTA MEIRA	BOLSISTA POS DOUTORADO	LNLS
FRANCISCO CARLOS BARBOSA MAIA	BOLSISTA POS DOUTORADO	LNLS
JOSE RENATO LINARES MARDEGAN	BOLSISTA POS DOUTORADO	LNLS
JULIANA MARTINS DE SOUZA E SILVA	BOLSISTA POS DOUTORADO	LNLS
MARTIN EDUARDO SALETA	BOLSISTA POS DOUTORADO	LNLS
PEDRO SCHIO DE NORONHA MUNIZ	BOLSISTA POS DOUTORADO	LNLS
RAFAEL SILVA NUNES	BOLSISTA POS DOUTORADO	LNLS
WENDELL SIMOES E SILVA	BOLSISTA POS DOUTORADO	LNLS
ADRIANO HENRIQUE BRAGA	BOLSISTA POS DOUTORADO	LNNANO
ANGELA ALBUQUERQUE TEIXEIRA NETO	BOLSISTA POS DOUTORADO	LNNANO
ANTONIO CARLOS BORGES	BOLSISTA POS DOUTORADO	LNNANO
DANIELLE BRANTA LOPES	BOLSISTA POS DOUTORADO	LNNANO
FABRICIO DE SOUZA DELITE	BOLSISTA POS DOUTORADO	LNNANO
HEIDE HELOISE BERNARDI	BOLSISTA POS DOUTORADO	LNNANO
JOHNNATAN RODRIGUEZ FERNANDEZ	BOLSISTA POS DOUTORADO	LNNANO
NIRMAL TEJ KUMAR DIVAKU	BOLSISTA POS DOUTORADO	LNNANO
OSVALDO MITSUYUKI CINTHO	BOLSISTA POS DOUTORADO	LNNANO
RAFAEL FURLAN DE OLIVEIRA	BOLSISTA POS DOUTORADO	LNNANO
THIAGO AUGUSTO DE LIMA BURGO	BOLSISTA POS DOUTORADO	LNNANO
ZAIRA CLEMENTE	BOLSISTA POS DOUTORADO	LNNANO

ANEXO 6 – INDICADORES ESPECÍFICOS DE PROJETOS

SIRIUS: ATIVIDADES DO 7º TERMO ADITIVO

ATIVIDADE	Meta	Indicadores	Prazo ATUALIZADO	RECURSOS SOLICITADOS (em 1000 R\$)	% de Execução	Status da Ação em dez/2014
Obras e Instalações						
				2.660		
Aditivo do Projeto Executivo	Projeto da Nova portaria e alteração do local da implantação do Sirius (novo terreno)	Projeto da nova portaria	mar/14	110	100%	Projeto Executivo da Portaria foi concluído em Mar/2014.
Trabalhos Complementares Piso Protótipo	Construção de estacas testes no piso protótipo para definir o melhor piso para o prédio da fonte de luz Síncrotron	Resultados da medição do piso protótipo	out/13	550	100%	Concluído os trabalhos de construção e análise do piso protótipo necessários para definição do piso do Sirius. O piso crítico final do prédio foi escolhido em out/2013.
Limpeza, Terraplanagem e Drenagem	Preparação do Terreno Final para Construção do prédio para fonte de Luz Síncrotron	Terreno preparado para obra	ago/14	2.000	100%	Foram concluídas as atividades de drenagem, terraplanagem e plantio de grama. O terreno está preparado para o início da obra.
Infraestrutura de engenharia						
				4.817		
Mesa Tridimensional CNC para caracterização dimensional (variação cambial)	Medição dos Imãs e outras partes da máquina (dimensional)	Entrega da Máquina Tridimensional	mar/14	63	100%	Mesa tridimensional CNC recebida e instalada.
Bancada Kugler - 50% + variação cambial	Caracterização Eletromagnética dos Imãs	Entrega da Bancada Kugler	mar/14	808	100%	A bancada Kugler chegou ao LNLS em Jan/2014. Em mar/14, foi realizada a instalação, a calibração da bancada e o treinamento da equipe.
Prédio de Imãs II	Conclusão da obra	Entrega do Prédio de Imãs II	mai/13	2.903	100%	O prédio foi construído e liberado para as equipes de engenharia.
Aditivo do Prédio de Imãs II	Aditivo de obra	Entrega do Prédio de Imãs II	mai/13	298	100%	
Reforma Imãs I - 55%	Conclusão da Reforma do Imãs I para atividades de produção de componentes	Reforma do prédio concluída	ago/13	745	100%	A reforma do prédio de Imãs I foi concluída em 2013 e o prédio foi liberado para as equipes de Engenharia.

SIRIUS: ATIVIDADES DO 7º TERMO ADITIVO

ATIVIDADE	Meta	Indicadores	Prazo ATUALIZADO	RECURSOS SOLICITADOS (em 1000 R\$)	% de Execução	Status da Ação em dez/2014
Máquina						
7.149						
Protótipos dos Imãs do Booster	Construção dos Protótipos dos Imãs do Booster	Entrega dos protótipos dos imãs do Booster	de abr/2013 a maio/2015	1.338	30%	Recebemos o protótipo do quadrupolo do Booster. Concluímos a especificação técnica de todos os imãs do Booster. A WEG está desenvolvendo o processo de fabricação.
Produção dos Imãs do Booster	Produção dos Imãs do Booster	Entrega dos imãs do Booster	de ago/2013 a ago/2015	3.771	30%	Prazo alterado devido a reprogramação do cronograma e fluxo de caixa do Projeto Sirius. Além disso, estamos buscando tolerâncias dimensionais mais apertadas.
Prototipagem da Câmara de Vácuo de Trecho reto do Anel	Protótipo da Câmara de vácuo de trecho reto do anel + Infraestrutura	Protótipo da Câmara de vácuo de trecho reto do anel	out/15	210	50%	A infraestrutura foi concluída. Para o desenvolvimento do processo foram construídos vários protótipos de câmara de trecho reto. Está pendente o desenvolvimento da brasagem do tubo de refrigeração da câmara. Os trabalhos de desenvolvimento devem ser concluídos em out/2015.
Fabricação das Câmaras de Vácuo de Trecho reto do anel	Produção parcial das câmaras de vácuo de trecho reto do Anel	Entrega parcial das Câmaras de vácuo de trecho reto do anel	de out/2015 a abr/2016	1.830	0%	Prazo alterado para abr/2016 devido a reprogramação do cronograma e fluxo de caixa do Projeto Sirius.
Mão de Obra						
904						
Recursos Humanos	Manutenção dos colaboradores contratados para o projeto.	Manutenção dos colaboradores destinados ao projeto		904	100%	Foi realizada a manutenção dos colaboradores do Projeto.
TOTAL GERAL						
15.530						

SIRIUS: ATIVIDADES DO 8º TERMO ADITIVO

ATIVIDADE	Meta	Indicadores	Prazo ATUALIZADO	RECURSOS SOLICITADOS (em 1000 R\$)	% de Execução	Status da Ação em dez/2014
Obras e Instalações						
				57.408		
Terreno preparado para início da Obra	Remoção completa do entulho do terreno e conclusão dos trabalhos de drenagem do terreno	Terreno preparado para obra	mar/14	1.274	100%	Foram concluídas as atividades de drenagem, terraplanagem e plantio de grama. O terreno está preparado para o início da obra.
Início da Obra	Iniciar atividades de fundação, fechamento e cobertura do prédio	Realização parcial da fundação, fechamento e cobertura do prédio	dez/14	53.900	10%	Concluímos a negociação técnica e comercial com a construtora qualificada no processo de seleção. Iniciamos a obra em dez/2014.
Gerenciamento da Obra	Revisão do Projeto Executivo pela Gerenciadora da Obra, contratação da Obra e gerenciamento da obra até jun/2014	Gerenciamento da obra	de jul/2013 a jun/2014	2.234	90%	A gerenciadora da obra participou do processo de revisão do Projeto Executivo durante 2014 e do processo de contratação da construtora para Obra. Com a reprogramação do início e duração da obra, o contrato com a Gerenciadora terá que ser estendido.
Máquina						
				3.758		
Prototipagem das câmaras de Vácuo do Booster	Fabricar Protótipos das câmaras de vácuo do Booster	Protótipos das câmaras de vácuo do Booster construídas	mar/15	49	30%	Projeto da Câmara de Dipolo está concluído e o protótipo construído. Está previsto a construção de novos protótipos antes do início da produção.
Câmara de Vácuo de Dipolo do Booster	Fabricar 100% das câmaras de dipolo do Booster	Câmaras de vácuo de dipolo do Booster construídas	de abr/2015 a set/2015	788	0%	Prazo alterado devido a reprogramação do cronograma e fluxo de caixa do Projeto Sirius.

SIRIUS: ATIVIDADES DO 8º TERMO ADITIVO

ATIVIDADE	Meta	Indicadores	Prazo ATUALIZADO	RECURSOS SOLICITADOS (em 1000 R\$)	% de Execução	Status da Ação em dez/2014
Prototipagem do Sistema Diagnóstico	Fabricar um Protótipo do Sistema de Diagnóstico dentro do especificado	Protótipo do Sistema de Diagnóstico	set/15	990	80%	Já temos dois protótipos da eletrônica de BPM construído. O segundo protótipo está em teste. Temos um protótipo da mecânica de BPM construído internamente e fizemos o pedido de um segundo protótipo externo. A previsão de conclusão da prototipagem é set/2015.
Prototipagem de Magnetos Pulsados	Fabricar um Protótipo de um Kicker	Kicker construído	set/14	130	100%	Temos um protótipo do Kicker de injeção do Booster montado e caracterizado magneticamente.
Prototipagem das Fontes de Corrente	Fabricar protótipos de fontes de corrente	Protótipos de fontes de corrente	dez/15	764	60%	Foram feitas melhorias no projeto da fonte dos quadrupolos do Booster e o segundo protótipo foi finalizado. Já temos um protótipo das fontes de baixa potência (corretoras) e foram comprados componentes para construção do segundo protótipo. Finalizamos os testes do protótipo das fontes de maior potência (quadrupolos e sextupolos). Será necessário a construção de um segundo protótipo dessas fontes.
Prototipagem de Berços	Fabricar protótipos de Berços	Protótipos de Berço	out/15	196	50%	Foram construídos dois protótipos de berço de multipolo do anel e um protótipo de berço do Booster. As medidas de vibração sugerem mudanças do projeto e construção de novos protótipos. Reprogramamos a conclusão desta atividade para out/2015, devido a busca de parceiros para esse desafio através do Edital FAPESP-FINEP.
Prototipagem do sistema de amplificação de RF	Fabricar protótipo para o sistema de amplificação de RF	Protótipo de um módulo da torre amplificadora testado	dez/13	299	100%	O protótipo de um módulo do sistema de amplificação de RF foi construído e medido.
Prototipagem do Sistema de controle do Sirius	Construção de um protótipo do sistema de controle do Sirius	Protótipo do sistema de controle testado	dez/13	542	100%	Prototipagem concluída. Estamos comprando 20 unidades da Single Board Computer selecionada para continuidade dos testes em ambiente real (testes no UVX).

SIRIUS: ATIVIDADES DO 8º TERMO ADITIVO

ATIVIDADE	Meta	Indicadores	Prazo ATUALIZADO	RECURSOS SOLICITADOS (em 1000 R\$)	% de Execução	Status da Ação em dez/2014
Divisão Científica				1.960		
Detectores	Comprar detectores para teste	Detectores	jul/15	1.960	50%	Foram adquiridos sensores por meio do consórcio Medpix. Já foram montados e passam pelos primeiros testes de aquisição de imagens. Atualmente os trabalhos se concentram em aprimorar e aumentar a área útil dos detectores.
Infraestrutura				2.940		
Metrologia	Comprar equipamentos para sala de metrologia	Equipamentos para Metrologia instalados	dez/15	2.940	30%	A sala está sendo projetada e um dos principais equipamentos, o LTP, está em processo de importação.
Mão de Obra				3.513		
Recursos Humanos	Manutenção dos colaboradores contratados para o projeto.	Manutenção dos colaboradores destinados ao projeto	até dez/2013	2.006	100%	Foi realizada a manutenção dos colaboradores do Projeto.
Gestão	Cursos, Treinamentos, Workshops, viagens técnicas	Garantir cursos, treinamentos, workshops e viagens técnicas para equipe do Projeto	até dez/2013	1.507	100%	Cursos, treinamentos, workshops e viagens técnicas do projeto realizadas conforme o previsto.
TOTAL GERAL				69.580		

SIRIUS: ATIVIDADES DO 10º TERMO ADITIVO

ATIVIDADE	Meta	Indicadores	Prazo ATUALIZADO	RECURSOS SOLICITADOS (em 1000 R\$)	% de Execução	Status da Ação em dez/2014
Obras e Instalações						
Obra do Sirius (parcial)	Realizar parcialmente as atividades de Obra do Sirius previstas para 2014	Atividades parciais previstas para 2014 realizadas	dez/14	15.530	10%	Concluímos a negociação de preço com a construtora qualificada no processo seletivo. Iniciamos a obra em dez/2014.

SIRIUS: ATIVIDADES DO 11º TERMO ADITIVO

ATIVIDADE	Meta	Indicadores	Prazo ATUALIZADO	RECURSOS APLICADOS (em 1000 R\$)	% de Execução	Status da Ação em dez/2014
Obras e Instalações 5.816						
Projeto Executivo	Concluir o projeto Executivo	Projeto executivo concluído e compatibilizado	abr/14	2.443	100%	
Aditivo II do Projeto Executivo (Aumento de Área)	Concluir o projeto Executivo	Projeto executivo concluído e compatibilizado	mai/14	1.238	100%	Projeto Executivo foi concluído em 2014.
Novo Contrato Projeto Executivo (Novo Projeto de Ar Condicionado)	Concluir o projeto executivo do Ar condicionado	Projeto Executivo do Ar condicionado concluído e compatibilizado	jun/14	820	100%	
Licenciamentos, limpeza do terreno e Terraplanagem	Remoção completa do entulho do terreno e conclusão dos trabalhos de drenagem do terreno	Terreno preparado para obra e licença obtida para construção	ago/14	1.315	100%	O terreno está preparado para o início da obra.
Infraestrutura 2.308						
Bancada Kugler	Instalação e comissionamento da Bancada Kugler	Bancada liberada	mar/14	308	100%	A bancada Kugler chegou ao L.N.L.S em jan/2014. Em mar/14, foi realizada a instalação, a calibração da bancada e o treinamento da equipe.
Infraestrutura da Engenharia	Manutenção dos Grupos do Sirius para realização das atividades do Sirius.	Manutenção dos Grupos do Sirius para realização das atividades do Sirius.	dez/14	2.000	100%	Foi realizada a manutenção dos grupos de Engenharia e Aceleradores para atender as necessidades do Projeto Sirius em 2014.
Divisão Científica 5.747						
Infraestrutura da Divisão Científica	Manutenção da Infraestrutura da Divisão Científica para o Sirius	Manutenção da Infraestrutura da Divisão Científica para o Sirius	dez/15	2.000	10%	Foram comprados alguns equipamentos em 2014. Será realizada reforma nos grupos em 2015 e aquisição de equipamentos de caracterização.
Projeto e Prototipagem das Linhas de Luz	Projeto e Prototipagem das Linhas de Luz	Projeto das Linhas de Luz em desenvolvimento	dez/15	3.747	30%	O protótipo do monocromador e front end estão em andamento.

SIRIUS: ATIVIDADES DO 11º TERMO ADITIVO

ATIVIDADE	Meta	Indicadores	Prazo ATUALIZADO	RECURSOS APLICADOS (em 1000 R\$)	% de Execução	Status da Ação em dez/2014
Máquina						
24.932						
Construção do Cruzeiro do Sul	Construir um trecho 1/20 da máquina e avaliar posicionamento dos equipamentos e infraestrutura	Melhorias devido a compatibilização	set/17	100	30%	Iniciamos a construção do Cruzeiro do Sul. No entanto, essa atividade irá se estender até o início da instalação da máquina para teste de todos os conceitos.
Produção do Ímãs do Booster	Concluir a produção dos ímãs do Booster	Ímãs do Booster produzidos e medidos	set/15	1.099	10%	Foi entregue o lote de corretoras do Booster. A fabricação dos demais ímãs ocorrerá até set/2015.
Ímãs do Anel	Prototipagem dos ímãs do anel	Protótipo dos ímãs do Anel construídos	de jun/2015 a out/2016	4.382	0%	A prototipagem dos ímãs do anel foi reprogramada, em razão das dificuldades no desenvolvimento dos protótipos dos ímãs do Booster.
Fontes	Fabricar protótipos de fontes e iniciar produção das Fontes de Dipolo do Booster	Concluir a prototipagem das fontes e iniciar produção da fonte de dipolo do Booster	dez/15	6.585	20%	A produção do Protótipo da Fonte de Dipolo está em andamento.
Berços	Fabricar novos protótipos de Berços	Protótipos de Berço	out/15	190	10%	Foram construídos dois protótipos de berço de multipolo do anel e um protótipo de berço do Booster. As medidas de vibração sugerem mudanças do projeto e construção de novos protótipos. Reprogramamos a conclusão desta atividade para out/2015, devido a busca de parceiros para esse desafio através do Edital FAPESP-FINEP.
Sistema de RF	Iniciar a fabricação dos componentes do sistema do Sistema de RF	Pedido Parcial de componentes alguns sistemas de RF	mar/15	1.520	90%	O pedido de compras para os componentes da torre amplificadora do Booster foi enviado ao fornecedor.
Sistema de Interlock do Sirius	Construção de um protótipo do sistema de Interlock do Sirius	Protótipo do sistema de Interlock testado	dez/15	323	0%	A prototipagem do Sistema de Interlock será realizada em 2015.
Sistema de Sincronismo do Sirius	Construção do sistema de Sincronismo do Sirius	Sistema de Sincronismo do Sirius definido e construído	jun/15	350	60%	O Sistema de Sincronismo do Sirius está em processo de construção.

SIRIUS: ATIVIDADES DO 11º TERMO ADITIVO

ATIVIDADE	Meta	Indicadores	Prazo ATUALIZADO	RECURSOS APLICADOS (em 1000 R\$)	% de Execução	Status da Ação em dez/2014
Linac 100Mev	O pagamento da primeira parcela do LINAC foi realizado com recursos de outras atividades que precisa ser reposto.	Pagamento da primeira parcela do LINAC	set/13	2.482	100%	Realizamos o pagamento de R\$ 4.527.117,06 referente a primeira parcela da fabricação do LINAC em set/2013.
Cavidades de RF	Encomendar duas Cavidades de RF Supercondutoras de 500 Mhz para o Anel do Sirius	Encomenda das duas cavidades Supercondutoras de RF para o Anel	set/15	6.801	0%	Reprogramamos a compra das cavidades do anel para set/2015, devido a reprogramação do Projeto. Além disso, a equipe está reavaliando o tipo de cavidade que será utilizada no anel do Sirius.
Sistema de Diagnóstico	Concluir a prototipagem do Sistema de Diagnóstico	Concluir a prototipagem do Sistema de Diagnóstico	set/15	1.100	80%	Já temos dois protótipos da eletrônica de BPM construído. O segundo protótipo está em teste. Temos um protótipo da mecânica de BPM construído internamente e fizemos o pedido de um segundo protótipo externo. A previsão de conclusão da prototipagem é set/2015.
Mão de Obra				10.197		
Recursos Humanos	Manutenção parcial dos colaboradores contratados para o projeto.	Manutenção parcial dos colaboradores destinados ao projeto	dez/14	9.045	100%	O Recurso financeiro para manutenção da equipe do Sirius em 2014 foi de R\$ 10216 mil, em razão de acréscimo de pessoal para equipe do Projeto.
Gestão	Cursos, Treinamentos, Workshops, viagens técnicas	Garantir cursos, treinamentos, workshops e viagens técnicas para equipe do Projeto	dez/14	1.152	100%	Realizados cursos, treinamento, workshops e viagens técnicas necessários para manutenção do Projeto Sirius em 2014.
TOTAL				48.999		

SISNANO: ATIVIDADES DO 10º e 11º TERMO ADITIVO

ATIVIDADE	META	INDICADOR	PRAZO	CONTRATADO 10º E 11º TA	RECEBIDO ¹	Status da Execução
Laboratório de Microscopia Eletrônica	Equipamentos de grande e médio portes para os laboratórios de microscopia eletrônica, inclusive acessórios	Equipamentos do Laboratório de Microscopia Eletrônica instalados	dez/14	R\$ 6.674.900	R\$ 400.000	Foi repassado no ano de 2014 o valor R\$ 400 mil relativos ao 10º Termo Aditivo que foi destinado ao pagamento de manutenção de microscópios. Execução (reanejado), 47%.
Laboratório e Planta Piloto de Materiais Nanoestruturados	Equipamentos para laboratório e planta piloto de produção de materiais nanoestruturados e insumos estratégicos para nanotecnologias	Equipamentos para laboratório e planta piloto instalados	dez/14	R\$ 851.700		
Micro e nanofabricação	Equipamentos de porte grande e médio para micro e nanofabricação	Equipamentos de micro e nanofabricação instalados	nov/14	R\$ 1.532.000		
Caracterização e processamento de metais	Equipamentos para caracterização e processamento de metais	Equipamentos para caracterização e processamento de metais instalados.	dez/14	R\$ 1.687.500		
TOTAL				R\$ 10.746.100	R\$ 400.000	

¹ Transferência de R\$ 546.100,00, relativo ao 10º Termo Aditivo, efetivada em janeiro/2015, conforme Quadro de Acompanhamento Orçamentário e Financeiro disponível em SIAFI e enviado ao CNPEM em 12.01.2015.

BIOTEC: ATIVIDADES DO 12º TERMO ADITIVO

ATIVIDADE	META	INDICADOR	PRAZO	CONTRATADO 12º TA	Status da Execução
Plataforma de Linhagens Celulares - LIMA	Recursos Humanos dedicados ao projeto incluindo a gestão, equipe técnica e garantia de qualidade	Profissionais contratados pelo CNPEM ativos no projeto	ago/15	R\$ 1.100.000	
Reforma das instalações laboratoriais para adequação aos requisitos técnicos do projeto	Projeto executivo e reforma	Reforma concluída	ago/15	R\$ 1.400.000	
Treinamento e capacitação da equipe do projeto	Treinamentos nas técnicas a serem utilizadas no projeto e em garantia de qualidade	Treinamentos realizados	set/15	R\$ 100.000	Recursos não repassados.
Instalação dos laboratórios de linhagem celulares	Aquisição, instalação e qualificação dos equipamentos do projeto	Equipamentos instalados e qualificados	dez/15	R\$ 1.500.000	
Infraestrutura de tecnologia da informação	Aquisição, instalação e qualificação dos equipamentos de TI	Equipamentos instalados e qualificados	dez/15	R\$ 899.999	
TOTAL				R\$ 4.999.999	

ANEXO 7: INFORMAÇÕES COMPLEMENTARES

Quadro 1 - Histórico das avaliações da Comissão de Avaliação – CA

INDICADOR	PONTUAÇÃO			
	2010	2011	2012	2013
Avaliação Geral da Comissão	9,23	9,15	9,2	9,5

Quadro 2 – Histórico dos valores repassados pelo Contrato de Gestão

Fonte	2010	2011	2012	2013	2014
MCT	28.340.000	70.340.000	74.537.145	80.560.350	62.020.733
Outras fontes	17.751.000	-	3.193.330	21.287.667	38.266.660
Restos a Pagar - Outras Fontes	-	21.000.000	20.000.000	17.925.916	85.058.993
Total Geral	46.091.000	91.340.000	97.730.475	119.773.933	185.346.387

Quadro 3 – Valores repassados pelo Contrato de Gestão no ano 2014

Fonte	Termo Aditivo	Valor	Data
MCT	10º TA	12.816.850	13/jun
	10º TA	13.216.850	15/jul
	10º TA	12.816.850	11/ago
	10º TA	6.408.425	12/set
	10º TA	6.408.425	24/set
	10º TA	5.176.667	09/out

	10º TA	5.176.667	13/nov
Total MCT		62.020.734	
Outras fontes via Contrato de Gestão	11º TA	20.000.000	17/nov
	11º TA	9.000.000	15/dez
	11º TA	9.266.660	26/dez
Total Outras fontes		38.266.660	
Total Geral		100.287.394	

Quadro 4 – Contas Bancárias

Banco	Agência	Conta	Saldo em 31.12.2014
Banco do Brasil	3360-X	1268-8	30.790.219
Banco do Brasil	3360-X	5664-2	8.311.637
Banco do Brasil	3360-X	200.305-8	5.039.162
Banco do Brasil	3360-X	200.306-6	2.141.391
Banco do Brasil	3360-X	5665-0	242
Bradesco	3389	10715-8	107
Banco do Brasil	3360-X	5671-5	6.937.748
Bradesco	3389	10815-4	8.645.098
Bradesco	3389	10716-6	12.037.712
Banco do Brasil	3360-X	5387-2	60.036.219
Total			133.939.534

Quadro 5 - Demonstração de Receitas auferidas

Receitas	2014
Contrato de Gestão - MCTI	62.020.733
Contrato de Gestão - Outras Fontes	38.266.660
Restos a Pagar do Contrato de Gestão	85.058.993
Receita de Convênios	24.257.491
Receitas Financeiras	9.259.240
Receita com Prestação de Serviço	734.668
Outras Receitas	519.285
Total	220.117.070

Quadro 6 – Saldos Financeiros apropriados como Recursos do Contrato de Gestão

	2014
Saldo Financeiro em 30/06	97.451.227
Saldo Financeiro em 31/12	133.939.534

Quadro 7 – Plano de Ação pactuado para 2014

	Planejamento 2014		Execução 2014	
	Contratado nos Termos Aditivos ¹	Orçamento Revisado	Executado (Em milhares R\$)	% Execução
<i>Programa de Operação e Manutenção</i>	15.756	15.495	17.740	114%
<i>Programa de Atualização Institucional</i>	680	2.066	2.144	104%
<i>Programas Temáticos Internos</i>		31	147	480%
Pessoal	64.915	59.440	55.199	93%
Custeio e Investimento	16.436	17.592	20.031	114%
Total	81.351	77.032	75.229	92%

¹10º, 11º e 12º Termos Aditivos

Planejamento e Execução Orçamentária

(Em milhares R\$)

	<i>Planejado</i>	<i>Executado</i>	<i>% Execução</i>
Centro Nacional de Pesquisa em Energia e Materiais	77.032	75.229	98%
Programa de Operação e Manutenção	74.935	72.946	
Pessoal	59.440	55.323	
Custeio	14.949	16.393	
Investimento	546	1.231	
Programa de Atualização Institucional	2.066	2.137	
Programas Temáticos Internos	31	147	
	<i>Planejado</i>	<i>Executado</i>	<i>% Execução</i>
Laboratório Nacional de Luz Síncrotron	23.478	22.757	97%
Programa de Operação e Manutenção	22.949	22.183	
Pessoal	15.320	15.148	
Custeio	7.083	6.120	
Investimento	546	916	
Programa de Atualização Institucional	518	563	
Programas Temáticos Internos	11	10	
	<i>Planejado</i>	<i>Executado</i>	<i>% Execução</i>
Laboratório Nacional de Biociências	12.075	11.393	94%
Programa de Operação e Manutenção	12.075	11.366	
Pessoal	12.075	11.053	
Custeio	-	310	
Investimento	-	3	
Programa de Atualização Institucional	-	0	
Programas Temáticos Internos	-	27	
	<i>Planejado</i>	<i>Executado</i>	<i>% Execução</i>
Laboratório Nacional de Ciência e Tecnologia do Bioetanol	14.842	14.696	99%
Programa de Operação e Manutenção	14.842	14.574	
Pessoal	14.732	13.610	
Custeio	110	844	
Investimento	-	120	
Programa de Atualização Institucional	-	26	
Programas Temáticos Internos	-	96	

	<i>Planejado</i>	<i>Executado</i>	<i>% Execução</i>
Laboratório Nacional de Nanotecnologia	9.074	7.784	86%
Programa de Operação e Manutenção	7.506	6.268	
Pessoal	7.062	5.773	
Custeio	444	469	
Investimento	-	26	
Programa de Atualização Institucional	1.548	1.503	
Programas Temáticos Internos	20	13	
	<i>Planejado</i>	<i>Executado</i>	<i>% Execução</i>
Diretoria Geral	3.583	3.701	103%
Programa de Operação e Manutenção	3.583	3.701	
Pessoal	2.701	2.564	
Custeio	881	978	
Investimento	-	158	
	<i>Planejado</i>	<i>Executado</i>	<i>% Execução</i>
Diretoria Administrativa	13.980	14.899	107%
Programa de Operação e Manutenção	13.980	14.855	
Pessoal	7.550	7.174	
Custeio	6.430	7.673	
Investimento	-	8	
Programa de Atualização Institucional	-	44	

Quadro 8 – Valores de Reserva Técnica pactuados com Recursos do Contrato de Gestão

	2014
Reserva Técnica	47.747.061

Quadro 9 – Descrição da Utilização dos recursos da reserva técnica

Destino dos recursos (alínea contratual**)	2014
I - Custeio das atividades básicas da OS (inclui gastos com Pessoal)	47.747.061
II - Outros gastos em atividades de relevante interesse para os objetivos do Contrato de Gestão	0
III - Custeio da infraestrutura que assegura a disponibilidade, qualidade e capacidade de serviços essenciais de comunicação e colaboração mantidos pela RNP*	0
Total da reserva utilizada	47.747.061

* Somente concernente à RNP, os demais têm detalhamento até a alínea III.

**EMBRAPII e INPOH têm redações atualizadas e devem ser transcrito com a redação de seu contrato.



TM Rio 2016

RELATÓRIO

Demonstrações Financeiras

Centro Nacional de Pesquisa em Energia e Materiais - CNPEM

31 de dezembro de 2014
com relatório dos auditores independentes

CENTRO NACIONAL DE PESQUISA EM ENERGIA E MATERIAIS - CNPEM

DEMONSTRAÇÕES FINANCEIRAS

31 de dezembro de 2014

Índice

Relatório dos auditores independentes sobre as demonstrações financeiras	1
Demonstrações financeiras auditadas	
Balancos patrimoniais	3
Demonstrações do superávit (déficit)	5
Demonstrações do superávit (déficit) abrangente	6
Demonstrações das mutações do patrimônio social	7
Demonstrações dos fluxos de caixa	8
Notas explicativas às demonstrações financeiras	9

Relatório dos auditores independentes sobre as demonstrações financeiras

Aos Administradores do
Centro Nacional de Pesquisa em Energia e Materiais - CNPEM
Campinas - SP

Examinamos as demonstrações financeiras do Centro Nacional de Pesquisa em Energia e Materiais – CNPEM (“CNPEM” ou “Instituição”), que compreendem o balanço patrimonial em 31 de dezembro de 2014 e as respectivas demonstrações do superávit (déficit), do superávit (déficit) abrangente, das mutações do patrimônio social e dos fluxos de caixa para o exercício findo naquela data, assim como o resumo das principais práticas contábeis e demais notas explicativas.

Responsabilidade da administração sobre as demonstrações financeiras

A administração da Instituição é responsável pela elaboração e adequada apresentação dessas demonstrações financeiras de acordo com as práticas contábeis adotadas no Brasil e pelos controles internos que ela determinou como necessários para permitir a elaboração dessas demonstrações financeiras livres de distorção relevante, independentemente se causada por fraude ou erro.

Responsabilidade dos auditores independentes

Nossa responsabilidade é a de expressar uma opinião sobre essas demonstrações financeiras com base em nossa auditoria, conduzida de acordo com as normas brasileiras e internacionais de auditoria. Essas normas requerem o cumprimento de exigências éticas pelos auditores e que a auditoria seja planejada e executada com o objetivo de obter segurança razoável de que as demonstrações financeiras estão livres de distorção relevante.

Uma auditoria envolve a execução de procedimentos selecionados para obtenção de evidência a respeito dos valores e divulgações apresentados nas demonstrações financeiras. Os procedimentos selecionados dependem do julgamento do auditor, incluindo a avaliação dos riscos de distorção relevante nas demonstrações financeiras, independentemente se causada por fraude ou erro. Nessa avaliação de riscos, o auditor considera os controles internos relevantes para a elaboração e adequada apresentação das demonstrações financeiras da Instituição para planejar os procedimentos de auditoria que são apropriados nas circunstâncias, mas não para fins de expressar uma opinião sobre a eficácia desses controles internos da Instituição. Uma auditoria inclui, também, a avaliação da adequação das práticas contábeis utilizadas e a razoabilidade das estimativas contábeis feitas pela administração, bem como a avaliação da apresentação das demonstrações financeiras tomadas em conjunto.

Acreditamos que a evidência de auditoria obtida é suficiente e apropriada para fundamentar nossa opinião.



Opinião sobre as demonstrações financeiras

Em nossa opinião, as demonstrações financeiras apresentam adequadamente a posição patrimonial e financeira do Centro Nacional de Pesquisa em Energia e Materiais – CNPEM em 31 de dezembro de 2014, o desempenho de suas operações e os seus fluxos de caixa para o exercício findo naquela data de acordo com as práticas contábeis adotadas no Brasil.

Ênfase

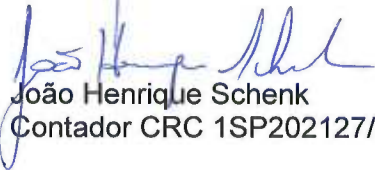
Conforme mencionado na nota explicativa 1, o Centro Nacional de Pesquisa em Energia e Materiais – CNPEM depende dos recursos providos anualmente pelo Ministério da Ciência, Tecnologia e Inovação – MCTI para manter as suas atividades operacionais.

Campinas, 06 de fevereiro de 2015

ERNST & YOUNG
Auditores Independentes S.S.
CRC 2SP015199/O-6



Luís Alexandre Marini
Contador CRC 1SP182975/O-5



João Henrique Schenk
Contador CRC 1SP202127/O-8

CENTRO NACIONAL DE PESQUISA EM ENERGIA E MATERIAIS - CNPEM

Balancos patrimoniais
31 de dezembro de 2014
(Valores expressos em milhares de reais)

	Nota	2014	2013
Ativo			
Circulante			
Caixa e equivalentes de caixa - sem restrição	4	3.932	8.557
Caixa e equivalentes de caixa - com restrição	4	27.332	11.993
Aplicações financeiras - sem restrição	4	46.361	49.739
Aplicações financeiras - com restrição	4	78.371	25.127
Convênios/projetos e subvenções a receber	5	61.340	85.059
Contas a receber		502	181
Estoques		372	667
Impostos a recuperar		17	17
Adiantamento a fornecedores	9	19.729	-
Outros ativos		4.506	945
		242.462	182.285
Não circulante			
Realizável em longo prazo			
Depósitos judiciais	8	6.378	6.420
Imobilizado			
Sem restrição	6	139.203	136.096
Com restrição	6	38.628	31.723
Intangível			
Sem restrição	6	2.515	1.043
Com restrição	6	391	306
		187.115	175.588
Total do ativo		429.577	357.873

	<u>Nota</u>	<u>2014</u>	<u>2013</u>
Passivo			
Circulante			
Fornecedores		683	1.296
Salários, férias e encargos a pagar		5.624	5.822
Recursos de convênios/projetos e subvenções	7	204.537	137.131
Outras obrigações		2.325	3.660
		213.169	147.909
Não circulante			
Adiantamento de clientes		328	327
Provisão para contingências	8	12.334	5.547
Recursos de convênios/projetos e subvenções	7	37.308	23.493
		49.970	29.367
Patrimônio social		166.438	180.597
Total do passivo e do patrimônio social		429.577	357.873

As notas explicativas são parte integrante das demonstrações contábeis.

CENTRO NACIONAL DE PESQUISA EM MATERIAIS E ENERGIA - CNPEM

Demonstrações do superávit (déficit)
Exercícios findos em 31 de dezembro de 2014 e 2013
(Valores expressos em milhares de reais)

	<u>2014</u>	<u>2013</u>
Receitas operacionais com desenvolvimento tecnológico		
Com restrição		
Reconhecimento subvenções federais - Projeto CTBE	-	15.747
Reconhecimento subvenções federais - Projeto Sirius	16.652	15.808
Reconhecimento subvenções federais - Projeto Biotec	1.529	-
Reconhecimento subvenções federais - Projeto Sisnano	108	-
	<u>18.289</u>	<u>31.555</u>
Sem restrição		
Subvenções federais	76.313	87.304
Serviços prestados	1.005	1.065
Atividades administrativas	70	991
Rendimentos financeiros	5.703	4.277
	<u>83.091</u>	<u>93.637</u>
	101.380	125.192
Despesas com atividades de desenvolvimento tecnológico		
Salários, encargos e despesas relacionadas	(53.072)	(48.351)
Depreciação e amortização	(11.695)	(9.602)
Realização de receita diferida de ativos doados	2.619	681
Serviços de terceiros	(10.192)	(9.008)
Material de consumo e outros	(9.879)	(15.185)
	<u>(82.219)</u>	<u>(81.465)</u>
Superávit bruto	19.161	43.727
Despesas operacionais		
Administrativas		
Salários, encargos e despesas relacionadas	(19.886)	(11.610)
Depreciação e amortização	(863)	(2.048)
Serviços de terceiros	(10.652)	(9.241)
Material de consumo	(553)	(1.028)
Viagens	(236)	(705)
Despesas financeiras e tributárias		
Impostos e taxas	(1.351)	(866)
Resultado de variação cambial, líquida	(931)	(407)
Outras receitas operacionais, líquidas	1.152	288
	<u>(33.320)</u>	<u>(25.617)</u>
Superávit (déficit) do exercício	<u>(14.159)</u>	<u>18.110</u>

As notas explicativas são parte integrante das demonstrações financeiras.

CENTRO NACIONAL DE PESQUISA EM ENERGIA E MATERIAIS - CNPEM

Demonstrações do superávit (déficit) abrangente
Exercícios findos em 31 de dezembro de 2014 e 2013
(Valores expressos em milhares de reais)

	<u>2014</u>	<u>2013</u>
Superávit (déficit) do exercício	<u>(14.159)</u>	<u>18.110</u>
Superávit (déficit) abrangente do exercício	<u>(14.159)</u>	<u>18.110</u>

As notas explicativas são parte integrante das demonstrações financeiras.

CENTRO NACIONAL DE PESQUISA EM MATERIAIS E ENERGIA - CNPEM

Demonstrações das mutações do patrimônio social
Exercícios findos em 31 de dezembro de 2014 e 2013
(Valores expressos em milhares de reais)

	Patrimônio social	Total
Saldos em 31 de dezembro de 2012	162.487	162.487
Superávit do exercício	18.110	18.110
Saldos em 31 de dezembro de 2013	180.597	180.597
Déficit do exercício	(14.159)	(14.159)
Saldos em 31 de dezembro de 2014	166.438	166.438

As notas explicativas são parte integrante das demonstrações financeiras.

CENTRO NACIONAL DE PESQUISA EM ENERGIA E MATERIAIS - CNPEM

Demonstrações dos fluxos de caixa
Exercícios findos em 31 de dezembro de 2014 e 2013
(Valores expressos em milhares de reais)

	2014	2013
Fluxos de caixa das atividades operacionais		
Superávit (déficit) do exercício	(14.159)	18.110
Ajustes para conciliar o superávit (déficit) ao caixa gerado pelas atividades operacionais:		
Rendimento sobre aplicações financeiras	(3.123)	(2.579)
Resultado na alienação de bens do ativo imobilizado	(15)	-
Movimentações da provisão para contingências	6.787	-
Depreciações e amortizações	13.123	11.650
	2.613	27.181
Variações nos ativos e passivos operacionais:		
Aplicações financeiras	(46.743)	(50.260)
Convênios/projetos e subvenções a receber	23.719	(67.133)
Contas a receber	(321)	(145)
Estoques	295	(268)
Impostos a recuperar	-	(1)
Adiantamento a fornecedores	(19.729)	-
Outros ativos	(3.561)	1.404
Depósitos judiciais	42	(5.257)
Imobilizados e intangíveis recebidos de convênios/ projetos e subvenções	(16.730)	(24.174)
Fornecedores	(613)	655
Salários, férias e encargos a pagar	(198)	(862)
Recursos de convênios/projetos e subvenções	81.221	79.346
Adiantamento de clientes	1	-
Outras obrigações	(1.335)	1.511
Caixa e equivalentes de caixa líquidos, gerados pelas (aplicados nas) atividades operacionais:	18.661	(38.003)
Fluxo de caixa das atividades de investimentos		
Adições ao imobilizado e intangível	(7.947)	(20.955)
Caixa e equivalentes de caixa líquidos, aplicados nas atividades de investimentos:	(7.947)	(20.955)
Aumento (redução) de caixa e equivalentes de caixa	10.714	(58.958)
Demonstração da variação de caixa e equivalentes de caixa:		
No início do exercício	20.550	79.508
No fim do exercício	31.264	20.550
Aumento (redução) de caixa e equivalentes de caixa	10.714	(58.958)

As notas explicativas são parte integrante das demonstrações contábeis.

CENTRO NACIONAL DE PESQUISA EM ENERGIA E MATERIAIS - CNPEM

Notas explicativas às demonstrações financeiras
Exercícios findos em 31 de dezembro de 2014 e 2013
(Valores expressos em milhares de reais)

1. Contexto operacional

O Centro Nacional de Pesquisa em Energia e Materiais – CNPEM (“CNPEM”, “Instituição” ou “Instituto”) – é uma Organização Social, a denominação passou a ser utilizada em 2012, em substituição à Associação Brasileira de Tecnologia de Luz Síncrotron (“ABTLus”), pessoa jurídica de Direito Privado sem fins lucrativos, qualificada como Organização Social pelo Decreto nº 2.405, de 26 de novembro de 1997 e tem por missão, promover e contribuir para o desenvolvimento científico e tecnológico do País, por meio de seus Laboratórios Nacionais, que articulará, provendo-os das condições necessárias para a consecução de suas respectivas missões e o alcance de seus objetivos estratégicos, afins com os da Instituição.

O CNPEM atua em cumprimento a Contrato de Gestão estabelecido com o Ministério da Ciência, Tecnologia e Inovação (“MCTI”), visando o desenvolvimento de ciência, tecnologia e inovação em quatro Laboratórios Nacionais, a saber: o Laboratório Nacional de Luz Síncrotron (“LNLS” ou “Sirius”); o Laboratório Nacional de Biociências (“LNBIO”); o Laboratório Nacional de Ciência e Tecnologia do Bioetanol (“CTBE”) e o Laboratório Nacional de Nanotecnologia (“LNNano”).

O mencionado Contrato de Gestão MCTI/CNPEM suporta o custeio das atividades desenvolvidas nos quatro Laboratórios Nacionais. Os resultados esperados constituem metas pactuadas anualmente, denominados Indicadores de Desempenho Técnico, aplicáveis a cada um dos citados Laboratórios Nacionais. A cada semestre, uma Comissão de Acompanhamento e Avaliação, integrada por representantes de Ministérios, avalia o desempenho do CNPEM, por meio de inspeção local e análise de documentação apresentada.

Cabe registrar que o CNPEM é presentemente responsável por um novo projeto de engenharia científica, a cargo da equipe técnico-científica do LNLS: a construção de uma nova Fonte de Luz Síncrotron, de terceira geração, para o qual o MCTI tem aportado recursos financeiros específicos.

Em setembro 2010, o Contrato de Gestão foi renovado contemplando o período de 2010 a 2016 e pactuado um orçamento total para sua vigência no montante de aproximadamente R\$478.446 com desembolsos financeiros anuais. Durante o exercício de 2014, foram firmados o 10º, 11º e 12º termos aditivos, pactuando R\$80.560, R\$71.067 e R\$10.000 respectivamente.

CENTRO NACIONAL DE PESQUISA EM ENERGIA E MATERIAIS - CNPEM

Notas explicativas às demonstrações financeiras--Continuação
Exercícios findos em 31 de dezembro de 2014 e 2013
(Valores expressos em milhares de reais)

2. Elaboração e apresentação das demonstrações financeiras

As demonstrações financeiras foram elaboradas e estão sendo apresentadas de acordo com as práticas contábeis adotadas no Brasil, incluindo as disposições da Resolução do Conselho Federal de Contabilidade nº 1.409/12, que aprovou a Interpretação Técnica ITG 2002 – Entidades sem Finalidade de Lucros.

As práticas contábeis adotadas no Brasil compreendem aquelas incluídas na legislação societária brasileira e os pronunciamentos, as orientações e as interpretações técnicas emitidas pelo Comitê de Pronunciamentos Contábeis (CPC) e aprovados pelo Conselho Federal de Contabilidade (CFC), levando em consideração a Norma Brasileira de Contabilidade (NBC T 10.19) – "Entidades sem Finalidade de Lucro".

A preparação de demonstrações financeiras em conformidade com as referidas normas requer o uso de certas estimativas contábeis críticas e também o exercício de julgamento por parte da administração da Instituição no processo de aplicação das práticas contábeis. As áreas que requerem maior nível de julgamento e possuem maior complexidade, bem como aquelas cujas premissas e estimativas são significativas para as demonstrações financeiras, estão divulgadas na nota explicativa 3.4.

3. Principais práticas contábeis

3.1. Moeda funcional e de apresentação das demonstrações financeiras

As demonstrações financeiras foram preparadas e estão apresentadas em Reais (R\$), que é a moeda funcional da Instituição. A moeda funcional foi determinada em função do ambiente econômico primário de suas operações.

3.2. Moeda estrangeira

As transações em moeda estrangeira, isto é, todas aquelas que não foram realizadas na moeda funcional da Instituição, foram convertidas pela taxa de câmbio na data em que as transações foram realizadas. Ativos e passivos monetários em moeda estrangeira são convertidos para a moeda funcional da Instituição pela taxa de câmbio na data-base das demonstrações financeiras.

CENTRO NACIONAL DE PESQUISA EM ENERGIA E MATERIAIS - CNPEM

Notas explicativas às demonstrações financeiras--Continuação
Exercícios findos em 31 de dezembro de 2014 e 2013
(Valores expressos em milhares de reais)

3. Principais práticas contábeis--Continuação

3.3. Instrumentos financeiros

a. Ativos financeiros

Os ativos financeiros da Instituição estão classificados como ativos financeiros a valor justo por meio do resultado ou como recebíveis.

Ativos financeiros são reconhecidos inicialmente ao valor justo, acrescidos, no caso de ativos não designados a valor justo por meio do resultado, dos custos de transação que sejam diretamente atribuíveis à aquisição do ativo financeiro.

Os principais ativos financeiros da Instituição incluem caixa e equivalentes de caixa, aplicações financeiras, convênios/projetos e subvenções a receber, contas a receber e outros ativos.

Caixa e Equivalentes de Caixa

São representadas por dinheiro em caixa, saldos em conta corrente (bancos) e investimentos temporários de curto prazo de liquidez imediata, registradas pelos valores de custo acrescidos dos rendimentos até as datas dos balanços, que não excedem os seus valores de mercado ou de realização. Normalmente, as aplicações financeiras que, na data de sua aquisição, têm prazo de vencimento igual ou menor que três meses são registrados como equivalentes de caixa.

As disponibilidades, denominadas “sem restrição”, são originadas principalmente de recursos providos pelo Ministério da Ciência, Tecnologia e Inovação - MCTI, destinados ao custeio das atividades da Instituição.

As disponibilidades, denominadas “com restrição”, são destinadas para desenvolvimento dos Projetos Sirius, SisNano e BIOTEC.

CENTRO NACIONAL DE PESQUISA EM ENERGIA E MATERIAIS - CNPEM

Notas explicativas às demonstrações financeiras--Continuação
Exercícios findos em 31 de dezembro de 2014 e 2013
(Valores expressos em milhares de reais)

3. Principais práticas contábeis--Continuação

3.3. Instrumentos financeiros--Continuação

a. Ativos financeiros--Continuação

Aplicações financeiras

São valores aplicados em debêntures e tratam-se de títulos emitidos por terceiros, cujos vencimentos ocorreram entre janeiro de 2016 a abril de 2019, classificadas como disponíveis para negociação e são mensuradas pelo seu valor justo por meio do resultado, possuindo liquidez imediata.

Subvenções a receber

As subvenções governamentais são reconhecidas em conformidade com o CPC 7 ou NBC T 19.4 - Subvenção e assistência governamentais aprovada pela Resolução CFC nº 1.143/08, sendo registradas como Subvenções a receber pelo acordado em contrato até o efetivo recebimento.

Mensuração de ativos financeiros

Ativos financeiros são reconhecidos inicialmente ao valor justo, acrescidos, no caso de ativos não designados a valor justo por meio do resultado, dos custos de transação que sejam diretamente atribuíveis à aquisição do ativo financeiro.

A mensuração subsequente de ativos financeiros é realizada por meio do resultado (superávit), sendo aqueles adquiridos com o objetivo de venda no curto prazo são apresentados no balanço patrimonial a valor justo, com os correspondentes ganhos ou perdas reconhecidas na demonstração do superávit.

As perdas por redução ao valor recuperável são reconhecidas como despesa financeira no resultado.

Um ativo financeiro (ou, quando for o caso, uma parte de um ativo financeiro ou parte de um grupo de ativos financeiros semelhantes) é baixado quando:

CENTRO NACIONAL DE PESQUISA EM ENERGIA E MATERIAIS - CNPEM

Notas explicativas às demonstrações financeiras--Continuação
Exercícios findos em 31 de dezembro de 2014 e 2013
(Valores expressos em milhares de reais)

3. Principais práticas contábeis--Continuação

3.3. Instrumentos financeiros--Continuação

a. Ativos financeiros--Continuação

Subvenções a receber--Continuação

Mensuração de ativos financeiros--Continuação

- Os direitos de receber fluxos de caixa dos ativos expiram; ou
- A Instituição transfere os seus direitos de receber fluxos de caixa do ativo ou assume uma obrigação de pagar integralmente os fluxos de caixa recebidos, sem demora significativa, a um terceiro por força de um acordo de "repasse"; e (a) A Instituição transfere substancialmente todos os riscos e benefícios do ativo, ou (b) A Instituição não transfere nem retém substancialmente todos os riscos e benefícios relativos ao ativo, mas transfere o controle sobre o ativo.

b. Passivos financeiros

Passivos financeiros são classificados, como reconhecimento inicial, como passivos financeiros a valor justo por meio do resultado, empréstimos e financiamentos, contas a pagar, ou como derivativos classificados como instrumento de *hedge*, conforme o caso.

Passivos financeiros são inicialmente reconhecidos a valor justo e, no caso de empréstimos e financiamentos e contas a pagar, são acrescidos do custo da transação diretamente relacionado.

Mensuração de passivos financeiros

A Instituição determina a classificação dos seus passivos financeiros no momento do seu reconhecimento inicial. Passivos financeiros são inicialmente reconhecidos a valor justo. Após reconhecimento inicial, os passivos financeiros são mensurados subsequentemente pelo custo amortizado, utilizando o método da taxa efetiva de juros. Ganhos e perdas são reconhecidos na demonstração do resultado (superávit) no momento da baixa dos passivos, bem como durante o processo de amortização pelo método da taxa efetiva de juros.

CENTRO NACIONAL DE PESQUISA EM ENERGIA E MATERIAIS - CNPEM

Notas explicativas às demonstrações financeiras--Continuação
Exercícios findos em 31 de dezembro de 2014 e 2013
(Valores expressos em milhares de reais)

3. Principais práticas contábeis--Continuação

3.3. Instrumentos financeiros--Continuação

b. Passivos financeiros--Continuação

Mensuração de passivos financeiros--Continuação

Um passivo financeiro é baixado quando a obrigação for revogada, cancelada ou expirar. Quando um passivo financeiro existente for substituído por outro do mesmo mutuante com termos substancialmente diferentes, ou os termos de um passivo existente forem significativamente alterados, essa substituição ou alteração é tratada como baixa do passivo original e reconhecimento de um novo passivo, sendo a diferença nos correspondentes valores contábeis reconhecida na demonstração do superávit.

Os passivos financeiros da Instituição incluem contas a pagar a fornecedores e outras obrigações e recursos de convênios/projetos e subvenções.

Fornecedores incluem obrigações com fornecedores de materiais e serviços, que são reconhecidos inicialmente pelo seu valor justo, e mensurados subsequentemente pelo custo amortizado.

c. Instrumentos financeiros – apresentação líquida

Ativos e passivos financeiros são apresentados líquidos no balanço patrimonial se, e somente se, houver um direito legal corrente e executável de compensar os montantes reconhecidos e se houver a intenção de compensação, ou de realizar o ativo e liquidar o passivo simultaneamente.

d. Valor justo de instrumentos financeiros

O valor justo de instrumentos financeiros ativamente negociados em mercados financeiros organizados é determinado com base nos preços de compra cotados no mercado no fechamento dos negócios na data do balanço, sem dedução dos custos de transação.

O valor justo de instrumentos financeiros para os quais não haja mercado ativo é determinado utilizando técnicas de avaliação. Essas técnicas podem incluir o uso de transações recentes de mercado (com isenção de interesses); referência ao valor justo corrente de outro instrumento similar; análise de fluxo de caixa descontado ou outros modelos de avaliação.

CENTRO NACIONAL DE PESQUISA EM ENERGIA E MATERIAIS - CNPEM

Notas explicativas às demonstrações financeiras--Continuação
Exercícios findos em 31 de dezembro de 2014 e 2013
(Valores expressos em milhares de reais)

3. Principais práticas contábeis--Continuação

3.4. Estimativas contábeis

São utilizadas para a mensuração e reconhecimento de certos ativos e passivos das demonstrações financeiras da Instituição. A determinação dessas estimativas levou em consideração experiências de eventos passados e correntes, pressupostos relativos a eventos futuros e outros fatores objetivos e subjetivos. Itens significativos sujeitos a estimativas incluem:

- i) a seleção de vidas úteis do imobilizado e intangível;
- ii) a provisão para contingências; e
- iii) a mensuração do valor justo de instrumentos financeiros.

A liquidação das transações envolvendo essas estimativas poderá resultar em valores divergentes dos registrados nas demonstrações financeiras devido às imprecisões inerentes ao processo de sua determinação. A Instituição revisa suas estimativas e premissas pelo menos anualmente.

3.5. Demais ativos e passivos, circulantes e não circulantes

a. Imobilizado e Intangível

É registrado ao custo de aquisição, formação, construção ou aos valores atribuídos às doações patrimoniais e deduzidos da depreciação acumulada.

O valor residual e a vida útil estimada dos bens são revisados e ajustados, se necessário, na data de encerramento do exercício.

Os ativos denominados "sem restrição", são originados principalmente de recursos providos pelo Ministério da Ciência, Tecnologia e Inovação - MCTI, destinados ao custeio das atividades da Instituição.

Os ativos denominados "com restrição", são destinados investimento em desenvolvimento dos Projetos Sirius, SisNano e BIOTEC.

CENTRO NACIONAL DE PESQUISA EM ENERGIA E MATERIAIS - CNPEM

Notas explicativas às demonstrações financeiras--Continuação
Exercícios findos em 31 de dezembro de 2014 e 2013
(Valores expressos em milhares de reais)

3. Principais práticas contábeis--Continuação

3.5 Demais ativos e passivos, circulantes e não circulantes--Continuação

a. *Imobilizado e Intangível*--Continuação

A depreciação e a amortização são calculadas de forma linear ao longo da vida útil do ativo, à taxas que levam em consideração a vida útil estimada dos bens, estando assim em conformidade com o CPC 27.

O parágrafo 3º do artigo 183 da Lei nº 6.404/76, modificado pela Lei nº 11.638/07 e Lei nº 11.941/09, determina que a Instituição deverá efetuar, periodicamente, análise sobre a recuperação dos valores registrados no imobilizado e no intangível, a fim de que sejam registradas as perdas de valor do capital aplicado quando houver decisão de interromper os empreendimentos ou atividades a que se destinavam ou quando comprovado que não poderão produzir resultados suficientes para recuperação desse valor (*impairment*) e revisados e ajustados os critérios utilizados para determinação da vida útil econômica estimada para cálculo da depreciação e amortização.

A Administração revisa anualmente o valor contábil líquido dos ativos com o objetivo de avaliar eventos ou mudanças nas circunstâncias econômicas, operacionais ou tecnológicas, que possam indicar deterioração ou perda de seu valor recuperável. Quando tais evidências são identificadas, ou seja, o valor contábil líquido excede o valor recuperável, é constituída provisão para deterioração ajustando o valor contábil líquido ao valor recuperável.

Os ativos são agrupados e avaliados de acordo com os fluxos de caixa gerados pelo ativo ou grupo de ativos que representem uma unidade geradora de caixa independente. Uma perda é reconhecida com base no montante pelo qual o valor contábil excede o valor provável de recuperação de um ativo ou grupo de ativos de longa duração.

b. *Recursos de convênios e projetos*

São recursos capitados junto a agências de fomento com destinação específica nos projetos aprovados registrados como passivo pelo valor de contrato até a efetiva destinação dos recursos. Em seguida passam a ser mensurados com base na movimentação dos valores substancialmente relacionados a rendimentos financeiros decorrentes das aplicações dos recursos não utilizados e dos correspondentes gastos incorridos ou destinação do recurso para ativos imobilizados e intangíveis, conforme NBC TG 07, conforme demonstrado na nota explicativa 7.

CENTRO NACIONAL DE PESQUISA EM ENERGIA E MATERIAIS - CNPEM

Notas explicativas às demonstrações financeiras--Continuação
Exercícios findos em 31 de dezembro de 2014 e 2013
(Valores expressos em milhares de reais)

3. Principais práticas contábeis--Continuação

3.5 Demais ativos e passivos, circulantes e não circulantes--Continuação

c. *Saldos dos recursos destinados à implantação do Projeto Sirius, Projeto SisNano e BIOTEC*

Pela natureza dos recursos (Subvenção e assistência do Governo Federal), esses valores são tratados conforme determina o CPC 7, cuja aplicação está mencionada na nota explicativa 7.

O registro inicial tem contrapartida o mesmo montante no ativo de convênios/projetos e subvenções a receber. A realização para resultado é realizada nos períodos ao longo dos quais o Instituto reconhece os custos relacionados ao objeto de compensação, portanto se destinados recursos para aquisição de imobilizado ou intangíveis, a realização da receita acompanha a vida útil dos bens adquiridos.

d. *Outros benefícios a empregados*

Os benefícios concedidos a empregados e administradores da Instituição incluem em adição à remuneração fixa (salários e contribuições para a seguridade social (INSS), férias e 13º salário) o plano de previdência privada de contribuição definida e o vale alimentação. Esses benefícios são registrados no resultado do exercício com base em competência, à medida que são incorridos conforme determina o CPC 33 ou NBC T 19.31 – Benefícios a Empregados, aprovado pela Resolução CFC nº 1.193/09.

e. *Demais ativos e passivos circulantes e não circulantes*

Os demais ativos e passivos circulantes e não circulantes são demonstrados pelos valores conhecidos ou calculáveis acrescidos, quando aplicável, dos correspondentes encargos, variações monetárias e/ou cambiais incorridas até a data do balanço patrimonial.

3.6 Tributação

A Instituição goza de isenção do imposto de renda e contribuição social sobre o superávit.

CENTRO NACIONAL DE PESQUISA EM ENERGIA E MATERIAIS - CNPEM

Notas explicativas às demonstrações financeiras--Continuação
Exercícios findos em 31 de dezembro de 2014 e 2013
(Valores expressos em milhares de reais)

3. Principais práticas contábeis--Continuação

3.7 Provisão para contingências

A Instituição registra somente os processos classificados pelos assessores jurídicos como perda provável a valores atualizados (nota explicativa 8), conforme determinação do Pronunciamento Técnico CPC 25 ou NBC T 19.7 - Provisões, Passivos Contingentes e Ativos Contingentes, aprovado pela Resolução CFC nº 1.180/09, no qual as provisões são reconhecidas, pois são baseadas em estimativas confiáveis, são obrigações presentes e indicam que haverá uma saída de recursos para liquidar as obrigações.

3.8 Patrimônio social

Constituído pela dotação inicial de seus outorgantes instituidores, o patrimônio social é representado pelos superávits e ou diminuído pelos déficits apurados anualmente desde a sua fundação, sem correção monetária, conforme legislação em vigor.

Conforme estatuto social, a Instituição deve aplicar integralmente seus recursos na manutenção de seus objetivos, não podendo, como consequência, distribuir qualquer parcela de seu patrimônio ou de suas rendas a título de lucros ou de participação no seu superávit. Dessa forma, o superávit do exercício é integralmente incorporado ao patrimônio social.

3.9 Demonstração do superávit ou déficit

O superávit ou déficit é apurado pelo regime de competência. As subvenções para custeio do Projeto Sirius, do Projeto SisNano e do BIOTEC vêm sendo contabilizadas no passivo, sendo que a transferência para o superávit ou déficit do exercício ocorre com base nas despesas ocorridas, seguindo as práticas contábeis adotadas no Brasil. Os gastos com pesquisas são reconhecidos quando incorridos.

As subvenções recebidas de contratos de gestão com ministério público para custeio dos Laboratórios Nacionais (LNLS, LNBIO, LNNano e CTBE) são reconhecidas como receitas do exercício no momento do recebimento financeiro do recurso.

A metodologia para rateio dos gastos comuns aos Laboratórios Nacionais é definida e aprovada pela direção da Instituição e periodicamente é revisada e atualizada.

CENTRO NACIONAL DE PESQUISA EM ENERGIA E MATERIAIS - CNPEM

Notas explicativas às demonstrações financeiras--Continuação
Exercícios findos em 31 de dezembro de 2014 e 2013
(Valores expressos em milhares de reais)

3. Principais práticas contábeis--Continuação

3.10 Trabalho voluntário

Para efeito de cumprimento ao ITG 2002 – Entidades sem Fins Lucrativos, a Instituição identificou e valorizou as atividades recebidas de voluntários durante o exercício de 2014 no montante de R\$183. O valor justo foi estimado tendo como referência a quantidade de horas dedicadas à Instituição, multiplicado pelo custo/hora de profissionais do mercado considerando as atividades executadas semelhantes à dos voluntariados bem como seu nível de formação técnica.

4. Caixa e equivalentes de caixa e aplicações financeiras

	<u>2014</u>	<u>2013</u>
Caixa e equivalentes de caixa - sem restrição	3.932	8.557
Caixa e equivalentes de caixa - com restrição	27.332	11.993
Caixa e equivalentes de caixa	<u>31.264</u>	<u>20.550</u>
Debêntures contrato gestão	30.305	35.532
Debêntures reserva do conselho	16.056	14.207
Aplicações financeiras – sem restrição	<u>46.361</u>	<u>49.739</u>
Debêntures projetos	78.371	25.127
Aplicações financeiras – com restrição	<u>78.371</u>	<u>25.127</u>

O caixa e equivalente de caixa estão compostos basicamente por certificados de depósitos bancários que têm prazos de vencimentos entre janeiro de 2016 e novembro de 2019 e as taxas de juros variam de 98% a 100,00% do CDI, possuindo liquidez imediata.

As aplicações financeiras se referem a valores aplicados em debêntures e trata-se de títulos emitidos por terceiros, cujos vencimentos ocorrerão entre janeiro de 2016 a abril de 2019 e a remuneração é de 96,0% a 100,00% do CDI.

Todas as aplicações financeiras da Instituição possuem liquidez imediata, podendo ser resgatadas, dependendo simplesmente da necessidade de caixa da Instituição, motivo pelo qual estão classificadas no ativo circulante.

CENTRO NACIONAL DE PESQUISA EM ENERGIA E MATERIAIS - CNPEM

Notas explicativas às demonstrações financeiras--Continuação
Exercícios findos em 31 de dezembro de 2014 e 2013
(Valores expressos em milhares de reais)

5. Convênios/projetos e subvenções a receber

	2013	Adição de contratos e aditivos	Baixa por recebimento efetivo	Transferência	2014
Contrato gestão de operação	12.779	81.350	(76.311)	-	17.818
Projeto Sirius	57.580	64.530	(93.933)	-	28.177
Projeto SisNano	10.780	10.746	(11.180)	-	10.346
Projeto Biotec	3.920	4.999	(3.920)	-	4.999
	85.059	161.625	(185.344)	-	61.340

	2012	Adição de contratos e aditivos	Baixa por recebimento efetivo	Transferência	2013
Contrato gestão de operação	14.926	87.097	(87.304)	(1.940)	12.779
Projeto Sirius	3.000	85.110	(32.470)	1.940	57.580
Projeto SisNano	-	10.780	-	-	10.780
Projeto Biotec	-	3.920	-	-	3.920
	17.926	186.907	(119.774)	-	85.059

Os valores acima se referem aos montantes a receber de convênios/projetos e subvenções detalhados na nota explicativa 7.

6. Imobilizado e Intangível

	Depreciação/ amortização % a.a.	Custo	Depreciação/ amortização acumulada	2014	2013
Equipamentos de pesquisa	10 a 29	120.638	(54.688)	65.950	47.672
Móveis e utensílios	10 e 15	45.331	(16.069)	29.262	27.396
Equipamentos de computação	10 a 40	7.800	(4.506)	3.294	3.912
Edifícios	4	39.091	(4.152)	34.939	29.168
Veículos	20	728	(229)	499	386
Bens desenvolvimento interno		1.387	-	1.387	5.732
Importação em andamento		821	-	821	17.070
Obras em andamento		1.983	-	1.983	2.829
Outros	10	3.964	(2.896)	1.068	1.931
Imobilizado sem restrição		221.743	(82.540)	139.203	136.096
Equipamentos de pesquisa		12.446	(3.293)	9.153	7.134
Móveis e utensílios	10 e 15	3.223	(541)	2.682	5.751
Equipamentos de computação	10 a 40	1.015	(377)	638	289
Edifícios	4	-	-	-	5.951
Importação em andamento		1.366	-	1.366	-
Obras em andamento		24.107	-	24.107	12.598
Outros		771	(89)	682	-
Imobilizado com restrição		42.928	(4.300)	38.628	31.723
Total imobilizado		264.671	(86.840)	177.831	167.819
Software sem restrição	14	3.779	(1.264)	2.515	1.043
Software com restrição	14	685	(294)	391	306
Total intangível		4.464	(1.558)	2.906	1.349

CENTRO NACIONAL DE PESQUISA EM ENERGIA E MATERIAIS - CNPEM

Notas explicativas às demonstrações financeiras--Continuação
Exercícios findos em 31 de dezembro de 2014 e 2013
(Valores expressos em milhares de reais)

6. Imobilizado e Intangível--Continuação

Movimentação 2014

	Movimentação					2014
	2013	Adições	Baixas	Transferência	Doações	
Equipamentos de pesquisa	107.451	-	(132)	23.803	1.962	133.084
Móveis e utensílios	45.173	3.550	(294)	-	125	48.554
Equipamentos de computação	8.234	-	(233)	604	210	8.815
Edifícios	38.574	-	-	517	-	39.091
Veículos	441	287	-	-	-	728
Bens em desenvolvimento interno	5.732	-	-	(4.567)	222	1.387
Importação em andamento	17.070	17.889	-	(32.772)	-	2.187
Obras em andamento	15.427	-	-	10.663	-	26.090
Outros	4.608	-	(5)	131	-	4.734
Total do custo	242.710	21.726	(664)	(1.621)	2.519	264.670
Depreciação acumulada	(74.891)	(12.630)	682	-	-	(86.839)
Total imobilizado	167.819	9.096	18	(1.621)	2.519	177.831
Software	3.450	419	(1.039)	1.621	13	4.464
Amortização acumulada	(2.101)	(493)	1.036	-	-	(1.558)
Total intangível	1.349	(74)	(3)	1.621	13	2.906

Movimentação 2013

	Movimentação					2013
	2012	Adições	Baixas	Transferência	Doações	
Equipamentos de pesquisa	101.383	5.987	-	(951)	1.032	107.451
Móveis e utensílios	35.433	7.933	-	(208)	2.015	45.173
Equipamentos de computação	6.905	617	910	(301)	103	8.234
Edifícios	28.332	10.242	-	-	-	38.574
Veículos	441	-	-	-	-	441
Bens em desenvolvimento interno	6.836	624	(1.728)	-	-	5.732
Importação em andamento	6.880	9.419	(117)	-	888	17.070
Obras em andamento	9.199	5.293	935	-	-	15.427
Outros	3.982	195	-	(2)	433	4.608
Total do custo	199.391	40.310	-	(1.462)	4.471	242.710
Depreciação acumulada	(64.738)	(11.317)	-	1.164	-	(74.891)
Total imobilizado	134.653	28.993	-	(298)	4.471	167.819
Software	3.112	348	-	(10)	-	3.450
Amortização acumulada	(1.819)	(333)	-	51	-	(2.101)
Total intangível	1.293	15	-	41	-	1.349

CENTRO NACIONAL DE PESQUISA EM ENERGIA E MATERIAIS - CNPEM

Notas explicativas às demonstrações financeiras--Continuação
Exercícios findos em 31 de dezembro de 2014 e 2013
(Valores expressos em milhares de reais)

6. Imobilizado e Intangível--Continuação

Bens recebidos em comodato

Os bens que formam o Laboratório Nacional de Luz Síncrotron (edifícios, equipamentos, etc.) foram basicamente cedidos para uso do CNPEM pelo MCTI/CNPq, por meio do Contrato de Gestão mencionado na nota explicativa 1 e, portanto, não estão contemplados nessas demonstrações financeiras.

As cessões dos comodatos abaixo representam o volume de recursos aplicados em bens aguardando encerramento do processo de doação por parte da agência de fomento:

	<u>2014</u>	<u>2013</u>
Bens cedidos pelo MCT/CNPq por meio do contrato de gestão	2.421	2.499
Bens sob responsabilidade FINEP/CT Infra I	1.701	1.701
Bens sob responsabilidade FINEP/CT Infra III	1.279	1.279
Bens sob responsabilidade FINEP Mod. Interação	1.249	1.249
Bens sob responsabilidade FINEP Mod. Proinfra	789	789
Bens sob responsabilidade FINEP Mod. Proinfra LNLS	592	592
Bens sob responsabilidade FINEP Mod. Gigabit	378	378
Bens cedidos pela Fundação CPqD - Centro de Pesquisas e Desenvolvimento em Telecomunicações	155	155
Bens sob responsabilidade FINEP/Getec	135	135
Bens em comodato / convênios	171	
Bens sob responsabilidade FINEP/CT Infra V	67	67
	<u>8.937</u>	<u>8.844</u>

O terreno no qual está instalada a Instituição é de propriedade do Governo do Estado de São Paulo e foi declarado de utilidade pública pelo Processo nº 30.135, de 12 de julho de 1989, publicado no Diário Oficial do Estado de São Paulo em 13 de julho de 1989. Durante o exercício de 2010, o Governo do Estado de São Paulo emitiu o "Termo de Permissão de Uso de Próprio da Fazenda do Estado de São Paulo, na conformidade do Decreto nº 55.359, de janeiro de 2010" por tempo indeterminado.

CENTRO NACIONAL DE PESQUISA EM MATERIAIS E ENERGIA - CNPEM

Notas explicativas às demonstrações contábeis--Continuação
31 de dezembro de 2014 e 2013
(Valores expressos em milhares de reais)

7. Recursos de convênios/projetos e subvenções

	2013	Recursos recebidos	Rendimento de aplicação financeira	Realização da receita diferida	Realização relativa a depreciação e amortização	2014
Petrobrás TMEC	348	-	18	(119)	-	247
Convênio CTBE BNDES Jacto	861	2.500	232	(1.477)	-	2.116
Convênio BNDES RHODIA	1.581	2.191	174	(2.767)	-	1.179
Convênio FINEP Gerador	1.904	-	76	(1.980)	-	-
Convênio CTBE BP	805	230	74	(663)	-	446
Convênio CTBE RHODIA II	26	-	-	(26)	-	-
Convênio FINEP PACMAN	1.793	-	100	(1.001)	-	892
Convênio FINEP INFRAPEM	943	-	19	(794)	-	168
Convênio BNDES LIMA	-	2.073	128	(128)	-	2.073
Convênio FINEP ID COLOFF	-	516	15	(15)	-	516
Convênio FINEP DTMX2	-	696	32	(31)	-	697
Convênio DOW II	-	589	15	(15)	-	589
Convênio MS SICONV LIMA	-	3.175	109	(110)	-	3.174
Convênio FMC FSW	-	705	-	-	-	705
Convênio EMBRAPII	-	1.004	6	(5)	-	1.005
Receita diferida ativos de convênios	9.427	1.875	-	-	(1.314)	9.988
Outros convênios	2.748	4.756	302	(363)	-	7.443
Recursos de convênios (a)	20.436	20.310	1.300	(9.494)	(1.314)	31.238
Recursos de projetos em execução do Sirius	102.146	64.530	6.338	(31.548)	-	141.466
Receita diferida ativos Sirius	10.609	12.966	-	-	(1.236)	22.339
Recursos de projetos em execução do SisNano	7.276	10.746	335	(1.588)	-	16.769
Receita diferida ativos SisNano	3.458	1.420	-	-	(363)	4.515
Recursos de projetos em execução do BIOTEC	3.920	4.999	179	(1.862)	-	7.236
Receita diferida ativos BIOTEC	-	284	-	-	(4)	280
Receita diferida ativos Contrato de Gestão	-	185	-	-	-	185
Recursos de projetos (b)	127.409	95.130	6.852	(34.998)	(1.602)	192.790
Subvenção de contratos de gestão (operação)	12.779	81.350	-	(76.312)	-	17.817
Subvenção de contrato de gestão (c)	12.779	81.350	-	(76.312)	-	17.817
	160.624	196.790	8.152	(120.804)	(2.916)	241.845
Passivo circulante	(137.131)	-	-	-	-	(204.537)
Passivo não circulante	23.493	-	-	-	-	37.308

CENTRO NACIONAL DE PESQUISA EM MATERIAIS E ENERGIA - CNPEM

Notas explicativas às demonstrações contábeis--Continuação
31 de dezembro de 2014 e 2013
(Valores expressos em milhares de reais)

7. Recursos de convênios/projetos e subvenções--Continuação

a) Recursos de convênios

A Instituição possui diversos projetos de pesquisa vinculado à empresas, agências de fomentos e/ou bancos. Para isso, os instrumentos reguladores são firmados mediante Acordo de Cooperação, Convênios ou Acordos de Fornecimento entre as partes, mediante um plano de trabalho e um cronograma de desembolso específico ao projeto, onde na maioria das vezes não há contrapartida financeira do CNPEM, cabendo ao fim, o processo de prestação de contas ao parceiro.

Atualmente os principais parceiros da Instituição são Petrobras, Rhodia Poliamida e Especialidades Ltda., BP Energy do Brasil Ltda., Máquinas Agrícolas Jacto S.A., Banco Nacional de Desenvolvimento - BNDES, FINEP, Ministério da Saúde, EMBRAPA, entre outros.

Durante o exercício de 2014 foram recebidas doações patrimoniais de entidades dos convênios que correspondem a equipamentos para pesquisas e outros fins relacionados à atividade da Instituição, no montante de R\$1.875.

b) Recursos de projetos

Sirius

Os recursos contratados em 2014 e 2013 estão destinados, em sua maioria, à execução das obras e instalação e da produção da máquina do Sirius, a nova Fonte de Luz Síncrotron de Alto Desempenho para o Brasil.

Os valores apresentados no quadro acima representam a diferença entre o saldo de orçamentos pactuados em exercícios anteriores, os rendimentos financeiros e o montante orçamentário executado deste projeto, além do recurso firmado por meio do 10º e 11º termo aditivo do Contrato de Gestão, no montante de R\$15.530 e R\$49.000, respectivamente.

CENTRO NACIONAL DE PESQUISA EM MATERIAIS E ENERGIA - CNPEM

Notas explicativas às demonstrações contábeis--Continuação
31 de dezembro de 2014 e 2013
(Valores expressos em milhares de reais)

7. Recursos de convênios/projetos e subvenções--Continuação

b) Recursos de projetos--Continuação

SisNano

Os recursos destinados ao este projeto serão utilizados na aquisição de equipamentos para implantação da nova instalação do LNNano, viabilizando a realização das linhas de pesquisa previstas para o Laboratório de Referência do SisNano. Para 2014, o recurso do projeto foi firmado por meio do 10º termo aditivo do Contrato de Gestão, no montante de R\$946.

BIOTEC

Este projeto tem por objetivo a criação de uma infraestrutura laboratorial destinada à geração de linhagens celulares e bancos de células produtoras de proteínas recombinantes. Em 2014, o recurso do projeto foi firmado por meio do 12º termo aditivo do Contrato de Gestão, no montante de R\$5.000 a ser executado durante o ano de 2015.

c) Subvenção de contrato de gestão

O contrato de gestão firmado entre o CNPEM e o MCTI é destinado para o custeio das atividades desenvolvidas nos Laboratórios Nacionais e seu resultado é medido anualmente por meio de indicadores de desempenhos técnicos.

Os valores apresentados no passivo não circulante se referem a receita diferida criada em contrapartida dos imobilizados e intangíveis adquiridos para os respectivos projetos, as quais são amortizadas de acordo com a vida útil dos respectivos bens e direitos adquiridos.

8. Provisão para contingências

A Instituição está envolvida em ações judiciais sobre questões fiscais e trabalhistas, decorrentes do curso normal de suas operações. A Administração, com base em informações de seus assessores jurídicos e análise das demandas judiciais pendentes, constituiu provisão em montante considerado suficiente para cobrir as perdas prováveis esperadas no desfecho das ações em curso.

CENTRO NACIONAL DE PESQUISA EM MATERIAIS E ENERGIA - CNPEM

Notas explicativas às demonstrações contábeis--Continuação
31 de dezembro de 2014 e 2013
(Valores expressos em milhares de reais)

8. Provisão para contingências--Continuação

	<u>2014</u>	<u>2013</u>
Provisão para contingencias		
Trabalhistas	12.334	5.547
Depósitos judiciais		
Trabalhistas	(5.319)	(5.361)
Tributários	(1.059)	(1.059)
	<u>(6.378)</u>	<u>(6.420)</u>
	<u>5.956</u>	<u>(873)</u>

Movimentações 2014

	<u>2013</u>	<u>Adições</u>	<u>Baixas</u>	<u>2014</u>
Provisão para contingencias				
Trabalhistas	5.547	6.787	-	12.334
	<u>5.547</u>	<u>6.787</u>	<u>-</u>	<u>12.334</u>
Depósitos judiciais				
Trabalhistas	(5.361)	(14)	56	(5.319)
Tributários	(1.059)	-	-	(1.059)
	<u>(6.420)</u>	<u>(14)</u>	<u>56</u>	<u>(6.378)</u>

Movimentações 2013

	<u>2012</u>	<u>Adições</u>	<u>Baixas</u>	<u>2013</u>
Provisão para contingencias				
Trabalhistas	5.547	-	-	5.547
	<u>5.547</u>	<u>-</u>	<u>-</u>	<u>5.547</u>
Depósitos judiciais				
Trabalhistas	(104)	(5.257)	-	(5.361)
Tributários	(1.059)	-	-	(1.059)
	<u>(1.163)</u>	<u>(5.257)</u>	<u>-</u>	<u>(6.420)</u>

Trabalhistas

Em 2013 a Instituição teve perda em primeira instância de um processo de adicional de insalubridade e periculosidade, no entanto, incluiu ação rescisória para anular a condenação e depositou em conta judicial o montante de R\$5.208. Em 2014, o cálculo do processo foi revisto judicialmente e houve a necessidade complementar a provisão para contingência no montante de R\$6.787.

CENTRO NACIONAL DE PESQUISA EM MATERIAIS E ENERGIA - CNPEM

Notas explicativas às demonstrações contábeis--Continuação
31 de dezembro de 2014 e 2013
(Valores expressos em milhares de reais)

8. Provisão para contingências--Continuação

Trabalhistas--Continuação

Adicionalmente, os processos avaliados com possíveis chances de êxito se tratam de ações movidas por ex-funcionários e/ou funcionários de empresas prestadoras de serviços da Instituição pleiteando pagamentos de diferenças salariais, diferenças de horas extras acrescidas dos adicionais incidentes e reflexos, além de verbas rescisórias. Na maioria dos casos, a Instituição está incluída como responsável subsidiária pelo cumprimento de eventual condenação, por ser tomadora dos serviços. O somatório dos processos possíveis totaliza R\$1.547 (R\$287 em 2013).

Tributárias

O depósito judicial tributário encontra-se, dentre outras ações, em instância administrativa e refere-se a auto de infração e imposição de multa, lavrado em 17 de fevereiro de 2004, pela Secretaria de Estado dos Negócios da Fazenda, relativo ao ICMS incidente na importação de máquinas e equipamentos no período de janeiro de 2001 a junho de 2002.

Em atendimento ao referido dispositivo, a Instituição depositou em juízo perante a 1ª Vara da Fazenda Pública da Comarca de Campinas, em outubro de 2009, o montante de R\$672, previsto na ação com as devidas correções e em setembro de 2012 a Instituição realizou um complemento do depósito no montante de R\$387, totalizando R\$1.059.

Apesar dos assessores jurídicos reconhecerem este processo com remota chance de perda, o depósito judicial se mantém até o julgamento final da causa.

9. Adiantamento a fornecedores

O saldo refere-se basicamente ao adiantamento efetuado para a Racional Engenharia Ltda. para a construção do projeto SIRIUS, no montante total de R\$19.729.

CENTRO NACIONAL DE PESQUISA EM MATERIAIS E ENERGIA - CNPEM

Notas explicativas às demonstrações contábeis--Continuação
31 de dezembro de 2014 e 2013
(Valores expressos em milhares de reais)

10. Plano de previdência privada

A Instituição disponibiliza para 100% de seus colaboradores um plano de previdência privada por contribuição definida (BrasilPrev), com o objetivo de complementação da previdência oficial. No ato da aposentadoria, o participante poderá optar pelo benefício da aposentadoria ou pelo resgate do saldo alcançado na composição do seu fundo.

O plano tem participação da Instituição (4% do salário) e dos seus colaboradores (2% do salário) na formação do fundo, por meio de contribuições mensais regulares e podendo o colaborador realizar aportes adicionais a qualquer tempo.

O plano prevê rentabilidade garantida do Índice Geral de Preços do Mercado (IGP-M/FGV), acrescido de 6% ao ano, e taxa de carregamento de 3% sobre o valor das contribuições mensais.

O montante das contribuições no exercício de 2014 foi de R\$2.684 (R\$1.529 em 2013).

11. Instrumentos financeiros

Os valores contábeis referentes aos instrumentos financeiros constantes no balanço patrimonial consistiam basicamente de caixa, equivalente de caixa e aplicações financeiras (conforme nota explicativa 4). Quando comparados com os valores que poderiam ser obtidos na sua negociação em um mercado ativo ou, na ausência deles, com o valor presente líquido ajustado com base na taxa vigente de juros no mercado, aproximam-se, substancialmente, de seus correspondentes valores de mercado. Durante os exercícios findos em 31 de dezembro de 2014 e 2013, a Instituição não realizou operações com derivativos.

CENTRO NACIONAL DE PESQUISA EM MATERIAIS E ENERGIA - CNPEM

Notas explicativas às demonstrações contábeis--Continuação
31 de dezembro de 2014 e 2013
(Valores expressos em milhares de reais)

12. Cobertura de seguros

A Instituição contratou cobertura de seguros para os bens sujeitos a riscos, por montantes considerados suficientes para cobrir eventuais sinistros, considerando a natureza de sua atividade.

As premissas de riscos adotadas, dada a sua natureza, não fazem parte do escopo de uma auditoria das demonstrações financeiras e, conseqüentemente, não foram examinadas pelos nossos auditores independentes.

Em 31 de dezembro de 2014, a apólice de seguro da Instituição totaliza R\$252.000, sendo as principais coberturas contra eventos de qualquer natureza de R\$111.300 (R\$42.000 em 2013), contra riscos operacionais de R\$270 para responsabilidade civil (R\$270 em 2013) e R\$423 para danos materiais (R\$190 em 2013).

13. Avais, fianças e garantias

A Instituição não prestou garantias durante os exercícios findos em 31 de dezembro de 2014 e 2013 e não possuía em 31 de dezembro de 2014 e 2013, quaisquer transações como interveniente garantidora.



Este relatório foi aprovado pelo
Conselho de Administração
em Reunião Ordinária
realizada em 05/03/2015